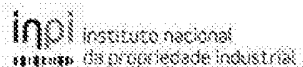


---

(11) Número de Publicação: **PT 2358755 E**



(51) Classificação Internacional:

**C07K 16/28** (2015.01) **A61K 39/395** (2015.01)  
**A61K 35/00** (2015.01)

**(12) FASCÍCULO DE PATENTE DE INVENÇÃO**

---

(22) Data de pedido: **2009.11.18**

(30) Prioridade(s): **2008.11.21 US 116825 P**  
**2009.06.24 US 219903 P**

(43) Data de publicação do pedido: **2011.08.24**

(45) Data e BPI da concessão: **2015.09.02**  
**222/2015**

(73) Titular(es):

**ELI LILLY AND COMPANY**  
**LILLY CORPORATE CENTER, INDIANAPOLIS**  
**INDIANA 46285** **US**

(72) Inventor(es):

**JULIAN DAVIES** **US**  
**LING LIU** **US**  
**JIRONG LU** **US**  
**PETER EDWARD VAILLANCOURT** **US**  
**MARK ANDREW WORTINGER** **US**

(74) Mandatário:

**ALBERTO HERMÍNIO MANIQUE CANELAS**  
**RUA VÍCTOR CORDON, 14 1249-103 LISBOA** **PT**

(54) Epígrafe: **ANTICORPOS DE C-MET**

(57) Resumo:

SÃO PROPORCIONADOS ANTICORPOS MONOCLONAIS, FRAGMENTOS DE LIGAÇÃO AO ANTIGÉNIO DESTES, E COMBINAÇÕES DOS ANTERIORES, QUE SE LIGAM A, E INIBEM A ATIVIDADE DE, C-MET E QUE SÃO EFICAZES EM TRATAMENTO DE CANCROS E OUTRAS DOENÇAS, DISTÚRBIOS OU CONDIÇÕES ONDE A PATOGÉNESE SEJA MEDIADA POR C-MET.

**RESUMO**

**"ANTICORPOS DE C-MET"**

São proporcionados anticorpos monoclonais, fragmentos de ligação ao antígeno destes, e combinações dos anteriores, que se ligam a, e inibem a atividade de, c-Met e que são eficazes em tratamento de cancros e outras doenças, distúrbios ou condições onde a patogénese seja mediada por c-Met.

**DESCRIÇÃO****"ANTICORPOS DE C-MET"**

O presente invento refere-se a anticorpos que se ligam a c-Met e à sua utilização em tratamento de condições e distúrbios onde a patogénese é mediada por este recetor.

c-Met, um membro da superfamília das tirosina-cinases, é o recetor para o Fator de Crescimento de Hepatócitos (HGF). A ligação de HGF a c-Met leva à dimerização ou multimerização do recetor, fosforilação de múltiplos resíduos de tirosina na região intracelular, ativação catalítica, e sinalização a jusante. c-Met é também ativado através de mecanismos independentes do ligando, incluindo sobre-expressão, amplificação, e mutação do recetor. A ativação de c-Met aumenta a proliferação celular, migração, morfogénese, sobrevivência (incluindo proteção contra apoptose), e síntese de proteases, características que estão associadas a fenótipo celular invasivo e fracos resultados clínicos e resistência a fármacos em pacientes com cancro. A via de sinalização de c-Met é uma das vias mais frequentemente desreguladas em cancros humanos, e ocorre em praticamente todos os tipos de tumores sólidos.

A Publicação Internacional PCT WO 09/007427 divulga anticorpos de c-Met de murídeo e humanizados

enxertados com CDR. O anticorpo de murídeo 224G11 ai divulgado não se ligava ao domínio Sema de c-Met. Outras propriedades funcionais do derivado humanizado de IgG1 deste anticorpo de murídeo, designado mAb h224G11, são relatadas nos Resumos Nos. 835 (dados *in vitro*) e 2792 (dados *in vivo*) e seus pôsteres acompanhantes apresentados na reunião da American Association for Cancer Research (Denver, CO) em abril de 2009. Estes resumos e pôsteres divulgam que o mAb h224G11 bivalente é desprovido de propriedades agonistas intrínsecas, comporta-se como um antagonista total de c-Met, e diminui potencialmente a dimerização de c-Met. É relatado que 224G11 de murídeo subregula c-Met e bloqueia a fosforilação de c-Met *in vivo*. No caso de outros receptores, a dimerização é um pré-requisito para a internalização e degradação do receptor. Esses resumos e pôsteres não divulgam quaisquer dados relativos à internalização de c-Met. Além disso, o epitopo ao qual o anticorpo humanizado se liga dentro de c-Met não está identificado.

A Publicação Internacional PCT WO 05/016382 divulga também anticorpos de c-Met, mas não identifica o ou os epitopos aos quais os anticorpos se ligam. É proporcionado um exemplo de mapeamento de epitopo, no entanto os resultados apresentados indicam apenas que seis anticorpos de c-Met se ligam a um epitopo comum enquanto um sétimo anticorpo de c-Met se liga a um epitopo distinto. Os epitopos particulares aos quais estes anticorpos de c-Met se ligam não são proporcionados.

Existe a necessidade de anticorpos antagonistas para c-Met humano, cuja ligação à cadeia  $\alpha$  de c-Met humano facilite a internalização do receptor a partir da superfície da célula, na presença e/ou ausência de HGF. Há também a necessidade de anticorpos antagonistas para c-Met humano, cuja ligação à cadeia  $\alpha$  de c-Met humano facilite a internalização do receptor a partir da superfície celular em células compreendendo variantes de c-Met contendo mutações de ganho de função. Há também a necessidade de anticorpos antagonistas para c-Met humano que induzam degradação de c-Met e redução de c-Met fosforilado. Tais atividades antagonistas poderiam diminuir o número de locais de ligação disponíveis para HGF na superfície de células tumorais, e terminar a ativação da via causada pela sobre-expressão, amplificação, ou mutação de c-Met. Ao mesmo tempo, tais anticorpos devem inibir a ligação de HGF a c-Met e a ativação de c-Met induzida por HGF, e induzir pouca ou nenhuma atividade agonista eles próprios.

Os compostos de anticorpos do presente invento satisfazem estas necessidades. Ligam-se a epitopos na cadeia  $\alpha$  do domínio Sema de c-Met humano, inibindo a ligação de HGF a c-Met e a ativação do receptor, induzindo ao mesmo tempo pouca ou nenhuma atividade agonista. Os anticorpos do presente invento induzem também a internalização do receptor na presença ou ausência de HGF e também em células compreendendo variantes de c-Met contendo mutações de ganho de função. Induzem a degradação de c-Met

e induzem a redução de c-Met humano fosforilado, e inibem a proliferação dependente de HGF e independente de HGF de células tumorais que expressam este recetor. Tendo em vista estas propriedades, estes compostos de anticorpos devem ser terapeuticamente úteis no tratamento de cancros mediados por c-Met através de uma variedade de diferentes mecanismos.

Além disso, os presentes compostos de anticorpos possuem várias outras propriedades desejáveis. Exibem elevada afinidade ( $K_D$ ) para c-Met, bloqueiam a fosforilação de c-Met mediada por HGF e a sinalização a jusante, a proliferação celular, e a migração celular; e induzem apenas fraca fosforilação de c-Met induzindo ao mesmo tempo pouca ou nenhuma atividade biológica agonista semelhante à de HGF tal como a indução da proliferação de células tumorais, motilidade, invasão, tubulogénese, angiogénese, ou efeitos anti-apoptóticos. Eles inibem tanto a ativação da via de c-Met dependente do ligando (HGF) como independente do ligando. Adicionalmente, os compostos de anticorpos do presente invento ligam-se de preferência ao domínio extracelular (ECD) de c-Met humano em comparação com os ECD dos recetores intimamente relacionados RON e PlexinA2, e não causam "derramamento" do ECD de c-Met.

De acordo com o presente invento, é proporcionado um anticorpo monoclonal de c-Met, ou fragmento de ligação ao抗ígeno deste, compreendendo três regiões determinantes de complementaridade de cadeia leve (LCDR) e três

regiões determinantes de complementaridade de cadeia pesada (HCDR), em que LCDR1 compreende a sequência de aminoácidos SVSSSVSSIYLH (SEQ ID NO: 53), LCDR2 compreende a sequência de aminoácidos STSNLAS (SEQ ID NO: 54), LCDR3 compreende a sequência de aminoácidos QVYSGYPLT (SEQ ID NO: 56), HCDR1 compreende a sequência de aminoácidos GYTFTDYYMH (SEQ ID NO: 65), HCDR2 compreende a sequência de aminoácidos RVNPNNRRGTTYNQKFEG (SEQ ID NO: 68), e HCDR3 compreende a sequência de aminoácidos ANWLDY (SEQ ID NO: 69).

De preferência, o anticorpo monoclonal, ou fragmento de ligação ao抗原 deste, de acordo com o presente invento liga-se a um epitopo dentro da cadeia  $\alpha$  de c-Met humano e induz a internalização de c-Met humano da superfície celular.

De maior preferência, o anticorpo monoclonal, ou fragmento de ligação ao抗原 deste, de acordo com o presente invento induz internalização de c-Met humano da superfície celular independente do fator de crescimento de hepatócitos (HGF).

Ainda de preferência, o anticorpo monoclonal, ou fragmento de ligação ao抗原 deste, de acordo com o presente invento, liga-se dentro de um sequência de aminoácidos selecionada a partir de:

- a)  $^{121}_{121}VVDTYYDDQL_{130}$  (SEQ ID NO: 77),
- b)  $^{131}_{131}ISCGSVNRGTCQRHVFPHNHTADIQS_{156}$  (SEQ ID NO: 78),

- c)  $^{179}\text{ALGAKVLSSVKDRFINF}_{195}$  (SEQ ID NO: 79), e
- d)  $^{216}\text{VRRLKETKDGFM}_{227}$  (SEQ ID NO: 80).

É preferido que o anticorpo monoclonal, ou fragmento de ligação ao抗原 deste, de acordo com o presente invento, se ligue dentro uma sequência de aminoácidos selecionada a partir de:

- a.  $^{123}\text{DTYYDD}_{128}$  (SEQ ID NO: 81),
- b.  $^{144}\text{HVFPHNHTADIQS}_{156}$  (SEQ ID NO: 82),
- c.  $^{192}\text{FINF}_{195}$  (SEQ ID NO: 83), e
- d.  $^{220}\text{KETKDGFM}_{227}$  (SEQ ID NO: 84).

Ainda mais preferido é um anticorpo monoclonal, ou fragmento de ligação ao抗原 deste, de acordo com o presente invento que se ligue a uma sequência de aminoácidos dentro do epitopo conformacional caracterizado por  $^{123}\text{DTYYDD}_{128}$  (SEQ ID NO: 81),  $^{144}\text{HVFPHNHTADIQS}_{156}$  (SEQ ID NO: 82),  $^{192}\text{FINF}_{195}$  (SEQ ID NO: 83), e  $^{220}\text{KETKDGFM}_{227}$  (SEQ ID NO: 84), inclusive.

De preferência, o anticorpo monoclonal, ou fragmento de ligação ao抗原 deste, de acordo com o presente invento compreende uma região variável de cadeia leve (LCVR) e uma região variável de cadeia pesada (HCVR), em que a LCVR compreende a sequência de aminoácidos de SEQ ID NO: 5 e a HCVR compreende a sequência de aminoácidos de SEQ ID NO: 17.

É preferido que o anticorpo monoclonal, ou

fragmento de ligação ao antigénio deste, de acordo com o presente invento compreenda uma cadeia leve possuindo uma região constante capa e uma cadeia pesada possuindo uma região constante de cadeia pesada de IgG4.

A cadeia leve é de preferência codificada pela sequência polinucleotídica de SEQ ID NO: 35, e a cadeia pesada é de preferência codificada pela sequência polinucleotídica de SEQ ID NO: 47.

De preferência, o anticorpo monoclonal de acordo com o presente invento compreende duas cadeias leves codificadas pela sequência polinucleotídica de SEQ ID NO: 35 e duas cadeias pesadas codificadas pela sequência polinucleotídica de SEQ ID NO: 47.

De maior preferência, o anticorpo monoclonal, ou fragmento de ligação ao antigénio deste, de acordo com o presente invento, tem uma cadeia leve que é idêntica à sequência de aminoácidos codificada pela sequência polinucleotídica de SEQ ID NO: 35; e uma cadeia pesada que é idêntica à sequência de aminoácidos codificada por SEQ ID NO: 47.

De preferência, o anticorpo monoclonal, ou fragmento de ligação ao antigénio deste, de acordo com o presente invento, compreende duas cadeias leves em que a sequência de aminoácidos da cadeia leve é idêntica à sequência de aminoácidos codificada pela sequência

polinucleotídica de SEQ ID NO: 35; e duas cadeias pesadas em que a sequência de aminoácidos da cadeia pesada é idêntica à sequência de aminoácidos codificada por SEQ ID NO: 47.

De preferência, o anticorpo monoclonal, ou fragmento de ligação ao抗原 deste, de acordo com o presente invento, compreende uma cadeia leve possuindo a sequência de aminoácidos de SEQ ID NO: 29 e uma cadeia pesada possuindo uma região constante de cadeia pesada de IgG4.

Ainda de maior preferência, o anticorpo monoclonal de acordo com o presente invento compreende duas cadeias leves possuindo a sequência de aminoácidos de SEQ ID NO: 29 e duas cadeias pesadas possuindo uma região constante de cadeia pesada de IgG4.

De acordo com um segundo aspeto do presente invento, é proporcionada uma composição farmacêutica, compreendendo o anticorpo monoclonal, ou fragmento de ligação ao抗原 deste, do presente invento, e um veículo, diluente ou excipiente farmaceuticamente aceitável.

De acordo com um terceiro aspeto do presente invento, é proporcionado um anticorpo monoclonal, ou fragmento de ligação ao抗原 deste, do presente invento para utilização em terapia.

De preferência, o anticorpo monoclonal, ou fragmento de ligação ao抗原 deste, do presente invento é para utilização no tratamento de cancro num humano.

De maior preferência, o anticorpo monoclonal, ou fragmento de ligação ao抗原 deste, de acordo com o presente invento é para tratar cancro gástrico, do rim, do colón, colorretal, da cabeça e do pescoço, da próstata, melanoma ou do pulmão.

Por conseguinte, o presente invento proporciona:

Um anticorpo monoclonal, ou fragmento de ligação ao抗原 deste, que:

- a) se liga a um epitopo dentro da cadeia α de c-Met humano, e
- b) induz internalização de c-Met humano da superfície celular.

Qualquer um dos anticorpos anteriores ou fragmento de ligação ao抗原 destes em que o anticorpo ou fragmento de ligação ao抗原 deste induz internalização de c-Met humano da superfície celular independente do fator de crescimento de hepatócitos. Numa concretização preferida, o anticorpo monoclonal ou fragmento de ligação ao抗原 deste compreende uma cadeia leve e uma cadeia pesada, em que a cadeia leve compreende a sequência de aminoácidos de SEQ ID NO: 28 e a cadeia pesada compreende a sequência de aminoácidos de SEQ ID NO: 40. Noutra

concretização, o anticorpo monoclonal ou fragmento de ligação ao抗原 deste compreende uma cadeia leve e uma cadeia pesada, em que a cadeia leve compreende a sequência de aminoácidos de SEQ ID NO: 29 e a cadeia pesada compreende a sequência de aminoácidos de SEQ ID NO: 41.

Qualquer um dos anticorpos monoclonais anteriores ou fragmentos de ligação ao抗原 destes que induz internalização de c-Met humano em células compreendendo uma variante de c-Met humano contendo uma mutação de ganho de função. A mutação de ganho de função pode ser a mutação do domínio cinase de c-Met M149T ou a mutação do domínio justamembranar R988C.

Qualquer um dos anticorpos anteriores ou fragmentos de ligação ao抗原 destes em que o anticorpo ou fragmento de ligação ao抗原 deste induz pelo menos 40% de internalização de c-Met humano da superfície celular em células. Qualquer um dos anticorpos anteriores ou fragmentos de ligação ao抗原 destes em que o anticorpo ou fragmento de ligação ao抗原 deste induz pelo menos 45% de internalização de c-Met humano da superfície celular em células. Qualquer um dos anticorpos anteriores ou fragmentos de ligação ao抗原 destes em que o anticorpo ou fragmento de ligação ao抗原 deste induz pelo menos 50% de internalização de c-Met humano da superfície celular em células. Qualquer um dos anticorpos anteriores ou fragmentos de ligação ao抗原 destes em que o anticorpo ou fragmento de ligação ao抗原 deste

induz pelo menos 55% de internalização de c-Met humano da superfície celular em células. Qualquer um dos anticorpos anteriores ou fragmentos de ligação ao抗igénio destes em que o anticorpo ou fragmento de ligação ao抗igénio deste induz pelo menos 60% de internalização de c-Met humano da superfície celular em células. Qualquer um dos anticorpos anteriores ou fragmentos de ligação ao抗igénio destes em que o anticorpo ou fragmento de ligação ao抗igénio deste induz pelo menos 65% de internalização de c-Met humano em células. Qualquer um dos anticorpos anteriores ou fragmentos de ligação ao抗igénio destes em que o anticorpo ou fragmento de ligação ao抗igénio deste induz pelo menos 70% de internalização de c-Met humano da superfície celular em células.

Qualquer um dos anticorpos monoclonais anteriores ou fragmentos de ligação ao抗igénio destes, o qual induz redução do c-Met total em células tumorais independentes do fator de crescimento de hepatócitos. Numa concretização preferida, o anticorpo monoclonal ou fragmento de ligação ao抗igénio deste que induz redução do c-Met total em células tumorais independentes do fator de crescimento de hepatócitos comprehende uma cadeia leve e uma cadeia pesada, em que a cadeia leve comprehende a sequência de aminoácidos de SEQ ID NO: 28 e a cadeia pesada comprehende a sequência de aminoácidos de SEQ ID NO: 40. Noutra concretização preferida, o anticorpo monoclonal ou fragmento de ligação ao抗igénio deste que induz redução do c-Met total em células tumorais independentes do fator de crescimento de

hepatócitos compreende uma cadeia leve e uma cadeia pesada, em que a cadeia leve compreende a sequência de aminoácidos de SEQ ID NO: 29 e a cadeia pesada compreende a sequência de aminoácidos de SEQ ID NO: 41.

Qualquer um dos anticorpos monoclonais anteriores ou fragmentos de ligação ao抗igénio destes, que induz redução do c-Met fosforilado em células tumorais independentes do fator de crescimento de hepatócitos.

Qualquer um dos anticorpos monoclonais anteriores ou fragmentos de ligação ao抗igénio destes, que se liga à cadeia α de c-Met humano substancialmente no mesmo epitopo que um anticorpo compreendendo uma cadeia leve possuindo a sequência de aminoácidos mostrada em SEQ ID NO: 28 e uma cadeia pesada possuindo a sequência de aminoácidos mostrada em SEQ ID NO: 40, ou que se liga à cadeia α de c-Met humano substancialmente no mesmo epitopo que um anticorpo compreendendo uma cadeia leve possuindo a sequência de aminoácidos mostrada em SEQ ID NO: 29 e uma cadeia pesada possuindo a sequência de aminoácidos mostrada em SEQ ID NO: 41.

Qualquer um dos anticorpos monoclonais anteriores ou fragmentos de ligação ao抗igénio destes, excluindo aqueles compreendendo uma cadeia leve possuindo a sequência de aminoácidos mostrada em SEQ ID NO: 26 e uma cadeia pesada possuindo a sequência de aminoácidos mostrada em SEQ ID NO: 38, em que o epitopo compreende um ou mais resíduos de aminoácidos dentro de <sub>144</sub>HVFPHNHTADIQS<sub>156</sub> (SEQ ID NO: 82) inclusive.

Qualquer um dos anticorpos anteriores ou fragmentos de ligação ao抗原, em que o epitopo compreende ainda um ou mais resíduos de aminoácidos dentro de  $^{123}\text{DTYYDD}_{128}$  (SEQ ID NO: 81) inclusive.

Qualquer um dos anticorpos anteriores ou fragmentos de ligação ao抗原, em que o epitopo compreende ainda um ou mais resíduos de aminoácidos dentro de  $^{192}\text{FINF}_{195}$  (SEQ ID NO: 83) inclusive.

Qualquer um dos anticorpos anteriores ou fragmentos de ligação ao抗原, em que o epitopo compreende ainda um ou mais resíduos de aminoácidos dentro de  $^{220}\text{KETKDGF}_{227}$  (SEQ ID NO: 84) inclusive.

Qualquer um dos anticorpos anteriores ou fragmentos de ligação ao抗原 destes, em que o anticorpo se liga dentro de uma sequência de aminoácidos selecionada a partir do grupo que consiste em:

- a)  $^{121}\text{VVDTYYDDQL}_{130}$  (SEQ ID NO: 77),
- b)  $^{131}\text{ISCGSVNRGTCQRHVFPHNHTADIQS}_{156}$  (SEQ ID NO: 78),
- c)  $^{179}\text{ALGAKVLSSVKDRFINF}_{195}$  (SEQ ID NO: 79), e
- d)  $^{216}\text{VRRLKETKDGF}_{227}$  (SEQ ID NO: 80), inclusive.

Qualquer um dos anticorpos anteriores ou fragmentos de ligação ao抗原 destes, em que o anticorpo se liga dentro de uma sequência de aminoácidos selecionada a partir do grupo que consiste em:

- a)  $^{123}\text{DTYYDD}_{128}$  (SEQ ID NO: 81),
- b)  $^{144}\text{HVFPHNHTADIQS}_{156}$  (SEQ ID NO: 82),
- c)  $^{192}\text{FINF}_{195}$  (SEQ ID NO: 83), e
- d)  $^{220}\text{KETKDGFM}_{227}$  (SEQ ID NO: 84), inclusive.

Qualquer um dos anticorpos monoclonais anteriores ou fragmentos de ligação ao抗原 destes que se liga a uma sequência de aminoácidos dentro do epitopo caracterizado por  $^{121}\text{VVDTYYDDQL}_{140}$  (SEQ ID NO: 77),  $^{131}\text{ISCGSVNRGTCQRHVFPHNHTADIQS}_{156}$  (SEQ ID NO: 78),  $^{179}\text{ALGAKVLSSVKDRFINF}_{195}$  (SEQ ID NO: 79), e  $^{216}\text{VRRLKETKDGFM}_{227}$  (SEQ ID NO: 80), inclusive.

Qualquer um dos anticorpos monoclonais anteriores ou fragmentos de ligação ao抗原 destes que se liga a uma sequência de aminoácidos dentro do epitopo caracterizado por  $^{123}\text{DTYYDD}_{128}$  (SEQ ID NO: 81),  $^{144}\text{HVFPHNHTADIQS}_{156}$  (SEQ ID NO: 82),  $^{192}\text{FINF}_{195}$  (SEQ ID NO: 83), e  $^{220}\text{KETKDGFM}_{227}$  (SEQ ID NO: 84) inclusive.

Qualquer um dos anticorpos anteriores ou fragmentos de ligação ao抗原 destes, em que o anticorpo se liga dentro de uma sequência de aminoácidos de  $^{95}\text{CFPCQDCSSKA}_{105}$  (SEQ ID NO: 86) inclusive.

Qualquer um dos anticorpos monoclonais anteriores ou fragmentos de ligação ao抗原 destes, excluindo aqueles que compreendem uma cadeia leve possuindo a sequência de aminoácidos mostrada em SEQ ID NO: 29 e uma cadeia pesada possuindo a sequência de aminoácidos mostrada

em SEQ ID NO: 41, em que o epitopo compreende um ou mais resíduos de aminoácidos dentro de  $_{95}CFPCQDCSSKA_{105}$  (SEQ ID NO: 86) inclusive.

Qualquer um dos anticorpos monoclonais anteriores, ou fragmentos de ligação ao抗原 destes, que se liga a c-Met humano, que compreende três regiões determinantes de complementaridade de cadeia leve (LCDR) e três regiões determinantes de complementaridade de cadeia pesada (HCDR),

em que as referidas três LCDR e as referidas três HCDR são selecionadas a partir do grupo que consiste em:

a) LCDR1 compreendendo a sequência de aminoácidos SVSSSISSTNLH (SEQ ID NO: 49);

LCDR2 compreendendo a sequência de aminoácidos GTSX<sub>1</sub>LX<sub>2</sub>S (SEQ ID NO: 87), em que X<sub>1</sub> é Y ou R, e X<sub>2</sub> é A ou R;

LCDR3 compreendendo a sequência de aminoácidos QQWSSYPYS (SEQ ID NO: 51);

HCDR1 compreendendo a sequência de aminoácidos GYTFTSRYIH (SEQ ID NO: 59);

HCDR2 compreendendo a sequência de aminoácidos WIYPVTGDTYYX<sub>7</sub>EX<sub>8</sub>FKG (SEQ ID NO: 90), em que X<sub>7</sub> é N, I, ou R, e X<sub>8</sub> é K ou P; e

HCDR3 compreendendo a sequência de aminoácidos GYGAFX<sub>9</sub>Y (SEQ ID NO: 91), em que X<sub>9</sub> é Y ou F; e

b) LCDR1 compreendendo a sequência de aminoácidos SVSSSVX<sub>3</sub>SIYLH (SEQ ID NO: 88), em que X<sub>3</sub> é S ou R;

LCDR2 compreendendo a sequência de aminoácidos STSNLAS (SEQ ID NO: 54);

LCDR3 compreendendo a sequência de aminoácidos X<sub>4</sub>X<sub>5</sub>YX<sub>6</sub>GYPLT (SEQ ID NO: 89), em que X<sub>4</sub> é I ou Q, X<sub>5</sub> é Q ou V, e X<sub>6</sub> é S ou R;

HCDR1 compreendendo a sequência de aminoácidos GYTFTDYYMH (SEQ ID NO: 65);

HCDR2 compreendendo a sequência de aminoácidos RVNPX<sub>10</sub>RX<sub>11</sub>X<sub>12</sub>TTYNQKFEG (SEQ ID NO: 92), em que X<sub>10</sub> é N ou Y, X<sub>11</sub> é G ou R, e X<sub>12</sub> é G ou S; e

HCDR3 compreendendo a sequência de aminoácidos X<sub>13</sub>NX<sub>14</sub>LDY (SEQ ID NO: 93), em que X<sub>13</sub> é T ou A, e X<sub>14</sub> é W ou I;

em que o referido anticorpo monoclonal ou fragmento de ligação ao抗原 deste se liga a um epitopo dentro da cadeia α do referido c-Met humano e induz internalização de c-Met humano da superfície celular.

Qualquer um dos anticorpos monoclonais anteriores, ou fragmentos de ligação ao抗原 destes, que se liga a c-Met humano, que compreende três regiões determinantes de complementaridade de cadeia leve (LCDR) e três regiões determinantes de complementaridade de cadeia pesada (HCDR), em que o anticorpo compreende três regiões determinantes de complementaridade de cadeia leve (LCDR) e três regiões determinantes de complementaridade de cadeia pesada (LCDR), em que

LCDR1 compreende a sequência de aminoácidos SVSSSISSSTNLH (SEQ ID NO: 49);

LCDR2 compreende a sequência de aminoácidos GTSX<sub>1</sub>LX<sub>2</sub>S (SEQ ID NO: 87), em que X<sub>1</sub> é Y ou R, e X<sub>2</sub> é A ou R;

LCDR3 compreende a sequência de aminoácidos QQWSSYPYS (SEQ ID NO: 51);

HCDR1 compreende a sequência de aminoácidos GYTFTSRYIH (SEQ ID NO: 59);

HCDR2 compreende a sequência de aminoácidos WIYPVTGDTYYX<sub>7</sub>EX<sub>8</sub>FKG (SEQ ID NO: 90), em que X<sub>7</sub> é N, I, ou R, e X<sub>8</sub> é K ou P; e

HCDR3 compreende a sequência de aminoácidos GYGAFX<sub>9</sub>Y (SEQ ID NO: 91), em que X<sub>9</sub> é Y ou F.

Qualquer um dos anticorpos monoclonais anteriores, ou fragmentos de ligação ao antígeno destes, que se liga a c-Met humano, que compreende três regiões determinantes de complementaridade de cadeia leve (LCDR) e três regiões determinantes de complementaridade de cadeia pesada (LCDR), em que

LCDR1 compreende a sequência de aminoácidos SVSSSVX<sub>3</sub>SIYLH (SEQ ID NO: 88); em que X<sub>3</sub> é S ou R;

LCDR2 compreende a sequência de aminoácidos STSNLAS (SEQ ID NO: 54);

LCDR3 compreende a sequência de aminoácidos X<sub>4</sub>X<sub>5</sub>YX<sub>6</sub>GYPLT (SEQ ID NO: 89), em que X<sub>4</sub> é I ou Q, X<sub>5</sub> é Q ou V, e X<sub>6</sub> é S ou R;

HCDR1 compreende a sequência de aminoácidos GYTFTDYYMH (SEQ ID NO: 65);

HCDR2 compreende a sequência de aminoácidos RVNPX<sub>10</sub>RX<sub>11</sub>X<sub>12</sub>TTYNQKFEG (SEQ ID NO: 92), em que X<sub>10</sub> é N ou Y, X<sub>11</sub> é G ou R, e X<sub>12</sub> é G ou S; e

HCDR3 compreende a sequência de aminoácidos X<sub>13</sub>NX<sub>14</sub>LDY (SEQ ID NO: 93), em que X<sub>13</sub> é T ou A, e X<sub>14</sub> é W ou I.

Qualquer um dos anticorpos monoclonais anteriores, ou fragmentos de ligação ao抗原 destes, que se liga a c-Met humano, que compreende três regiões determinantes de complementaridade de cadeia leve (LCDR) e três regiões determinantes de complementaridade de cadeia pesada (HCDR), e

em que as referidas três LCDR e as referidas três HCDR são selecionadas a partir do grupo que consiste em:

a) LCDR1 compreendendo a sequência de aminoácidos SVSSSISSTNLH (SEQ ID NO: 49);

LCDR2 compreendendo a sequência de aminoácidos GTSYLAS (SEQ ID NO: 50);

LCDR3 compreendendo a sequência de aminoácidos QQWSSYPYS (SEQ ID NO: 51);

HCDR1 compreendendo a sequência de aminoácidos GYTFTSRYIH (SEQ ID NO: 59);

HCDR2 compreendendo a sequência de aminoácidos WIYPVTGDTYYNEKFKG (SEQ ID NO: 60); e

HCDR3 compreendendo a sequência de aminoácidos GYGAFYY (SEQ ID NO: 61);

b) LCDR1 compreendendo a sequência de aminoácidos SVSSSISSTNLH (SEQ ID NO: 49);

LCDR2 compreendendo a sequência de aminoácidos GTSYLAS (SEQ ID NO: 50);

LCDR3 compreendendo a sequência de aminoácidos QQWSSYPYS (SEQ ID NO: 51);

HCDR1 compreendendo a sequência de amino-ácidos GYTFTSRYIH (SEQ ID NO: 59);

HCDR2 compreendendo a sequência de amino-ácidos WIYPVTGDTYYIEKFKG (SEQ ID NO: 62); e

HCDR3 compreendendo a sequência de amino-ácidos GYGAFFY (SEQ ID NO: 63);

c) LCDR1 compreendendo a sequência de amino-ácidos SVSSSISSTNLH (SEQ ID NO: 49);

LCDR2 compreendendo a sequência de amino-ácidos GTSRLRS (SEQ ID NO: 52);

LCDR3 compreendendo a sequência de amino-ácidos QQWSSYPYS (SEQ ID NO: 51);

HCDR1 compreendendo a sequência de amino-ácidos GYTFTSRYIH (SEQ ID NO: 59);

HCDR2 compreendendo a sequência de amino-ácidos WIYPVTGDTYYREPKG (SEQ ID NO: 64), e

HCDR3 compreendendo a sequência de amino-ácidos GYGAFYY (SEQ ID NO: 61);

d) LCDR1 compreendendo a sequência de amino-ácidos SVSSSVSSIYLH (SEQ ID NO: 53);

LCDR2 compreendendo a sequência de amino-ácidos STSNLAS (SEQ ID NO: 54);

LCDR3 compreendendo a sequência de amino-ácidos IQYSGYPLT (SEQ ID NO: 55);

HCDR1 compreendendo a sequência de amino-ácidos GYTFTDYYMH (SEQ ID NO: 65);

HCDR2 compreendendo a sequência de amino-ácidos RVNPNRGGTTYNQKFEG (SEQ ID NO: 66), e

HCDR3 compreendendo a sequência de amino-ácidos TNWLDY (SEQ ID NO: 67);

e) LCDR1 compreendendo a sequência de amino-ácidos SVSSSVSSIYLH (SEQ ID NO: 53);

LCDR2 compreendendo a sequência de amino-ácidos STSNLAS (SEQ ID NO: 54);

LCDR3 compreendendo a sequência de amino-ácidos QVYSGYPLT (SEQ ID NO: 56);

HCDR1 compreendendo a sequência de amino-ácidos GYTFTDYYMH (SEQ ID NO: 65);

HCDR12 compreendendo a sequência de amino-ácidos RVNPNRGTTYNQKFEG (SEQ ID NO: 68); e

HCDR3 compreendendo a sequência de amino-ácidos ANWLDY (SEQ ID NO: 69); e

f) LCDR1 compreendendo a sequência de amino-ácidos SVSSSVRSIYLH (SEQ ID NO: 57);

LCDR2 compreendendo a sequência de amino-ácidos STSNLAS (SEQ ID NO: 54);

LCDR3 compreendendo a sequência de amino-ácidos QVYRGYPLT (SEQ ID NO: 58);

HCDR1 compreendendo a sequência de amino-ácidos GYTFTDYYMH (SEQ ID NO: 65);

HCDR2 compreendendo a sequência de amino-ácidos RVNPYRGSTTYNQKFEG (SEQ ID NO: 70); e

HCDR3 compreendendo a sequência de amino-ácidos ANILDY (SEQ ID NO: 71); e

em que o referido anticorpo monoclonal ou fragmento de ligação ao antígeno deste se liga a um epitopo dentro da cadeia  $\alpha$  do referido c-Met humano e induz internalização de c-Met humano da superfície celular.

Qualquer um dos anticorpos monoclonais anteriores ou fragmentos de ligação ao抗原 destes compreendendo três regiões determinantes de complementaridade de cadeia leve (LCDR) e três regiões determinantes de complementaridade de cadeia pesada (LCDR), em que as referidas três LCDR e as referidas três HCDR são selecionadas a partir do grupo que consiste em:

- a) LCDR1 compreendendo a sequência de aminoácidos SVSSSISSTNLH (SEQ ID NO: 49);  
LCDR2 compreendendo a sequência de aminoácidos GTSYLAS (SEQ ID NO: 50);  
LCDR3 compreendendo a sequência de aminoácidos QQWSSYPYS (SEQ ID NO: 51);  
HCDR1 compreendendo a sequência de aminoácidos GYTFTSRYIH (SEQ ID NO: 59);  
HCDR2 compreendendo a sequência de aminoácidos WIYPVTGDTYYNEKFKG (SEQ ID NO: 60); e  
HCDR3 compreendendo a sequência de aminoácidos GYGAFYY (SEQ ID NO: 61);
- b) LCDR1 compreendendo a sequência de aminoácidos SVSSSISSTNLH (SEQ ID NO: 49);  
LCDR2 compreendendo a sequência de aminoácidos GTSYLAS (SEQ ID NO: 50);  
LCDR3 compreendendo a sequência de aminoácidos QQWSSYPYS (SEQ ID NO: 51);  
HCDR1 compreendendo a sequência de aminoácidos GYTFTSRYIH (SEQ ID NO: 59);  
HCDR2 compreendendo a sequência de aminoácidos WIYPVTGDTYYIEKFKG (SEQ ID NO: 62); e

HCDR3 compreendendo a sequência de amino-ácidos GYGAFFY (SEQ ID NO: 63);

c) LCDR1 compreendendo a sequência de amino-ácidos SVSSS1SSTNLH (SEQ ID NO: 49);

LCDR2 compreendendo a sequência de amino-ácidos GTSRLRS (SEQ ID NO: 52);

LCDR3 compreendendo a sequência de amino-ácidos QQWSSYPYS (SEQ ID NO: 51);

HCDR1 compreendendo a sequência de amino-ácidos GYTFTSRYIH (SEQ ID NO: 59);

HCDR2 compreendendo a sequência de amino-ácidos WIYPVTGDTYYREPKG (SEQ ID NO: 64); e

HCDR3 compreendendo a sequência de amino-ácidos GYGAFYY (SEQ ID NO: 61).

Qualquer um dos anticorpos monoclonais anteriores ou fragmentos de ligação ao抗原 destes compreendendo três regiões determinantes de complementaridade de cadeia leve (LCDR) e três regiões determinantes de complementaridade de cadeia pesada (HCDR), em que as referidas três LCDR e as referidas três HCDR são selecionadas a partir do grupo que consiste em:

a) LCDR1 compreendendo a sequência de amino-ácidos SVSSSVSSIYLH (SEQ ID NO: 53);

LCDR2 compreendendo a sequência de amino-ácidos STSNLAS (SEQ ID NO: 54);

LCDR3 compreendendo a sequência de amino-ácidos IQYSGYPLT (SEQ ID NO: 55);

HCDR1 compreendendo a sequência de amino-ácidos GYTFTDYYMH (SEQ ID NO: 65);

HCDR2 compreendendo a sequência de amino-  
ácidos RVNPNRGGTTYNQKFEG (SEQ ID NO: 66); e

CDR3 compreendendo a sequência de amino-  
ácidos TNWLDY (SEQ ID NO: 67);

b) LCDR1 compreendendo a sequência de amino-  
ácidos SVSSSVSSIYLH (SEQ ID NO: 53);

LCDR2 compreendendo a sequência de amino-  
ácidos STSNLAS (SEQ ID NO: 54);

LCDR3 compreendendo a sequência de amino-  
ácidos QVYSGYPLT (SEQ ID NO: 56);

HCDR1 compreendendo a sequência de amino-  
ácidos GYTFTDYYMH (SEQ ID NO: 65);

HCDR2 compreendendo a sequência de amino-  
ácidos RVNPNRGGTTYNQKFEG (SEQ ID NO: 68); e

HCDR3 compreendendo a sequência de amino-  
ácidos ANWLDY (SEQ ID NO: 69); e

c) LCDR1 compreendendo a sequência de amino-  
ácidos SVSSSVRSIYLH (SEQ ID NO: 57);

LCDR2 compreendendo a sequência de amino-  
ácidos STSNLAS (SEQ ID NO: 54);

LCDR3 compreendendo a sequência de amino-  
ácidos QVYRGYPLT (SEQ ID NO: 58);

HCDR1 compreendendo a sequência de amino-  
ácidos GYTFTDYYMH (SEQ ID NO: 65);

HCDR2 compreendendo a sequência de amino-  
ácidos RVNPYRGSTTYNQKFEG (SEQ ID NO: 70); e

HCDR3 compreendendo a sequência de amino-  
ácidos ANILDY (SEQ ID NO: 71).

Qualquer um dos anticorpos monoclonais anteriores, ou fragmentos de ligação ao抗原 destes comprendendo três regiões determinantes de complementaridade de cadeia leve (LCDR) e três regiões determinantes de complementaridade de cadeia pesada (HCDR), em que:

LCDR1 compreende a sequência de aminoácidos SVSSSVSSIYLH (SEQ ID NO: 53);

LCDR2 compreende a sequência de aminoácidos STSNLAS (SEQ ID NO: 54);

LCDR3 compreende a sequência de aminoácidos IQYSGYPLT (SEQ ID NO: 55);

HCDR1 compreende a sequência de aminoácidos GYTFTDYYMH (SEQ ID NO: 65);

HCDR2 compreende a sequência de aminoácidos RVNPNRGGTTYNQKFEG (SEQ ID NO: 66); e

HCDR3 compreende a sequência de aminoácidos TNWLDY (SEQ ID NO: 67).

Qualquer um dos anticorpos monoclonais anteriores, ou fragmentos de ligação ao抗原 destes comprendendo três regiões determinantes de complementaridade de cadeia leve (LCDR) e três regiões determinantes de complementaridade de cadeia pesada (HCDR), em que:

LCDR1 compreende a sequência de aminoácidos SVSSSVSSIYLH (SEQ ID NO: 53);

LCDR2 compreende a sequência de aminoácidos STSNLAS (SEQ ID NO: 54);

LCDR3 compreende a sequência de aminoácidos QVYSGYPLT (SEQ ID NO: 56);

HCDR1 compreende a sequência de aminoácidos GYTFTDYYMH (SEQ ID NO: 65);

HCDR12 compreende a sequência de aminoácidos RVNPNNRRGTTYNQKFEG (SEQ ID NO: 68); e

HCDR3 compreende a sequência de aminoácidos ANWLDY (SEQ ID NO: 69).

Qualquer um dos anticorpos monoclonais anteriores, ou fragmentos de ligação ao抗原 destes, compreendendo uma região variável de cadeia leve (LCVR) e uma região variável de cadeia pesada (HCVR), em que a referida LCVR e a referida HCVR, respetivamente, compreendem sequências de aminoácidos selecionadas a partir do grupo que consiste em:

a) SEQ ID NO: 94 e SEQ ID NO: 96; e

b) SEQ ID NO: 95 e SEQ ID NO: 97,

em que o referido anticorpo monoclonal ou fragmento de ligação ao抗原 deste se liga a um epitopo dentro da cadeia α do referido c-Met humano e induz internalização de c-Met humano da superfície celular.

Qualquer um dos anticorpos monoclonais anteriores, ou fragmentos de ligação ao抗原 destes compreendendo uma região variável de cadeia leve (LCVR) e uma região variável de cadeia pesada (HCVR), em que a referida LCVR compreende SEQ ID NO: 94 e a referida HCVR compreende SEQ ID NO: 96.

Qualquer um dos anticorpos monoclonais anteriores,

res, ou fragmentos de ligação ao抗igénio destes compreendendo uma região variável de cadeia leve (LCVR) e uma região variável de cadeia pesada (HCVR), em que a referida LCVR compreende SEQ ID NO: 95 e a referida HCVR compreende SEQ ID NO: 97.

Qualquer um dos anticorpos monoclonais anteriores ou fragmentos de ligação ao抗igénio destes, em que a referida LCVR e a referida HCVR compreende sequências de aminoácidos que são selecionadas a partir do grupo que consiste em:

- a) LCVR é SEQ ID NO: 1 e HCVR é SEQ ID NO: 13;
  - b) LCVR é SEQ ID NO: 2 e HCVR é SEQ ID NO: 14;
  - c) LCVR é SEQ ID NO: 3 e HCVR é SEQ ID NO: 15;
  - d) LCVR é SEQ ID NO: 4 e HCVR é SEQ ID NO: 16;
  - e) LCVR é SEQ ID NO: 5 e HCVR é SEQ ID NO: 17;
- e
- f) LCVR é SEQ ID NO: 6 e LCVR é SEQ ID NO: 18.

Qualquer um dos anticorpos monoclonais anteriores ou fragmentos de ligação ao抗igénio destes, em que a referida LCVR e a referida HCVR, respetivamente, compreendem sequências de aminoácidos selecionadas a partir do grupo que consiste em:

- a) LCVR é SEQ ID NO: 1 e HCVR é SEQ ID NO: 13;
  - b) LCVR é SEQ ID NO: 2 e HCVR é SEQ ID NO: 14;
- e
- c) LCVR é SEQ ID NO: 3 e HCVR é SEQ ID NO: 15.

Qualquer um dos anticorpos monoclonais anteriores ou fragmentos de ligação ao抗原 destes, em que a referida LCVR e a referida HCVR, respetivamente, compreendem sequências de aminoácidos selecionadas a partir do grupo que consiste em:

- a) LCVR é SEQ ID NO: 4 e HCVR é SEQ ID NO: 16;
  - b) LCVR é SEQ ID NO: 5 e HCVR é SEQ ID NO: 17;
- e
- c) LCVR é SEQ ID NO: 6 e HCVR é SEQ ID NO: 18.

Qualquer um dos anticorpos monoclonais anteriores ou fragmentos de ligação ao抗原 destes, em que a referida LCVR compreende a sequência de aminoácidos de SEQ ID NO: 4 e a referida HCVR compreende a sequência de aminoácidos de SEQ ID NO: 16.

Qualquer um dos anticorpos monoclonais anteriores ou fragmentos de ligação ao抗原 destes, em que a referida LCVR compreende a sequência de aminoácidos de SEQ ID NO: 5 e a referida HCVR compreende a sequência de aminoácidos de SEQ ID NO: 17.

Qualquer um dos anticorpos monoclonais anteriores em que o referido anticorpo compreende uma cadeia leve e uma cadeia pesada em que a cadeia leve e a cadeia pesada compreendem sequências de aminoácidos que são selecionadas a partir do grupo que consiste em:

- a) cadeia leve é SEQ ID NO: 25 e cadeia pesada é SEQ ID NO: 37;

- b) cadeia leve é SEQ ID NO: 26 e cadeia pesada é SEQ ID NO: 38;
- c) cadeia leve é SEQ ID NO: 27 e cadeia pesada é SEQ ID NO: 39;
- d) cadeia leve é SEQ ID NO: 28 e cadeia pesada é SEQ ID NO: 40;
- e) cadeia leve é SEQ ID NO: 29 e cadeia pesada é SEQ ID NO: 41; e
- f) cadeia leve é SEQ ID NO: 30 e cadeia pesada é SEQ ID NO: 42.

Qualquer um dos anticorpos monoclonais anteriores em que o referido anticorpo compreende uma cadeia leve e uma cadeia pesada em que a cadeia leve e a cadeia pesada compreendem sequências de aminoácidos que são selecionadas a partir do grupo que consiste em:

- a) cadeia leve é SEQ ID NO: 25 e cadeia pesada é SEQ ID NO: 37;
- b) cadeia leve é SEQ ID NO: 26 e cadeia pesada é SEQ ID NO: 38; e
- c) cadeia leve é SEQ ID NO: 27 e cadeia pesada é SEQ ID NO: 39.

Qualquer um dos anticorpos monoclonais anteriores em que o referido anticorpo compreende uma cadeia leve e uma cadeia pesada em que a cadeia leve e a cadeia pesada compreendem sequências de aminoácidos que são selecionadas a partir do grupo que consiste em:

a) cadeia leve é SEQ ID NO: 28 e cadeia pesada é SEQ ID NO: 40;

b) cadeia leve é SEQ ID NO: 29 e cadeia pesada é SEQ ID NO: 41; e

c) cadeia leve é SEQ ID NO: 30 e cadeia pesada é SEQ ID NO: 42.

Qualquer um dos anticorpos monoclonais anteriores em que a referida cadeia leve compreende a sequência de aminoácidos de SEQ ID NO: 28 e a referida cadeia pesada compreende a sequência de aminoácidos de SEQ ID NO: 40.

Qualquer um dos anticorpos monoclonais anteriores em que a referida cadeia leve compreende a sequência de aminoácidos de SEQ ID NO: 29 e a referida cadeia pesada compreende a sequência de aminoácidos de SEQ ID NO: 41.

Qualquer um dos anticorpos monoclonais anteriores em que o referido anticorpo compreende duas cadeias leves e duas cadeias pesadas, em que cada cadeia leve compreende a sequência de aminoácidos de SEQ ID NO: 28 e cada cadeia pesada compreende a sequência de aminoácidos de SEQ ID NO: 40.

Qualquer um dos anticorpos monoclonais anteriores em que o referido anticorpo compreende duas cadeias leves e duas cadeias pesadas, em que cada cadeia leve compreende a sequência de aminoácidos de SEQ ID NO: 29 e cada cadeia pesada compreende a sequência de aminoácidos de SEQ ID NO: 41.

Um anticorpo monoclonal ou fragmento de ligação ao抗igenio deste que compete com qualquer um dos anticorpos monoclonais de c-Met anteriores ou fragmentos de ligação ao抗igenio destes para ligação a c-Met. Tal anticorpo monoclonal de competição ou fragmento de ligação ao抗igenio deste pode ligar-se ao mesmo epitopo de c-Met como qualquer um dos anticorpos monoclonais de c-Met anteriores ou fragmentos de ligação ao抗igenio destes. Numa concretização preferida, o anticorpo monoclonal ou fragmento de ligação ao抗igenio deste compete com um anticorpo que comprehende uma cadeia leve e uma cadeia pesada, em que a cadeia leve comprehende a sequência de aminoácidos de SEQ ID NO: 28 e a cadeia pesada comprehende a sequência de aminoácidos de SEQ ID NO: 40. Noutra concretização preferida, o anticorpo monoclonal ou fragmento de ligação ao抗igenio deste compete com um anticorpo que comprehende uma cadeia leve e uma cadeia pesada, em que a cadeia leve comprehende a sequência de aminoácidos de SEQ ID NO: 29 e a cadeia pesada comprehende a sequência de aminoácidos de SEQ ID NO: 41.

Qualquer um dos anticorpos monoclonais anteriores ou fragmentos de ligação ao抗igenio destes, que induz redução do c-Met humano total e c-Met humano fosforilado em células tumorais independentes do fator de crescimento de hepatócitos que sobre-expressam constitutivamente o referido c-Met humano. Numa concretização preferida, o anticorpo monoclonal ou fragmento de ligação ao抗igenio

deste que induz redução do c-Met humano total e c-Met humano fosforilado em células tumorais independentes do fator de crescimento de hepatócitos que sobre-expressam constitutivamente o referido c-Met humano, compreende uma cadeia leve e uma cadeia pesada, em que a cadeia leve compreende a sequência de aminoácidos de SEQ ID NO: 28 e a cadeia pesada compreende a sequência de aminoácidos de SEQ ID NO: 40. Noutra concretização preferida, o anticorpo monoclonal ou fragmento de ligação ao抗igénio deste que induz redução do c-Met humano total e c-Met humano fosforilado em células tumorais independentes do fator de crescimento de hepatócitos que sobre-expressam constitutivamente o referido c-Met humano, compreende uma cadeia leve e uma cadeia pesada, em que a cadeia leve compreende a sequência de aminoácidos de SEQ ID NO: 29 e a cadeia pesada compreende a sequência de aminoácidos de SEQ ID NO: 41.

Qualquer um dos anticorpos monoclonais anteriores ou fragmentos de ligação ao抗igénio destes, que induz redução do c-Met humano total e c-Met humano fosforilado em células tumorais independentes do fator de crescimento de hepatócitos que fosforilam constitutivamente o referido c-Met humano. Numa concretização preferida, o anticorpo monoclonal ou fragmento de ligação ao抗igénio deste que induz redução do c-Met humano total e c-Met humano fosforilado em células tumorais independentes do fator de crescimento de hepatócitos que fosforilam constitutivamente o referido c-Met humano, compreende uma cadeia leve e uma cadeia pesada, em que a cadeia leve compreende a sequência

de aminoácidos de SEQ ID NO: 28 e a cadeia pesada compreende a sequência de aminoácidos de SEQ ID NO: 40. Noutra concretização preferida, o anticorpo monoclonal ou fragmento de ligação ao抗原 deste que induz redução do c-Met humano total e c-Met humano fosforilado em células tumorais independentes do fator de crescimento de hepatócitos que fosforilam constitutivamente o referido c-Met humano, compreende uma cadeia leve e uma cadeia pesada, em que a cadeia leve compreende a sequência de aminoácidos de SEQ ID NO: 29 e a cadeia pesada compreende a sequência de aminoácidos de SEQ ID NO: 41.

Qualquer um dos anticorpos monoclonais anteriores ou fragmentos de ligação ao抗原 destes, que induz redução do c-Met humano total e c-Met humano fosforilado em células tumorais independentes do fator de crescimento de hepatócitos que respondem ao fator de crescimento de hepatócitos.

Qualquer um dos anticorpos monoclonais anteriores ou fragmentos de ligação ao抗原 destes, que se ligam de preferência ao domínio extracelular de c-Met humano em comparação com o domínio extracelular de RON humano ou o domínio extracelular de PlexinA2 humano.

Qualquer um dos anticorpos monoclonais anteriores ou fragmentos de ligação ao抗原 destes, que não induz derrramento do domínio extracelular de c-Met humano. Numa concretização preferida, o anticorpo monoclonal ou fragmen-

to de ligação ao抗igénio deste que não induz derramamento do domínio extracelular de c-Met humano, compreende uma cadeia leve e uma cadeia pesada, em que a cadeia leve compreende a sequência de aminoácidos de SEQ ID NO: 28 e a cadeia pesada compreende a sequência de aminoácidos de SEQ ID NO: 40. Noutra concretização preferida, o anticorpo monoclonal ou fragmento de ligação ao抗igénio deste que não induz derramamento do domínio extracelular de c-Met humano, compreende uma cadeia leve e uma cadeia pesada, em que a cadeia leve compreende a sequência de aminoácidos de SEQ ID NO: 29 e a cadeia pesada compreende a sequência de aminoácidos de SEQ ID NO: 41.

Qualquer um dos anticorpos monoclonais anteriores ou fragmentos de ligação ao抗igénio destes, que não protege células tumorais expressando c-Met humano de apoptose induzida por estaurosporina. Numa concretização preferida, o anticorpo monoclonal ou fragmento de ligação ao抗igénio deste que não protege células tumorais expressando c-Met humano de apoptose induzida por estaurosporina, compreende uma cadeia leve e uma cadeia pesada, em que a cadeia leve compreende a sequência de aminoácidos de SEQ ID NO: 28 e a cadeia pesada compreende a sequência de aminoácidos de SEQ ID NO: 40. Noutra concretização preferida, o anticorpo monoclonal ou fragmento de ligação ao抗igénio deste que não protege células tumorais expressando c-Met humano de apoptose induzida por estaurosporina, compreende uma cadeia leve e uma cadeia pesada, em que a cadeia leve compreende a sequência de

aminoácidos de SEQ ID NO: 29 e a cadeia pesada compreende a sequência de aminoácidos de SEQ ID NO: 41.

Qualquer um dos anticorpos monoclonais anteriores ou fragmentos de ligação ao抗原 destes, que inibe a proliferação dependente do fator de crescimento de hepatócitos e independente do fator de crescimento de hepatócitos de células tumorais que expressam c-Met humano.

Qualquer um dos anticorpos monoclonais anteriores ou fragmentos de ligação ao抗原 destes, que inibe a ligação do fator de crescimento de hepatócitos humano a c-Met humano.

Qualquer um dos anticorpos monoclonais anteriores ou fragmentos de ligação ao抗原 destes que não induz atividades biológicas agonistas semelhantes a HGF. Atividades biológicas agonistas semelhantes a HGF incluem proliferação de células tumorais, motilidade de células tumorais, invasão de células tumorais, tubulogénesis, angiogénesis, e efeitos anti-apoptóticos. Numa concretização preferida, o anticorpo monoclonal ou fragmento de ligação ao抗原 deste que não induz atividades biológicas agonistas semelhantes a HGF, compreende uma cadeia leve e uma cadeia pesada, em que a cadeia leve compreende a sequência de aminoácidos de SEQ ID NO: 29 e a cadeia pesada compreende a sequência de aminoácidos de SEQ ID NO: 41.

Uma composição farmacêutica compreendendo qual-

quer um dos anticorpos monoclonais anteriores ou fragmentos de ligação ao抗igénio destes, e um veículo, diluente ou excipiente farmaceuticamente aceitável.

Qualquer um dos anticorpos monoclonais anteriores ou fragmentos de ligação ao抗igénio destes para utilização em terapia. Numa concretização preferida, o anticorpo monoclonal ou fragmento de ligação ao抗igénio deste para utilização em terapia compreende uma cadeia leve e uma cadeia pesada, em que a cadeia leve compreende a sequência de aminoácidos de SEQ ID NO: 28 e a cadeia pesada compreende a sequência de aminoácidos de SEQ ID NO: 40. Noutra concretização, o anticorpo monoclonal ou fragmento de ligação ao抗igénio deste para utilização em terapia compreende uma cadeia leve e uma cadeia pesada, em que a cadeia leve compreende a sequência de aminoácidos de SEQ ID NO: 29 e a cadeia pesada compreende a sequência de aminoácidos de SEQ ID NO: 41.

Qualquer um dos anticorpos monoclonais anteriores ou fragmentos de ligação ao抗igénio destes para utilização em tratamento de um cancro num humano. Numa concretização preferida, o anticorpo monoclonal ou fragmento de ligação ao抗igénio deste para utilização em tratamento de um cancro num humano compreende uma cadeia leve e uma cadeia pesada, em que a cadeia leve compreende a sequência de aminoácidos de SEQ ID NO: 28 e a cadeia pesada compreende a sequência de aminoácidos de SEQ ID NO: 40. Noutra concretização preferida, o anticorpo monoclonal ou

fragmento de ligação ao抗igénio deste para utilização em tratamento de um cancro num humano compreende uma cadeia leve e uma cadeia pesada, em que a cadeia leve compreende a sequência de aminoácidos de SEQ ID NO: 29 e a cadeia pesada compreende a sequência de aminoácidos de SEQ ID NO: 41.

Qualquer um dos anticorpos monoclonais anteriores ou fragmentos de ligação ao抗igénio destes para utilização em tratamento de um cancro num humano em combinação com outro agente terapêutico. Numa concretização preferida, o antícorpo monoclonal ou fragmento de ligação ao抗igénio deste para utilização em tratamento de um cancro num humano em combinação com outro agente terapêutico compreende uma cadeia leve e uma cadeia pesada, em que a cadeia leve compreende a sequência de aminoácidos de SEQ ID NO: 28 e a cadeia pesada compreende a sequência de aminoácidos de SEQ ID NO: 40. Noutra concretização preferida, o antícorpo monoclonal ou fragmento de ligação ao抗igénio deste para utilização em tratamento de um cancro num humano em combinação com outro agente terapêutico compreende uma cadeia leve e uma cadeia pesada, em que a cadeia leve compreende a sequência de aminoácidos de SEQ ID NO: 29 e a cadeia pesada compreende a sequência de aminoácidos de SEQ ID NO: 41.

Uma composição farmacêutica compreendendo qualquer um dos anticorpos monoclonais anteriores ou fragmentos de ligação ao抗igénio destes e um veículo, diluente ou excipiente farmaceuticamente aceitável.

Utilização de qualquer um dos anticorpos monoclonais anteriores ou fragmentos de ligação ao抗原 destes para o fabrico de um medicamento para tratamento de um cancro num humano.

Um método de tratamento de um cancro, compreendendo a administração a um paciente humano a necessitar desta de uma quantidade eficaz de qualquer um dos anticorpos monoclonais anteriores ou fragmentos de ligação ao抗原 destes.

### **Definições**

Um anticorpo inteiro tal como existe na natureza é uma molécula de imunoglobulina compreendendo 2 cadeias pesadas (H) e 2 cadeias leves (L) interligadas por ligações dissulfureto. A porção amino-terminal de cada cadeia inclui uma região variável de cerca de 100-110 ou mais aminoácidos primeiramente responsáveis pelo reconhecimento do抗原 através das regiões determinantes de complementaridade (CDR) nela contidas. A porção carboxi-terminal de cada cadeia define uma região constante primariamente responsável pela função efetora.

As CDR são intercaladas com regiões que são mais conservadas, denominadas regiões estruturais ("FR"). Cada região variável de cadeia leve (LCVR) e região variável de cadeia pesada (HCVR) é composta por 3 CDR e 4 FR, dispostas

do terminal amino para o terminal carboxilo na seguinte ordem: FR1, CDR1, FR2, CDR2, FR3, CDR3, FR4. As 3 CDR da cadeia leve são referidas como "LCDR1, LCDR2, e LCDR3" e as 3 CDR da cadeia pesada são referidas como "HCDR1, HCDR2, e HCDR3". As CDR contêm a maior parte dos resíduos que formam interações específicas com o抗原. A numeração e o posicionamento dos resíduos de aminoácidos das CDR dentro das regiões LCVR e HCVR estão de acordo com a convenção de numeração de Kabat bem conhecida.

As cadeias leves são classificadas como capa ou lambda, e são caracterizadas por uma região constante particular tal como é conhecido na técnica. As cadeias pesadas são classificadas como gama, miu, alfa, delta, ou épsilon, e define o isotipo de um anticorpo como IgG, IgM, IgA, IgD, ou IgE, respectivamente. Os anticorpos IgG podem ainda ser divididos em subclasses, e.g., IgG1, IgG2, IgG3, IgG4. Cada tipo de cadeia pesada é caracterizado por uma região constante particular com uma sequência bem conhecida na técnica.

Tal como aqui utilizado, o termo "anticorpo monoclonal" (mAb) aplicado aos presentes compostos anticorpo refere-se a um anticorpo que é derivado de uma única cópia ou clone incluindo, por exemplo, qualquer clone eucariótico, procariótico, ou fágico, e não o método através do qual é produzido. Os mAb do presente invento existem de preferência numa população homogénea ou substancialmente homogénea. Os mAb completos contêm 2 cadeias pesadas e 2

cadeias leves. "Fragmentos de ligação ao抗igénio" de tais anticorpos monoclonais incluem, por exemplo, fragmentos Fab, fragmentos Fab', fragmentos F(ab')<sub>2</sub>, fragmentos Fv de cadeia simples, e anticorpos de um braço compreendendo uma cadeia leve e uma cadeia pesada. Os anticorpos monoclonais e fragmentos de ligação ao抗igénio destes do presente invento podem ser produzidos, por exemplo, através de tecnologias recombinantes, tecnologias de apresentação fágica, tecnologias sintéticas, e.g., enxerto de CDR, ou combinações de tais tecnologias, ou outras tecnologias conhecidas na técnica.

"Compostos de anticorpos" referem-se a mAb e Fab aqui divulgados. Compostos de anticorpos adicionais exibindo propriedades funcionais semelhantes de acordo com o presente invento podem ser gerados através de métodos convencionais. Por exemplo, podem ser imunizados ratinhos com c-Met humano ou fragmentos deste, os anticorpos resultantes podem ser recuperados e purificados, e a determinação de se possuem propriedades de ligação e funcionais semelhantes a ou iguais às dos compostos de anticorpos aqui divulgados pode ser avaliada através dos métodos divulgados nos Exemplos 2-19, abaixo. Fragmentos de ligação ao抗igénio podem também ser preparados através de métodos convencionais. Os métodos para produção e purificação de anticorpos e fragmentos de ligação ao抗igénio são bem conhecidos na técnica e podem ser verificados, por exemplo, em Harlow e Lane (1988) "Antibodies, A Laboratory Manual", Cold Spring Harbor Laboratory Press, Cold Spring

Harbor, Nova Iorque, capítulos 5-8 e 15, ISBN 0-87969-314-2.

A frase "anticorpos humanos modificados" refere-se a anticorpos monoclonais e fragmentos de ligação ao抗原 para além dos compostos de anticorpos aqui divulgados que possuem propriedades de ligação e funcionais de acordo com o invento semelhantes àquelas aqui divulgadas, e que possuem regiões estruturais que são substancialmente humanas ou totalmente humanas envolvendo CDR derivadas de um anticorpo não humano. "Região estrutural" ou "sequência estrutural" refere-se a qualquer uma das regiões estruturais 1 a 4. Os anticorpos humanos modificados e fragmentos de ligação ao抗原 englobados pelo presente invento incluem moléculas em que qualquer uma ou mais das regiões estruturais 1 a 4 é substancialmente ou totalmente humana, i.e., em que está presente qualquer uma das possíveis combinações individuais de regiões estruturais substancialmente ou totalmente humanas 1 a 4. Por exemplo, isto inclui moléculas em que a região estrutural 1 e a região estrutural 2, região estrutural 1 e região estrutural 3, região estrutural 1, 2, e 3, etc., são substancialmente ou totalmente humanas. Estruturas substancialmente humanas são aquelas que têm pelo menos cerca de 80% de identidade de sequência com uma sequência estrutural da linha germinativa humana conhecida. De preferência, as estruturas substancialmente humanas têm pelo menos cerca de 85%, cerca de 90%, cerca de 95%, ou cerca de 99% de identidade de sequência com uma sequência estrutural da linha germinativa humana conhecida.

Estruturas totalmente humanas são as que são idênticas a uma sequência estrutural da linha germinativa humana conhecida. Sequências estruturais da linha germinativa humana podem ser obtidas a partir de ImMunoGeneTics (IMGT) através do seu sítio da internet <http://imgt.cines.fr>, ou a partir de *The Immunoglobulin FactsBook* de Marie-Paule Lefranc e Gerard Lefranc, Academic Press, 2001, ISBN 012441351. Por exemplo, estruturas da cadeia leve da linha germinativa podem ser selecionadas a partir do grupo que consiste em: A11, A17, A18, A19, A20, A27, A30, L1, L1I, L12, L2, L5, L15, L6, L8, O12, O2, e O8, e regiões estruturais de cadeia pesada da linha germinativa podem ser selecionadas a partir do grupo que consiste em: VH2-5, VH2-26, VH2-70, VH3-20, VH3-72, VHI-46, VH3-9, VH3-66, VH3-74, VH4-31, VHI-18, VHI-69, V1-13-7, VH3-11, VH3-15, VH3-21, VH3-23, VH3-30, VH3-48, VH4-39, VH4-59, e VH5-5I.

Anticorpos humanos modificados para além daqueles aqui divulgados exibindo propriedades funcionais semelhantes de acordo com o presente invento podem ser gerados utilizando vários métodos diferentes. Numa abordagem, as CDR do composto de anticorpo original são enxertadas numa estrutura humana que tem uma elevada identidade de sequência com a estrutura do composto do anticorpo original. A identidade de sequência da nova estrutura será em geral de pelo menos cerca de 80%, pelo menos cerca de 85%, pelo menos cerca de 90%, pelo menos

cerca de 95%, ou pelo menos cerca de 99% idêntica à sequência da estrutura correspondente no composto de anticorpo original. No caso de estruturas possuindo menos de 100 resíduos de aminoácidos, um, dois, ou três resíduos de aminoácidos podem ser mudados. Este enxerto pode resultar numa redução na afinidade de ligação em comparação com a do anticorpo original. Se for este o caso, a estrutura pode ser retro-mutada para a estrutura original em certas posições com base em critérios específicos divulgados por Queen *et al.* (1991) *Proc. Natl. Acad. Sci. USA* 88: 2869. Referências adicionais descrevendo métodos úteis para humanizar anticorpos de ratinho incluem as Patentes U.S. Nos. 4816397; 5225539, e 5693761; programas de computador ABMOD e ENCAD tal como descrito em Levitt (1983) *J. Mol. Biol.* 168: 595-620; e o método de Winter e colaboradores (Jones *et al.* (1986) *Nature* 321: 522-525; Riechmann *et al.* (1988) *Nature* 332: 323-327; e Verhoeven *et al.* (1988) *Science* 239: 1534-1536.

A identificação de resíduos para considerar a retro-mutação pode ser realizada como se segue.

Quando um aminoácido recai sob a seguinte categoria, o aminoácido estrutural da sequência da linha germinativa humana que está a ser utilizada (a "estrutura aceitadora") é substituído por um aminoácido estrutural de uma estrutura do composto do anticorpo original (a "estrutura dadora"):

- a) o aminoácido na região estrutural humana da

estrutura aceitadora é invulgar para estruturas humanas nessa posição, enquanto o aminoácido correspondente na imunoglobulina dadora é típico para estruturas humanas nessa posição;

b) a posição do aminoácido é imediatamente adjacente a uma das CDR; ou

c) qualquer átomo da cadeia lateral de um aminoácido estrutural está dentro de cerca de 5-6 angströms (de centro a centro) de qualquer átomo de um aminoácido de CDR num modelo tridimensional de imunoglobulina.

Quando cada um dos aminoácidos na região estrutural humana da estrutura aceitadora e um aminoácido correspondente na estrutura dadora é geralmente invulgar para estruturas humanas nessa posição, tal aminoácido pode ser substituído por um aminoácido típico para estruturas humanas nessa posição. Este critério de retro-mutação permite recuperar a atividade do composto de anticorpo original.

Outra abordagem para a criação de anticorpos humanos modificados exibindo propriedades funcionais semelhantes às dos compostos de anticorpos aqui divulgados envolve mutação aleatória de aminoácidos dentro das CDR enxertadas sem alterar a estrutura, e pesquisa das moléculas resultantes para afinidade de ligação e outras propriedades funcionais que sejam tão boas ou melhores que as dos compostos de anticorpos originais. Mutações individuais podem também ser introduzidas em cada uma das

posições de aminoácidos dentro de cada CDR, seguido por avaliação dos efeitos de tais mutações na afinidade de ligação e outras propriedades funcionais. Mutações individuais que produzam propriedades melhoradas podem ser combinadas para avaliar os seus efeitos na combinação de umas com as outras.

Além disso, é possível uma combinação de ambas as abordagens anteriores. Depois do enxerto de CDR, pode retro-mutar-se regiões estruturais específicas para além de introduzir alterações de aminoácidos nas CDR. Esta metodologia é descrita em Wu *et al.* (1999) *J. Mol. Biol.* 294: 151-162.

Aplicando os ensinamentos do presente invento, um perito na especialidade pode utilizar técnicas comuns, e.g., mutagénese dirigida ao local, para substituir aminoácidos dentro da CDR e sequências estruturais presentemente divulgadas e assim gerar mais sequências de aminoácidos de regiões variáveis derivadas das presentes sequências. Podem ser introduzidos até todos os aminoácidos de ocorrência natural num local de substituição específico. Os métodos aqui divulgados podem ser utilizados para pesquisar estas sequências de aminoácidos da região variável adicionais para identificar sequências possuindo as funções *in vivo* indicadas. Deste modo, podem ser identificadas outras sequências adequadas para a preparação de anticorpos humanos modificados e porções de ligação ao抗ígeno destes de acordo com o presente invento. De

preferência, a substituição de aminoácidos dentro das estruturas está restringida a uma, duas, ou três posições dentro de qualquer uma ou mais das 4 regiões estruturais de cadeia leve e/ou cadeia pesada aqui divulgadas. De preferência, a substituição de aminoácidos dentro das CDR está restringida a uma, duas, ou três posições dentro qualquer uma ou mais das 3 CDR de cadeia leve e/ou cadeia pesada. Combinações das várias alterações dentro destas regiões estruturais e CDR descritas acima são também possíveis.

Que as propriedades funcionais dos compostos de anticorpos geradas através da introdução das modificações de aminoácidos discutidas acima estão em conformidade com as exibidas pelas moléculas específicas aqui divulgadas pode ser confirmado através dos métodos divulgados abaixo nos Exemplos 2-19.

O termo "epitopo" refere-se a um arranjo específico de aminoácidos localizado num péptido ou numa proteína ao qual um anticorpo ou fragmento de anticorpo se liga. Os epitopos consistem frequentemente num agrupamento de superfície quimicamente ativa de moléculas tais como aminoácidos ou cadeias laterais de açúcares, e têm características da estrutura tridimensional específicas bem como características de carga específicas. Os epitopos podem ser lineares, ou seja, envolvendo a ligação a uma única sequência de aminoácidos, ou conformacionais, i.e., envolvendo a ligação a duas ou mais sequências de

aminoácidos em várias regiões do抗igénio que podem não ser necessariamente contíguas. Os epitopos aqui divulgados podem consistir em, consistir essencialmente em, ou compreender as sequências de aminoácidos divulgadas no Exemplo 3.

Os anticorpos monoclonais ou fragmentos de ligação ao抗igénio destes que "competem" com as moléculas aqui divulgadas são os que se ligam a c-Met humano no ou nos locais que são idênticos a, ou se sobrepõem ao ou aos locais nos quais as presentes moléculas se ligam. Os anticorpos monoclonais de competição ou fragmentos de ligação ao抗igénio destes podem ser identificados, por exemplo, através de um ensaio de competição de anticorpos. Por exemplo, uma amostra de c-Met humano purificado ou parcialmente purificado pode ligar-se a um suporte sólido. Depois, é adicionado um composto de anticorpo ou fragmento de ligação ao抗igénio deste do presente invento e um anticorpo monoclonal ou fragmento de ligação ao抗igénio deste suspeito de ser capaz de competir com tal composto de anticorpo do invento. Uma das duas moléculas é marcada. Se o composto marcado e o composto não marcado se ligarem a locais separados e discretos em c-Met, o composto marcado ligar-se-á ao mesmo nível esteja ou não presente o composto suspeito de competir. No entanto, se os locais de interação forem idênticos ou sobreponíveis, o composto não marcado competirá, e a quantidade de composto marcado ligado ao抗igénio será reduzida. Se o composto não marcado estiver presente em excesso, ligar-se-á muito pouco, se algum,

composto marcado. Para fins do presente invento, os anticorpos monoclonais competidores ou fragmentos de ligação ao抗原 destes são os que diminuem a ligação dos presentes compostos de anticorpos a c-Met em cerca de 50%, cerca de 60%, cerca de 70%, cerca de 80%, cerca de 85%, cerca de 90%, cerca de 95%, ou cerca de 99%. Detalhes dos processos para realização de tais ensaios de competição são bem conhecidos na técnica e podem ser verificados, por exemplo, em Harlow e Lane (1988) "Antibodies, A Laboratory Manual", Cold Spring Harbor Laboratory Press, Cold Spring Harbor, Nova Iorque, páginas 567-569, ISBN 0-87969-314-2. Tais ensaios podem ser tornados quantitativos através da utilização de anticorpos purificados. Uma curva padrão é estabelecida através da titulação de um anticorpo contra si mesmo, isto é, o mesmo anticorpo é utilizado tanto para marcador como competidor. A capacidade de um anticorpo monoclonal competidor não marcado ou fragmento de ligação ao抗原 deste para inibir a ligação da molécula marcada à placa é titulada. Os resultados são traçados e as concentrações necessárias para alcançar o grau desejado de inibição da ligação são comparadas. Se os anticorpos monoclonais ou fragmentos de ligação ao抗原 destes que competem com os compostos de anticorpo do presente invento em tais ensaios de competição têm propriedades funcionais iguais ou semelhantes às dos presentes compostos de anticorpo, pode ser determinado através dos métodos divulgados nos Exemplos 2-19 aqui.

Os anticorpos monoclonais ou fragmentos de

ligação ao抗原 destes que se ligam substancialmente ao mesmo ou aos mesmos epitopos de c-Met que os anticorpos monoclonais ou fragmentos de ligação ao抗原 aqui divulgados são aqueles que se ligam a c-Met humano no ou nos locais que são sobreponíveis ao ou aos locais aos quais as presentes moléculas se ligam. Os métodos que facilitam a identificação de anticorpos monoclonais ou fragmentos de ligação ao抗原 destes que se ligam substancialmente ao mesmo epitopo de c-Met que os anticorpos monoclonais de c-Met ou fragmentos de ligação ao抗原 aqui divulgados são bem conhecidos na técnica e são descritos, por exemplo, na Publicação Internacional PCT WO 00/64946. Se tais anticorpos monoclonais ou fragmentos de ligação ao抗原 destes que se ligam substancialmente ao ou aos mesmos epitopos de c-Met que aqueles aqui divulgados possuem propriedades funcionais iguais ou semelhantes às dos presentes compostos de anticorpo, pode ser determinado através dos métodos divulgados nos Exemplos 2-19 aqui.

"c-Met" ou "c-Met humano" refere-se a qualquer c-Met humano, bem como a formas mutadas funcionalmente ativas deste. A estrutura do c-Met é representada esquematicamente como:



SEMA: Domínio Sema

PSI: Domínio de Plexina, Semaforinas, e Integrinas

IPT: 4 Domínios de Imunoglobulinas, Plexinas, e Fator de Transcrição

TM: Região transmembranar

JM: Domínio justamembranar

KD: Domínio cinase

No ECD de c-Met humano (SEQ ID NO: 75), os aminoácidos 1-24 compreendem a sequência sinal. A proteína madura começa no aminoácido 25 (E). O domínio Sema consiste em aproximadamente 500 resíduos de aminoácidos no terminal N de c-Met, e contém a cadeia α (resíduos de aminoácidos 25-307) e parte da cadeia β (resíduos de aminoácidos 308-519).

O termo "inibe" significa a capacidade de substancialmente antagonizar, proibir, impedir, restringir, atrasar, interromper, eliminar, parar, reduzir ou inverter os efeitos biológicos de c-Met.

O termo "tratar" (ou "tratamento") significa atraso, interrupção, paragem, controlo, termo, redução, ou inversão do progresso ou da gravidade de um sintoma, um distúrbio, uma condição ou uma doença, mas não envolve necessariamente uma eliminação total de todos os sintomas, condições ou distúrbios relacionados com doença.

Eventos agudos e condições crónicas podem ser

tratados. Num evento agudo, um anticorpo ou fragmento de ligação ao抗原 deste é administrado no início de um sintoma, um distúrbio, uma condição ou uma doença, e é descontinuado quando o evento agudo termina. Em contraste, um sintoma, uma desordem, uma condição ou uma doença crónico é tratado ao longo de um período de tempo mais prolongado.

O termo "quantidade eficaz" refere-se à quantidade ou dose de um composto de anticorpo do presente invento que, após administração de uma ou de múltiplas doses a um paciente, proporciona o tratamento ou a prevenção desejados. Quantidades terapeuticamente eficazes dos presentes compostos de anticorpos podem compreender uma quantidade no intervalo de cerca de 0,1 mg/kg a cerca de 20 mg/kg por dose única. Uma quantidade terapeuticamente eficaz para qualquer paciente individual pode ser determinada pelo prestador de cuidados de saúde através da monitorização do efeito dos compostos de anticorpos num biomarcador, tal como um c-Met da superfície celular em tecidos tumorais ou não tumorais, regressão tumoral, etc. A análise dos dados obtidos através destes métodos permite a modificação do regime de tratamento durante a terapia de modo a que as quantidades ótimas dos compostos de anticorpos, empregues isoladamente ou em combinação com um outro agente terapêutico, sejam administradas, e de modo a que a duração do tratamento possa também ser determinada. Desta forma, o regime de dosagem/tratamento pode ser modificado ao longo do curso da terapia de modo a que sejam

administradas menores quantidades de compostos de anticorpos utilizados sozinhos ou em combinação que exibam eficácia satisfatória na redução de tumor, e de modo a que a administração de tais compostos seja continuada apenas o tempo necessário para tratar com sucesso o paciente.

Os compostos de anticorpos do presente invento podem ser utilizados como medicamentos em medicina humana, administrados através de uma variedade de vias. De maior preferência, tais composições são para administração parentérica. Tais composições farmacêuticas podem ser preparadas através de métodos bem conhecidos na técnica. Ver, e.g., Remington: "The Science and Practice of Pharmacy", 19<sup>a</sup> ed. (1995), A. Gennaro et al., Mack Publishing Co., e compreendem um ou mais dos compostos de anticorpos aqui divulgados, e um veículo, diluente ou excipiente farmaceuticamente aceitável.

O termo "tumor" refere-se a todo o crescimento e proliferação de células neoplásicas, malignas ou benignas, e a todas as células e tecidos pré-cancerosos e cancerosos. Os termos "cancro", "canceroso" e "tumor" não são mutuamente exclusivos tal como aqui utilizados.

Os termos "cancro" e "canceroso" referem-se a ou descrevem a condição fisiológica em mamíferos que é tipicamente caracterizada por crescimento/proliferação celular aberrante. Exemplos de cancros incluem, mas não estão limitados a, carcinomas, linfomas, blastomas, sarcomas e leucemias.

**c-Met e Cancro**

As vias desreguladas de c-Met podem ser induzidas através de sobre-regulação da transcrição, amplificação do gene de c-Met, alterações genéticas específicas, ou mecanismos autócrinos ou parácrinos dependentes do ligando. A causa mais frequente de ativação constitutiva de c-Met em tumores humanos é o aumento da expressão da proteína como consequência da sobre-regulação da transcrição, na ausência de amplificação génica. Além disso, a amplificação do gene *MET*, com a consequente sobre-expressão proteica e ativação constitutiva da cinase, foi relatada em vários tumores primários humanos, incluindo carcinomas gástricos e esofágicos, carcinomas do pulmão de células não pequenas (NSCL) e meduloblastomas. Tumores de origem mesenquimatosa, tais como osteossarcomas e rhabdomiossarcomas, utilizam frequentemente mecanismos autócrinos através da produção de HGF. Níveis elevados de HGF e sobre-expressão de c-Met estão frequentemente associados a fracos resultados clínicos que incluem doença mais agressiva, aumento da metástase tumoral e sobrevida encurtada do paciente. Além disso, níveis elevados de HGF e/ou proteínas c-Met em tumores conferem resistência à quimioterapia e radioterapia. Além da expressão anormal de HGF e c-Met, a via de c-Met pode ser ativada através de alterações genéticas tais como mutações de c-Met, amplificação génica, e rearranjo de genes. Mutações missense ("sem sentido") de *c-MET* são verificadas em todos os indivíduos com carcinomas renais.

papilares (PRCC) hereditários bem caracterizados e num pequeno subconjunto (13%) de amostras de PRCC esporádico. Algumas das mutações possuem potencial oncogénico devido ao aumento da atividade da cinase. Trissomia do cromossoma 7, no qual ambos os genes *HGF* e *c-MET* residem, ocorre frequentemente em PRCC, e resulta numa duplicação não aleatória do alelo mutante de *c-MET*. Além disso, foram identificadas mutações somáticas de *c-MET* noutros cancros humanos, incluindo cancros gástricos, da cabeça e do pescoço, do fígado, do ovário, do pulmão de células não pequenas e da tiroide, bem como em metástases de alguns destes cancros. Ao contrário de PRCC, onde as mutações estão tipicamente confinadas ao domínio cinase, estas mutações estão frequentemente localizadas noutras regiões do receptor, por exemplo, no domínio justamembranar. Além da mutação, o gene *c-MET* é frequentemente amplificado em cancros da mama, do fígado, do cérebro, colorrectal, gástrico, do pulmão e do estômago, que é correlacionado com a progressão da doença nalguns pacientes.

### **Indicações terapêuticas**

Sinalização de HGF/*c-MET* aberrante foi documentada numa ampla variedade de malignidades humanas, incluindo cancros da bexiga, da mama, cervical, colorretal, do endométrio, esofágico, gástrico, da cabeça e do pescoço, do rim, do fígado, do pulmão, nasofaríngeo, do ovário, pancreático, da próstata e da tiroide, bem como colangiocarcinoma, osteossarcoma, rabdomiossarcoma, sarcoma sino-

vial, sarcoma de Kaposi, leiomiossarcomas, e MFH/fibrosarcoma. Além disso, a expressão anormal de HGF e/ou c-Met foi também relatada em malignidades hematológicas tais como leucemia mielogénica aguda, leucemia de células T do adulto, leucemia mieloide crónica, linfomas e mieloma múltiplo, bem como outros tumores tais como melanoma, mesotelioma, tumor de Wilms, glioblastomas, e astrocitomas (resumidos em Liu et al. (2008) *Expert. Opin. Investig. Drugs* 17(7): 997-1011). Os anticorpos de c-Met do presente invento podem inibir tanto tumores dependentes de HGF como independentes de HGF.

Os seguintes exemplos não limitativos ilustram vários aspetos do presente invento.

Nos exemplos abaixo, os anticorpos de controlo IgG2 e IgG4 humanizados e IgG de murídeo (também por vezes referido como mIgG1) são anticorpos de controlo do isotipo não relacionados com os presentes anticorpos de c-Met. Os anticorpos C8, D11, e optD11 são anticorpos de murídeo. Em todos os casos, o HGF humano é obtido a partir de R&D Systems (#294).

### **Exemplo 1**

#### **Anticorpos de c-Met**

As sequências de aminoácidos das regiões

variáveis de cadeia leve e de cadeia pesada, tais como cadeias leves e pesadas completas, e as respetivas sequências nucleotídicas codificadoras das anteriores, dos presentes anticorpos humanos modificados estão listadas abaixo na seção intitulada "Sequências de Aminoácidos e Nucleotídicas". As sequências de aminoácidos das CDR de cadeia leve e cadeia pesada são mostradas nas Tabelas 1 e 2, respetivamente.

**Tabela 1. CDR de Cadeia Leve**

Anticorpo	CDR 1	CDR 2	CDR 3
D11-S17Y	SVSSSISSTNLH (SEQ ID NO: 49)	GTSYLAS (SEQ ID NO: 50)	QQWSSYPYS (SEQ ID NO: 51)
D11-8B8	SVSSSISSTNLH (SEQ ID NO: 49)	GTSYLAS (SEQ ID NO: 50)	QQWSSYPYS (SEQ ID NO: 51)
D11-C27G3	SVSSSISSTNLH (SEQ ID NO: 49)	GTSRLRS (SEQ ID NO: 52)	QQWSSYPYS (SEQ ID NO: 51)
Sequência de Consenso de D11	--	GTSX <sub>1</sub> LX <sub>2</sub> S (SEQ ID NO: 87)	--
C8-6	SVSSSVSSIYIH (SEQ ID NO: 53)	STSNLAS (SEQ ID NO: 54)	IQVSGYPLT (SEQ ID NO: 55)
C8-H241	SVSSSVSSIYIH (SEQ ID NO: 53)	STSNLAS (SEQ ID NO: 54)	QVYSGYPLT (SEQ ID NO: 56)
C8-cc-16	SVSSSVRSIYIH (SEQ ID NO: 57)	STSNLAS (SEQ ID NO: 54)	QVYRGYPLT (SEQ ID NO: 58)
Sequência de Consenso de C8	SVSSSVX <sub>3</sub> SIYIH (SEQ ID NO: 88)	--	X <sub>4</sub> X <sub>5</sub> YX <sub>6</sub> GYPLT (SEQ ID NO: 89)
X <sub>1</sub> é Y ou R, e X <sub>2</sub> é A ou R; X <sub>3</sub> é S ou R; X <sub>4</sub> é I ou Q, X <sub>5</sub> é Q ou V, e X <sub>6</sub> é S ou R;			

**Tabela 2. CDR de Cadeia Pesada**

<b>Anticorpo</b>	<b>CDR 1</b>	<b>CDR 2</b>	<b>CDR 3</b>
<b>D11-S17Y</b>	GYTFTSRYIH (SEQ ID NO: 59)	WIYPVTGDTYYNEKFKG (SEQ ID NO: 60)	GYGAFYY (SEQ ID NO: 61)
<b>D11-8B8</b>	GYTFTSRYIH (SEQ ID NO: 59)	WIYPVTGDTYYIEKFKG (SEQ ID NO: 62)	GYGAFFY (SEQ ID NO: 63)
<b>D11-C27G3</b>	GYTFTSRYIH (SEQ ID NO: 59)	WIYPVTGDTYYREPFKG (SEQ ID NO: 64)	GYGAFYY (SEQ ID NO: 61)
<b>Sequência de consenso de D11</b>	--	WIYPVTGDTYYX <sub>7</sub> EX <sub>8</sub> FKG (SEQ ID NO: 90)	GYGAFX <sub>9</sub> Y (SEQ ID NO: 91)
<b>C8-6</b>	GYTFTDYYMH (SEQ ID NO: 65)	RVNPNRGGTTYNQKFEG (SEQ ID NO: 66)	TNWLDY (SEQ ID NO: 67)
<b>C8-H241</b>	GYTFTDYYMH (SEQ ID NO: 65)	RVNPNRGGTTYNQKFEG (SEQ ID NO: 68)	ANWLDY (SEQ ID NO: 69)
<b>C8-∞-16</b>	GYTFTDYYMH (SEQ ID NO: 65)	RVNPYRGSTTYNQKFEG (SEQ ID NO: 70)	ANILDY (SEQ ID NO: 71)
<b>Sequência de consenso de C8</b>	--	RVNPX <sub>10</sub> RX <sub>11</sub> X <sub>12</sub> TTYNQKFEG (SEQ ID NO: 92)	X <sub>13</sub> NX <sub>14</sub> LDY (SEQ ID NO: 93)
X <sub>7</sub> é N, I, ou R, e X <sub>8</sub> é K ou P; X <sub>9</sub> é Y ou F; X <sub>10</sub> é N ou Y, X <sub>11</sub> é G ou R, e X <sub>12</sub> é G ou S; X <sub>13</sub> é T ou A, e X <sub>14</sub> é W ou I;			

As sequências de consenso para as regiões variáveis das cadeias leves e pesadas dos anticorpos D11 e C8 são:

**Sequência de Consenso da Região Variável da Cadeia Leve do Anticorpo D11 (SEQ ID NO: 94)**  
**EIVLTQSPGTLSLSPGERATLSCSVSSSISSTNLHWYQQKPGQAPRLLIY**  
**GTSXLX<sub>2</sub>SGIPDRFSGSGSGTDFTLTISRLEPEDFAVYYCQQWSSYPYSFG**  
**QGTKLEIK**

em que X<sub>1</sub> é Y ou R, e X<sub>2</sub> é A ou R;

**Sequência de Consenso da Região Variável da Cadeia Leve do Anticorpo C8 (SEQ ID NO: 95)**  
DIQMTQSPSSLSASVGDRVTTITCSVSSSVX, SIYLIHWYQQKPGKAPKLIJY  
STSNLASGVPSRSGSGSIDFTLTSSLQPEDFATYYCX<sub>4</sub>X<sub>5</sub>YX<sub>6</sub>GYPLTFG  
GGTKVEIK

em que X<sub>3</sub> é S ou R, X<sub>4</sub> é I ou Q, X<sub>5</sub> é Q, ou V, e X<sub>6</sub> é S ou R;

**Sequência de Consenso da Região Variável da Cadeia Pesada do Anticorpo D11 (SEQ ID NO: 96)**

QVQLVQSGAEVKKPGSSVKVSCKASGYTFTSRYIHWVRQAPGQGLEWMGW  
IYPVTGDTYYX<sub>7</sub>EX, FKGRVTITADKSTSTAYMELSSLRSEDTAVYYCARGY  
GAFX<sub>9</sub>YWGQQGTLVTVS

em que X<sub>7</sub> é N, I, ou R, X<sub>8</sub> é K ou P, e X<sub>9</sub> é Y ou F;

**Sequência de Consenso da Região Variável da Cadeia Pesada do Anticorpo C8 (SEQ ID NO: 97)**

QVQLVQSGAEVKKPGASVKVSCKASGYTFTDYYMHWVRQAPGQGLEWMGR  
VNPNX<sub>10</sub>RX<sub>11</sub>X<sub>12</sub>TTYNQKFEGRVTMIIIDTSTSTAYMELRSLRSDDTAVYYCARX<sub>13</sub>  
NX<sub>14</sub>LDYWGQQGTLVTVS

em que X<sub>10</sub> é Y ou N, X<sub>11</sub> é G ou R, X<sub>12</sub> é S ou G, X<sub>13</sub> é A ou T, e X<sub>14</sub> é I ou W.

Os anticorpos são expressos transientemente em células HEK293 EBNA (Edge BioSystems, #90500130) utilizando procedimentos de transfeção padrão. As células transfetadas são cultivadas em meio isento de soro padrão contendo geneticina (G418) e tobramicina durante 48 a 120 horas a 37°C após transfeção. Os anticorpos são purificados numa coluna de rProteína A-Sepharose de 60 ml (Amersham Biosciences, #17-1279-04) seguindo as instruções do

fabricante, e concentrando e purificando ainda através de cromatografia de exclusão de tamanho (XK50/60 Superdex200, Pharmacia) com solução salina tamponada com fosfato (PBS), pH 7,4, como fase móvel. Os anticorpos são então filtrados utilizando Millev-GV, membranas de PVDF, 0,22 µm, 33 mm, (Millipore, # SLGV033RS), e armazenou-se a 4 e 8°C.

O anticorpo de c-Met IgG1 de murídeo 5D5 (Patente U.S. No. 5686292), discutido em muitos dos exemplos abaixo, é isolado e purificado a partir do hibridoma HB-11895 obtido a partir da American Type Culture Collection, Manassas, VA, tal como descrito acima.

### Exemplo 2

#### Cinética de Ligação dos Anticorpos de c-Met a Vários

#### Domínios Extracelulares de c-Met

Os domínios extracelulares (ECD) das sequências de c-Met humano, de macaco cinomolgo, e de rato são expressos como proteínas de fusão de Fc com uma etiqueta flag e His (Flis-tag) no terminal C do Fc (SEQ ID NOS: 72-74). Estas proteínas de fusão de Fc de ECD de c-Met são separadamente expressas transientemente em células HEK293 EBNA e purificadas tal como descrito no Exemplo 1.

Um instrumento BIACore® 2000 é usado para medir a cinética de ligação dos anticorpos de c-Met aos ECD de c-

Met humano, de macaco cinomolgo e rato. As medições são realizadas a 25°C. As amostras são dissolvidas em tampão HBS-EP (cloreto de sódio 150 mM, EDTA 3 mM, tensioativo P-20 a 0,005% (p/v), e ácido N-2-hidroxietilpiperazina-N'-2-etanossulfônico 10 mM (HEPES) a pH 7,4; #BR-1001-88). O fragmento F(ab')<sub>2</sub> do anticorpo de cabra anti-IgG humano, fragmento F(ab')<sub>2</sub> específico (Jackson Immunoresearch Inc, #109-006-097) é imobilizado em células de fluxo 1 a 4 de um *chip* sensor CM5 ao nível de 4000 unidades de resposta (RU) usando química de acoplamento de amina para capturar anticorpos anti-c-Met.

A ligação é avaliada utilizando múltiplos ciclos. Cada ciclo é realizado a um caudal de 50 µL/min., e consiste nos seguintes passos: injeção de cerca de 10 µL de um anticorpo de c-Met a 10 µg/ml com o objetivo de uma captura de 40-100 RU, injeção de 250 µl de ECD de c-Met-Flis-Fc humano, de cinomolgo, ou rato (começando a 100 nM e utilizando diluições em série de duas vezes para cada ciclo) seguido de 20 min. para dissociação, e regeneração utilizando cerca de 30 µl de cloridrato de glicina 10 mM , pH 1,5. As taxas de associação e dissociação para cada ciclo são avaliadas utilizando um modelo de "ligação 1:1 (Langmuir)" no suporte lógico BIAevaluation, versão 4.1. Para a ligação do anticorpo D11-S17Y ao ECD de c-Met-Flis-Fc de rato, é utilizado um modelo de ligando heterogêneo para ajustar os dados de forma adequada; portanto, são obtidas duas afinidades de ligação.

Os resultados são mostrados nas Tabelas 3-5 abaixo.

**Tabela 3**

<b>Cinética de Ligação e Afinidade dos Anticorpos de c-Met com ECD de c-Met-Flis-Fc Humano</b>			
<b>Anticorpo</b>	<b>k<sub>on</sub> (1/Ms)</b>	<b>k<sub>off</sub> (1/s)</b>	<b>K<sub>D</sub> (nM)</b>
<b>D11-8B8</b>	$1,0 \pm 0,1 \times 10^5$	$0,5 \pm 0,2 \times 10^{-4}$	$0,5 \pm 0,2$
<b>D11-C27G3</b>	$6,4 \pm 0,2 \times 10^4$	$0,9 \pm 0,2 \times 10^{-4}$	$1,4 \pm 0,3$
<b>D11-S17Y</b>	$0,7 \pm 0,1 \times 10^5$	$2,8 \pm 0,1 \times 10^4$	$4,2 \pm 0,9$
<b>C8-H241</b>	$1,1 \pm 0,3 \times 10^5$	$<10^{-5}$	$<0,1$
<b>C8-6</b>	$1,6 \pm 0,4 \times 10^3$	$3 \pm 2 \times 10^{-4}$	$4 \pm 1$
<b>C8-co16</b>	$1,1 \pm 0,2 \times 10^5$	$0,3 \pm 0,2 \times 10^{-4}$	$0,3 \pm 0,1$

**Tabela 4**

<b>Cinética de Ligação e Afinidade de Anticorpos de c-Met com ECD de c-Met-Flis-Fc de Macaco Cinomolgo</b>			
<b>Anticorpo</b>	<b>k<sub>on</sub> (1/Ms)</b>	<b>k<sub>off</sub> (1/s)</b>	<b>K<sub>D</sub> (nM)</b>
<b>D11-8B8</b>	$0,78 \pm 0,02 \times 10^5$	$2,23 \pm 0,07 \times 10^{-4}$	$2,9 \pm 0,2$
<b>D11-C27G3</b>	$0,5 \pm 0,1 \times 10^5$	$3,2 \pm 0,4 \times 10^{-4}$	$6,5 \pm 0,7$
<b>D11-517Y</b>	$0,70 \pm 0,08 \times 10^5$	$3,6 \pm 0,5 \times 10^{-4}$	$5,1 \pm 0,2$
<b>C8-H241</b>	$0,80 \pm 0,06 \times 10^5$	$<10^{-5}$	$<0,2$
<b>C8-6</b>	$1,4 \pm 0,5 \times 10^5$	$4,5 \pm 0,2 \times 10^{-4}$	$3,6 \pm 1,1$
<b>C8-co16</b>	$1,03 \pm 0,02 \times 10^5$	$<10^{-5}$	$<0,1$

**Tabela 5**

<b>Cinética de Ligação e Afinidade de Anticorpos de c-Met com ECD de c-Met-Flis-Fc de Rato</b>						
<b>Anticorpo</b>	<b>k<sub>on</sub> (1/Ms)</b>	<b>k<sub>off</sub> (1/s)</b>	<b>K<sub>D</sub> (pM)</b>	<b>k<sub>on</sub> 1/Ms)</b>	<b>k<sub>off</sub> (1/s)</b>	<b>K<sub>D</sub> (nM)</b>
<b>D11-8B8</b>	$2,1 \pm 0,2 \times 10^5$	$1,9 \pm 0,3 \times 10^{-4}$	$0,89 \pm 0,04$			
<b>D11-C27G3</b>	$1,3 \pm 0,1 \times 10^5$	$3,4 \pm 0,5 \times 10^{-4}$	$2,7 \pm 0,2$			
<b>D11-S17Y</b>	$0,66 \times 10^5$	$189 \times 10^{-4}$	286	$2,5 \times 10^5$	$3,0 \times 10^{-4}$	1,2

Estes dados demonstram que os anticorpos C8-H241, C8-6, e C8-co16 se ligam tanto ao ECD de c-Met humano como de macaco cinomolgo com afinidade semelhante, mas não ao ECD de c-Met de rato. Dados adicionais (não mostrados) indicam que estes anticorpos não se ligam ao ECD de c-Met de ratinho até 100 nM de anticorpo com ECD a 1 µg/ml revestido em placas de ELISA. Os anticorpos D11-8B8, D11-C27G3, e D11-S17Y, no entanto, ligam-se ao ECD de c-Met humano, de macaco cinomolgo, e de rato.

### Exemplo 3

#### Mapeamento de Epitopos

Os epitopos dos presentes anticorpos de c-Met são mapeados através de uma combinação de espectrometria de massa de permuta de hidrogénio-deutério (HDXMS) (Yamada *et al.* (2002) *Rapid Commun. Mass Spectrom.* 16(4): 293-299) e marcação de dietil-pirocarbonato (DEPC) (Mendoza *et al.* (2008) *Analy. Chem.* 80(8): 2895-2904). A reação de permuta

de hidrogénio-deutério do domínio Sema de c-Met humano é realizada na presença ou ausência de anticorpos de c-Met. As regiões do domínio Sema que ganham menos deutério na presença de um anticorpo que na sua ausência são identificadas como o ou os epitopos para o anticorpo. DEPC pode reagir com grupos amino de resíduos de lisina ou histidina expostos à superfície do domínio Sema, formando carbamato de etilo de lisina ou histidina. Se estes aminoácidos estiverem localizados na região do epitopo, estarão protegidos, e não reagirão com DEPC após a ligação do anticorpo. Isto ajuda a localizar melhor e/ou confirmar as regiões de epitopo determinadas através de HDXMS.

**Expressão e Purificação do Domínio Sema de c-Met.**

O domínio Sema de c-Met humano é expresso com uma etiqueta Flis no terminal C (SEQ ID NO: 76) em células HEK293 EBNA e purificado tal como descrito nos Exemplos 1 e 2. A proteína purificada é então armazenada a 4°C em PBS a pH 7,4. Este domínio liga-se aos anticorpos de c-met do presente invento com uma afinidade semelhante à do ECD de c-Met humano inteiro, indicando que os epitopos para estes anticorpos estão localizados nesta região do c-Met humano.

**Desglicosilação e Dessimilação do Domínio Sema de c-Met.** 100 µl de solução de domínio Sema de c-Met humano a 1,2 mg/ml são tratados com 1 µl de solução de PNGase F (Prozyme, GKE-5006B) a 37°C de um dia para o outro para des-N-glicosilação. A análise de LC/MS demonstra que a maior parte da proteína é desglicosilada após este

tratamento. Separadamente, 100 µL de solução de domínio Sema de c-Met humano a 1,2 mg/ml são tratados com 2 µl de solução de neuraminidase a 10 U/ml (Roche, Cat. # 10 269 611 001) a 37°C durante 1 hora para desialilar o domínio Sema.

**Formação de Complexos Domínio Sema de c-Met/Anticorpo.** 10 µl de solução de domínio Sema de c-Met desglicosilado (1,2 mg/ml) são misturados com uma alíquota contendo 29 µg de proteína da solução de anticorpo (2,07 µl de C8-H241, 2,01 µl de D11-8B8, ou 3,87 µl de um mAb de controlo não relacionado), e em seguida dilui-se com solução de PBS 1× até um volume final de 40 µl. Separadamente, 5 µl de solução de domínio Sema de c-Met humano dessialilado (1,2 mg/ml) são misturados com uma alíquota contendo 14 µg de proteína da solução de anticorpo (1,04 µl de C8-H241, 1,01 µl de D11-8B8, ou 1,94 µl do mAb de controlo não relacionado), e depois dilui-se com solução de PBS 1× até um volume final de 15 µl. Cada uma das soluções misturadas de cada anticorpo é então sujeita a análise de HDXMS.

**Ensaios HDXMS.** 4 µl de mistura de domínio Sema de c-Met desglicosilado ou dessialilado/anticorpo são misturados com 16 µl de D<sub>2</sub>O a 100% (Acros, Code 166310500; D a 80% durante a permuta), e incubou-se à temperatura ambiente durante 90 segundos. A permuta é então extinta com 50 µl de ácido fórmico 0,5% (v/v) em água a 0°C. A solução extinta é imediatamente tratada com 2 µl de solução de

pepsina a 5 mg/ml (v/v) (Sigma, Cat. # P6887) a 0°C durante 3,5 ou 4 min. A solução digerida é imediatamente injetada manualmente numa coluna de RP-HPLC (Polymer Laboratories, Part #1912-1802; 2,1 × 50 mm, tamanho de poro de 1000 Å, tamanho de partícula 8 µM). O fluxo do tampão de HPLC a partir da bomba de HPLC (Waters, 2795 HPLC) passa através de um tubo de metal (aproximadamente 1 ml) para um injetor manual. O eluado da coluna é então passado para um espectrómetro de massa Micromass LCT Premier ou SYNAPT. O tubo de metal, a volta do injetor, e a coluna estão submersos num banho de água gelada.

A coluna é equilibrada com A a 99% (TFA (ácido trifluoroacético) aquoso a 0,05% (v/v)) e B a 1% (TFA a 0,04% (v/v) em acetonitrilo) a um caudal de 0,2 ml/min. Uma eluição de gradiente isocrático é realizada durante 1 min., de 1 até 10% de B durante 1 min., até 40% de B ao longo de 12 min., até 90% de B ao longo de 4 min. com um intervalo de 3 min., e depois regresso rápido às condições iniciais. A espectrometria de massa é realizada num Espectrómetro de Massa Micromass LCT Premier com uma pulverização positiva, modo W e as seguintes definições: uma voltagem capilar de 1,5 kV, uma voltagem do cone de 100 V, Abertura 1 de 25 V, uma gama de massas de 200 a 2000, uma temperatura de dessolvatação de 150°C, e um fluxo gasoso de dessolvatação de 500 l/h. O espectro de massa de cada péptido de c-Met é obtido após permuta D/H com ou sem o anticorpo de c-Met. A massa média de cada péptido é calculada de acordo com a distribuição isotópica do pico iônico mais intenso.

**Marcação com DEPC de Complexos de c-Met/Anticorpo.** 8,3 µl de solução de domínio Sema de c-Met humano a 1,2 mg/ml são misturados com uma solução de anticorpo (24 µg de proteína: 1,71 µl de C8-H241, 1,67 µl de D11-8B8, ou 3,2 µl de mAb de controlo não relacionado), e solução de PBS 1× para um volume final de 76 µl. Cada mistura de c-Met/anticorpo é tratada com 4 µl de DEPC a 10 mg/ml (p/v) em isopropanol à temperatura ambiente durante 5 min. e depois extinta com 10 µl de histidina a 20 mg/ml em tampão Tris-HCl 0,1 M, pH 8, e 10 µl de lisina a 0,2 mg/ml em tampão Tris-HCl 0,1 M, pH 8. Cada solução é misturada com 5 µl de solução de tripsina suína a 0,2 mg/ml (p/v) (Promega, Cat. # V528A), e metade da mistura é misturada com 0,5 µl de solução de ditiotreitol a 50 mg/ml (p/v). Cada solução de amostra é incubada a 37°C durante 5 horas e depois tratada com 0,5 µl de solução de PNGase F durante mais uma hora. Cada solução digerida é acidificada com 2 µl de solução de ácido acético a 10% (v/v). 2 µl de solução de TCEP (cloridrato de tris(2-carboxietil)fosfina) (Sigma, Cat. # C4702-2G) a 100 mg/ml são adicionados ao digerido não reduzido sem adição de ditiotreitol. Cada uma das soluções é submetida a análise de LC/MS utilizando um espectrómetro de massa Waters Acquity UPLC e Waters SYNAPT. A HPLC utiliza uma coluna Waters Acquity UPLC BEH C8 (2,1 × 50 mm, 1,7 µm, Waters, parte #186002877) a 60°C, e os péptidos são eluídos com um gradiente de acetonitrilo num sistema de fase móvel de HPLC água/acetonitrilo/TFA. Um tempo de corrida de 45 min. é utilizado para as digestões. A coluna é equilibrada com A a 99% (solução aquosa de TFA a

0,05% (v/v)) e B a 1% (TFA em acetonitrilo a 0,04% (v/v)) a um caudal de 0,2 ml/min. É realizada uma eluição em gradiente em estado isocrático durante 2 min., de 1 até 25% de B ao longo de 25 min., até 45% de B ao longo de 10 min., até 90% de B ao longo de 1 min., com 1,5 min. de paragem (no mesmo período de tempo, caudal de 0,3 ml/min.), e depois regresso rápido a 1% de B.

**Resultados.** O mAb C8-H241 parece ligar-se a um epitopo conformacional que compreende quatro regiões do domínio Sema de c-Met, localizados na cadeia α do domínio extracelular de c-Met humano (resíduos de aminoácidos 25-307 de SEQ ID NO: 75):

<sub>121</sub>VVDTYYDDQL<sub>130</sub> (SEQ ID NO: 77),  
<sub>131</sub>ISCGSVNRGTCQRHVFPHNHTADIQS<sub>156</sub> (SEQ ID NO: 78),  
<sub>179</sub>ALGAKVLSSVKDRFINFF<sub>196</sub> (SEQ ID NO: 79), e  
<sub>216</sub>VRRLKETKDGF<sub>M227</sub> (SEQ ID NO: 80).

Mais particularmente, o mAb C8-H241 liga-se a c-Met através da interação com um ou mais resíduos de aminoácidos dentro de:

<sub>123</sub>DTYYDD<sub>128</sub> (SEQ ID NO: 81) inclusive,  
<sub>144</sub>HVFPHNHTADIQS<sub>156</sub> (SEQ ID NO: 82) inclusive,  
<sub>192</sub>FINFF<sub>195</sub> (SEQ ID NO: 83) inclusive, e  
<sub>220</sub>KETKDGF<sub>M227</sub> (SEQ ID NO: 84) inclusive.

A ligação do mAb C8-H241 à região <sub>144</sub>HVFPHNHTADIQS<sub>156</sub> (SEQ ID NO: 82) torna-o capaz de se ligar ao domínio extracelular de c-Met tanto humano (SEQ ID NO: 75) como de macaco cinomolgo (aminoácidos 25 a 932 de SEQ

ID NO: 73) com afinidade comparável, mas não ao c-Met de rato ou de ratinho, até 100 nM de anticorpo em ensaios de ligação.

A ligação do mAb D11-8B8 à cadeia α do domínio Sema de c-Met parece estar localizada numa região, i.e., os resíduos de aminoácido dentro de um epítopo linear dentro da sequência de aminoácidos <sub>84</sub>YKTGPVLEHPDCFPCQDCSSKANL<sub>107</sub> (SEQ ID NO: 85) inclusive, mais particularmente na região <sub>95</sub>CFPCQDCSSKA<sub>105</sub> (SEQ ID NO: 86) inclusive. O epítopo para Mab D11-8B8 é ainda confirmado através de experiências de extração de epítopo (Dhungana et al. (2009) *Methods Mol. Biol.* 524:87-101). O domínio Sema de c-Met é digerido com tripsina suína (Promega) e o digerido é então misturado com o mAb D11-8B8 biotinilado, utilizando o estojo EZ-Link™ Sulfo-NHS-LC-Biotin (Pierce, Prod. #1754210), para ligar os péptidos c-Met. O D11-8B8 biotinilado com ou sem péptidos c-Met ligados é capturado por resina de Streptavidina-agarose de elevada capacidade (Thermo Scientific, Prod. # 20359). Os péptidos ligados são libertados através de ácido fórmico a 0,15% (v/v) em H<sub>2</sub>O, e depois identificados através de LC/MS.

#### Exemplo 4

#### Ligação Preferencial de Anticorpos a ECD de c-Met vs. RON e PlexinA2

As proteínas humanas com a maior identidade de sequência com c-Met são RON e Plexina A2. Esta experiência

compara a especificidade da ligação do anticorpo de c-Met aos ECD de c-Met, RON, e PlexinA2.

Poços de placas de 96 poços de elevada ligação de EIA/RIA (Costar, #2592) são revestidos com 100 µl de fusão domínio extracelular de c-Met humano (ECD)-Fc-Flis (SEQ ID NO: 72) a 1 µg/ml, RON-ECD-Fc (R&D Systems, #1947-MS), ou PlexinA2-ECD-Fc (Abnova, Taipei, Taiwan #H00005362-P01) em tampão de revestimento (BioFX Labs, # COAT-1000-01) de um dia para o outro a 4°C. Os poços são aspirados e os locais de ligação não específica são bloqueados através da adição de 200 µl de tampão de bloqueio (solução tamponada com Tris, pH 8,0, com polissorbato 20 (Tween-20) (TBS-T) a 0,05% (v/v) (BioFX Labs, # WSHW-1000-01) mais albumina de soro bovino (BSA) a 1% (p/v) (Jackson Immuno, #001-000-162) e incubação durante 1 hora à temperatura ambiente. Após as placas serem lavadas três vezes com tampão de lavagem (TBS-T), são adicionados 100 µl/poço de diluições em série 1:6 dos anticorpos de c-Met em tampão de bloqueio (começando a partir de 100 µg/ml) e incubados à temperatura ambiente durante 2 horas. As placas são lavadas e incubadas com 100 µl/poço de IgG de cabra anti-F(ab)<sub>2</sub> humano conjugado com HRP (Jackson ImmunoResearch Labs #109-036-097) em tampão de bloqueio durante 90 min. Após as placas serem lavadas, são adicionados 100 µl/poço de solução de substrato (BioFx, #TMBW-1000-01) e as placas são incubadas durante 10 min. à temperatura ambiente. São adicionados 100 µl/poço de solução de paragem (BioFx, # LSTP-1000-01) para parar a reação. Os sinais colorimétricos são revelados e lidos a

450 nm utilizando um leitor de placas SpectraMax 190 (Molecular Devices, Sunnyvale, CA). O anticorpo de c-Met que se liga aos ECD de c-Met, RON e PlexinA2 é proporcional à produção do sinal colorido.

Tal como mostrado na Tabela 6, tanto o anticorpo C8 como D11 de c-Met do presente invento se ligam preferencialmente ao ECD de c-Met humano em comparação com o ECD de RON ou ECD de PlexinA2.

Tabela 6

Ligação Preferencial de Anticorpos de c-Met ao ECD de c-Met Humano vs. ECD de RON e PlexinA2									
	Média A450 nm								
Dose de anticorpo	C8-H241			C8-6			C8-co16		
(ng/ml)	ECD de c-Met	ECD de RON	Plexi-na A2	ECD de c-Met	ECD de RON	Plexi-na A2	ECD de c-Met	ECD de RON	Plexi-na A2
0,000	0,300	0,098	0,092	0,322	0,110	0,109	0,335	0,106	0,104
0,002	0,317	0,088	0,082	0,326	0,106	0,099	0,369	0,100	0,094
0,010	0,317	0,081	0,090	0,335	0,097	0,095	0,374	0,096	0,078
0,060	0,484	0,104	0,099	0,551	0,087	0,096	0,446	0,089	0,082
0,357	0,902	0,091	0,097	0,813	0,080	0,107	0,907	0,083	0,095
2,143	2,861	0,101	0,103	2,415	0,098	0,106	2,888	0,114	0,092
12,860	4,000	0,079	0,083	4,000	0,087	0,085	4,000	0,102	0,069
77,160	4,000	0,085	0,079	4,000	0,090	0,078	4,000	0,084	0,096
462,963	4,000	0,090	0,104	4,000	0,088	0,086	4,000	0,103	0,092
2777,778	4,000	0,085	0,092	4,000	0,088	0,094	4,000	0,095	0,114
16666,667	4,000	0,117	0,125	4,000	0,124	0,118	4,000	0,198	0,284
100000,000	4,000	0,267	0,310	4,000	0,170	0,171	4,000	0,421	0,983

(continuação)

Dose de anticorpo (ng/ml)	C8-H241			C8-6			C8-co16		
	ECD de c-Met	ECD de RON	Plexi-na A2	ECD de c-Met	ECD de RON	Plexi-na A2	ECD de c-Met	ECD de RON	Plexi-na A2
<b>Erro Padrão</b>									
0,000	0,006	0,015	0,007	0,011	0,000	0,004	0,003	0,005	0,011
0,002	0,003	0,006	0,002	0,012	0,005	0,006	0,023	0,000	0,006
0,010	0,002	0,000	0,005	0,001	0,004	0,009	0,015	0,012	0,002
0,060	0,055	0,001	0,002	0,144	0,004	0,005	0,029	0,003	0,002
0,357	0,004	0,004	0,002	0,022	0,005	0,003	0,005	0,007	0,000
2,143	0,032	0,004	0,005	0,041	0,004	0,003	0,128	0,002	0,007
12,860	0,000	0,001	0,012	0,000	0,000	0,007	0,000	0,004	0,004
77,160	0,000	0,002	0,014	0,000	0,008	0,007	0,000	0,003	0,001
462,963	0,000	0,004	0,003	0,000	0,006	0,001	0,000	0,013	0,001
2777,778	0,000	0,004	0,002	0,000	0,004	0,001	0,000	0,007	0,000
16666,667	0,000	0,005	0,004	0,000	0,004	0,003	0,000	0,003	0,002
100000,000	0,000	0,008	0,012	0,000	0,002	0,003	0,000	0,011	0,093
<b>D11-8B8</b>			<b>D11-C27G3</b>			<b>D11-S17Y</b>			
ECD de c-Met	ECD de RON	Plexi-na A2	ECD de c-Met	ECD de RON	Plexi-na A2	ECD de c-Met	ECD de RON	Plexi-na A2	
0,297	0,097	0,081	0,2844	0,0791	0,0771	0,31475	0,1129	0,10795	
0,299	0,082	0,078	0,2708	0,07065	0,07965	0,3091	0,09705	0,09345	
0,304	0,074	0,078	0,2904	0,0715	0,0763	0,31405	0,0868	0,0986	
0,445	0,094	0,073	0,45965	0,0695	0,06605	0,37355	0,0857	0,09455	
1,314	0,073	0,074	1,43965	0,07085	0,0792	0,78915	0,08475	0,0924	
2,416	0,069	0,073	2,5266	0,0655	0,0742	2,1432	0,1085	0,08235	
3,931	0,079	0,075	4	0,07835	0,0641	4	0,0825	0,0768	
4,000	0,079	0,066	4	0,06725	0,076	4	0,08195	0,07575	
4,000	0,071	0,077	4	0,0981	0,1045	4	0,08185	0,0783	
4,000	0,088	0,093	4	0,20445	0,30325	4	0,09255	0,0955	
4,000	0,165	0,181	4	0,67565	1,33475	4	0,1274	0,1491	
4,000	0,544	0,498	3,9211	2,30295	3,37085	4	0,23775	0,3146	

(continuação)

D11-8B8			D11-C27G3			D11-S17Y		
ECD de c-Met	ECD de RON	Plexi-na A2	ECD de c- Met	ECD de RON	Plexi-na A2	ECD de c- Met	ECD de RON	Plexi-na A2
<b>Erro Padrão</b>								
0,006	0,003	0,003	0,0087	0,0017	0,0106	0,00515	0,0012	0,00035
0,011	0,002	0,002	0,0194	0,00595	0,00185	0,0228	0,00065	0,01725
0,012	0,002	0,001	0,0051	0,0018	0,0017	0,01195	0,0058	0,0079
0,007	0,017	0,003	0,01495	0,0006	0,00335	0,00375	0,0013	0,00035
0,092	0,007	0,004	0,02935	0,00695	0,0017	0,04195	0,00075	0,0039
0,044	0,002	0,001	0,2742	0,0002	0,0015	0,0841	0,0054	0,00015
0,069	0,005	0,002	0	0,01505	0,0043	0	0,0029	0,0061
0,000	0,007	0,000	0	0,00275	0,0066	0	0,00445	0,00455
0,000	0,005	0,004	0	0,0063	0,0032	0	0,00485	0,0089
0,000	0,003	0,005	0	0,00975	0,00535	0	0,00705	0,0055
0,000	0,007	0,004	0	0,03125	0,03495	0	0,0007	0,0035
0,000	0,016	0,006	0,0789	0,07335	0,14345	0	0,00865	0,004

**Exemplo 5****Os Anticorpos de c-Met Bloqueiam a Ligação HGF/c-Met**

São utilizados ensaios de ligação *in vitro* para determinar a inibição da ligação de HGF a c-Met através dos presentes anticorpos de c-Met.

Poços de placas de 96 poços de EIA/RIA de elevada ligação (Costar, #2592) são revestidos com 100 µl de ECD de c-Met humano-Fc-Flis (SEQ ID NO: 72) (2 µg/ml) em solução salina tamponada com fosfato de Dulbecco (DPBS) de um dia para o outro à temperatura ambiente; lavados quatro vezes

com tampão de lavagem (solução salina tamponada com Tris, pH 8,0, com polissorbato 20 (TWEEN®-20) a 0,05% (v/v) (TBS-T) (BioFX Labs, # WSHW-1000-01) numa máquina de lavar placas; bloqueados através da adição de 300 µl de tampão de bloqueio (TBS-T mais albumina de soro bovino (BSA) (Jackson Immuno, #001-000-162) a 1% (p/v); e incubando-se durante 60 min. a 37°C. O tampão de bloqueio é então removido dos poços e são adicionados 50 µl de anticorpos em tampão de bloqueio nas concentrações finais tal como indicado na Tabela 7 a cada poço, respetivamente. O tampão de bloqueio é adicionado aos poços de controlo de apenas HGF. As placas com anticorpos de c-Met são incubadas durante 90 min. a 37°C. São então adicionados 50 µl de fator de crescimento de hepatócitos humano (HGF) (R&D Systems, #294) em tampão de bloqueio a uma concentração final de 10 ng/ml a cada poço exceto aos poços de controlo com apenas anticorpo. As placas contendo a mistura de anticorpo de c-Met/HGF são incubadas num agitador de placas durante duas horas à temperatura ambiente. Os poços são então lavados quatro vezes com TBS-T numa máquina de lavar placas. De seguida, são adicionados a cada poço 100 µl de anticorpo anti-HGF biotinilado (R&D Systems, # BAF294) em tampão de bloqueio a uma concentração final de 100 ng/ml. As placas são incubadas durante 90 min. à temperatura ambiente. As cavidades são novamente lavadas quatro vezes com TBS-T numa máquina de lavar placas. São adicionados a cada poço 100 µl de uma diluição 1:200 de estreptavidina-peroxidase de rábano (HRP) (R&D Systems, DY998) em tampão de bloqueio. As placas são incubadas durante 30 min. à temperatura

ambiente. Os poços são lavados quatro vezes com TBS-T numa máquina de lavar placas. São então adicionados 100 µl/poço de solução de substrato (BioFx, #TMBW-1000-01), e as placas são incubadas durante 10 min. à temperatura ambiente. Para parar a reação, são adicionados 100 µl/poço de solução de paragem (BioFx, # LSTP-1000-01). As amostras são lidas a um comprimento de onda de 450-570 nm num leitor de microplacas (Spectra, MAX 190) e sem subtrair o fundo.

Tal como mostrado na Tabela 7, ambos os anticorpos C8 e D11 de c-Met do presente invento bloqueiam a ligação HGF/c-Met humano.

**Tabela 7**

Dose de anti-corpo (ng/ml)	Inibição da Ligação de HGF Humano a c-Met Humano pelos Anticorpos C8 e D11							
	Méd. A450 nm							
	hIgG2	D11-8B8	D11-27G3	D11-S17Y	hIgG4	C8-6	C8-H241	C8- $\infty$ 16
0,00	2,43	2,43	2,43	2,43	2,61	2,61	2,61	2,61
0,48	2,46	2,51	2,37	2,15	2,41	2,56	2,45	2,05
1,91	2,87	2,48	2,31	1,98	2,49	2,59	2,46	2,18
7,63	2,70	2,41	2,27	2,08	2,88	2,64	2,53	2,20
30,52	2,41	2,32	2,38	2,07	2,63	2,42	2,42	2,08
122,07	2,52	1,92	1,60	1,69	2,44	2,00	1,77	1,30
488,28	2,53	1,30	0,94	1,29	2,44	1,33	0,73	0,70
1953,13	2,43	1,43	0,97	1,23	2,27	1,08	0,68	0,60
7812,50	2,50	1,24	0,91	1,12	2,49	0,95	0,70	0,57
31250,00	2,50	1,31	0,94	1,17	2,67	0,98	0,77	0,56
125000,00	2,43	1,38	0,89	1,35	3,00	1,32	0,69	0,38

(continuação)

Dose de anti-corpo (ng/ml)	hIgG2	D11-8B8	D11-27G3	D11-S17Y	hIgG4	C8-6	C8-H241	C8-co16
ErrP								
0,00	0,06	0,06	0,06	0,06	0,10	0,10	0,10	0,10
0,48	0,02	0,13	0,01	0,09	0,24	0,02	0,14	0,15
1,91	0,27	0,08	0,08	0,03	0,00	0,03	0,16	0,12
7,63	0,14	0,01	0,21	0,08	0,14	0,03	0,06	0,09
30,52	0,09	0,02	0,31	0,09	0,16	0,01	0,03	0,01
122,07	0,09	0,07	0,03	0,02	0,08	0,10	0,02	0,03
488,28	0,00	0,04	0,04	0,02	0,01	0,02	0,00	0,01
1953,13	0,13	0,16	0,02	0,05	0,00	0,01	0,01	0,01
7812,50	0,04	0,01	0,01	0,02	0,25	0,07	0,01	0,02
31250,00	0,06	0,02	0,02	0,04	0,03	0,03	0,03	0,03
125000,00	0,07	0,03	0,01	0,08	0,13	0,47	0,01	0,00

Abreviaturas: Méd. = média; ErrP = Erro Padrão

**Exemplo 6**

**Os Anticorpos de c-Met Induzem Fraca Fosforilação de c-Met em Comparaçāo com o Fator de Crescimento de Hepatocitos e o mAb Agonista 5D5**

Após estimulação com HGF, a linha celular de carcinoma do pulmão A549 apresenta aumento da fosforilação de c-Met no resíduo de tirosina 1349. É utilizado um ensaio ELISA de c-Met fosforilado (p-Met) para medir a atividade agonística de vários anticorpos de c-Met na ausência de HGF, bem como do mAb 5D5 e do próprio HGF.

Células A549 (ATCC, #CCL-185) são cultivadas em meio F12K de Ham + glutamina 2 mM (Invitrogen, # 21127-022) +

FBS a 10% (Invitrogen, #10082). As células são plaqueadas a  $6 \times 10^4$  células/poço no meio de soro completo tal como acima em placas de 96 poços e incubou-se de um dia para o outro a 37°C sob CO<sub>2</sub> a 5% (v/v). O meio é removido dos poços e as células são privadas de nutrientes em 100 µl de meio F12K de Ham + glutamina 2 mM + FBS a 0,5% durante seis horas a 37°C sob CO<sub>2</sub> a 5% (v/v). Os anticorpos ou o HGF são diluídos no meio de cultura de privação de nutrientes, adicionados às concentrações finais indicadas na Tabela 8, e incubados durante 15 min. a 37°C. O meio é aspirado e células são lisadas em 50 µl de tampão de lise (Tris 10 mM (Invitrogen, #15567-027), NaCl 150 mM, ácido etilenodiaminotetraacético (EDTA) 2 mM (Invitrogen, #15575-038), NaF 50 mM (Sigma, #S1504), octilfenoxi-polietoxi-etanol a 1% (v/v) (TRITON®-X 100; Sigma, #T8787), ortovanadato de sódio 2 mM (EMD Chemicals, Gibbstown, NJ, #567540), inibidor de proteases (Sigma, St. Louis, MO; #P8340), mistura I de inibidores de fosfatases (Sigma #P2850), e mistura II de inibidores de fosfatases (Sigma #P5726)) por poço e incubou-se em gelo durante 15-20 min. Os lisados celulares são utilizados no ensaio ELISA descrito abaixo para determinar a fosforilação de c-Met no resíduo Y1349.

O anticorpo de captura de c-Met é diluído em tampão de revestimento Bup H (Thermo Fisher Scientific, Waltham, MA, #28382) até 2 µg/ml, adicionado a placas de ELISA (Greiner Bio-One, Monroe, NC, #655081) e incubado de um dia para o outro a 4°C. Os poços são aspirados, lavados

três times com TBS-T (BioFX, Owings Mills, MD, WSH-1000-01), e depois bloqueados com 200 µl de tampão de bloqueio (TBS-T mais BSA a 2% (p/v)) durante 1 hora à temperatura ambiente. As placas são lavadas três vezes com TBS-T. Em seguida, são adicionados 25 µl de lisados celulares mais 75 µl de tampão de bloqueio, e as placas são incubadas de um dia para o outro a 4°C. As placas são então lavadas três times com TBS-T. 100 µl de anticorpo policlonal de c-Met pY1349 (Cell Signaling Technology, Danvers, MA, #3133) a 0,5 µg/ml em tampão de bloqueio são adicionados a cada poço, e incubados durante 2 horas à temperatura ambiente. As placas são então lavadas três times com TBS-T. 100 µl de anticorpo policlonal de cabra anti-IgG de coelho conjugado com peroxidase (Jackson ImmunoResearch Laboratories, West Grove, PA, #111-035-144) diluído 1/10000 em tampão de bloqueio são adicionados a cada poço e incubados 1 hora à temperatura ambiente. As placas são então lavadas três vezes com TBS-T. São adicionados a cada poço 100 µl de solução de 3,3',5,5'-tetrametilbenzidina (BioFX, #TMBW-1000-01), seguidos da adição de 100 µl de solução de paragem (BioFX, #LSTP-1000-01). As placas são lidas a 450 nm num leitor de placas SpectraMax M5 (Molecular Devices, Sunnyvale, CA) e os valores da amostra são determinados utilizando o suporte lógico SOFTmax Pro 4.8 (Molecular Devices).

Os resultados são mostrados na Tabela 8.

**Tabela 8**

**Efeito de Anticorpos de c-Met, HGF, e mAb Agonista 5D5 na Fosforilação de c-Met em Células A549**

Conc. de Ab (μg/ml)	Sinal de p-Met	Sinal de p-Met	Sinal de p-Met
	de C8-H241	de C8-6	de hlgG4
30	0,333	0,272	0,061
10	0,418	0,334	0,077
3,333	0,450	0,328	0,068
1,113	0,465	0,365	0,087
0,370	0,340	0,211	0,082
0,123	0,304	0,127	0,067
0,041	0,130	0,125	0,268
0,014	0,078	0,105	0,074
0,005	0,074	0,070	0,074
0,002	0,070	0,081	0,117

Conc. de HGF (ng/ml)	Sinal de p-Met	Conc. de Ab (ng/ml)	Sinal de p-Met do mAb 5D5
300	10,615	5	3,290
100	6,129		
33,33333	2,267		
11,11111	1,0667		
3,703704	0,461		
1,234568	0,211		
0,411523	0,142		
0,137174	0,128		
0,045725	0,100		
0,015242	0,148		

Os dados demonstram que HGF e o mAb agonista de c-Met 5D5 estimulam fortemente a fosforilação de c-Met, enquanto os presentes mAb de c-Met C8-H241 e C8-6 estimulam fracamente a fosforilação de c-Met. São obtidos resultados semelhantes nas linhas celulares HCT116, H460 e MDA-MB-231.

O mAb D11-8B8 produz resultados semelhantes.

### **Exemplo 7**

#### **Os Anticorpos de c-Met Inibem a Fosforilação de c-Met Induzida por HGF**

A ligação de HGF a c-Met resulta em fosforilação da tirosina de moléculas de c-Met e ativação da via de sinalização de c-Met. Neste exemplo, a linha celular de cancro do cólon humano HCT116, que responde a HGF, é usada para avaliar a inibição da fosforilação induzida por HGF nos resíduos de tirosina 1230, 1234 e 1235 de c-Met através dos presentes anticorpos de c-Met.

Células HCT116 (ATCC, Manassas, VA, #CCL-247) são ressuspensas a 150000 células/ml em meio 5A de McCoy (Invitrogen, Carlsbad, CA, #16600-082) mais penicilina/estreptomicina (Invitrogen, #15140-122) com soro fetal bovino a 10% (v/v) (FBS) (Invitrogen, #10082-147). 0,2 ml das células HCT116 ressuspensas são adicionados a placas de microtitulação de 96 poços (Corning, Lowell, MA, #3596) a 30000 células/poço, e as células são então incubadas durante 48 horas a 37°C sob CO<sub>2</sub> a 5% (v/v). O meio de cultura é então aspirado e as células são privadas de nutrientes em 100 µl de meio 5A de McCoy mais penicilina/estreptomicina com BSA a 0,1% (p/v) durante 24 horas a 37°C sob CO<sub>2</sub> a 5% (v/v). 25 µl de azida de sódio (concentração final de 0,01% (p/v)) (Sigma, #S2002) são adicionados, seguido imediatamente pela adição de 25 µl de

diluições de 8× de anticorpo de c-Met em meio 5A de McCoy mais penicilina/estreptomicina com BSA a 0,1 % (p/v), e as células são incubadas durante 30 min. a 37°C sob CO<sub>2</sub> a 5% (v/v). 50 µl de HGF a uma concentração final de 200 ng/ml são adicionados a cada poço e as células são incubadas durante mais 15 min. a 37°C sob CO<sub>2</sub> a 5% (v/v). O meio é então aspirado e 50 µl de tampão de lise celular são adicionados (Tris 10 mM (Invitrogen, #15567-027), NaCl 150 mM, ácido etilenodiaminotetraacético 2 mM (EDTA) (Invitrogen, #15575-038), NaF 50 mM (Sigma, #S1504), octilfenoxi-polietoxi-etanol (TRITON®-X100; Sigma, #T8787) a 1% (v/v), ortovanadato de sódio 2 mM (EMD Chemicals, Gibbstown, NJ, #567540), e inibidor completo das proteases, livre de EDTA (Roche, Basel, Suíça, #11836170001). As células são incubadas no tampão de lise à temperatura ambiente durante 15-30 min. Os lisados celulares são ensaiados quanto à fosforilação de tirosina de c-Met através de ELISA como se segue.

O anticorpo de captura de c-Met é diluído em tampão de revestimento (BioFX, Glendora, CA, COAT-1000-01) até 2 µg/ml. 110 µl do anticorpo diluído são adicionados por poço a placas de ELISA (Greiner Bio-One, Monroe, NC, #655081) e as placas são incubadas de um dia para o outro a 4°C. Os poços são aspirados, lavados duas vezes com TBS-T, e depois bloqueados com 200 µl de tampão de bloqueio (TBS-T mais BSA a 2% (p/v)) durante 1 hora. As placas são lavadas duas vezes com TBS-T. Em seguida, são adicionados 25 µl de lisados celulares mais 75 µl de tampão de bloqueio ou 100 µl de diluições de lisados de células MKN45 (diluídas com

tampão de bloqueio, como padrão), e as placas são incubadas durante 2 horas à temperatura ambiente. As placas são então lavadas quatro vezes com TBS-T. 100 µl de anticorpo policlonal de c-Met pYpYpY1230/1234/1235 (Invitrogen, #44-888G) a 0,5 µg/ml em tampão de bloqueio são então adicionados a cada poço, e as placas são incubadas durante 2 horas à temperatura ambiente. Em seguida, as placas são lavadas quatro vezes com TBS-T. 100 µl de anticorpo policlonal de cabra anti-IgG de coelho conjugado com peroxidase (Jackson ImmunoResearch Laboratories, West Grove, PA, #111-035-144) diluído 1/12000 em tampão de bloqueio são então adicionados, e a mistura é incubada durante 1 hora à temperatura ambiente. As placas são então lavadas seis vezes com TBS-T. 100 µl de solução de 3,3',5,5'-tetrametilbenzidina (BioFX, #TMBW-1000-01) são adicionados a cada poço, seguido da adição de 100 µl de solução de paragem (BioFX, #LSTP-1000-01). As placas são lidas a 450 nm com uma correção de 570 nm utilizando um leitor de placas SpectraMax 190 (Molecular Devices, Sunnyvale, CA). A curva padrão é estabelecida utilizando análise de 4 parâmetros, e os valores da amostra são determinados utilizando suporte lógico SOFTmax Pro 3.1.2 (Molecular Devices).

A percentagem de inibição da fosforilação da tirosina de c-Met é definida como a média do tratamento de HGF sem adição do anticorpo de c-Met (0% de inibição), e 100% de inibição é definido como a média do tratamento de azida de sódio (sem HGF ou tratamento de anticorpo de c-Met).

A Tabela 9 mostra a média de tratamentos em triplicado por experiência para três experiências com erros padrão. Os dados demonstram que cinco dos seis anticorpos de c-Met do presente invento inibem significativamente fosforilação da tirosina de c-Met induzida por HGF em comparação com a dos controlos do isotipo IgG2 e IgG4 humanos.

**Tabela 9**

**Percentagem de Inibição da Fosforilação de Tirosina de c-Met Induzida por HGF através dos Anticorpos C8 e D11**

Dose de anticorpos:

10 µg/ml	2 µg/ml	0,4 µg/ml	0,08 µg/ml	0,016 µg/ml	0,0032 µg/ml
----------	---------	-----------	------------	-------------	--------------

Tratamen-

to de Ab	isotipo	média	errp	média	errp	média	errp	média	errp	média	errp
D11-8B8	IgG2	19,56	4,68	40,74	8,24	35,04	6,43	10,52	7,41	-6,68	9,48
D11-C27G3	IgG2	1,25	7,55	31,78	7,71	38,10	4,97	20,79	5,72	5,73	8,95
D11-S17Y	IgG2	16,73	8,72	31,39	6,43	15,91	6,05	-3,24	10,54	2,53	8,52
C8-H241	IgG4	60,08	5,27	62,20	2,10	59,09	3,05	22,09	4,92	14,68	12,40
C8-∞-16	IgG4	65,40	3,94	58,96	3,37	45,08	3,44	9,77	9,14	-2,89	10,95
C8-6	IgG4	14,88	10,78	27,94	3,80	16,83	4,36	7,79	7,68	-6,06	8,84
5D5	mlgG1	64,12	3,31	63,75	4,44	42,55	4,27	11,87	7,73	-3,50	9,70
hlgG2	controlo do isotipo	6,24	5,31	17,53	5,74	9,31	6,56	-1,58	8,16	9,49	6,77
hlgG4	controlo do isotipo	-1,47	5,76	-6,62	9,07	-16,07	7,01	-21,70	9,09	-7,96	10,97
mlgG1	controlo do isotipo	5,46	6,31	9,76	9,27	13,43	8,18	-10,59	10,31	-5,42	10,53

		Méd	errp
não tratado		100,00	0,98
HGF	200 ng/ml	0,001	2,76

% de inibição de fosfo-Met estimulada por HGF medida através de ELISA
---

Exemplo 8Indução de Internalização de c-Met através de Anticorpos de c-Met

As experiências descritas neste exemplo empregam análise de separação de células ativadas com fluorescência (FACS) para demonstrar que os presentes anticorpos de c-Met se ligam a moléculas c-Met da superfície celular e induzem a internalização de c-Met. As células MKN45 empregues expressavam constitutivamente níveis elevados de c-Met total, e exibem fosforilação de c-Met independente de HGF em resultado da amplificação do gene *MET*. A internalização de c-Met parece induzir a degradação de c-Met (ver Exemplos 10 e 19), resultando em inibição da via de sinalização de c-Met.

Poços de placas de cultura de tecidos de 6 poços (Costar #3598) são semeados com  $1,5 \times 10^5$  células tumorais gástricas humanas MKN45 (Japan Health Sciences Foundation, Health Science Research Resource Bank, #JCRB0254) em 2 ml de meio de cultura (RPMI-1640 (Invitrogen, #11835); FBS a 10% (v/v) (Invitrogen, #10082); L-glutamina 2 mM (Invitrogen, #25030); penicilina G a 100 U/500 ml, e estreptomicina a 100 µg/500 ml (Invitrogen, #15140)). As placas são incubadas durante 24 horas a 37°C sob humidade relativa a 95% e CO<sub>2</sub> a 5% (v/v). Os anticorpos são então adicionados aos poços a uma concentração final de 5 µg/ml.

Após tratamento de um dia para o outro, o meio de cultura é removido dos poços e substituído com 1 ml de solução de dissociação de células sem enzimas (Chemicon, #S-014-B). As células são colhidas em tubos de centrífuga, após terem sido incubadas durante 5 min. à temperatura ambiente, e lavadas uma vez em meio de cultura seguido por mais uma lavagem em tampão de ligação (DPBS com BSA a 1% (p/v) e azida de sódio a 0,01% (p/v)). Antes das células serem coradas, um anticorpo de c-Met que reconhece um epitopo diferente dos presentes anticorpos de c-Met é marcado através da utilização de um Estojo de Marcação de Anticorpos Monoclonais Alexa Fluor 488 (Molecular Probes, Eugene, OR, #A-20181) de acordo com as instruções do fornecedor. 100 µl de tampão de ligação contendo 2 µg/ml do anticorpo marcado com Alexa Fluor 488 são adicionados às células, que são então incubadas durante 60 min. em gelo. As células são então lavadas uma vez com tampão de ligação e ressuspensas em DPBS contendo iodeto de propídio a 2 µg/ml (para corar as células mortas). A quantidade de moléculas de c-Met restantes na superfície das células é analisada através de análise de FACS, e são adquiridos 10000 eventos para cada amostra.

A intensidade média de fluorescência na superfície das células reflete a quantidade de moléculas de c-Met que permanecem na superfície das células após tratamento com anticorpos de c-Met.

Os dados de uma experiência representativa são mostrados na Tabela 10.

**Tabela 10****Efeito dos Anticorpos C8 e D11 na Internalização de c-Met tal como Determinado por Análise de FACS**

Anticorpo ( $\mu\text{g/ml}$ )	Fluorescência Média								5D5
	hIgG2	D11-8B8	D11-C27G3	D11-S17Y	hIgG4	C8-6	C8-H241	C8-co16	
5,00	130,25	44,66	51,09	56,35	135,03	67,88	57,63	56,16	136,47 92,87

Os dados demonstram que a intensidade média de fluorescência na superfície das células tratadas com os presentes anticorpos de c-Met é menor que nas células tratadas com um anticorpo correspondente de controlo do isótipo de IgG ou anticorpo mIgG, indicando que os presentes anticorpos de c-Met induzem internalização de c-Met. Além disso, a intensidade média de fluorescência à superfície das células tratadas com os presentes anticorpos de c-Met é inferior àquela em células tratadas com anticorpo de c-Met agonista de controlo 5D5. A % de internalização pode ser calculada como se segue:

% de internalização = [1-(fluorescência média do anticorpo de teste dividida pela fluorescência média do controlo do isótipo do anticorpo) multiplicada por 100].

Os dados da internalização sugerem que os presentes anticorpos induzem dimerização de c-Met humano. Os dados nos Exemplos 9 e 19 demonstram que os anticorpos C8 e D11 induzem também degradação, e reduzem a fosforilação, de c-Met.

Resultados de internalização complementares são obtidos através de microscopia confocal utilizando anticorpo C8 de murídeo marcado com fluorescência em células MKN45 e Caki-1.

Utilizando os anticorpos C8-H241, C8-6, C8-co-16, e D11 de murídeo, obtém-se resultados de internalização semelhantes em células de macaco cinomolgo NIH3T3 transfetadas com ácido nucleico codificando c-Met de macaco cinomolgo.

Os anticorpos C8-H241, C8-6, C8-co-16, e optD11 também induzem internalização de c-Met em células NIH3T3 transfetadas com ácido nucleico codificando a mutação M1149T do domínio cinase de c-Met humano. Os anticorpos C8-H241, C8-6, C8-co-16, e D11 de murídeo também induzem a internalização de c-Met em células de cancro do pulmão de células não pequenas H1437 contendo a mutação do domínio justamembranar de c-Met R988C. Ambas as mutações causam ativação constitutiva de ganho de função do c-Met.

### **Exemplo 9**

#### **Inibição por Anticorpo da Proliferação In Vitro de Células Tumorais Independente do Ligando**

A inibição do crescimento de células tumorais *in vitro* através de anticorpos de c-Met em células MKN45 independentes de HGF na ausência de ligando de HGF é examinada neste ensaio.

Os anticorpos de c-Met e de controlo do isotipo são diluídos com meio de cultura (RPMI-1640 (Invitrogen, #11835), FBS a 10% (v/v), L-glutamina 2 mM (Invitrogen, #25030), penicilina G a 100 U/500 ml, e estreptomicina a 100 µg/500 ml (Invitrogen, #15140)) para alcançar as concentrações finais de 2× indicadas na Tabela 11, e 50 µl das soluções de anticorpo 2× são adicionados a cada poço de placas de cultura de tecidos de 96 poços (PerkinElmer #1450-517). As células MKN45 (Japan Health Sciences Foundation, Health Science Research Resource Bank, #JCRB0254) são mantidas no meio indicado acima, e são ressuspensas a  $1 \times 10^5$  células/ml no mesmo meio. 50 µl desta ressuspensão de MKN45 são adicionados a cada poço para se alcançar  $5 \times 10^3$  células/poço. As placas são então incubadas durante 48 horas a 37°C sob 95% de humidade relativa e CO<sub>2</sub> a 5% (v/v). Durante as últimas seis horas da cultura, as células são pulsadas com timidina-<sup>3</sup>H (MP Biomedicals, Solon, OH #24066) a 1 µci/poço a 37°C, 95% de humidade relativa, CO<sub>2</sub> a 5% (v/v). O meio é então removido e as células são lavadas uma vez com DPBS. Após isto, são adicionados 200 µl de Optiphase Supermix (PerkinElmer, #1200-439) a cada poço. As placas são seladas e incubadas durante pelo menos uma hora à temperatura ambiente. A timidina-<sup>3</sup>H incorporada nas células é contada durante 1 min. utilizando um contador de cintilações.

Os dados de uma experiência representativa são mostrados na Tabela 11.

**Tabela 11**

**Inibição da Incorporação de Timidina-<sup>3</sup>H em Células MKN45 através de Vários Anticorpos C8 e D11**

MÉD. das CPM											
Dose de anticorpo (mg/ml)	hIgG2		D11-8B8	D11-	D11-	hlgG4	C8-co16	C8-H241	C8-6	mIgG	5D5
	27G3	S17Y									
20000,0	45054	11239	18407	19752	50628	11738	11425	16387	52448	35086	
3333,3	49384	11441	16920	21239	54026	12956	12063	18216	53670	38195	
555,6	51720	11925	15987	20936	54204	13476	13217	18334	54655	39496	
92,6	47562	11094	14550	21911	54264	12419	11962	23041	52241	39607	
15,4	50488	24402	28685	39695	53806	22528	23150	44771	51329	49766	
2,6	48491	44741	47034	49868	54765	53465	48761	54598	55463	54967	
0,4	46468	43334	43998	45304	55330	47485	46645	53389	51549	49563	
0,1	44822	41578	41515	44566	53856	45725	44418	51668	47709	51883	
0,0	50427	50427	44213	44213	48708	51478	51478	48708	50300	50300	
ErrPAD.											
20000,0	2927	114	1265	1206	2491	262	654	282	1845	764	
3333,3	2462	732	641	689	1421	388	386	314	1310	1491	
555,6	2166	605	578	267	4364	281	341	1116	1192	534	
92,6	1835	22	150	564	1733	352	636	475	1036	370	
15,4	2144	2024	941	463	1376	207	1771	422	1281	968	
2,6	2587	1914	1133	1910	1978	2164	1945	444	919	2577	
0,4	2041	650	1177	2551	1501	378	2392	162	438	1943	
0,1	1628	1734	1817	2402	678	1340	2442	1589	2092	3143	
0,0	1203	1203	841	841	1377	886	886	1377	777	777	

Abreviaturas: MÉD. = média; CPM = contagem por minuto; ErrPAD. = Erro Padrão

Estes dados demonstram que vários anticorpos C8 e D11 de c-Met do presente invento inibem a proliferação de células MKN45 independentes de HGF tal como evidenciado por

uma redução na incorporação de timidina-<sup>3</sup>H. Resultados semelhantes são obtidos em células tumorais SNU5 e NUGC-4, que exibem sobre-expressão constitutiva e fosforilação de c-Met.

### Exemplo 10

#### Redução do c-Met Fosforilado e Total, e Ausência de Derramamento de Domínio Extracelular de c-Met, em Resposta a Anticorpos de c-Met

Este exemplo investiga se o tratamento de células MKN45 com anticorpos de c-Met do presente invento resulta em redução do c-Met fosforilado (p-Met) e do c-Met total. Além disso, este ensaio é utilizado para determinar se o tratamento de anticorpos de c-Met induz o derramamento de ECD de c-Met para o meio condicionado por MKN45.

Os anticorpos de c-Met e de controlo do isotipo são diluídos com meio de cultura (RPMI-1640 (Invitrogen, #11835), FBS a 10% (v/v) (Invitrogen, #10082), L-glutamina 2 mM (Invitrogen, #25030), penicilina G a 100 U/500 ml, e estreptomicina a 100 µg/500 ml (Invitrogen, #15140)) para alcançar 2× as concentrações finais indicadas na Tabela 12, e 50 µl das soluções de anticorpo 2× são adicionados a cada poço de placas de cultura de tecidos de 96 poços (Costar, #3596). As células MKN45 (Japan Health Sciences Foundation, Health Science Research Resource Bank, #JCRB0254) são mantidas no meio indicado acima e são ressuspensas para

$1 \times 10^5$  células/ml no mesmo meio. 50  $\mu\text{l}$  desta ressuspensão de MKN45 são adicionados a cada poço para alcançar  $5 \times 10^3$  células/poço. As placas são então incubadas durante 24 horas a 37°C sob 95% de humidade relativa e CO<sub>2</sub> a 5% (v/v), e os lisados celulares são preparados tal como descrito no Exemplo 7. Além disso, o meio condicionado de cada tratamento é colhido para quantificação de ECD de c-Met. Os níveis de p-Met e c-Met total nos lisados celulares são determinados através de ELISA, e normalizados para a concentração de proteína do lisado (tal como determinado por BCA, Pierce #23225).

**c-Met Fosforilado**

A fosforilação de c-Met nos resíduos de tirosina 1230, 1234, e 1235 é determinada tal como descrito no Exemplo 7.

**c-Met Total e Derramamento de ECD de c-Met**

Para os ELISA de c-Met total e de ECD de c-Met, um anticorpo de captura de c-Met é diluído em tampão de revestimento (BioFX, Glendora, CA, COAT-1000-01) até 2  $\mu\text{g}/\text{ml}$ . 110  $\mu\text{l}$  do anticorpo diluído são adicionados por poço a placas de ELISA (Greiner Bio-One, Monroe, NC, #655081) e as placas são incubadas de um dia para o outro a 4°C. Os poços são aspirados, lavados duas vezes com TBS-T, e depois bloqueados com 200  $\mu\text{l}$  de tampão de bloqueio (TBS-T mais BSA a 2% (p/v)) durante 1 hora à temperatura ambiente. As

placas são então lavadas duas vezes com TBS-T. Em seguida, lisados de células MKN45, o meio condicionado por MKN45, ou domínio extracelular de c-Met (ECD) (SEQ ID NO: 75) (como padrão), são adicionados, e as placas são incubadas durante 2 horas à temperatura ambiente. As placas são então lavadas quatro vezes com TBS-T. 100 µl de 0,5 µg/ml de um segundo anticorpo de c-Met biotinilado (Mab 5D5) que se liga a um epitopo de c-Met diferente do anticorpo de captura diluído em tampão de bloqueio são então adicionados a cada poço, e as placas são incubadas durante 2 horas à temperatura ambiente. Em seguida, as placas são lavadas quatro vezes com TBS-T. 100 µl de estreptavidina conjugada com peroxidase diluída 1/12000 (Jackson ImmunoResearch Laboratories, West Grove, PA, #016-030-084) em tampão de bloqueio são então adicionados, e a mistura é incubada durante 1 hora à temperatura ambiente. As placas são então lavadas seis vezes com TBS-T. 100 µl de solução de 3,3',5,5'-tetrametilbenzidina (BioFX, #TMBW-1000-01) são adicionados a cada poço, seguido pela adição de 100 µl de solução de paragem (BioFX, #LSTP-1000-01). As placas são lidas a 450 nm com uma correção de 570 nm utilizando um leitor de placas SpectraMax 190 (Molecular Devices, Sunnyvale, CA). A curva padrão é estabelecida utilizando análise de 4 parâmetros, e os valores da amostra são determinados utilizando suporte lógico SOFTmax Pro 3.1.2 (Molecular Devices).

Tal como mostrado na Tabela 12, o ELISA de p-Met e c-Met total revelou que o tratamento de mAb C8-H241 reduz ao máximo p-Met em 77% e c-Met total em aproximadamente

67%. O tratamento de D11-8B8 reduz ao máximo p-Met em aproximadamente 75% e c-Met total em 63%.

Tal como observado no Exemplo 8, estes dados demonstram que os anticorpos C8 e D11 induzem a degradação de c-Met e reduzem a fosforilação de c-Met.

Os dados na Tabela 12 indicam também que o tratamento com os anticorpos C8-H241 e D11-8B8 de c-Met não induzem clivagem nem derramamento do ECD de c-Met.

**Tabela 12**

<b>Efeito dos Anticorpos C8 e D11 no c-Met Fosforilado, c-Met Total, e Derramamento de Domínio Extracelular de c-Met em Lisados de Células MKN45 e Meio Condicionado</b>								
<b>Percentagem de inibição de c-Met Fosforilado de MKN45</b>								
	<b>C8-H241</b>		<b>hIgG4</b>		<b>D11-8B8</b>		<b>hIgG2</b>	
<b>Dose de Mab (ng/ml)</b>	<u>méd.</u>	<u>desvpad.</u>	<u>méd.</u>	<u>desvpad.</u>	<u>méd.</u>	<u>desvpad.</u>	<u>méd.</u>	<u>desvpad.</u>
10000	77,0	2,4	-2,1	10,9	74,8	3,4	14,0	7,1
1000	74,1	1,3	11,1	9,7	72,8	2,0	-4,6	10,9
100	71,7	2,5	13,4	13,3	69,1	3,7	-7,6	24,4
10	42,3	3,0	5,8	11,3	37,6	5,5	6,1	11,0
	<u>méd.</u>	<u>desvpad.</u>						
não tratado	0,0	8,0						
<b>Percentagem de Inibição de c-Met Total de MKN45</b>								
	<b>C8-H241</b>		<b>hIgG4</b>		<b>D11-8B8</b>		<b>hIgG2</b>	
<b>Dose de Mab (ng/ml)</b>	<u>méd.</u>	<u>desvpad.</u>	<u>méd.</u>	<u>desvpad.</u>	<u>méd.</u>	<u>desvpad.</u>	<u>méd.</u>	<u>desvpad.</u>
10000	63,1	1,6	-23,7	4,1	63,0	7,0	14,1	9,1
1000	66,7	4,3	10,4	16,0	62,7	0,6	-2,4	22,4

(continuação)

Percentagem de Inibição de c-Met Total de MKN45								
	C8-H241		hlgG4		D11-8B8		hlgG2	
Dose de Mab (ng/ml)	méd.	desvpad.	méd.	desvpad.	méd.	desvpad.	méd.	desvpad.
100	61,5	3,4	-3,7	14,4	62,9	2,5	7,3	9,1
10	32,3	4,9	-3,4	13,5	34,5	8,4	15,1	7,0
	méd.	desvpad.						
não tratado	0,0	25,9						

Nível de ECD de c-Met em Meio Condicionado por MKN45 (ng/ml)								
	C8-H241		hlgG4		D11-8B8		hlgG2	
Dose de Mab (ng/ml)	méd.	desvpad.	méd.	desvpad.	méd.	desvpad.	méd.	desvpad.
10000	5,1	0,5	7,4	0,7	6,2	0,2	7,0	0,1
1000	6,1	0,8	7,6	0,4	7,2	0,5	7,2	0,5
100	5,4	0,4	7,6	0,8	6,9	1,6	7,2	0,6
10	6,6	0,2	8,4	1,1	6,2	0,4	7,2	0,1
	méd.	desvpad.						
não tratado	8,3	1,0						

Exemplo 11Atividade Agonista de Anticorpos em Células Tumorais Caki-1 na Ausência de HGF

As células de carcinoma renal Caki-1 proliferaram em resposta a HGF. A ativação de c-Met em células Caki-1 através de anticorpos de c-Met na ausência de HGF é examinada neste exemplo para avaliar a atividade agonista dos anticorpos de c-Met do presente invento.

Poços de placas de cultura de tecidos de 96 poços são semeados com 5000 células Caki-1 de carcinoma de células claras de rim humano (ATCC, #HTB-46) em meio de cultura 5A de McCoy (Invitrogen, #16600) suplementado com FBS a 10% (v/v), L-glutamina 2 mM (Invitrogen, #25030), penicilina G a 100 U/500 ml e estreptomicina a 100 µg/500 ml (Invitrogen, #15140). Após cultura durante 24 horas, as células são privadas de nutrientes em meio pobre em soro (FBS a 0,5% (v/v)) durante mais 24 horas. As células são então cultivadas na presença de anticorpos anti-c-Met e de controlo em meio pobre em soro nas concentrações finais indicadas na Tabela 13 durante 24 horas a 37°C, 95% de humidade relativa, CO<sub>2</sub> a 5% (v/v). Durante as últimas seis horas da cultura, as células são pulsadas com timidina-<sup>3</sup>H (MP Biomedicals, Solon, OH #24066) a 1 µci/poco a 37°C, 95% de humidade relativa, CO<sub>2</sub> a 5% (v/v). Em seguida, o meio é removido e as células são lavadas uma vez com DPBS. Após isto, são adicionados 200 µl de Optiphase Supermix (Perkin-Elmer, #1200-439) a cada poço. As placas são então seladas e incubadas durante pelo menos uma hora à temperatura ambiente. A timidina-<sup>3</sup>H incorporada nas células é contada durante 1 min. utilizando um contador de cintilações.

Os dados de uma experiência representativa são mostrados na Tabela 13.

**Tabela 13**

**Efeito dos Anticorpos C8 e D11 na Incorporação de  $^3\text{H}$ -Timidina em Células Caki-1 na Ausência de HGF**

Dose de anticorpo (ng/mL)	CPM Méd									
	hlgG2	D11-	D11-	D11-	hlgG4	C8-	C8-	C8-6	mIgG	5D5
	8B8	27G3	S17Y		c016	H241				
20000,0	14658	15866	16054	18616	13704	13112	12797	13194	14224	19893
3333,3	14034	15730	15765	17897	13023	13829	12702	13193	13469	19018
555,6	14048	13997	14536	16620	12393	11359	12116	13494	13200	20043
92,6	14113	13705	14718	15342	12934	11563	12142	12793	13761	15588
15,4	14473	13488	13836	14579	13271	12111	13020	13670	13638	11748
2,6	15517	14097	13325	14867	13858	13713	14407	14126	13766	12520
0,4	14341	14411	13596	14618	13412	14080	14142	14601	14357	12896
0,1	16947	15319	17690	15899	13547	15567	15530	16121	13797	14383
0,0	14992	14992	15237	15237	14622	13889	14622	13889	14531	14531
ErrPAD.										
20000,0	398	737	549	345	219	642	268	96	465	807
3333,3	358	959	538	466	84	1086	380	382	927	954
555,6	343	809	705	284	478	437	216	4	397	505
92,6	428	502	728	237	447	292	445	212	706	394
15,4	232	737	729	160	487	267	305	107	514	318
2,6	386	173	295	404	339	299	291	711	91	221
0,4	357	568	508	392	317	556	656	281	331	323
0,1	262	550	1108	326	381	601	583	536	229	145
0,0	310	310	394	394	364	554	364	554	238	238

Abreviaturas: Méd. = média; CPM = contagens por minuto; ErrPAD. = Erro Padrão

Estes dados demonstram que os anticorpos de c-Met

C8-H241, C8-6, C8-co-16, e D11-8B8 não aumentam significativamente a tomada de timidina-[metil-<sup>3</sup>H] em células Caki-1 em comparação com a dos controlos do isotipo de IgG. D11-C27G3 e D11-S17Y exibem uma estimulação baixa, variável, mas estatisticamente significativa da tomada de timidina-[metil-<sup>3</sup>H] em células Caki-1 em comparação com a do controlo do isotipo de IgG. O anticorpo agonista de c-Met de controlo 5D5 induz uma tomada mais forte de timidina-[metil-<sup>3</sup>H] que a dos presentes anticorpos de c-Met em células Caki-1 sob as mesma condições experimentais.

**Exemplo 12****Atividade Agonista de Anticorpos em Hepatócitos Humanos****Primários na Ausência de HGF**

A atividade agonista dos presentes anticorpos de c-Met é ainda avaliada em hepatócitos humanos primários (PHH), que respondem a HGF, na ausência de HGF.

Células PHH plaqueáveis criopreservadas (KQG Celsis, Chicago, IL, RD #00002) são descongeladas a 37°C e ressuspensas a 175000 células/ml em meio InVitroGRO CP (Celsis, #Z99029) com uma mistura de antibióticos torpedo (Celsis, #Z99000). Foram adicionados 0,2 ml de células PHH ressuspensas por poço a placas de microtitulação de 96 poços revestidas com colagénio I (BD, Franklin Lakes, NJ,

#354407) a 35000 células/poço, e as células são incubadas durante 24 horas a 37°C, CO<sub>2</sub> a 5% (v/v). O meio de cultura é então aspirado e 150 µl de meio InVitroGRO HI (Celsis, #Z99009) com mistura de antibióticos torpedo mais BSA a 0,1% (p/v) são adicionados por poço, mais 50 µl de anticorpos de c-Met e de controlo num intervalo de concentrações finais de 10 µg/ml a 0,0032 µg/ml, ou HGF a uma concentração final de 200 ng/ml, em meio InVitroGRO HI com mistura de antibióticos torpedo mais BSA a 0,1% (p/v). As células são incubadas durante 48 horas a 37°C, CO<sub>2</sub> a 5% (v/v), e 10 µl de timidina-[metil-<sup>3</sup>H] 0,1 mCi/ml (MP Biomedicals, Solon, OH, #24066) são adicionados por poço durante pelo menos 6 horas de incubação. As placas de ensaio são congeladas a -70°C, descongeladas a 37°C, e colhidas para placas UniFilter-96, GF/C (Perkin Elmer, Waltham, MA, #6005174) utilizando um Filtermate Harvester (Perkin Elmer). As placas UniFilter são secas, são adicionados 20 µl por poço de cintilante Microscint 0 (Perkin Elmer, #6013611), e as placas são contadas num contador de cintilações líquidas 1450 Microbeta (Perkin Elmer).

A Tabela 14 mostra a média de tratamentos em triplicado com desvios padrão, e é representativa de três experiências repetidas.

Tabela 14

<b>Efeito de Vários Anticorpos C8 e D11 na Incorporação de <math>^3\text{H}</math>-Timidina em Hepatócitos Humanos Primários na Ausência de HGF</b>													
<u>Doses:</u>													
		10 $\mu\text{g}/\text{ml}$	2 $\mu\text{g}/\text{ml}$	0,4 $\mu\text{g}/\text{ml}$	0,08 $\mu\text{g}/\text{ml}$	0,016 $\mu\text{g}/\text{ml}$	0,0032 $\mu\text{g}/\text{ml}$						
tratamento isotipo	média	desvpad	média	desvpad	média	desvpad	média	desvpad	média	desvpad	média	desvpad	média
de Ab													
D11-8B8	IgG2	1703,7	140,1	1427,0	120,3	1231,0	232,4	1122,%	188,3	715,3	25,8	611,0	61,5
D11-C27G3	IgG2	2145,7	171,0	1874,0	443,4	1753,0	199,8	1283,3	131,6	892,0	109,3	692,7	23,0
D11-S17Y	IgG2	3155,0	594,2	2566,0	173,1	1911,0	348,3	1458,7	132,7	919,7	47,5	726,3	131,7
C8-H241	IgG4	671,0	61,0	710,3	81,8	681,3	13,7	669,3	77,0	630,0	37,2	625,0	65,5
C8-co-16	IgG4	952,0	36,0	822,0	88,4	670,0	23,3	767,3	12,6	715,7	12,5	828,7	85,2
C8-6	IgG4	1042,3	91,3	892,3	107,0	801,7	77,4	792,3	48,4	769,7	109,9	736,3	43,1
5D5	mlgG1	4978,0	59,9	4912,3	287,7	3763,7	292,1	3320,7	40,1	1716,3	324,1	821,7	175,3
hlG2	controlo	650,0	39,4	643,7	11,7	711,7	16,6	836,0	61,0	748,3	57,7	799,7	80,3
hlG4	controlo	647,3	77,1	735,0	33,8	717,3	19,4	819,0	44,2	848,3	75,1	806,7	79,7
mlgG1	controlo	616,7	24,8	581,0	81,8	601,0	82,0	596,0	78,6	588,7	43,0	675,0	73,0
do isotipo													
<u>méd. desvpad,</u>													
HGF	200 $\text{ng}/\text{ml}$	6292,7	733,0										
nenhum tratado		615,1	83,9										

Os dados demonstram que em comparação com os controlos do isotipo de IgG, os presentes anticorpos de c-Met C8-H241 não aumentam significativamente a tomada de timidina-[metil- $^3\text{H}$ ] em células PHH; C8-6, C8-co-16, D11-8B8, D11-C27G3, e D11-S17Y exibem uma estimulação baixa, variável, mas estatisticamente significativa da tomada de timidina-[metil- $^3\text{H}$ ]. No entanto, a atividade agonista dos

presentes anticorpos de c-Met é significativamente inferior à do anticorpo de c-Met de controlo 5D5. O anticorpo agonista 5D5 estimula a proliferação de PHH de um modo dependente da dose, com um aumento de 5 vezes a uma concentração de 3 µg/ml. A 200 µg/ml, HGF estimula um aumento de 5 vezes na tomada de timidina-<sup>3</sup>H. O mAb C8-H241 não induz proliferação mesmo quando utilizado a 10 µg/ml.

Resultados semelhantes são obtidos em células epiteliais renais humanas HK2, que também proliferam em resposta à estimulação de HGF.

### **Exemplo 13**

#### **Efeito dos Anticorpos na Morfogénesis Tubular em Células**

##### **HepG2 na Ausência de HGF**

HGF induz alterações morfogénicas tubulares em células HepG2 criadas em Matrigel™ (Becton-Dickinson, #354234), um material de matriz extracelular contendo componentes da membrana basal. Nesta experiência, a atividade agonista semelhante a HGF de anticorpos do presente invento em indução de alterações morfogénicas tubulares em células HepG2 é avaliada.

Células HepG2 (ATCC, #HB-8065) são cultivadas em DMEM suplementado com FBS a 10%. 100 µl de uma solução de Matrigel™ (Matrigel™, Becton-Dickinson) diluído em Opi-MEMI (Invitrogen, #31985) suplementado com FBS a 10% (v/v), L-glutamina 2 mM (Invitrogen, #25030), penicilina G a 100

U/500 ml e estreptomicina a 100 µg/500 ml (Invitrogen, #15140) são plaqueadas em poços de placas de cultura de tecidos de 96 poços (Costar, #3596). Após a solução de Matrigel™ solidificar, são adicionadas 2000 células HepG2 em 50 µl de meio de cultura suplementado com soro a 10%. Em seguida, anticorpos de c-Met e de controlo a uma concentração final de 50 µg/ml, ou HGF a uma concentração final de 50 ng/ml, são adicionados às células. As células são criadas durante 4 dias a 37°C numa atmosfera humidificada contendo CO<sub>2</sub> a 5% (v/v). Após 4 dias, o meio do topo é removido e substituído por 50 µl de violeta de p-Iodonitro-tetrazólio (Sigma, #18377) a 1 mg/mL em PBS, e as células são incubadas durante mais 48 horas sob as mesmas condições. São tiradas fotografias da área corada de 32 mm, que são analisadas utilizando Image-Pro Plus 6 (Media Cybernetics, Inc., MD).

Os dados de uma experiência representativa, para anticorpos a 50 µg/ml, são mostrados na Tabela 15.

**Tabela 15**

<b>Efeito dos Anticorpos C8 na Morfogénesis Tubular em Células HepG2</b>							
Anticorpo (50 µg/ml)	hlgG4	C8-H241	C8-co16	C8-6	mIgG	5D5	NGF (50 ng/ml)
Morfogénesis tubular	nenhuma estimulação	nenhuma estimulação	nenhuma estimulação	1,2	1,2	4,9	5,4
Atividade agonista							
(vezes de estimulação)							

Estes dados demonstram que HGF e o anticorpo agonista de controlo 5D5 induzem alterações morfogénicas tubulares de aproximadamente 5 vezes em células HepG2 em comparação com o controlo do isotipo. Em contraste, os presentes anticorpos de c-Met C8-H241 e C8-co16 não induzem alterações morfogénicas tubulares significativas em células HepG2 sob as mesmas condições, enquanto o anticorpo de c-Met C8-6 induz apenas um baixo nível de estimulação.

Resultados semelhantes são obtidos com o mAb D11-8-B8.

**Exemplo 14****Efeito dos Anticorpos na Motilidade Celular: Ensaio de Dispersão de DU145 e Ensaio de Risco em Células H441**

Após estimulação com HGF, células de cancro da próstata DU145 dissociam-se uma das outras e células H441 preenchem um risco feito numa camada de células confluentes. As células H441 exibem um elevado nível de expressão de c-Met e fosforilação constitutiva deste receptor, mas ainda respondem a HGF. As experiências seguintes avaliam o efeito agonista dos anticorpos do presente invento na motilidade celular num ensaio de dispersão e num ensaio de risco.

**Ensaio de Dispersão de Células DU145**

Células DU145 (ATCC, # HTB-81) cultivadas em meio MEM (Invitrogen, #11095) + FBS a 10% (Invitrogen, #10082) a 37°C sob CO<sub>2</sub> a 5% (v/v) são plaqueadas a 2×10<sup>3</sup> células/poço em 70 µl de volume em placas de 96 poços ViewPlate negras (Perkin Elmer, Waltham, MA, #6005182) e incubadas de um dia para o outro a 37°C sob CO<sub>2</sub> a 5% (v/v). Os anticorpos de c-Met e de controlo são diluídos em meio de cultura de células e adicionados a uma concentração final de 20 µg/ml, e o HGF é adicionado a uma concentração final de 20 ng/ml, cada num volume de 30 µl com doze replicados, e incubados durante 48 horas a 37°C sob CO<sub>2</sub> a 5% (v/v). O meio é então aspirado e as células são fixadas em formaldeído a 2% durante 15 min. à temperatura ambiente. Os poços são lavados três vezes com PBS, e são adicionados 50 µl de faloidina Alexa Fluor 488 a 5 U/ml (Invitrogen, #A12379) durante 30 min. à temperatura ambiente. Os poços são lavados três vezes com PBS e são adicionados 50 µl de iodeto de propídio 15 µM (Invitrogen, #P3566). A placa é subsequentemente lida num citómetro de microplacas de fluorescência de varrimento laser Acumen Explorador™ (TTP Labtech ltd., Cambridge, MA) utilizando suporte lógico Jockeyss para determinar a percentagem de células DU145 nas colónias.

Os resultados são mostrados na Tabela 16.

**Tabela 16**

Efeito dos Anticorpos C8 e D11 na Dispersão de Células DU145									
	Percentagem de Células DU145 nas Colónias								
	C8-H241	C8-6	C8-co-16	hIgG4	D11-8B8	hIgG2	5D5	HGF	Não tratado
<b>Média</b>	24,13	23,29	23,69	24,41	25,57	25,67	14,45	8,15	26,53
<b>Desv. Pad.</b>	3,35	1,37	2,30	2,02	1,98	3,13	0,34	1,23	2,44

Os dados demonstram que o mAb de c-Met agonista 5D5 e HGF, mas não os mAb de c-Met C8-H241, C8-co-16, C8-6, ou D11-8B8, estimulam significativamente a dispersão/motilidade de células DU145.

#### Ensaio de Risco de Células H441

Para o ensaio de Risco de H441, células H441 (ATCC, # HTB-174) são cultivadas em RPMI-1640 (Invitrogen, #11835); FBS a 10% (v/v) (Invitrogen, #10082); L-glutamina 2 mM (Invitrogen, #25030); penicilina G a 100 U/500 ml, e estreptomicina a 100 µg/500 ml (Invitrogen, # 15140), e semeadas a  $1 \times 10^6$  células/2 ml/poço em placas de cultura de tecidos de 6 poços (Costar, #3598) no meio de cultura. As placas são incubadas durante 3 dias sob 95% de humidade relativa e CO<sub>2</sub> a 5% (v/v). O meio é então aspirado, e as células são privadas de nutrientes em meio pobre em soro (FBS a 0,5% (v/v) em meio RPMI) durante 16 horas. As camadas de células confluentes no fundo dos poços são riscadas com pontas de pipetas de 5 ml no meio de cada poço, e as células a flutuar são aspiradas. As restantes células são lavadas 1x com meio pobre em soro. Meio pobre

em soro é adicionado, e as áreas riscadas são visualizados utilizando um microscópio de campo claro com uma objetiva de 4×. Estes intervalos são definidos como Intervalos às 0 horas.

Os anticorpos de teste são adicionados às células a uma concentração final de 10 µg/ml, seguido de incubação a 37°C sob CO<sub>2</sub> a 5% (v/v) durante 16 horas. HGF é testado a uma concentração final de 200 ng/ml. Cada grupo de tratamento é testado pelo menos em poços em duplicado. As áreas riscadas são novamente visualizadas usando um microscópio de campo claro às 16 horas. Estes intervalos são definidos como Intervalos às 16 horas.

O efeito dos anticorpos de c-Met ou HGF no movimento das células H441 para preencher os intervalos é calculado da seguinte forma:

Percentagem de alteração média

$$= \frac{\text{Grupo de tratamento (Intervalo às 0 horas} - \text{Intervalo às 16 horas})}{\text{Grupo de meio médio (Intervalo às 0 horas} - \text{Intervalo às 16 horas})} \times 100$$

Os resultados são mostrados na Tabela 17.

**Tabela 17**

**Efeito dos anticorpos C8 no Ensaio de Risco de H441**

<b>Anticorpo (10 µg/ml)</b>	<b>% Méd.</b>	<b>Desv. Padr.</b>
<b>Meio</b>	100	7
<b>hIgG4</b>	98	9

(continuação)

**Efeito dos anticorpos C8 no Ensaio de Risco de H441**

<b>Anticorpo (10 µg/ml)</b>	<b>% Méd.</b>	<b>Desv. Padr.</b>
<b>C8-H241</b>	98	9
<b>C8-6</b>	102	4
<b>mIgG1</b>	98	18
<b>mAb 5D5</b>	244	4
<b>HGF (200 ng/ml)</b>	364	9

Os dados demonstram que o mAb agonista de c-Met 5D5 e HGF estimulam o movimento de células H441/preenchimento das áreas riscadas. Sob as mesmas condições, os mAb de c-Met C8-H241 e C8-6 não estimulam a motilidade das células H441.

**Exemplo 15****Efeito dos Anticorpos de c-Met na Capacidade de Invasão de Células HepG2**

HGF e anticorpos de c-Met agonistas estimulam a invasão de células portadoras de c-Met. Este exemplo examina a atividade agonista dos presentes anticorpos de c-Met num ensaio de invasão celular empregando células HepG2, que respondem a HGF num ensaio de invasão.

Células HepG2 (ATCC, #H-8065) são privadas de nutrientes de um dia para o outro em meio MEM isento de

soro (Invitrogen, #11095) e depois  $5 \times 10^4$  células num volume total de 500  $\mu\text{l}$  são adicionados a cada poço da câmara superior de uma câmara de invasão de Matrigel (BD, Franklin Lakes, NJ, #354483), com a câmara inferior contendo os anticorpos num volume total de 750  $\mu\text{l}$  de meio isento de soro a uma concentração de 10  $\mu\text{g/ml}$ , ou HGF a 50 ng/ml em meio isento de soro, seguido por incubação durante quarenta e oito horas a 37°C sob CO<sub>2</sub> a 5% (v/v). As células não invasoras são removidas da câmara superior com uma zaragatoa, seguido por fixação da membrana com etanol a 95% e coloração com violeta cristal a 0,2% (p/v). Após lavagem e secagem, o número de células invasoras é contado utilizando análise por suporte lógico Image-Pro Plus 6 Manual Tag (Media Cybernetics, Inc., MD) das fotografias tiradas de células coradas com uma objetiva de 2,5x.

Os resultados são resumidos na Tabela 18.

**Tabela 18**

Efeito dos Anticorpos C8-, C8, e D11 na Capacidade de Invasão de Células HepG2								
Concentração de Anticorpo ( $\mu\text{g/ml}$ )	Número Médio de Células por Campo de 2,5x							
	hIgG4	C8-H241	C8	mIgG1	optD11	5D5	HGF (50 ng/ml)	Meio
10.00	5,5	3,5	4,3	5,5	19,8	85,0	509,5	3,5
	Err. Pad.							
	0,5	0,9	1,3	0,5	4,1	20,4	4,5	0,5

Os dados demonstram que o mAb de c-Met agonista 5D5 e HGF, mas não os mAb de c-Met C8-H241 e C8 (de murídeo), estimulam a invasão de HepG2. O mAb de c-Met de murídeo optD11 induz invasão de células HepG2.

### Exemplo 16

#### Os Anticorpos C8 e D11 Não Protegem Células Caki-1 de Apoptose Induzida por Estaurosporina

HGF e anticorpos de c-Met agonistas protegem células da morte celular induzida por estaurosporina. Este exemplo examina a atividade agonista dos anticorpos de c-Met do presente invento num ensaio de apoptose induzida por estaurosporina empregando células Caki-1 que respondem a HGF.

As células Caki-1 (ATCC, #HTB-46) são cultivadas tal como descrito no Exemplo 11, semeadas a  $1 \times 10^4$  células/poço em placas de 96 poços (Costar, #3596) em meio de cultura, e pré-tratadas com anticorpos (diluídos de 30000 ng/ml para 3 ng/ml no meio de cultura de células), ou HGF (diluído de 225 ng/ml para 0,02 ng/ml), durante uma hora seguido de tratamento com estaurosporina 0,1  $\mu\text{M}$  (concentração final) durante quarenta e oito horas a 37°C. O meio é aspirado e as células são lisadas durante 30 min. com 0,2 ml do componente tampão de lise do estojo Cell

Death Detection ELISA (Roche Applied Science, Indianapolis, IN, #11774425001). Este estojo utiliza 20 µl de cada lisado para medir a morte celular através de deteção de fragmentos de ADN associados a histonas citoplasmáticas tal como determinado pela absorção a 450 nm. Uma densidade ótica mais elevada a 450 nm indica maior apoptose.

Os resultados mostrados na Tabela 19 demonstram que HGF, mas não os mAb de c-Met C8-H241, C8-6, e D11-8B8, protege células Caki-1 de apoptose induzida por estauroporina.

**Tabela 19**

Efeito dos Anticorpos de c-Met em Apoptose Induzida por Estauroporina em Células Caki-1								
Dose de anti-corpo (ng/ml)	Média A450 nm							
	hIgG4	C8-H241	C8-6	HGF	hIgG2	D11-8B8	Meio	STS*
3	0,95	0,83	1,09	0,97 (0,02 ng/ml)	0,95	1,02	0,24	0,87
30	0,98	0,84	1,02	0,93 (0,23 ng/ml)	0,91	0,91		
300	0,87	0,86	0,97	0,73 (2,25 ng/ml)	0,95	0,81		
3000	0,98	0,85	0,92	0,58 (22,5 ng/ml)	0,95	0,91		
30000	0,91	0,90	0,96	0,45 (225 ng/ml)	0,94	0,87		
	ErrPAD.							
3	0,03	0,02	0,19	0,02	0,07	0,01	0,01	0,03
30	0,03	0,01	0,14	0,06	0,00	0,11		
300	0,10	0,03	0,06	0,03	0,02	0,02		
3000	0,04	0,01	0,12	0,01	0,06	0,02		
30000	0,00	0,01	0,13	0,06	0,04	0,03		

\*STS: Estauroporina

**Exemplo 17****Efeito de Anticorpos C8- na Angiogénesse**

HGF e anticorpos de c-Met agonistas estimulam a angiogénesse. Os anticorpos de c-Met do presente invento são avaliados quanto a esta propriedades funcional agonista no ensaio de formação de tubos em co-cultura de ADSC/ECFC. Células estaminais derivadas de adiposo (ADSC) expressam HGF; as células formadoras de colónias endoteliais (ECFC) formam tubos em resposta à estimulação por HGF.

ADCS (Lonza, Allendale, NJ, #PCT-5006) são dissociadas, ressuspensas em meio basal (meio MCDB-131 (Sigma, St. Louis, MO #M8537)) + 2-fosfato de ácido L-ascórbico a 30 µg/ml (Sigma #A8960), dexametasona 1 µM (Sigma #D4902), tobramicina a 50 µg/ml (Sigma #T4014), r-transferrina Cell Prime AF a 10 µg/ml (Millipore #9701) + Nucellin a 10 µg/ml (insulina recombinante humana de Lilly)), plaqueadas a  $4 \times 10^4$  células/poço em placas de 96 poços, e incubou-se de um dia para o outro a 37°C sob CO<sub>2</sub> a 5% (v/v). O meio é aspirado e heparina sódica a 500 µg/ml (Sigma, #H3393) é adicionada em meio basal a 100 µl/poço; as células são então incubadas durante 1 hora a 37°C. Os poços são aspirados, lavados uma vez com 100 µl de meio basal, e são adicionadas ECFC como se segue: ECFC (EndGenitor

Technologies, Inc., Indianapolis, IN #EGT-ECFC100506) são dissociadas, lavadas em meio basal, ressuspensas em meio basal, e adicionadas a  $4 \times 10^3$  células/poço sobre ADSC em placas de 96 poços. Após 4 horas de incubação a 37°C, HGF e os anticorpos são diluídos no meio de cultura de células e adicionados a poços separados nas seguintes concentrações finais: HGF: 100 ng/ml; anticorpos: 10 µg/ml. O anticorpo de HGF (R&D Systems #AB-294-NA) é também adicionado à concentração final de 10 µg/ml. As células são incubadas durante mais 4 dias a 37°C. Os poços são aspirados, e são adicionados 100 µl/poço de paraformaldeído a 1%, seguido de incubação durante 20-30 min. As células são lavadas três vezes com PBS-BSA (BSA a 0,1%, Invitrogen #15260-037) e tratadas com 50 µl de anticorpo anti-CD31 humano a 1 µg/ml (R&D Systems, #AF806) durante 1 hora a 37°C ou de um dia para o outro a 4°C. As células são lavadas duas vezes com PBS-BSA e tratadas com 50 µl de anti-IgG de ovelha conjugado com AlexaFluor488 a 4 µg/ml (Invitrogen, #A11015) durante 1 hora à temperatura ambiente. As células são lavadas duas vezes com PBS-BSA e coradas com 100 µl de corante Hoechst3342 e lidas num Cellomics ArrayScan (Thermo Fisher Scientific, Waltham, MA). O suporte lógico vHCS View Versão 1.4.6 é utilizado para determinar as áreas totais de tubos, que são utilizadas para avaliar o efeito dos vários anticorpos e de HGF na estimulação de angiogénesse.

Os resultados são mostrados na Tabela 20.

**Tabela 20**

<b>Efeito de Anticorpos C8- na Formação de Tubos em Células ECFC</b>								
<b>Área Total de Tubos</b>								
	<b>Maio Basal</b>	<b>hIgG4</b>	<b>C8-H241</b>	<b>C8-6</b>	<b>mIgG1</b>	<b>5D5</b>	<b>Ab HGF</b>	<b>HGF</b>
<b>Méd.</b>	67753,3	90134,3	22979,7	65224,0	125538,3	147237,3	22824,3	212104,7
<b>Desv. Pad.</b>	24221,6	17741,1	604,9	18275,9	34702,4	18748,1	6586,0	16588,5

Os resultados demonstram que C8-H241 e C8-6 não estimulam a formação de tubos em comparação com o meio ou os seus correspondentes anticorpos de controlo do isotipo, enquanto HGF e o mAb agonista 5D5 estimulam significativamente a formação de tubos.

#### **Exemplo 18**

#### **Inibição do Crescimento de Células Tumorais Independentes de HGF e Dependentes de HGF em Modelos de Xenoenxerto**

A inibição do crescimento de células tumorais independentes de HGF e dependentes de HGF através de anticorpos de c-Met do presente invento é examinada em ensaios *in vivo* empregando modelos de xenoenxerto de ratinho de células MKN45 e U87MG (glioblastoma humano), respetivamente. As células MKN45 expressam constitutivamente níveis elevados de c-Met e fosforilação de c-Met na ausência de HGF. As células U87MG segregam HGF de um modo autócrino, e respondem a HGF.

Células MKN45 (Japan Health Sciences Foundation, Health Science Research Resource, #JCRB0254) são expandidas

em cultura tal como descrito no Exemplo 8, tripsinizadas para células individuais, colhidas e ressuspensas em PBS. Dois milhões de células MKN45 em PBS são injetados por via subcutânea no flanco traseiro de ratinhos nus atípicos (Harlan, Indianapolis, IN). Anticorpos de c-Met e correspondentes anticorpos IgG2 e IgG4 são diluídos em PBS, pH 7,2, e administrados numa base semanal através de injeção intravenosa começando a partir dos 3 ou 7 dias após a implantação de células tumorais a 1, 5, ou 20 mg/ml. A inibição do crescimento de células tumorais é determinada através da medição tridimensional com paquímetro dos volumes tumorais duas vezes por semana durante o curso do tratamento. O peso corporal é medido como uma medida geral da toxicidade.

Células U87MG (ATCC, #HTB-14) são cultivadas em MEM (Invitrogen, #11095) a 37°C, expandidas em cultura, tripsinizadas para células individuais, colhidas, e ressuspensas em PBS (Invitrogen, # 14190). Cinco milhões de células são injetados por via subcutânea no flanco traseiro de ratinhos nus atípicos (Harlan, Indianapolis, IN). Os anticorpos de c-Met são diluídos em PBS, e administrados numa base semanal através de injeção intravenosa nas doses indicadas na Tabela 22 começando 7 dias após a implantação das células tumorais. O anticorpo de controlo IgG4 é administrado a 10 mg/kg. A inibição do crescimento de células tumorais é determinada através da medição tridimensional com paquímetro dos volumes tumorais duas vezes por semana durante o curso de tratamento. O peso corporal é medido como medição geral da toxicidade.

A eficácia antitumoral de quatro anticorpos, D11-8B8, C8-H241, C8-6, e C8-Co-16 no modelo de xenoenxerto de células MKN45 está resumida na Tabela 21. A "% máxima de inibição" representa a percentagem de inibição do crescimento tumoral em comparação com o tratamento com o antícorpo de controlo correspondente (0% de inibição).

Quando administrados em doses de 5 mg/kg ou 20 mg/kg, todos os quatro anticorpos de c-Met produzem uma inibição significativa do crescimento de células tumorais MKN45 em comparação com os seus correspondentes controlos de isotipo de IgG.

**Tabela 21**

<b>Efeito de Anticorpos C8- e D11- no Crescimento In Vivo de Tumores MKN45 Independentes de HGF</b>			
<b>Anticorpo</b>	<b>Nível de dose (mg/kg)</b>	<b>% Máxima de Inibição</b>	<b>Valor de p</b>
<b>D11-8B8</b>	5	53	p<0,05
	20	56	p<0,01
<b>C8-H241</b>	1	39	NS
	5	63	p<0,01
	20	51	p<0,05
<b>C8-6</b>	1	60	p<0,001
	5	59	p<0,01
	20	73	p<0,001
<b>C8-Co-16</b>	1	36	NS
	5	60	p<0,001
	20	85	p<0,001

Uma inibição dependente da dose do crescimento de células tumorais através de C8-H241 é também observada no modelo de xenoenxerto de células U87MG dependentes de HGF, tal como resumido na Tabela 22. A "% Máxima de Inibição" representa a percentagem de inibição do crescimento tumoral em comparação com o tratamento com o correspondente anticorpo de controlo IgG4 (0% de inibição).

**Tabela 22**

<b>Efeito do Anticorpo C8-H241 no Crescimento <i>In Vivo</i> do Tumor U87MG Dependente de HGF</b>			
<b>Anticorpo</b>	<b>Nível de dose (mg/kg)</b>	<b>% Máxima de Inibição</b>	<b>Valor de p</b>
<b>C8-H241</b>	0,1	45,2	NS
	0,3	86,8	p<0,001
	1	91,9	p<0,001
	3	91	p<0,001
	10	94,8	p<0,001

A 5 e 20 mg/kg, o anticorpo C8-H241 também inibe o crescimento do tumor de xenoenxerto de cancro do pulmão de células não pequenas H441 a 58% e 60%, respectivamente. As células H441 exibem um elevado nível de expressão de c-Met e fosforilação constitutiva de c-Met, mas respondem ainda a HGF.

**Exemplo 19****Redução por Anticorpos do c-Met Total e Fosforilado em  
Tumores de Xenoenxerto MKN45**

A atividade *in vivo* do anticorpo de c-Met C8-H241 no c-Met total e no c-Met fosforilado em ratinhos possuindo tumores de xenoenxerto MKN45 (independente de HGF) é investigada neste exemplo. Uma redução dependente da dose tanto do c-Met total como do c-Met fosforilado (na tirosina 1349) é observada 24 horas após a administração do anticorpo.

Células MKN45 são expandidas em cultura tal como descrito no Exemplo 8, tripsinizadas, e colhidas. Dois milhões de células MKN45 em PBS são injetados subcutaneamente no flanco traseiro de ratinhos nus atípicos (Harlan, Indianapolis, IN). O anticorpo de c-Met C8-H241 é diluído em PBS, pH 7,2, e administrado através de injeção intravenosa oito dias após o implante das células tumorais a 2,5, 5, 10, 20, e 40 mg/kg. O anticorpo de controlo hIgG4 é administrado a 40 mg/kg. Após 24 horas de tratamento, os tumores são removidos, rapidamente congelados, armazenados temporariamente a -80 °C, e lisados em tampão de lise (ácido etilenodiaminetetraacético (EDTA) 5 mM, ácido etilenoglicol-bis(b-aminoetil)-N,N,N',N'-tetraacético (EGTA) 5 mM, HEPES 50 mM, pirofosfato de sódio 20 mM (ThermoFisherSci-

tific, #S390-500), NaCl 150 mM, NaF 20 mM, octilfenoxipolietoxi-etanol (TRITON®-X 100) a 1% (v/v), inibidor completo de proteases, livre de EDTA (Roche, Basel, Suíça, #1836153), mistura I de inibidores de fosfatases (Sigma #P2850), e mistura II de inibidores de fosfatases (Sigma #P5726).

### **ELISA de c-Met Total**

Para o ELISA de c-Met total, um anticorpo de captura de c-Met é diluído em tampão de revestimento Bup H (Thermo Fisher Scientific, Waltham, MA, #28382) a 2 µg/ml. 100 µl do anticorpo diluído são adicionados por poço às placas de ELISA (ThermoFisherScientific, Waltham, MA #439454), e as placas são incubadas de um dia para o outro a 4°C. Os poços são aspirados, lavados duas vezes com TBS-T, e depois bloqueados com 200 µl de tampão de bloqueio (TBS-T mais BSA a 2% (p/v)) durante 1 hora à temperatura ambiente. As placas são lavadas duas vezes com TBS-T. Em seguida, são adicionadas diluições de lisados de tumor ou domínio extracelular de c-Met (aminoácidos 25-932 de SEQ ID NO: 75), e as placas são incubadas de um dia para o outro a 4°C. As placas são então lavadas três vezes com TBS-T. 100 µl de 0,5 µg/ml de mAb 5D5 biotinilado (como segundo anticorpo de c-Met que se liga a um epitopo de c-Met diferente do anticorpo de captura) diluído em tampão de bloqueio são então adicionados a cada poço, e as placas são

incubadas durante 2 horas à temperatura ambiente. Em seguida, as placas são lavadas três vezes com TBS-T. 100 µl de estreptavidina conjugada com peroxidase diluída 1/10000 (Jackson ImmunoResearch Laboratories, West Grove, PA, #016-030-484) em tampão de bloqueio são então adicionados, e a mistura é incubada durante 1 hora à temperatura ambiente. As placas são então lavadas três vezes com TBS-T. 100 µl de solução de 3,3',5,5'-tetrametilbenzidina (BioFX, #TMBW-1000-01) são adicionados a cada poço, seguido pela adição de 100 µl de solução de paragem (BioFX, #LSTP-1000-01). As placas são lidas a 450 nm utilizando um leitor de placas SpectraMax 250 (Molecular Devices, Sunnyvale, CA) com suporte lógico SOFTmax Pro 3.1.2 (Molecular Devices).

#### **ELISA de c-Met Fosforilado**

Para o ELISA de fosfo-c-Met, um anticorpo de captura de c-Met é diluído em tampão de revestimento Bup H (Thermo Fisher Scientific, Waltham, MA, #28382) a 2 µg/ml. 100 µl do anticorpo diluído são adicionados por poço às placas de ELISA (ThermoFisherScientific, Waltham, MA #439454), e as placas são incubadas de um dia para o outro a 4°C. Os poços são aspirados, lavados duas vezes com TBS-T, e depois bloqueados com 200 µl de tampão de bloqueio (TBS-T mais BSA a 2% (p/v)) durante 1 hora à temperatura ambiente. As placas são lavadas duas vezes com TBS-T. Em seguida, são adicionados lisados de células MKN45, e as

placas são incubadas de um dia para o outro à temperatura ambiente. As placas são então lavadas três vezes com TBS-T. 100 µl de anticorpo de c-Met anti-pY1349 a 0,5 µg/ml (Cell Signaling Technology, Danvers, Massachusetts, #3121) diluído em tampão de bloqueio são então adicionados a cada poço, e as placas são incubadas durante 2 horas à temperatura ambiente. Em seguida, as placas são lavadas três vezes com TBS-T. 100 µl de anti-IgG de coelho conjugado com peroxidase diluído 1/10000 (Jackson ImmunoResearch Laboratories, West Grove, PA, #111-035-144) em tampão de bloqueio são então adicionados, e a mistura é incubada durante 1 hora à temperatura ambiente. As placas são então lavadas três vezes com TBS-T. 100 µl de solução de 3,3',5,5'-tetrametilbenzidina (BioFX, #TMBW-1000-01) são adicionados a cada poço, seguido pela adição de 100 µl de solução de paragem (BioFX, #LSTP-1000-01). As placas são lidas a 450 nm utilizando um leitor de placas SpectraMax 250 (Molecular Devices, Sunnyvale, CA) com suporte lógico SOFTmax Pro 3.1.2 (Molecular Devices).

Os resultados são mostrados na Tabela 23.

Os dados demonstram que o tratamento *in vivo* de tumores de xenoenxerto de MKN45 com mAb C8-H241 durante 24 horas reduz de forma máxima o c-Met total em aproximadamente 43%, e o c-Met fosforilado em aproximadamente 73%, sob estas condições.

**Tabela 23**

Redução do c-Met Total e Fosforilado em Tumores de Xenoenxerto de MKN45 Após 24 Horas de Tratamento com Anticorpo de c-Met C8-H241 <i>in vivo</i>							
Redução do c-Met Total							
% de inibição		C8-H241					hIgG4
	PBS	2,5 mpk	5 mpk	10 mpk	20 mpk	40 mpk	40 mpk
% média de inibição	-88,51	-8,43	4,26	25,07	42,85	30,62	0,00
desv. padr. da % de inibição	62,63	-8,43	36,84	26,88	17,67	35,95	41,23
Redução do c-Met Fosforilado							
% de inibição		C8-H241					hIgG4
	PBS	2,5 mpk	5 mpk	10 mpk	20 mpk	40 mpk	40 mpk
% média de inibição	12,16	22,89	17,56	53,21	67,04	73,42	0,00
desv. padr. da % de inibição	23,89	22,89	37,05	9,90	6,58	7,04	48,81

mpk: mg/kg

**Sequências de Aminoácidos e Nucleótidos****Sequências de Aminoácidos de Região Variável de Cadeia Leve****D11-S17Y (SEQ ID NO: 1)**

EIVLTQSPGTLSLSPGERATLSCSVSSSISSTNLHWYQQKPGQAPRLLIYGTSYLAS  
 GIPDRFSGSGSGTDFTLTISRLEPEDFAVYYCQQWSSYPYSFGQGTKEIK

**D11-8B8 (SEQ ID NO: 2)**

EIVLTQSPGTLSLSPGERATLSCSVSSSISSTNLHWYQQKPGQAPRLLIYGTSYLAS  
 GIPDRFSGSGSGTDFTLTISRLEPEDFAVYYCQQWSSYPYSFGQGTKEIK

**D11-C27G3 (SEQ ID NO: 3)**

EIVLTQSPGTLSLSPGERATLSCSVSSSISSNLHWYQQKPGQAPRLLIYGTSRLRS  
GIPDRFSGSOSGTDFTLTISRLEPEDFAVYYCQQWSSYPYSPGQGTKLEIK

**C8-6 (SEQ ID NO: 4)**

DIQMTQSPSSLSASVGDRVITCSVSSSVSSIYLHWYQQKPGKAPKLLIYSTSNLAS  
GVPSRFSGSGSGTDFTLTISSLQPEDFATYYCQVYSGYPLTFGGGTKVEIK

**C8-H241 (SEQ ID NO: 5)**

DIQMTQSPSSLSASVGDRVITCSVSSSVSSIYLHWYQQKPGKAPKLLIYSTSNLAS  
GVPSRFSGSGSGTDFTLTISSLQPEDFATYYCQVYSGYPLTFGGGTKVEIK

**C8-co-16 (SEQ ID NO: 6)**

DIQMTQSPSSLSASVGDRVITCSVSSSVRSIYLHWYQQKPGKAPKLLIYSTSNLA  
SGVPSRFSGSGSGTDFTLTISSLQPEDFATYYCQVYRGYPLTFGGGTKVEIK

**Sequências de Ácido Nucleico de Região Variável de Cadeia  
Leve**

**D11-S17Y (SEQ ID NO: 7)**

GAAATTGTGTGACGCAGTCTCCAGGCACCCCTGTCTTGTCCTCCAGGGAAAGAGCCACC  
CTCTCCTGCAGTGTCAAGCTCAAGTATAAGTCCACCAACTTACACTGGTACCCAGCAGAAA  
CCTGGCCAGGCTCCAGGCTCTCATCTATGGCACATCTATCTGGCTCTGGCATCCCCA  
GACAGGTTCACTGGCAGTGGTCTGGGACAGACTTCACTCTACCATCAGCAGACTGGAG  
CTGAAGATTTCAGTGTATTACTGTCAACAGTGGACTAGTTACCCGTACAGTTGGC  
CAAAGGGACCAAGTTGGAGATCAA

**D11-8B8 (SEQ ID NO: 8)**

GAAATTGTGTTGACGCAGTCTCCAGGCACCCCTGTCTTGTCCTCAGGGAAAGAGCCACC  
CTCTCCTGCAGTGTCAAGCTCAAGTATAAGTCCACCAACTTACACTGGTACCAGCAGAAA  
CCTGGCCAGGCTCCCAGGCTCCTCATCTATGGCACATCCTACCTGGCTCTGGCATCCCA  
GACAGGTTCACTGGCAGTGGTCTGGGACAGA~~TTC~~ACTCTCACCATCAGCAGACTGGAG  
CCTGAAGATTTGCAGTGTATTACTGTCAACAGTGGAGTAGTTACCCGTACAGTTGGC  
CAAGGGACCAAGTGGAGATCAAA

**D11-C27G3 (SEQ ID NO: 9)**

GAAATTGTGTTGACGCAGTCTCCAGGCACCCCTGTCTTGTCCTCAGGGAAAGAGCCACC  
CTCTCCTGCAGTGTCAAGCTCAAGTATAAGTCCACCAACTTACACTGGTACCAGCAGAAA  
CCTGGCCAGGCTCCCAGGCTCCTCATCTATGGCACATCCAGACTGAGATCTGGCATCCCA  
GACAGGTTCACTGGCAGTGGTCTGGGACAGA~~TTC~~ACTCTCACCATCAGCAGACTGGAG  
CCTGAAGATTTGCAGTGTATTACTGTCAACAGTGGAGTAGTTACCCGTACAGTTGGC  
CAAGGGACCAAGTGGAGATCAAA

**C8-6 (SEQ ID NO: 10)**

GACATCCAGATGACCCAGTCTCCATCCTCCCTGTCTGCATCTGTAGGAGACAGAGTCACC  
ATCACTTGCAGTGTCAAGCTCAAGTGTAAAGTCCATTACTTGCACTGGTATCAGCAGAAA  
CCAGGGAAAGCCCCTAAGCTCCTGATCTATAGCACATCCAACCTGGCTCTGGAGTCCCA  
TCAAGGTTCACTGGCAGTGGATCTGGGACAGA~~TTC~~ACTCTCACCATCAGCAGTCTGCAA  
CCTGAAGATTTGCAACTTACTACTGTATTCACTACAGTGGTTACCCGCTCACGTTGGC  
GGAGGGACCAAGGTGGAGATCAAA

**C8-H241 (SEQ ID NO: 11)**

GACATCCAGATGACCCAGTCTCCATCCTCCCTGTCTGCATCTGTAGGAGACAGAGTCACC  
ATCACTTGCAGTGTCAAGCTCAAGTGTAAAGTCCATTACTTGCACTGGTATCAGCAGAAA  
CCAGGGAAAGCCCCTAAGCTCCTGATCTATAGCACATCCAACCTGGCTCTGGAGTCCCA  
TCAACGTTCACTGGCAGTGGATCTGGGACAGA~~TTC~~ACTCTCACCATCAGCAGTCTGCAA  
CCTGAAGATTTGCAACTTACTACTGTCAAGGTGTACAGTGGTTACCCGCTCACGTTGGC  
GGAGGGACCAAGGTGGAGATCAAA

**C8-co-16 (SEQ ID NO: 12)**

GACATCCAGATGACCCAGTCTCCATCCTCCCTGTCTGCATCTGTAGGAGACAGAGTCACC  
ATCACTTGCAGTGTCAAGCTAACGTTACGTTCCATTACTGCACGGTATCAGCAGAAA  
CCAGGGAAAGCCCCTAACGCTCCTGATCTATAGCACATCCAACCTGGCTCTGGAGTCCA  
TCAAGGTTCACTGGCAGTGGATCTGGACAGATTCACTCTCACCATCAGCAGTCTGCAA  
CCTGAAGATTTCGAACTTACTACTGTCAGGTGTACAGGGTTACCCGCTCACGTTGGC  
GGAGGGACCAAGGTGGAGATCAA

**Sequências de Aminoácidos de Região Variável de Cadeia Pesada**

**D11-S17Y (SEQ ID NO: 13)**

QVQLVQSGAEVKPGSSVKVSCKASGYTFTSRYIHWRQAPGQGLEWMGWIYP  
VTGDTYYNEKFGRVTITADKSTSTAYMELSSLRSEDTAVYYCARGYGAFYYW  
QQTLTVVS

**D11-8B8 (SEQ ID NO: 14)**

QVQLVQSGAEVKPGSSVKVSCKASGYTFTSRYIHWRQAPGQGLEWMGWIYP  
VTGDTYYIEKFGRVTITADKSTSTAYMELSSLRSEDTAVYYCARGYGAFFYWG  
QCTLTVVS

**D11-C27G3 (SEQ ID NO: 15)**

QVQLVQSGAEVKPGSSVKVSCKASGYTFTSRYIHWRQAPGQGLEWMGWIYP  
VTGDTYYREPFKGRVTITADKSTSTAYMELSSLRSEDTAVYYCARGYGAFFYWG  
QCTLTVVS

**C8-6 (SEQ ID NO: 16)**

QVQLVQSGAEVKPGASVKVSCKASGYTFTDYYMHWRQAPGQGLEWMGRV  
NPNRGGTTYNQKFEGRVMTTDTSTSTAYMELRSLSDDTAVYYCARTNWLDY  
WGQQTTTVVS

**C8-H241 (SEQ ID NO: 17)**

QVQLVQSGAEVKPGASVKVSCKASGYTFTDYYMHWVRQAPGQGLEWMGRV  
NPNRRGTTYNQKFEGRVTMTDTSTSTAYMELRSLSRSDDTAVYYCARANWLDY  
WGQGTTVTVS

**C8-co-16 (SEQ ID NO: 18)**

QVQLVQSGAEVKPGASVKVSCKASGYTFTDYYMHWVRQAPGQGLEWMGRV  
NPYRGSTTYNQKFEGRVTMTDTSTSTAYMELRSLSRSDDTAVYYCARANILDYW  
GQGTTVTVS

**Sequências de Ácido Nucleico de Região Variável de Cadeia Pesada**

**D11-S17T (SEQ ID NO: 19)**

CAGGTGCAGCTGGTGCAGTCTGGGCTGAGGTGAAGAAGCCTGGTCCTCGGTGAAGGTC  
TCCTGCAAGGCTCTGGCTACACCTTCACAAGTAGGTATATACTGGGTGCGACAGGCC  
CCTGGACAAGGGCTTGAGTGGATGGATGGATTATCCTGTAACTGGTGAATCTTACTAC  
AACGAGAAGTCAAGGGCAGAGTCACGATTACCGCGAACAAATCCACGAGCACAGCCTAC  
ATGGAGCTGAGCAGCCTGAGATCTGAGGACACGGCCGTGTATTACTGTGCCAGAGGCTAC  
GGAGCTTTTACTACTGGGCCAGGGCACCCCTGGTCACCGTCTCC

**D11-8B8 (SEQ ID NO: 20)**

CAGGTGCAGCTGGTGCAGTCTGGGCTGAGGTGAAGAAGCCTGGTCCTCGGTGAAGGTC  
TCCTGCAAGGCTCTGGCTACACCTTCACAAGTAGGTATATACTGGGTGCGACAGGCC  
CCTGGACAAGGGCTTGAGTGGATGGATGGATTATCCTGTAACTGGTGAATCTTACTAC  
ATCGAGAAGTCAAGGGCAGAGTCACGATTACCGCGAACAAATCCACGAGCACAGCCTAC  
ATGGAGCTGAGCAGCCTGAGATCTGAGGACACGGCCGTGTATTACTGTGCCAGAGGCTAT  
GGTGCTTTTACTGGGCCAGGGCACCCCTGGTCACCGTCTCC

**D11-C27G3 (SEQ ID NO: 21)**

CAGGTCCAGCTGGTGCAGTCTGGGCTGAGGTGAAGAAGCCTGGTGCCTCGGTGAAGGTC  
TCCTGCAAGGCTCTGGTACACCTTACAAGTAGGTATATACTGGGTGCGACAGGCC  
CCTGGACAAGGGCTTGAGTGGATGGATGGATTATCCTGTAACGGTGTACTTAC  
AGAGAGCCTTCAAGGGCAGAGTCACGATTACCGGGACAAATCACGAGCACAGCCTAC  
ATGGAGCTGAGCAGCCTGAGATCTGAGGACACGGCCGTGTATTACTGTGCCAGAGGCTAT  
GGGGCTTTTACTACTGGGCCAGGGCACCCCTGGTCACCGTCTCC

**C8-6 (SEQ ID NO: 22)**

CAGGTTCAGCTGGTGCAGTCTGGTCTGAGGTGAAGAAGCCTGGTGCCTCAGTGAAGGTC  
TCCTGCAAGGCTCTGGTACACCTTACCGACTACTACATGCACGGTGCCTCAGGCC  
CCTGGTCAAGGTCTTGAGTGGATGGTCTGTTAACCTAACCGGGGTGGTACTACCTAC  
AACCAAGAAATTGAGGGCCGTGTACCATGACCACAGACACATCCACGAGCACAGCCTAC  
ATGGAGCTGCGTAGGCTGCGTCTGACGACACGGCCGTGTATTACTGTGCCCGTACGAAC  
TGGCTGACTACTGGGCCAGGGCACCCACCGTACCGTCTCC

**C8-H241 (SEQ ID NO: 23)**

CAGGTTCAGCTGGTGCAGTCTGGTCTGAGGTGAAGAAGCCTGGTGCCTCAGTGAAGGTC  
TCCTGCAAGGCTCTGGTACACCTTACCGACTACTACATGCACGGTGCCTCAGGCC  
CCTGGTCAAGGTCTTGAGTGGATGGTCTGTTAACCTAACCGGGGTGGTACTACCTAC  
AACCAAGAAATTGAGGGCCGTGTACCATGACCACAGACACATCCACGAGCACAGCCTAC  
ATGGAGCTGCGTAGGCTGCGTCTGACGACACGGCCGTGTATTACTGTGCCCGTGCAC  
TGGCTGACTACTGGGCCAGGGCACCCACCGTACCGTCTCC

**C8-co-16 (SEQ ID NO: 24)**

CAGGTTCAGCTGGTGCAGTCTGGTCTGAGGTGAAGAAGCCTGGTGCCTCAGTGAAGGTC  
TCCTGCAAGGCTCTGGTACACATTCACTGACTACTACATGCACGGTGCCTCAGGCC  
CCTGGTCAAGGTCTTGAGTGGATGGTCTGTTAACCTAACCGGGTAGTACTACCTAC  
AACCAAGAAATTGAGGGCCGTGTACCATGACCACAGACACATCCACGAGCACAGCCTAC  
ATGGAGCTGCGTAGGCTGCGTCTGACGACACGGCCGTGTATTACTGTGCCCGTGCAC  
ATPCTTGACTACTGGGCCAGGGCACCCACCGTACCGTCTCC

**Sequências de Aminoácidos de Cadeia Leve Completa****Capa de D11-S17Y (SEQ ID NO: 25)**

EIVLTQSPGTLSSLPGERATLSCVSSSISSNLHWYQQKPGQAPRLIYGTSYLAS  
GIPDRFSGSGSGTDFLTISRLEPEDFAVYYCQQWSSYPYSFGQGTKEIKRTVAA  
PSVFIFPPSDEQLKSGTASVVCLLNNFYPREAKVQWKVDNALQSGNSQESVTEQD  
SKDSTYLSSTLTLSKADYEKHKVYACEVTHQGLSSPVTKSFNRGEC

**Capa de D11-8B8 (SEQ ID NO: 26)**

EIVLTQSPGTLSSLPGERATLSCVSSSISSNLHWYQQKPGQAPRLIYGTSYLAS  
GIPDRFSGSGSGTDFLTISRLEPEDFAVYYCQQWSSYPYSFGQGTKEIKRTVAA  
PSVFIFPPSDEQLKSGTASVVCLLNNFYPREAKVQWKVDNALQSGNSQESVTEQD  
SKDSTYLSSTLTLSKADYEKHKVYACEVTHQGLSSPVTKSFNRGEC

**Capa de D11-C27G3 (SEQ ID NO: 27)**

EIVLTQSPGTLSSLPGERATLSCVSSSISSNLHWYQQKPGQAPRLIYGTSRLRS  
GIPDRFSGSGSGTDFLTISRLEPEDFAVYYCQQWSSYPYSFGQGTKEIKRTVAA  
PSVFIFPPSDEQLKSGTASVVCLLNNFYPREAKVQWKVDNALQSGNSQESVTEQD  
SKDSTYLSSTLTLSKADYEKHKVYACEVTHQGLSSPVTKSFNRGEC.

**Capa de C8-6 (SEQ ID NO: 28)**

DIQMTQSPSSLSASVGDRVITCSVSSSVSSIYLHWYQQKPGKAPKLLIYSTSNLAS  
GVPSRFSGSGSGTDFLTISSLQPEDFATYYCQVYSGYPLTFGGGTKEIKRTVAAP  
`SVFIFPPSDEQLKSGTASVVCLLNNFYPREAKVQWKVDNALQSGNSQESVTEQDS  
KDSTYLSSTLTLSKADYEKHKVYACEVTHQGLSSPVTKSFNRGEC

**Capa de C8-h241 (SEQ ID NO: 29)**

DIQMTQSPSSLSASVGDRVITCSVSSSVSSIYLHWYQQKPGKAPKLLIYSTSNLAS  
GVPSRFSGSGSGTDFLTISSLQPEDFATYYCQVYSGYPLTFGGGTKEIKRTVAAP  
PSVFIFPPSDEQLKSGTASVVCLLNNFYPREAKVQWKVDNALQSGNSQESVTEQD  
SKDSTYLSSTLTLSKADYEKHKVYACEVTHQGLSSPVTKSFNRGEC

## Capa de C8-co-16 (SEQ ID NO: 30)

DIQMTQSPSSLSASVGDRVTITCSVSSSVRSIYLHWYQQKPGKAPKLLIYSTSNLA  
SGVPSRFSGSGSCTDFLTIESLQPEDFATYYCQVYRGYPLTFCGQGTKEIKRTVA  
APSVFIFPPSDEQLKSGTASVVCLNNFYPREAKVQWKVDNALQSONSQESVTEQ  
DSKDSTYSLSSTLTLSKADYEKHKVYACEVTHQGLSSPVTKSFNRGEC

## Sequências de Ácido Nucleico de Cadeia Leve Completa

## LC de D11-S17Y (SEQ ID NO: 31)

GAAATTGTGTGACGCAGTCTCCAGGCACCCGTCTTTGTCTCCAGGGAAAGAGGCCACC  
CTCTCCTGCAAGTCAGCTCAAGTATAAGTCCACCAACTTACAC1GGTACCCAGCAGAAA  
CCTGGCCAGGGTCCUAGGCTCTCATCTATGGCACATCCTACCTGGCTCTGGCATCCCA  
GACAGGTTCACTGGCAGTGGTCTGGGACAGACTTCACCTCACCACATCAGCAGACTGGAG  
CCTGAAGATTTGCACTGGTCTTACTGTCAACAGTGGAGTAGTTACCCGTACAGTTGGC  
CAAGGGACCAAGTGGAGATCAACAGAAGTGTGGCTGCACCATCTGTCTTCATCTCCCG  
CCATCTGATGAGCAGTTGAATCTGGAACTGCGCTCTGTGTGCGCTGCTGAATAACTTC  
TATCCCAGAGAGGCCAAGTACAGTGGAGGTGGATAACGCCCTCCAATCAGGGTAACCTCC  
CAGGAGAGTGTCAACAGAGCAGGACAGCAAGGACAGCACCTACAGGCTCAGCAGCACCCCTG  
ACGCTGAGCAAAGCAGACTACGAGAAACACAAGTCTACGCCCTGCGAAGTCACCCATCAG  
GGCCTGAGCTCGCCCGTCACAAAGAGCTTCAACAGGGAGAGTGC

## LC de D11-8B8 (SEQ ID NO: 32)

GAAATTGTGTGACGCAGTCTCCAGGCACCCGTCTTTGTCTCCAGGGAAAGAGGCCACC  
CTCTCCTGCAAGTCAGCTCAAGTATAAGTCCACCAACTTACACTGGTACCCAGCAGAAA  
CCTGGCCAGGGTCCUAGGCTCTCATCTATGGCACATCCTACCTGGCTCTGGCATCCCA  
GACAGGTTCACTGGCAGTGGTCTGGGACAGACTTCACCTCACCACATCAGCAGACTGGAG  
CCTGAAGATTTGCACTGGTCTTACTGTCAACAGTGGAGTAGTTACCCGTACAGTTGGC  
CAAGGGACCAAGTGGAGATCAACAGAAGTGTGGCTGCACCATCTGTCTTCATCTCCCG  
CCATCTGATGAGCAGTTGAATCTGGAACTGCGCTCTGTGTGCGCTGCTGAATAACTTC  
TATCCCAGAGAGGCCAAGTACAGTGGAGGTGGATAACGCCCTCCAATCAGGGTAACCTCC  
CAGGAGAGTGTCAACAGAGCAGGACAGCAAGGACAGCACCTACAGGCTCAGCAGCACCCCTG  
ACGCTGAGCAAAGCAGACTACGAGAAACACAAGTCTACGCCCTGCGAAGTCACCCATCAG  
GGCCTGAGCTCGCCCGTCACAAAGAGCTTCAACAGGGAGAGTGC

## LC de D11-C27G3 (SEQ ID NO: 33)

GAAATTGTGTTGACGCAGTCTCCAGGCACCCGTCTTGTCTCCAGGGAAAGAGCCACC  
 CTCTCCTGCAGTGTCAAGTATAAGTTCACCAACTACACTGGTACCGAGCAGAAA  
 CCTGGCCAGGGTCCCAGGCTCTCATCTATGGCACATCCAGACTGAGATCTGGCATCCCA  
 GACAGGTTCACTGGCAGTGGCTGGACAGACTTCACCTCTCACCATCAGCAGACTGGAG  
 CCTGAAGATTTGCACTGGTATTACTGTCAACAGTGGAGTAGTTACCCGTACAGTTGGC  
 CAAGGGACCAAGTGGAGATCAAACGAACTGTGGCTGCACCATCTGTCTCATCTTCCCG  
 CCATCTGATGAGCAGTTGAAATCTGGAACTGCCCTGTGTGTGCGCTGCTGAATAACTTC  
 TATCCCAGAGAGGCCAAGTACAGTGGAAAGTGGATAACGCCCTCCAATGGGTAACTCC  
 CAGGAGAGTGTACAGAGCAGGACAGCAAGGACAGCACCTACAGCCTCAGCAGCACCCCTG  
 ACGCTGAGCAAAGCAGACTACGAGAAACACAAAGTCTACGCCCTGCGAAGTCACCCATCAG  
 GGCTGAGCTGCCGTACAAAGAGCTTCAACAGGGGAGAGTGC

## LC de C8-6 (SEQ ID NO: 34)

GACATCCAGATGACCCAGTCTCCATCCTCCCTGTCTGCATCTGTAGGAGACAGAGTCACC  
 ATCACTTGCAGTGTCAAGTGTAAAGTCCATTACTTGCACGGTATCAGCAGAAA  
 CCAGGGAAAGCCCCCTAACGCTCTGATCTATAGCACATCCAACCTGGCTCTGGAGTCCCA  
 TCAAGGTTCACTGGCAGTGGATCTGGACAGATTTCACTCTCACCATCAGCAGTCTGCAA  
 CCTGAAGATTTGCAACTTACTACTGTATTCACTACAGTGGTACCCGCTCACGTTGGC  
 GGAGGGACCAAGGTGGAGATCAAACGAACTGTGGCTGCACCATCTGTCTCATCTTCCCG  
 CCATCTGATGAGCAGTTGAAATCTGGAACTGCCCTGTGTGTGCGCTGCTGAATAACTTC  
 TATCCCAGAGAGGCCAAGTACAGTGGAAAGTGGATAACGCCCTCCAATGGGTAACTCC  
 CAGGAGAGTGTACAGAGCAGGACAGCAAGGACAGCACCTACAGCCTCAGCAGCACCCCTG  
 ACGCTGAGCAAAGCAGACTACGAGAAACACAAAGTCTACGCCCTGCGAAGTCACCCATCAG  
 GGCTGAGCTGCCGTACAAAGAGCTTCAACAGGGGAGAGTGC

## LC de C8-H241 (SEQ ID NO: 35)

GACATCCAGATGACCCAGTCTCCATCCTCCCTGTCTGCATCTGTAGGAGACAGAGTCACC  
 ATCACTTGCAGTGTCAAGTGTATCTCCATTACTTGCACGGTATCAGCAGAAA  
 CCAGGGAAAGCCCCCTAACGCTCTGATCTATAGCACATCCAACCTGGCTCTGGAGTCCCA  
 TCAAGGTTCACTGGCAGTGGATCTGGACAGATTTCACTCTCACCATCAGCAGTCTGCAA  
 CCTGAAGATTTGCAACTTACTACTGTCAAGTCTACAGTGGTACCCGCTCACGTTGGC  
 GGAGGGACCAAGGTGGAGATCAAACGAACTGTGGCTGCACCATCTGTCTCATCTTCCCG  
 CCATCTGATGAGCAGTTGAAATCTGGAACTGCCCTGTGTGTGCGCTGCTGAATAACTTC  
 TATCCCAGAGAGGCCAAGTACAGTGGAAAGTGGATAACGCCCTCCAATGGGTAACTCC  
 CAGGAGAGTGTACAGAGCAGGACAGCAAGGACAGCACCTACAGCCTCAGCAGCACCCCTG  
 ACGCTGAGCAAAGCAGACTACGAGAAACACAAAGTCTACGCCCTGCGAAGTCACCCATCAG  
 GGCTGAGCTGCCGTACAAAGAGCTTCAACAGGGGAGAGTGC

## LC de C8-co16 (SEQ ID NO: 36)

GACATCCAGATGACCCAGTCTCCATCCTCCCTGTCTGCATCTGTAGGAGACAGAGTCACC  
 ATCACTTGCAGTGTCAAGTGTACGGTCCATTACTTGCACGGTATCAGCAGAAA  
 CCAGGGAAAGCCCCCTAACGCTCTGATCTATAGCACATCCAACCTGGCTCTGGAGTCCCA  
 TCAAGGTTCACTGGCAGTGGATCTGGACAGATTTCACTCTCACCATCAGCAGTCTGCAA  
 CCTGAAGATTTGCAACTTACTACTGTCAAGGTGTACAGGGGTTACCCGCTCACGTTGGC  
 GGAGGGACCAAGGTGGAGATCAAACGAACTGTGGCTGCACCATCTGTCTCATCTTCCCG  
 CCATCTGATGAGCAGTTGAAATCTGGAACTGCCCTGTGTGTGCGCTGCTGAATAACTTC  
 TATCCCAGAGAGGCCAAGTACAGTGGAAAGTGGATAACGCCCTCCAATGGGTAACTCC  
 CAGGAGAGTGTACAGAGCAGGACAGCAAGGACAGCACCTACAGCCTCAGCAGCACCCCTG  
 ACGCTGAGCAAAGCAGACTACGAGAAACACAAAGTCTACGCCCTGCGAAGTCACCCATCAG  
 GGCTGAGCTGCCGTACAAAGAGCTTCAACAGGGGAGAGTGC

**Sequências de Aminoácidos de Cadeia Pesada Completa****IgG2 D11-S17Y (SEQ ID NO: 37)**

QVQLVQSGAEVKPGSSVKVSCKASGYTFTSRYIHWVRQAPGQGLEWMGWIYP  
VTGDTYYNEFKGRVTITADKSTSTAYMELSSLRSEDTAVYYCARGYGAFYYWG  
QQGLTVSSASTKGPSVFPLAPCSRSTSESTAALGCLVKDYFPEPVTWSWNSGA  
LTSGVHTFPALQSSGLYSLSSVVTVPSSNFGTQTYTCNVDHKPSNTKVDKTVER  
KCCVECPAPPVAGPSVFLFPPPKDTLMisRTPEVTCVVVDVSHEDPEVQFN  
WYVDGMEVHNAKTKPREEQFNSTFRVSVLTVVHQDWLNGKEYKCKVSNKGL  
PAPIEKTISKGQPREPVYTLPPSREEMTKNQVSLTCLVKGFYPSDIAVEWESN  
QPENNYKTPMLSDGSFFLYSKLTVDKSRWQQGNVPSCSVMHEALHNHYTQ  
KSLSLSPG

**IgG2 D11-8B8 (SEQ ID NO: 38)**

QVQLVQSGAEVKPGSSVKVSCKASGYTFTSRYIHWVRQAPGQGLEWMGWIYP  
VTGDTYYIEFKGRVTITADKSTSTAYMELSSLRSEDTAVYYCARGYGAFFYWG  
QGLTVSSASTKGPSVFPLAPCSRSTSESTAALGCLVKDYFPEPVTWSWNSGAL  
TSGVHTFPALQSSGLYSLSSVVTVPSSNFGTQTYTCNVDHKPSNTKVDKTVERK  
CCVECPAPPVAGPSVFLFPPPKDTLMisRTPEVTCVVVDVSHEDPEVQFNW  
YVDGMEVHNAKTKPREEQFNSTFRVSVLTVVHQDWLNGKEYKCKVSNKGLP  
APIEKTISKGQPREPVYTLPPSREEMTKNQVSLTCLVKGFYPSDIAVEWESNG  
QPENNYKTPMLSDGSFFLYSKLTVDKSRWQQGNVPSCSVMHEALHNHYTQ  
KSLSLSPG

**IgG2 D11-C27G3 (SEQ ID NO: 39)**

QVQLVQSGAEVKPGSSVKVSCKASGYTFTSRYIHWVRQAPGQGLEWMGWIYP  
VTGDTYYREPFKGRVTITADKSTSTAYMELSSLRSEDTAVYYCARGYGAFYYWG  
QGLTVSSASTKGPSVFPLAPCSRSTSESTAALGCLVKDYFPEPVTWSWNSGAL  
TSGVHTFPALQSSGLYSLSSVVTVPSSNFGTQTYTCNVDHKPSNTKVDKTVERK  
CCVECPAPPVAGPSVFLFPPPKDTLMisRTPEVTCVVVDVSHEDPEVQFNW  
YVDGMEVHNAKTKPREEQFNSTFRVSVLTVVHQDWLNGKEYKCKVSNKGLP  
APIEKTISKGQPREPVYTLPPSREEMTKNQVSLTCLVKGFYPSDIAVEWESNG  
QPENNYKTPMLSDGSFFLYSKLTVDKSRWQQGNVPSCSVMHEALHNHYTQ  
KSLSLSPG

## IgG2 C8-6 (SEQ ID NO: 40)

QVQLVQ\$GAEVKKPGASVKVSCKASGYTFTDYYMHWVRQAPGQGLEWMGRV  
NPNRRGTTYNQKFEGRVTMTDTSTSTAYMELRSLSRSDTAVYYCARTNWLDY  
WGQGTTVTSSASTKGPSVFPLAPCSRSTSESTAALGCLVKDYFPEPVTVWSNSG  
ALTSGVHTFPAVLQSSGLYSLSVVTPSSNFGTQTYTCNVDHKPSNTKVDKTVE  
RKCCVECPCPAPPVAQPSVFLFPPPKPKDTLMISRTPEVTCVVVDVSHEDPEVQFN  
WYVDGMEVHNAKTKPREEQFNSTRVSVLTVVHQDWLNGKEYKCKVSNKGL  
PAPIEKTISKKGQPREPQVYTLPPSREEMTKNQVSLTCLVKGFYPSDIAVEWESN  
GQPENNYKTTPPMLSDGSFFLYSKLTVDKSRWQQGNVFSCSVMHEALHNHYT  
QKSLSLSPG

## IgG2 C8-H241 (SEQ ID NO: 41)

QVQLVQ\$GAEVKKPGASVKVSCKASGYTFTDYYMHWVRQAPGQGLEWMGRV  
NPNRRGTTYNQKFEGRVTMTDTSTSTAYMELRSLSRSDTAVYYCARANWLDY  
WGQGTTVTSSASTKGPSVFPLAPCSRSTSESTAALGCLVKDYFPEPVTVWSNSG  
ALTSGVHTFPAVLQSSGLYSLSVVTPSSNFGTQTYTCNVDHKPSNTKVDKTVE  
RKCCVECPCPAPPVAQPSVFLFPPPKPKDTLMISRTPEVTCVVVDVSHEDPEVQFN  
WYVDGMEVHNAKTKPREEQFNSTRVSVLTVVHQDWLNGKEYKCKVSNKGL  
PAPIEKTISKKGQPREPQVYTLPPSREEMTKNQVSLTCLVKGFYPSDIAVEWESN  
GQPENNYKTTPPMLSDGSFFLYSKLTVDKSRWQQGNVFSCSVMHEALHNHYT  
QKSLSLSPG

## IgG2 C8-co-16 (SEQ ID NO: 42)

QVQLVQ\$GAEVKKPGASVKVSCKASGYTFTDYYMHWVRQAPGQGLEWMGRV  
NPYRGSTTYNQKFEGRVTMTDTSTSTAYMELRSLSRSDTAVYYCARANILDYW  
GQQGTTVTSSASTKGPSVFPLAPCSRSTSESTAALGCLVKDYFPEPVTVWSNSGA  
LTSGVHTFPAVLQSSGLYSLSVVTPSSNFGTQTYTCNVDHKPSNTKVDKTVER  
KCCVECPCPAPPVAQPSVFLFPPPKPKDTLMISRTPEVTCVVVDVSHEDPEVQFN  
WYVDGMEVHNAKTKPREEQFNSTRVSVLTVVHQDWLNGKEYKCKVSNKGL  
PAPIEKTISKKGQPREPQVYTLPPSREEMTKNQVSLTCLVKGFYPSDIAVEWESN  
GQPENNYKTTPPMLSDGSFFLYSKLTVDKSRWQQGNVFSCSVMHEALHNHYT  
OKSLSLSPG

### Sequências de Ácido Nucleico de Cadeia Pesada Completa

#### HC de IgG2 D11-S17Y (SEQ ID NO: 43)

CAGGTGCAGCTGGTGCAGTCTGGGGCTGAGGTGAAGAAGCCTGGTCCCTCGGTGAAGGTC  
 TCCTCCAAGGCTTCTGGCTACACCTTCACAAGTAGGTATATACTACACTGGGTGCCACAGGCC  
 CCTGGACAAGGGCTTGACTGGATGGGATGGATTATCTCTGTAACCTGGTGTAACTTACTAC  
 AACGAGAAGTTCAAGGGCAGAGTCACGATTACUGCGGACAAATCCACGGACACAGCCTAC  
 ATGGAGCTGAGCAGCCTGAGATCTGAGGACACGSCCGTGTATTACTGTGCGAGAGGCTAT  
 GGGGCTTTTACTACTGGGGCAGGACACCTGGTGTCTCTCCGCTCCACCCNAG  
 GCCCATCGGTCTTCCCCTAGCCCCCTGCTCCAGGAGCACCTCCGAGAGCACAGCCGCC  
 CTGGGCTGCCCTGGTCAAGGACTACTTCCCCAACCGGGTACCGGTGTGGTAACTCAGGC  
 CCCCTGACCAGCGGCGTGCACACCTTCCCCTGCTCTACAGTCTCAGGACTCTACTCC  
 CTCAGCAGCTGGTGACCGTGCCTCCAGCAACTTCG3ACCCAGACCTACACCTGCAAC  
 GTAGATCACAAGCCCAGCAACACCAAGGTGGACAAGACAGTTGAGCGCAAAATGTTGTC  
 GAGTGGCCACCGTGCCCCAGCACCACCTGTGGCAGGACCGTCAGTCTTCTCTTCCCCCA  
 AAACCCAGGACACCCCTCATGATCTCCGGACCCCTGAGGTACGTGCGTGGTGGTGGAC  
 GTGAGCCACGAAGACCCCGAGGTCCAGTCAACTGGTACGTGGACGGCATGGAGGTGCAT  
 AATGACAAGACAAAGCCACGGGAGGAGCAGTTCAACAGCACGTTCCGGTGTGGTACGGTC  
 CTCACCGTCCTCCACCAAGGACTGGCTGAAACGGCAAGGAGTACAAAGTGCAAGGTCCTCAAC  
 AAAGGCCCTCCAGCCCCCATCGAGAAAACCATCTCCPAAAACCAAGGGCAGCOCCTGAGAA  
 CCACAGGTGTACACCCCTGCCCTCATCCGGAGGGAGATGACCAAGAACCCAGGTCAAGCCTG  
 ACCTGGCTTCTCAAAGGCTCTACCCCAAGGACACATCCGGTGTGGAGTGGAGAGCAATGGG  
 CAGCCGGAGAACAACTACAAGACACACCTCCATCTGGACTCCGACGGCTCTTCTTC  
 CTCACAGCAAGCTCACCGTGGACAGGACAGGTGGCAGGGAAACGCTTCTCATGC  
 TCCGTGATGCATGAGGCTCTGCACAACCAACTACACACAGAAGAGCCTCTCCCTGTCTCCG  
 GGT

#### HC de IgG2 D11-8B8 (SEQ ID NO: 44)

CAGGTGCAGCTGGTGCAGTCTGGGGCTGAGGTGAAGAAGCCTGGTCCCTCGGTGAAGGTC  
 TCCTCCAAGGCTTCTGGCTACACCTTCACAAGTAGGTATATACTACACTGGGTGCCACAGGCC  
 CCTGGACAAGGGCTTGAGTGGATGGGATGGATTATCTCTGTAACCTGGTGTAACTTACTAC  
 ATCGAGAAGTTCAAGGECAGAGTCACGATTACCGCGGACAAATCCACGAGCACAGCCTAC  
 ATGGAGCTGAGCAGCCTGAGATCTGAGGACACGGCCGTGTATTACTGTGCGAGAGGCTAT  
 GGTGCTTTTCTACTGGGGCCAGGGCACCCCTGGTACCCGTCCTCCGGCTCCACCAAG  
 GCCCATCGGTCTTCCCCTAGCCCCCTGCTCCAGGAGCACCTCCGAGAGCACAGCCGCC  
 CTGGGCTGCCCTGGTCAAGGACTACTTCCCCAACCGGTACCGGTGTGGTAACTCAGGACTCTACTCC  
 CTCAGCAGCGTGGTGACCGTGCCTCCAGCAACTTCGGCACCCAGACCTACACCTGCAAC  
 GTAGATCACAAGCCCAGCAACACCAAGGTGGACAAGACAGTTGAGCGCAAAATGTTGTC  
 GAGTGGCCACCGTGGCCAGGACACCTGTGGCAGGACCGTCAGTCTTCTCTTCCCCCA  
 AAACCCAGGACACCCCTCATGATCTCCGGACCCCTGAGGTACGTGCGTGGTGGTGGAC  
 GTGAGCCACGAAGACCCCGAGGTCCAGTCAACTGGTACGTGGACGGCATGGAGGTGCAT  
 AATGCCAAGACAAAGCCACGGGAGGAGCAGTTCAACAGCACGTTCCGGTGTGGTACGGTC  
 CTCACCGTCGTGACCCAGGACTGGCTGAACGGCAAGGAGTACAAGTGCAAGGTCCTCAAC  
 AAAGGCCCTCCAGCCCCCATCGAGAAAACCATCTCCAAAACCAAGGGCAGCCCCGAGAA  
 CCACAGGTGTACACCCCTGCCCTCATCCGGAGGGAGATGACCAAGAACCCAGGTCAAGCCTG  
 ACCTGGCTGGTCAAAGGCTTCTACCCCAAGCGACATGCCGTGGAGTGGGAGAGCAATGGG  
 CAGCCGGAGAACAACTACAAGACACACCTCCATGCTGGACTCCGACGGCTCTTCTTC  
 CTCTACAGCAAGCTCACCGTGGACAAGAGCAGGTGGCAGCAGGGAAACGTTCTCATGC  
 TCCGTGATGCATGAGGCTCTGCACAACCAACTACACACAGAAGAGCCTCTCCCTGTCTCCG  
 GGT

## HC de IgG2 D11-C27G3 (SEQ ID NO: 45)

CAGGTGCAGCTGGTGCAGTCTGGGCTGAGGTGAAGAAGCCTGGTCCTCGSTGAAGGTC  
 TCCTGCAAGGCTTCTGGCTACACCTTACAAGTAGGTATATACTACACTGGGTGCGACAGGCC  
 CCTGGACAAGGGCTTGAGTGGATGGGATGGATTATCTGTAACTGGTGTACTTACTAC  
 AGAGAGCCTTCAAGGGCAGACTACGATTACCGCGAACAAATCCACGAGCACAGCCTAC  
 ATGGAGCTGAGCAGCCTGAGATCTGAGGACACGGCCGTGTATTACTGTGCGAGAGGCTAC  
 GGAGCTTTTACTACTGGGGCAGGGCACCCGGTCAACCGTCTCTCCGCTCCACCAAG  
 GGCCCATCGGTCTTCCCCCTAGCCTGGTCAACGGTGTGACGGTGTGAGGAACTCAGGC  
 CTGGGCTGCCGGTCAAGGACTACTTCCCCGAACCGGTGACGGTGTGAGGAACTCAGGC  
 GCCTGACCAAGCGGTGACACCTTCCCGGTGTCCTACAGTCTCAGGACTCTACTCC  
 CTCAGCAGCGTGGTGACCGTGCCTCCAGCAACTTCGGCACCCAGACCTACACCTGCAAC  
 GTAGATCACAAGCCCAGCAACACCAAGGTGACAAGACAGTTGAGGCAAATGTTGTGTC  
 GAGTGGCCACCGTGCCCAGCACCCACTGTGGCAGGACCGTCAGTCTCCTCTTCCCCCA  
 AAACCCAAGGACACCCATGATCTCCGGACCCCTGAGGTCACTGTGCGTGGTGGAC  
 GTGAGCCACGAAAGACCCGAGGTCCAGTCAACTGGTACGTGGACGGCATGGAGGTGCAT  
 AATGCCARGACAAAGCCACGGGAGGAGCAGTTCAACAGCACGTTCCGTGAGGTCAGCGTC  
 CTCACCGTGTGACCCAGGACTGGTGAACGGCAAGGAGTACAAGTGCAGGACTCTCCAAAC  
 AAAGGCCCTCCAGCCCCATGAGAAAACCATCTCCAAAACCAAAGGGCAGCCCCGAGAA  
 CCACAGGTGTACACCCCTGCCCTCATCCGGAGGGAGATGACCAAGAACCAAGGTCAAGCTG  
 ACCTGCCCTGGTCAAAGGCTTCTACCCCAGCGACATGCCGTGGAGTGGAGAGCAATGGG  
 CAGCGGAGAACAACTACAAGACCAACCTCCCATGCTGGACTCCGACGGCTCTCTTC  
 CTCTACAGCAAGCTCACCGTGGACAAGAGCAGGTGGCAGCAGGGGAACGTCTCTCATGC  
 TCCGTGATGCATGAGGCTCTGCACAACCAACTACACACAGAAGAGCCTCTCCGTCTCCG  
 GGT

## HC de IgG4 C8-6 (SEQ ID NO: 46)

CAGGTTCAGCTGGTGCAGTCTGGTGCAGGTGAAGAAGCCTGGTCCTCAGTGAAGGTC  
 TCCTGCAAGGCTTCTGGTACACCTTACCGACTACTACATGCACACTGGTGCGTCAGGCC  
 CCTGGTCAAGGTCTTGAGTGGATGGGCGTGTAACTCTAACCGGGGTGGTACTACCTAC  
 AACCAAGAAATTGAGGGCGTGTACCCATGACCAACAGACACATCCACGAGCACAGCCTAC  
 ATGGAGCTGGTAGGCTGGTCTGACGACACGGCGGTGTATTACTGTGCGCGTACGAAC  
 TGGCTTGACTACTGGGCCAGGGCACCACCGTCACCGTCTCCGCTCCACCAAGGGC  
 CCATCGGTCTCCCGTCTGGTCAAGGACTACTTCCCCGAACCGGTGACGGTGTGAGGAACTCAGGGGCC  
 CTGACCAAGCGGTGACCGTGCCTCCAGCAGCTGGCACGAAGACCTACACCTGCAACGTA  
 GATCACAAAGCCCAGCAACACCAAGGTGGACAAGAGAGTTGAGTCAAATATGGTCCCCCA  
 TGCCCACCTGCCAGCACCTGAGGCCGCCGGGGSACCATCAGTCTCCTGTTCCCCCA  
 AAACCCAAGGACACTCTCATGATCTCCGGACCCCTGAGGTCACTGCGTGGTGGAGC  
 GTGAGGCCAGGAAGACCCGAGGTCCAGTCAACTGGTACGTGGATGGCGTGGAGGTGCAT  
 AATGCCAAGACAAAGCCGGGGAGGAGCAGTTCAACAGCACGTACCGTGTGGTCAAGGTC  
 CTCACCGTCTGCACCAAGGACTGGCTGAACGGCAAGGAGTACAAGTGCAGGACTCTCCAAAC  
 AAAGGCCCTCCCGTCTCCATGAGAAAACCATCTCCAAAGCCAAGGGCAGCCCCGAGAG  
 CCACAGGTGTACACCCCTGCCCTCATCCAGGAGGAGATGACCAAGAACCAAGGTCAAGCTG  
 ACCTGCCCTGGTCAAAGGCTTCTACCCCAGCGACATGCCGTGGAGTGGAAAGCAATGGG  
 CAGCGGAGAACAACTACAAGACCAAGCCTCCGCTGGACTCCGACGGCTCTCTTC  
 CTCTACAGCAGGCTAACCGTGGACAAGAGCAGGTGGCAGEAGGGAAATGTCTTCTCATGC  
 TCCGTGATGCATGAGGCTCTGCACAACCAACTACACACAGAAGAGCCTCTCCGTCTCCG  
 GGT

## HC de IgG4 C8-H241 (SEQ ID NO: 47)

CAGGTTCAGCTGGTGCAGTCTGGTCTGAGGTGAAGAAGCCTGGTGCCTCAGTGAAGGTC  
 TCCCTGCAAGGCTTCTGGTACACATTCACTGACTACTACATGCACTGGGTGCCTCAGGCC  
 CCTGGTCAAGGCTTCTGGATGGGTCGTGTTAACCTAACCGGAGGGTACTACCTAC  
 AACCAAGAAATTGAGGGCCGTGTCACCACGACACATCCACGAGCACAGCCTAC  
 ATGGAGCTGCGTAGGCTGGTCTGACGACACGGCGTGTATTACTGTGCGCGTGCAC  
 TGGCTGACTACTGGGGCAGGGCACCCACCGTCACCGTCTCCTCCGCCTCCACCAAGGGC  
 CCATCGGGCTTCCCGCTAGGCCCTGCTCCAGGACCCCTCGAGAGCACAGGCCCTG  
 GGCTGCTGGTCAAGGACTACTTCCCCAACCGGTGACGGTGTGTTGGAACTCAGGGGCC  
 CTGACCAAGCAGCGTGCACACCTCCCCGTGTCCTACAGTCCTCAGGACTCTACTCCCTC  
 AGCAGCGTGGTGACCGTGCCTCCAGCAGCTGGGACGAAGACCTACACCTGCAACGTA  
 GATCACAAGCCCAGCAACACCAAGGTGGACAAGAGAGTTGAGTCAAATATGGTCCCCCA  
 TGCCCACCCCTGCCAGCACCTGAGGCCGCCCCGGGACCATCAGTCCTCTGTTCCCCCA  
 AAACCCAAGGACACTCTCATGATCTCCCGAACCCCTGAGGTCAACGTGCGTGGTGGAC  
 GTGAGCCAGGAAGACCCGAGGTCACTTCAACTGGTACCGTGGATGGCGTGGAGGTGCAT  
 AATGCCAAGACAAGCCGGGGAGGAGCAGTTCAACAGCACGTACCGTGTGGTCAAGGCTC  
 CTCACCGTCTGCACCGACTGGCTGAACGGCAAGGAGTACAAGTGCAAGGTCTCCAAAC  
 AAAGGCCCTCCCGTCTCCATCGAGAAAACCATCTCCAAAGCCAAGGGCAGCCCCGAGAG  
 CCACAGGTGTACACCCCTGCCCTCATCCAGGAGGAGATGACCAAGAACCCAGGTCAAGCCTG  
 ACCTGCCCTGGTCAAAGGCTTCTACCCCAAGCGACATGCCGTGGAGGTGGAAAGCAATGGG  
 CAGCCGGAGAACAACTACAAGACCAAGCAGCGTCCGGTGTGGACTCCGACGGCTCCTCTTC  
 CTCTACAGCAGGCTAACCGTGGACAAGAGCAGGTGGCAGGAGGGAAATGTCTCTCATGC  
 TCCGTGATGCATGAGGCTCTGCACAAACCAACTACACACAGAACAGCCTCTCCCTGTCTCG  
 GGT

## HC de IgG4 C8-co16 (SEQ ID NO: 48)

CAGGTTCAGCTGGTGCAGTCTGGTCTGAGGTGAAGAAGCCTGGTGCCTCAGTGAAGGTC  
 TCCCTGCAAGGCTTCTGGTACACATTCACTGACTACTACATGCACTGGGTGCCTCAGGCC  
 CCTGGTCAAGGCTTCTGGATGGGTCGTGTTAACCTTATCGGGTAGTACTACCTAC  
 AACCAAGAAATTGAGGGCCGTGTCACCACGACACATCCACGAGCACAGCCTAC  
 ATGGAGCTGCGTAGGCTGGTCTGACGACACGGCGTGTATTACTGTGCGCGTGCAC  
 ATTCTTGAATCTGGGCCAGGGCACCCCGTCACCGTCTCCCGTCTCCCGTCCACCAAGGGC  
 CCATCGGTCTCCCGTACGCCCTGCTCCAGGAGCACCTCCGAGAGCACAGGCCCTG  
 GGCTGCCCTGGTCAAGGACTACTTCCCCAACCGGTGACGGTGTGTTGGAACTCAGGGGCC  
 CTGACCAAGCAGCGTGCACACCTCCCCGTGTCCTACAGTCCTCAGGACTCTACTCCCTC  
 AGCAGCGTGGTGACCGTGCCTCCAGCAGCTGGGACGAAGACCTACACCTGCAACGTA  
 GATCACAAGCCCAGCAACACCAAGGTGGACAAGAGAGAGTTGAGTCAAATATGGTCCCCCA  
 TGCCCACCCCTGCCAGCACCTGAGGCCGCCCCGGGACCATCAGTCCTCTGTTCCCCCA  
 AAACCCAAGGACACTCTCATGATCTCCCGAACCCCTGAGGTCAACGTGCGTGGTGGAGGTGCAT  
 GTGAGCCAGGAAGACCCGAGGTCACTTCAACTGGTACCGTGGATGGCGTGGAGGTGCAT  
 AATGCCAAGACAAGCCGGGGAGGAGCAGTTCAACAGCACGTACCGTGTGGTCAAGGCTC  
 CTCACCGTCTGCACCGAGACTGGCTGAACGGCAAGGAGTACAAGTGCAAGGTCTCCAAAC  
 AAAGGCCCTCCCGTCTCCATCGAGAAAACCATCTCCAAAGCCAAGGGCAGCCCCGAGAG  
 CCACAGGTGTACACCCCTGCCCTCATCCAGGAGGAGATGACCAAGAACCCAGGTCAAGCCTG  
 ACCTGCCCTGGTCAAAGGCTTCTACCCCAAGCGACATGCCGTGGAGGTGGAAAGCAATGGG  
 CAGCCGGAGAACAACTACAAGACCAAGCAGCGTCCGGTGTGGACTCCGACGGCTCCTCTTC  
 CTCTACAGCAGGCTAACCGTGGACAAGAGCAGGTGGCAGGAGGGAAATGTCTCTCATGC  
 TCCGTGATGCATGAGGCTCTGCACAAACCAACTACACACAGAACAGCCTCTCCCTGTCTCG  
 GGT

**cMet Humano-ECD-Fc-Flis (SEQ ID NO: 72)**

**MKAPAVLAPGILVLLFTLVQRSNGECKEALAKSEMNVNMKYQLPNFTAETPIQN**  
VILHEHHIJFLGATNYIYVLNEEDLQKVAEYKTGPVLEHPDCFPQDCSSKANLSG  
GVWKDNINMALVVDTYYDDQLISCGSVNRGTCQRHVFPHNHTADIQSEVHCIFS  
PQIEEPSQCPCDCVVSALGAKVLSSVKDRFINFFVGNTINSSYFPDHPLHSISVRRLK  
ETKDGFMF LTDQSYIDVLPFRDSYPIKYVHAFESNNFTYFLTVQRETLDAQTFHT  
RIIFCSTNSGLHSYMEMPLECILTEKRKKRSTKKEVNILQAAVSKPGAQLARQI  
GASLNDDILEFGVFAQSKPDSAEPMDRSAMCAF?IKYVNDFFNKIVNKNWRCLQ  
HFYOPNHEHICFNRTIILRNSSGGEARRDEYRTEFTTALQRVDLFMGQFSEVLI.TSI  
STFIKGDLTIANLGTSEGRCFMQVVVSRSQPSTPHVNFLLDLIPVSPEVIVEHTLNQ  
NGYTLVITGKKITKIPLNGLGCRHFQSCSQCI.SAPPVQCGWCHDKCVRSEECLIS  
GTWTQQICLPAIYKVFNSAPLEGGTRLTICQWDFGRNNNKFDLKKIRVLLGNE  
SCTLTLSSTMNTLKCTVGPAMNKHENMSIIENGHGTTOYSTFSYVDPVITSISPK  
YQPMAGGTLTTI.TGNYLNNSGNRSHISIGGKTCTLKSVNSII.FCYTPAQTI STEFA  
VKLIKIDLANRETSIFS YREDPTIVYEIHPTKSFISGGSTIITGVGKNLNSVS VPRMVJNV  
HEAGRNFVACQHRSNSEIICCTPSLQQQLNLQLPLTKAFFMLDGILSKYFDLTY  
VHNPVTKPFEKPVIMSGNENVLEIKGNDIDPEAVKGEVLKVGKNCENIHLHSE  
AVLCTVPNDLLKLNSELNIEWKQAISSTVLGKVIVQFDQNFTLEVLFQGPDIEPKS  
CDKTHTCPPCPAPRILLGOPSVFLPPP KPKDTL.MISRTPEVTCVVVDVSHEDPEVKF  
NWYVDGVEVHNAKTKPREEQYNSTYRVVSVLTVI.IQDWLNGKEYKCKVSNA  
I.PAPIEKTIŞKAKGQPREPQEYTLPPSREEMTKNQVSLTCLVKGFYPSDIAVEWES  
NGQPENNYKTTTPVILDSLGSIFLYSKLTVDKSRWQQGNVFSCSVMHEALHNHY  
TQK\$LSLSPGKRUDYKDDDDKHVHHHHHH

Os aminoácidos a negrito e em itálico representam a sequência sinal; os aminoácidos a negrito e sublinhados representam a etiqueta Flis.

**c-Met de Macaco Cinomolgo-ECD-Fc-Flis (SEQ ID NO: 73)**

**MKAPAVLIPPGILVLLFTLVQRSNGECKEALAKSEMNVNMKYQLPNFTAETAIQN**  
VILHEHHJFI.GATNYIYVLNEEDLQKVAEYKTGPVLEHPDCFPQDOSKANLSG  
GVWKDNINMALVVDTYYDDQI.ISCGSVNRGTCQRHVFPHNHTADIQSEVHCIFS  
PQIEEPNQCPDCVVSALGAKVLSSVKDRFINFFVGNTJINSSYFPHIPLHSISVRRLK  
ETKDGFMFLTDQSYIDVLPEFRDSYPIKYIHAFESNNFIYFLTVQRETLNAQTFHTR  
IIRFCSLNSGLHSYMEMPLECILTEKRKKRSTKKEVPNIQAAAYVSKPGAQLARQI  
GASLNDDILFGVFAQSKPDSAEPMDRSAMCAFPIKYVNDFFNKIVNKNNVRCLQ  
IIFYGPNHEHICFNRTLLRNSSGCEARRDEYRAFFTAIQRVDLFMGQFSEVLLTSI  
STFVKGDLTIANLGTSEGRFMQVVVSRSGPSTPHVNFLDSHI<sup>V</sup>SPEVIVEHPI.NQ  
NGYTLVVTGKKJTKIPLNGLGCRHFQSCSQCLSAPPVQCGWCHDKCVRSEECPS  
GWTQQICLPAIYKVFTSAPI.EGGTRLTICGWDFGRRNNKFDLKKTRVLLGNE  
SCTLTSESTMNTLKCTVGPAMNKHFNMShISNGHTTQYSTFSYVDPIITSISPK  
YGPMAAGTLLTGTGNYLNSGNSRHISIGGKTCTLKSVNSILECYTPAQTISTEFA  
VKLKIDLANRET SIFS YREDPIVYEIHPTKS FISGGSTTG VGVKNLHSV SVPRMVINV  
HEAGRNF TVACQHRSN SEII CTTPSLQQLNLQLPLKTAFFMLDGILSKYFDLIY  
VHNPVFKPF EKPVMISMGNENVLEIKGNDIDPEAVKGEVLKVGNKSCENIHLHSE  
AVI CTV PNDL LKLN SELNIEW KQ A ISSTV LGK VI V QPDQNF TLEV LFQGP DIEPKS  
CDKTHTCPPCPAPELLGGPSVFLFFFPKKDLMISRTPEVTCVVVDVSHEDPEVKF  
NWYVDGVEVHNAKTKPREEQYNSTYRVVSVLTVLHQDWLNGKEYKCKVSNKA  
LPAPIEKTI SKAKGQPREPQEYTLPPSREEMTKNQVSLTCLVKGFYPSDI AVEWES  
NGQPENNYKTTPPVLDSDGSFLY SKLTVDKSRWQQGNVFSCSVMHEALHNHY  
TQKSLSLSPGKRIDYKDDDDKHVHHHHHH

Os aminoácidos a negrito e em itálico representam a sequência sinal; os aminoácidos a negrito e sublinhados representam a etiqueta Flis.

c-Met de Rato-ECD-Fc-Flis (SEQ ID NO: 74)

*MKAP*TALAPGILLLTLAQRSHGECKEALVKSEMNVNMKYQLPNFTAETPIHN  
VVLHGHHIYLGATNYIYVLNDKDLQKVSEFKTGPVVEHPDCFPCQDCSSKANVS  
GGVWKDNVNMAVVDTYYDDQLISCGVNRGTCQRHVLPPDNAADIQSEVHC  
MFSP~~A~~EEESGQCPDCVVSALGAKVLLSEKDRFINFFVGNTINSSYPPDYSLSHSIV  
RRLKETQDGFKFLTDQSYIDVLPFRDSYPIKYIHAFESNHFIYFLTVQKETLDAQT  
FHTRIIRFCSDSGLHSYMEMPLECILTEKRRKRSTREEVFNLQAAYVSKPGANL  
AKQIGASPYDDILYGVFAQSKPDSAEPMNRSAVCAPIKYVNDFFNKIVNKNNVR  
CLQHFYGPNHEHCFNRTLLRNSSGCEVRSDEYRTEFTTALQRVDLFMGRLNHVL  
LTSISTFIKQDLTIANLGTSEGRCMVVLSRTAHPTPHVNFLLDSPVSPREVHEP  
SNQNGYTLVVTGKKITKIPNLNGCGHFQSCSQCLSAPYFIQCGWCHNRCVHSNE  
CPSGTWTQEICLPAVYKVPTSALEGTM~~L~~TCGWDFGFKNNKFDLRKT~~K~~VLL  
GNESCTLTSE~~T~~NTLKCTVGPAMSEHFNVSVIVNSRETTQYSAPSYVDPVITSI  
SPRYGPHAGGTLLTGT~~K~~LN~~S~~GN~~S~~RHISIGGKTCTLKVSDSILECYTPGHTVSA  
EFPVKLKIDIADRVTSSFSYREDPVVSEI~~H~~PTKS~~F~~ISGGSTITGIGKNLNSVSTPKLV  
IEVHDVGVN~~Y~~TVACQHRSSSEI~~I~~CC~~T~~PSLQQLDLQLPLTKAFFLLDGILSKHFDL  
TYVHDPMFKPF~~E~~KPV~~M~~ISMGNENVVEIKGDDIDP~~E~~AVKGEVLKVGNKSCENLH  
WHSEALLCTVPS~~D~~LLK~~\_~~NGGELNIEWKQAVSSTVLGKVIVQPDQNF~~A~~LEVL~~F~~QG  
PDIE~~P~~KSCDKTHTCPPCPAPEI~~I~~GGPSV~~F~~1.FPPKPKDTLMISRTPEVTCVVVDVSHE  
DPEVKFNWYVDGVEVHN~~A~~TKP~~R~~EEQYN~~S~~TYRVVSVLTVLHQDWLN~~G~~KEYKC  
KVS~~N~~KALPAPIEK~~T~~ISK~~A~~KGQPREPQ~~E~~YTLPPSREEMTKNQVSLTCLVKGFYPSDI  
AVEWESNGQ~~P~~ENNYK~~T~~IPPVLSDGS~~F~~LYSKL~~T~~VDKSRWQQGNV~~F~~CSVMHE  
AL~~H~~HYTQ~~K~~SI~~S~~LSPO~~K~~RIDYKDDDDKHVHHHHH

Os aminoácidos a negrito e em itálico representam a sequência sinal; os aminoácidos a negrito e sublinhados representam a etiqueta Flis.

ECD de c-Met Humano (SEQ ID NO: 75)

**MKAPAVLAPGILVLLFTLVQRSNGECKEALAKSEMNVNMKYQLPNFTAETPIQN**  
**VILHEHHIFLGATNYIYVLNEEDLQKVAEYKTGPVLEHPDCFPCQDCSSKANLSG**  
**GVWKDNINMALVVDTYYDDQLISCGSVNRGTCQRHVFPHNHTADIQSEVHCIFS**  
**PQIEEPSQCPCDCVVSALGAKVLSSVKDRFINFFVGNTINSSYFPDHPLHSISVRRLK**  
**ETKDGFMFLTDQSYIDVLPEFRDSYPIKYVHAFESNNFIYFLTVQRETLDAQTFH**  
**RJIRFCINSGLHSYMEMPLECILTEKRKKRSTKKEVFNLQAAYVSKPGAQLARQI**  
**GASLNDDILFGVFAQSKPDSAEPMDRSAMCAFPIKYVNDFFNKIVNKNNVRCLQ**  
**HFYGPNHEHCFNRTLLRNSSGCEARRDEYRTEFTTALQRVDLFMGQFSEVLLSI**  
**STFIKGDLTIANLGTSEGRFMQVVSRSGPSTPHVNFLLDSPVSPREVHTLNQ**  
**NGYTLVITGKKITKIPNLNGCRHFQSCSQCLSAPPVQCGWCHDKCVRSEECLS**  
**GTWTQQICLPAIYKVFPNSAPLEGGTRLTICGWDFGRRRNNKFDLKKTRVLLGNE**  
**SCTTLSESTMNTLKCTVGPAMNKHFNMHSNGHGTQYSTFSYVDPVITSISP**  
**YGPMAGGTLLTGTGNYLNSGNRHSIGGKCTLKSVSNSILECYTPAQTIESTFA**  
**VKLKIDLANRETSIFSYREDPIVYEIHPTKSFISGGSTITGVGKNLNSVSPRMVINV**  
**HEAGRNFVACQHRSNSEIICCTIPSLQQLNLQLPLTKAFFMLDGILSKYFDLIY**  
**VHNPFVKPFKPKVMISMGNENVLEIKGNDIDPEAVKGEVLKVGKSCENIHLHSE**  
**AVLCTVPNDLLKLNSELNIEWKQAISSTVLGKIVQPDQNFT**

Os aminoácidos a negrito e em itálico representam a sequência sinal.

**Domínio Sema de c-Met Humano com etiqueta Flis (SEQ ID NO: 76)**

**MKAPAVLAPGILVLLFTLVQRSNGECKEALAKSEMNVNMKYQLPNFTAETPIQN**  
**VILHEHHIFLGATNYIYVLNEEDLQKVAEYKTGPVLEHPDCFPCQDCSSKANLSG**  
**GVWKDNINMALVVDTYYDDQLISCGSVNRGTCQRHVFPHNHTADIQSEVHCIFS**  
**PQIEEPSQCPCDCVVSALGAKVLSSVKDRFINFFVGNTINSSYFPDHPLHSISVRRLK**  
**ETKDGFMFLTDQSYIDVLPEFRDSYPIK YVHAFESNNFIYFLTVQRETLDAQTFH**  
**RJIRFCINSGLHSYMEMPLECILTEKRKKRSTKKEVFNLQAAYVSKPGAQLARQI**  
**GASLNDDILFGVFAQSKPDSAEPMDRSAMCAFPIKYVNDFFNKIVNKNNVRCLQ**  
**HFYGPNHEHCFNRTLLRNSSGCEARRDEYRTEFTTALQRVDLFMGQFSEVLLSI**  
**STFIKGDLTIANLGTSEGRFMQVVSRSGPSTPHVNFLLDSPVSPREVHTLNQ**  
**NGYTLVITGKKITKIPNLNGCRHFQSCSQCLSAPPVQCGWCHDKCVRSEECLS**  
**GTWTQQICLDYKDDDDKHVHHHHHH**

Os aminoácidos a negrito e em itálico representam a sequência sinal; os aminoácidos a negrito e sublinhados representam a etiqueta Flis

**Epitopos de Anticorpo C8- no Domínio Extracelular de c-Met Humano**

$^{121}\text{VVDTYYDDQL}_{130}$  (SEQ ID NO: 77)  
 $^{131}\text{ISCGSVNRGTCQRHVFPNHTADIQS}_{156}$  (SEQ ID NO: 78)  
 $^{179}\text{ALGAKVLSSVKDRFTNF}_{195}$  (SEQ ID NO: 79)  
 $^{216}\text{VRRLKETKDGFM}_{227}$  (SEQ ID NO: 80)  
 $^{123}\text{DTYYDD}_{128}$  (SEQ ID NO: 81)  
 $^{144}\text{HVFPHNHTADIQS}_{156}$  (SEQ ID NO: 82)  
 $^{192}\text{FINF}_{195}$  (SEQ ID NO: 83)  
 $^{220}\text{KETKDGFM}_{227}$  (SEQ ID NO: 84)

**Epitopos de Anticorpo D11- no Domínio Extracelular de c-Met Humano**

$^{84}\text{YKTGPVLEHPDCFPCQDCSSKANL}_{95}$  (SEQ ID NO: 85)  
 $^{95}\text{CFPCQDCSSKA}_{105}$  (SEQ ID NO: 86)

**Sequências CDR de Consenso**

**CDR2 da Cadeia Leve do Anticorpo D11-**

GTSX<sub>1</sub>LX<sub>2</sub>S (SEQ ID NO: 87), em que X<sub>1</sub> é Y ou R; e X<sub>2</sub> é A ou R;

**CDR1 da Cadeia Leve do Anticorpo C8**

SVSSSVX<sub>3</sub>SIYLH (SEQ ID NO: 88), em que X<sub>3</sub> é S ou R;

**CDR3 da Cadeia Leve do Anticorpo C8-**

X<sub>4</sub>X<sub>5</sub>YX<sub>6</sub>GYPLT (SEQ ID NO: 89), em que X<sub>4</sub> é I ou Q, X<sub>5</sub> é Q ou V, e X<sub>6</sub> é S ou R;

**CDR2 da Cadeia Pesada do Anticorpo D11-**

WIYPVTGDTYYX<sub>7</sub>EX<sub>8</sub>FKG (SEQ ID NO: 90), em que X<sub>7</sub> é N, I, ou R, e X<sub>8</sub> é K ou P;

**CDR3 da Cadeia Pesada do Anticorpo D11-**

GYGAFX<sub>9</sub>Y (SEQ ID NO: 91), em que X<sub>9</sub> é Y ou F;

**CDR2 da Cadeia Pesada do Anticorpo C8-**

RVNPX<sub>10</sub>RX<sub>11</sub>X<sub>12</sub>TTYNQKFEG (SEQ ID NO: 92), em que X<sub>10</sub> é N ou Y, X<sub>11</sub> é G ou R, e X<sub>12</sub> é G ou S;

**CDR3 da Cadeia Pesada do Anticorpo C8-**

X<sub>13</sub>NX<sub>14</sub>LDY (SEQ ID NO: 93), em que X<sub>13</sub> é T ou A, e X<sub>14</sub> é W ou I;

**Sequências de Consenso de Região Variável de Cadeia Leve**

**Sequência de Consenso da Região Variável de Cadeia Leve do Anticorpo D11- (SEQ ID NO: 94)**

EIVLTQSPGTLSLSPGERATLSCSVSSISSTNLHWYQQKPGQAPRLLIY

GTSX<sub>1</sub>X<sub>2</sub>SGIPDRFSGSGSGTIDFTIITISR1EPEDFAVYCCQWSSYPYSFG  
QGTK1.EIK

em que X<sub>1</sub> é Y ou R, e X<sub>2</sub> é A ou R;

**Sequência de Consenso da Região Variável de Cadeia Leve do Anticorpo C8- (SEQ ID NO: 95)**

DIQMTQSPSSLSASVGDRVITCSVSSSVX.SIYLHWYQQKPGKAPKLLIY  
STSNLASGVPSRFSCSGSGTDFTLTISLQPEDPATYYCX<sub>1</sub>X<sub>2</sub>YX<sub>3</sub>CYPLTFC  
GGTKVEIK

em que X<sub>3</sub> é S ou R, X<sub>4</sub> é I ou Q, X<sub>5</sub> é Q, ou V, e X<sub>6</sub> é S ou R;

**Sequências de Consenso de Região Variável de Cadeia Pesada**

**Sequência de Consenso da Região Variável de Cadeia Pesada do Anticorpo D11- (SEQ ID NO: 96)**

QVQLVQSGAEVKPGSSVKVSCKASGYTFTSRYIHWVRQAPGQGLEWMGW  
IYPVTGDTYYX<sub>1</sub>EX<sub>2</sub>FKGRVTITADKSTSTAYMELSSLRSEDTAVYYCARGY  
GAFX<sub>3</sub>YWGQQGTLVTVS

em que X<sub>7</sub> é N, I, ou R, X<sub>8</sub> é K ou P, e X<sub>9</sub> é Y ou F;

**Sequência de Consenso da Região Variável de Cadeia Pesada do Anticorpo C8- (SEQ ID NO: 97)**

QVQLVQSGAEVKPGASVKVSCKASGYTPTDYYMHWVRQAPGQGLEWMGR  
VNPNX<sub>1</sub>RX<sub>2</sub>X<sub>3</sub>TTYNQKFEGRVTMTIDTSTSTAYMELRSLR\$DDTAVYYCARX<sub>4</sub>  
NX<sub>14</sub>LDYWGQQGITVTVS

em que X<sub>10</sub> é Y ou N, X<sub>11</sub> é G ou R, X<sub>12</sub> é S ou G, X<sub>13</sub> é A ou T, e X<sub>14</sub> é I ou W.

**LISTAGEM DAS SEQUÊNCIAS**

<110> Eli Lilly and Company

<120> Anticorpos de c-Met

<130> X-18217

<150> 61/116825

<151> 2008-11-21

<150> 61/219903

<151> 2009-06-24

<160> 97

<170> PatentIn versão 3.5

<210> 1

<211> 108

<212> PRT

<213> Sequência Artificial

<220>

<223> Construção Sintética

<400> 1

Glu Ile Val Leu Thr Gln Ser Pro Gly Thr Leu Ser Leu Ser Pro Gly  
1                       5                       10                       15

Glu Arg Ala Thr Leu Ser Cys Ser Val Ser Ser Ser Ile Ser Ser Thr  
20                       25                       30

Asn Leu His Trp Tyr Gin Gln Lys Pro Gly Gln Ala Pro Arg Leu Leu  
35                       40                       45

Ile Tyr Gly Thr Ser Tyr Leu Ala Ser Gly Ile Pro Asp Arg Phe Ser  
50                       55                       60

Gly Ser Gly Ser Gly Thr Asp Phe Thr Leu Thr Ile Ser Arg Leu Glu  
65                       70                       75                       80

Pro Glu Asp Phe Ala Val Tyr Tyr Cys Gln Gln Trp Ser Ser Tyr Pro  
85                       90                       95

Tyr Ser Phe Gly Gln Gly Thr Lys Leu Glu Ile Lys  
100                      105

<210> 2

<211> 108

<212> PRT

<213> Sequência Artificial

<220>

<223> Construção Sintética

<400> 2

Glu Ile Val Leu Thr Gln Ser Pro Gly Thr Leu Ser Leu Ser Pro Gly  
 1                   5                   10                   15

Glu Arg Ala Thr Leu Ser Cys Ser Val Ser Ser Ser Ile Ser Ser Thr  
 20                   25                   30

Aen Leu His Trp Tyr Gln Gln Lys Pro Gly Gln Ala Pro Arg Leu Leu  
 35                   40                   45

Ile Tyr Gly Thr Ser Tyr Leu Ala Ser Gly Ile Pro Asp Arg Phe Ser  
 50                   55                   60

Gly Ser Gly Ser Gly Thr Asp Phe Thr Leu Thr Ile Ser Arg Leu Glu  
 65                   70                   75                   80

Pro Glu Asp Phe Ala Val Tyr Tyr Cys Gln Gln Trp Ser Ser Tyr Pro  
 85                   90                   95

Tyr Ser Phe Gly Gln Gly Thr Lys Leu Glu Ile Lys  
 100                   105

<210> 3

<211> 108

<212> PRT

<213> Sequência Artificial

<220>

<223> Construção Sintética

<400> 3

Glu Ile Val Leu Thr Gln Ser Pro Gly Thr Leu Ser Leu Ser Pro Gly  
 1                   5                   10                   15

Glu Arg Ala Thr Leu Ser Cys Ser Val Ser Ser Ser Ile Ser Ser Thr  
 20                   25                   30

Aen Leu His Trp Tyr Gln Gln Lys Pro Gly Gln Ala Pro Arg Leu Leu  
 35                   40                   45

Ile Tyr Gly Thr Ser Arg Leu Arg Ser Gly Ile Pro Asp Arg Phe Ser  
 50                   55                   60

Gly Ser Gly Ser Gly Thr Asp Phe Thr Leu Thr Ile Ser Arg Leu Glu  
 65                   70                   75                   80

Pro Glu Asp Phe Ala Val Tyr Tyr Cys Gln Gln Trp Ser Ser Tyr Pro  
 85                   90                   95

Tyr Ser Phe Gly Gln Gly Thr Lys Leu Glu Ile Lys  
 100                   105

<210> 4  
<211> 108  
<212> PRT  
<213> Sequência Artificial

<220>  
<223> Construção Sintética

<400> 4  
**Asp Ile Gln Met Thr Gln Ser Pro Ser Ser Leu Ser Ala Ser Val Gly**  
1                   5                   10                   15

**Asp Arg Val Thr Ile Thr Cys Ser Val Ser Ser Val Ser Ser Ile**  
20                   25                   30

**Tyr Leu His Trp Tyr Gln Gln Lys Pro Gly Lys Ala Pro Lys Leu Leu**  
35                   40                   45

**Ile Tyr Ser Thr Ser Asn Leu Ala Ser Gly Val Pro Ser Arg Phe Ser**  
50                   55                   60

**Gly Ser Gly Ser Gly Thr Asp Phe Thr Leu Thr Ile Ser Ser Leu Gln**  
65                   70                   75                   80

**Pro Glu Asp Phe Ala Thr Tyr Tyr Cys Ile Gln Tyr Ser Gly Tyr Pro**  
85                   90                   95

**Leu Thr Phe Gly Gly Thr Lys Val Glu Ile Lys**  
100                   105

<210> 5  
<211> 108  
<212> PRT  
<213> Sequência Artificial

<220>  
<223> Construção Sintética

<400> 5  
**Asp Ile Gln Met Thr Gln Ser Pro Ser Ser Leu Ser Ala Ser Val Gly**  
1                   5                   10                   15

**Asp Arg Val Thr Ile Thr Cys Ser Val Ser Ser Val Ser Ser Ile**  
20                   25                   30

**Tyr Leu His Trp Tyr Gln Gln Lys Pro Gly Lys Ala Pro Lys Leu Leu**  
35                   40                   45

**Ile Tyr Ser Thr Ser Asn Leu Ala Ser Gly Val Pro Ser Arg Phe Ser**  
50                   55                   60

Gly Ser Gly Ser Gly Thr Asp Phe Thr Leu Thr Ile Ser Ser Leu Gln  
 65                    70                    75                    80

Pro Glu Asp Phe Ala Thr Tyr Tyr Cys Gln Val Tyr Ser Gly Tyr Pro  
 85                    90                    95

Leu Thr Phe Gly Gly Thr Lys Val Glu Ile Lys  
 100                    105

<210> 6

<211> 108

<212> PRT

<213> Sequência Artificial

<220>

<223> Construção Sintética

<400> 6

Asp Ile Gln Met Thr Gln Ser Pro Ser Ser Leu Ser Ala Ser Val Gly  
 1                    5                    10                    15

Asp Arg Val Thr Ile Thr Cys Ser Val Ser Ser Ser Val Arg Ser Ile  
 20                    25                    30

Tyr Leu His Trp Tyr Gln Gln Lys Pro Gly Lys Ala Pro Lys Leu Leu  
 35                    40                    45

Ile Tyr Ser Thr Ser Asn Leu Ala Ser Gly Val Pro Ser Arg Phe Ser  
 50                    55                    60

Gly Ser Gly Ser Gly Thr Asp Phe Thr Leu Thr Ile Ser Ser Leu Gln  
 65                    70                    75                    80

Pro Glu Asp Phe Ala Thr Tyr Tyr Cys Gln Val Tyr Arg Gly Tyr Pro  
 85                    90                    95

Leu Thr Phe Gly Gly Thr Lys Val Glu Ile Lys  
 100                    105

<210> 7

<211> 324

<212> ADN

<213> Sequência Artificial

<220>

<223> Construção Sintética

<400> 7

gaaatttgtt tgcacgcagtc tccaggcacc ctgtctttgt ctccaggggga aaggagccacc        60

ctcttcgtca gtgtcagctc aagtataagt tccaccaaact tacactggta ccaqcaqaaa        120

cctggccagg ctccccaggat atccatctat ggcacatctt atctggcttc tggcatccca        180

gacaggttca gtggcagtgg gtcgtggaca gacttcactc tcaccatcg cagactggag	240
cctgaagatt ttgcagtgtt ttactgtca cagtggatg gttacccgta cagtttcggc	300
caagggacca agttggagat caaa	324
<210> 8	
<211> 324	
<212> ADN	
<213> Sequência Artificial	
<220>	
<223> Construção Sintética	
<400> 8	
gaaatttgtt tgacgcagtc tccaggcacc ctgtctttgt ctccagggggaa aagagccacc	60
ctcttcgtca gtgtcagtc aagtataagt tccaccaact tacactggta ccagcagaaa	120
cctggccagg ctccccaggct cttcatctat ggcacatctt acatggcttc tggcatccca	180
gacaggttca gtggcagtgg gtcgtggaca gacttcactc tcaccatcg cagactggag	240
cctgaagatt ttgcagtgtt ttactgtca cagtggatg gttacccgta cagtttcggc	300
caagggacca agttggagat caaa	324
<210> 9	
<211> 324	
<212> ADN	
<213> Sequência Artificial	
<220>	
<223> Construção Sintética	
<400> 9	
gaaatttgtt tgacgcagtc tccaggcacc ctgtctttgt ctccagggggaa aagagccacc	60
ctcttcgtca gtgtcagtc aagtataagt tccaccaact tacactggta ccagcagaaa	120
cctggccagg ctccccaggct cttcatctat ggcacatctt acatggcttc tggcatccca	180
gacaggttca gtggcagtgg gtcgtggaca gacttcactc tcaccatcg cagactggag	240
cctgaagatt ttgcagtgtt ttactgtca cagtggatg gttacccgta cagtttcggc	300
caagggacca agttggagat caaa	324
<210> 10	
<211> 324	
<212> ADN	
<213> Sequência Artificial	
<220>	
<223> Construção Sintética	
<400> 10	
gacatccaga tgaccaggct tccatcttcc ctgtctgtat ctgttaggaga cagatgtacc	60
atcacttgcgtca gtgtcagtc aagtgttaagt tccatcttact tgcactggta tcaagcagaaa	120

ccagggaaag cccctaagct cctgatctat agcacatcca acttggcttc tggagtccca	180
tcaaggttca gtggcagtgg atctggaca gatttcaactc tcaccatcg cagtctgcaa	240
cctgaaagatt ttgcaactta ctactgtatt cgtacagtg gttacceget cacgttccggc	300
ggagggacca aggtggagat caaa	324
<210> 11	
<211> 324	
<212> ADN	
<213> Sequência Artificial	
<220>	
<223> Construção Sintética	
<400> 11	
gacatccaga tgacccagtc tccatctcc ctgtctgcatt ctgttaggaga cagagtccacc	60
atcacttgca gtgtcagtc aagtgttgtt ccattttact tgcactggta tcagcagaaa	120
ccagggaaag cccctaagct cctgatctat agcacatcca acttggcttc tggagtccca	180
tcaaggttca gtggcagtgg atctggaca gatttcaactc tcaccatcg cagtctgcaa	240
cctgaaagatt ttgcaactta ctactgtcaag gtgtacagtg gttacceget cacgttccggc	300
ggagggacca aggtggagat caaa	324
<210> 12	
<211> 324	
<212> ADN	
<213> Sequência Artificial	
<220>	
<223> Construção Sintética	
<400> 12	
gacatccaga tgacccagtc tccatctcc ctgtctgcatt ctgttaggaga cagagtccacc	60
atcacttgca gtgtcagtc aagtgttgtt ccattttact tgcactggta tcagcagaaa	120
ccagggaaag cccctaagct cctgatctat agcacatcca acttggcttc tggagtccca	180
tcaaggttca gtggcagtgg atctggaca gatttcaactc tcaccatcg cagtctgcaa	240
cctgaaagatt ttgcaactta ctactgtcaag gtgtacagg gttacceget cacgttccggc	300
ggagggacca aggtggagat caaa	324
<210> 13	
<211> 115	
<212> PRT	
<213> Sequência Artificial	
<220>	
<223> Construção Sintética	
<400> 13	
Gln Val Gln Leu Val Gln Ser Gly Ala Glu Val Lys Lys Pro Gly Ser	
1 5 10 15	

Ser Val Lys Val Ser Cys Lys Ala Ser Gly Tyr Thr Phe Thr Ser Arg  
 20                    25                    30

Tyr Ile His Trp Val Arg Gln Ala Pro Gly Gln Gly Leu Glu Trp Met  
 35                    40                    45

Gly Trp Ile Tyr Pro Val Thr Gly Asp Thr Tyr Tyr Asn Glu Lys Phe  
 50                    55                    60

Lys Gly Arg Val Thr Ile Thr Ala Asp Lys Ser Thr Ser Thr Ala Tyr  
 65                    70                    75                    80

Met Glu Leu Ser Ser Leu Arg Ser Glu Asp Thr Ala Val Tyr Tyr Cys  
 85                    90                    95

Ala Arg Gly Tyr Gly Ala Phe Tyr Tyr Trp Gly Gln Gly Thr Leu Val  
 100                  105                  110

Thr Val Ser  
 115

<210> 14

<211> 115

<212> PRT

<213> Sequência Artificial

<220>

<223> Construção Sintética

<400> 14

Gln Val Gln Leu Val Gln Ser Gly Ala Glu Val Lys Lys Pro Gly Ser  
 1                    5                    10                    15

Ser Val Lys Val Ser Cys Lys Ala Ser Gly Tyr Thr Phe Thr Ser Arg  
 20                    25                    30

Tyr Ile His Trp Val Arg Gln Ala Pro Gly Gln Gly Leu Glu Trp Met  
 35                    40                    45

Gly Trp Ile Tyr Pro Val Thr Gly Asp Thr Tyr Tyr Ile Glu Lys Phe  
 50                    55                    60

Lys Gly Arg Val Thr Ile Thr Ala Asp Lys Ser Thr Ser Thr Ala Tyr  
 65                    70                    75                    80

Met Glu Leu Ser Ser Leu Arg Ser Glu Asp Thr Ala Val Tyr Tyr Cys  
 85                    90                    95

Ala Arg Gly Tyr Gly Ala Phe Phe Tyr Trp Gly Gln Gly Thr Leu Val

100

105

110

**Thr Val Ser**  
**115**

<210> 15  
<211> 115  
<212> PRT  
<213> Sequência Artificial

<220>  
<223> Construção Sintética

<400> 15  
**Gln Val Gln Leu Val Gln Ser Gly Ala Glu Val Lys Lys Pro Gly Ser**  
1                   5                   10                   15

**Ser Val Lys Val Ser Cys Lys Ala Ser Gly Tyr Thr Phe Thr Ser Arg**  
20                   25                   30

**Tyr Ile His Trp Val Arg Gln Ala Pro Gly Gln Gly Leu Glu Trp Met**  
35                   40                   45

**Gly Trp Ile Tyr Pro Val Thr Gly Asp Thr Tyr Tyr Arg Glu Pro Phe**  
50                   55                   60

**Lys Gly Arg Val Thr Ile Thr Ala Asp Lys Ser Thr Ser Thr Ala Tyr**  
65                   70                   75                   80

**Met Glu Leu Ser Ser Leu Arg Ser Glu Asp Thr Ala Val Tyr Tyr Cys**  
85                   90                   95

**Ala Arg Gly Tyr Gly Ala Phe Tyr Tyr Trp Gly Gln Gly Thr Leu Val**  
100               105                   110

**Thr Val Ser**  
**115**

<210> 16  
<211> 114  
<212> PRT  
<213> Sequência Artificial

<220>  
<223> Construção Sintética

<400> 16  
**Gln Val Gln Leu Val Gln Ser Gly Ala Glu Val Lys Lys Pro Gly Ala**  
1                   5                   10                   15

**Ser Val Lys Val Ser Cys Lys Ala Ser Gly Tyr Thr Phe Thr Asp Tyr**  
20                   25                   30

Tyr Met His Trp Val Arg Gln Ala Pro Gly Gln Gly Leu Glu Trp Met  
 35    40    45

Gly Arg Val Asn Pro Asn Arg Gly Gly Thr Thr Tyr Asn Gln Lys Phe  
 50    55    60

Glu Gly Arg Val Thr Met Thr Thr Asp Thr Ser Thr Ser Thr Ala Tyr  
 65    70    75    80

Met Glu Leu Arg Ser Leu Arg Ser Asp Asp Thr Ala Val Tyr Tyr Cys  
 85    90    95

Ala Arg Thr Asn Trp Leu Asp Tyr Trp Gly Gln Gly Thr Thr Val Thr  
 100   105    110

Val Ser

<210> 17

<211> 114

<212> PRT

<213> Sequência Artificial

<220>

<223> Construção Sintética

<400> 17

Gln Val Gln Leu Val Gln Ser Gly Ala Glu Val Lys Lys Pro Gly Ala  
 I    5    10    15

Ser Val Lys Val Ser Cys Lys Ala Ser Gly Tyr Thr Phe Thr Asp Tyr  
 20    25    30

Tyr Met His Trp Val Arg Gln Ala Pro Gly Gln Gly Leu Glu Trp Met  
 35    40    45

Gly Arg Val Asn Pro Asn Arg Arg Gly Thr Thr Tyr Asn Gln Lys Phe  
 50    55    60

Glu Gly Arg Val Thr Met Thr Thr Asp Thr Ser Thr Ser Thr Ala Tyr  
 65    70    75    80

Met Glu Leu Arg Ser Leu Arg Ser Asp Asp Thr Ala Val Tyr Tyr Cys  
 85    90    95

Ala Arg Ala Asn Trp Leu Asp Tyr Trp Gly Gln Gly Thr Thr Val Thr  
 100   105    110

Val Ser

<210> 18  
<211> 114  
<212> PRT  
<213> Sequência Artificial

<220>  
<223> Construção Sintética

<400> 18  
**Gln Val Gln Leu Val Gln Ser Gly Ala Glu Val Lys Lys Pro Gly Ala**  
1                   5                   10                   15

**Ser Val Lys Val Ser Cys Lys Ala Ser Gly Tyr Thr Phe Thr Asp Tyr**  
20                   25                   30

**Tyr Met His Trp Val Arg Gln Ala Pro Gly Gln Gly Leu Glu Trp Met**  
35                   40                   45

**Gly Arg Val Asn Pro Tyr Arg Gly Ser Thr Thr Tyr Asn Gln Lys Phe**  
50                   55                   60

**Glu Gly Arg Val Thr Met Thr Thr Asp Thr Ser Thr Ser Thr Ala Tyr**  
65                   70                   75                   80

**Met Glu Leu Arg Ser Leu Arg Ser Asp Asp Thr Ala Val Tyr Tyr Cys**  
85                   90                   95

**Ala Arg Ala Asn Ile Leu Asp Tyr Trp Gly Gln Gly Thr Thr Val Thr**  
100               105               110

#### Val Ser

<210> 19  
<211> 345  
<212> ADN  
<213> Sequência Artificial

<220>  
<223> Construção Sintética

<400> 19  
cagggtgcago tggtgcaatgc tggggctgag gtggaaagaac ctgggttcctc ggtgaaggtc      60  
tccctgcagg cttctggctc caccttcaca agtaggtata tacactgggt gggacaggcc      120  
ccctggacaaag ggcttggatgtg gatggggatgg atttatactg taactgggtg tacttactac      180  
acccggaaatgt tcaagggytag agtcacgatt acggcgccac aatccacgag cacacccatc      240  
atggagactga ccacgcctgag atctgaggac acggccgtgt attactgtgc gagaggtcac      300  
ggagatttttt actactgggg ccaggccacc ctggtcaccc tctcc      345

<210> 20  
<211> 345  
<212> ADN  
<213> Sequência Artificial

<220>  
<223> Construção Sintética

<400> 20  
caggtecaagc tggtgtcagtc tggggctgaa gtgaagaagc ctgggtcctc ggtgaaggtc 60  
tcctgcacagg ctttctggcta caccttcaca agtaggtata tacactgggt ggcacaggcc 120  
cctggacaaag ggcttgagtg gatggatgg atttatctg taactggta tacttactac 180  
atcgagaagt tcaagggcag agtcacqatt acggcggaca aatccacgag cacagectac 240  
atggagctga gcagcctgag atctgaggac acggccgtgt attactgtgc gagaggctat 300  
gggtgtttttt tctactgggg ccagggoacc ctggtcacccg tctcc 345

<210> 21  
<211> 345  
<212> ADN  
<213> Sequência Artificial

<220>  
<223> Construção Sintética

<400> 21  
cagggtgcaga tggtgtcagtc tggggctgaa gtgaagaagc ctgggtcctc ggtgaaggtc 60  
tcctgcacagg ctttctggcta caccttcaca agtaggtata tacactgggt ggcacaggcc 120  
cctggacaaag ggcttgagtg gatggatgg atttatctg taactggta tacttactac 180  
agagagccct tcaagggcag agtcacqatt acggcggaca aatccacgag cacagectac 240  
atggagctga gcagcctgag atctgaggac acggccgtgt attactgtgc gagaggctat 300  
gggggtttttt tctactgggg ccagggoacc ctggtcacccg tctcc 345

<210> 22  
<211> 342  
<212> ADN  
<213> Sequência Artificial

<220>  
<223> Construção Sintética

<400> 22  
cagggtcaga tggtgtcagtc tggtgtctgag gtgaagaagc ctgggtcctc agtqaaggc 60  
tcctgcacagg ctttctggta cacctttacc gactactaca tgcactgggt ggcacaggcc 120  
cctggtcacag gtcttgagtg gatggatgt gttaatccca acggggatgg tactaactac 180  
aaccagaaaat tggaggcccgt tgtcaccatg aatccacgaca cacagectac 240  
atggagctgc gtggccctgcg ttctgacgac acggccgtgt attactgtgc ggcgtacgaa 300

tggcttgact actggggcga gggcacacc gtcacccgtct cc 342

<210> 23

<211> 342

<212> ADN

<213> Sequência Artificial

<220>

<223> Construção Sintética

<400> 23

caggttcaga tggtgcaagtc tggtgctgag gtgaagaazgc ctggtgatcc agtgaaggte	60
tcctgtcaagg cttctggtta cacctttacc gactactaca tgcactgggt ggcgtcaggcc	120
cctggtaaag gtcttgatgtg gatgggttgtt gttaatccctt acgggggggg tactacctac	180
aaccagaaat tcgagggcccg tgtaaccatq accacagaca catccacgag cacagccctac	240
atggagctgc gtggctgctg ttctgacgac acggccgtgtt attactgtgc ggcgtgaaac	300
<b>tggcttgact actggggcga gggcacacc gtcacccgtct cc</b>	<b>342</b>

<210> 24

<211> 342

<212> ADN

<213> Sequência Artificial

<220>

<223> Construção Sintética

<400> 24

caggttcaga tggtgcaagtc tggtgctgag gtgaagaagc ctggtgccctc agtgaaggtc	60
tcctgtcaagg cttctggtta cacattcaat gactactaca tgcactgggt ggcgtcaggcc	120
cctggtaaag gtcttgatgtg gatgggttgtt gttaatccctt atgggggttag tactacctac	180
aaccagaaat tcgagggcccg tgtaaccatq accacagaca catccacgag cacagccctac	240
atggagctgc gtggctgctg ttctgacgac acggccgtgtt attactgtgc ggcgtgaaac	300
<b>tggcttgact actggggcga gggcacacc gtcacccgtct cc</b>	<b>342</b>

<210> 25

<211> 215

<212> PRT

<213> Sequência Artificial

<220>

<223> Construção Sintética

<400> 25

Glu Ile Val Leu Thr Gln Ser Pro Gly Thr Leu Ser Leu Ser Pro Gly			
1	5	10	15

Glu Arg Ala Thr Leu Ser Cys Ser Val Ser Ser Ser Ile Ser Ser Thr		
20	25	30

Asn Leu His Trp Tyr Gln Gln Lys Pro Gly Gln Ala Pro Arg Leu Leu  
 35                          40                          45

Ile Tyr Gly Thr Ser Tyr Leu Ala Ser Gly Ile Pro Asp Arg Phe Ser  
 50                          55                          60

Gly Ser Gly Ser Gly Thr Asp Phe Thr Leu Thr Ile Ser Arg Leu Glu  
 65                          70                          75                          80

Pro Glu Asp Phe Ala Val Tyr Tyr Cys Gln Gln Trp Ser Ser Tyr Pro  
 85                          90                          95

Tyr Ser Phe Gly Gln Gly Thr Lys Leu Glu Ile Lys Arg Thr Val Ala  
 100                        105                        110

Ala Pro Ser Val Phe Ile Phe Pro Pro Ser Asp Glu Gln Leu Lys Ser  
 115                        120                        125

Gly Thr Ala Ser Val Val Cys Leu Leu Asn Asn Phe Tyr Pro Arg Glu  
 130                        135                        140

Ala Lys Val Gln Trp Lys Val Asp Asn Ala Leu Gln Ser Gly Asn Ser  
 145                        150                        155                        160

Gln Glu Ser Val Thr Glu Gln Asp Ser Lys Asp Ser Thr Tyr Ser Leu  
 165                        170                        175

Ser Ser Thr Leu Thr Leu Ser Lys Ala Asp Tyr Glu Lys His Lys Val  
 180                        185                        190

Tyr Ala Cys Glu Val Thr His Gln Gly Leu Ser Ser Pro Val Thr Lys  
 195                        200                        205

Ser Phe Asn Arg Gly Glu Cys  
 210                        215

<210> 26

<211> 215

<212> PRT

<213> Sequência Artificial

<220>

<223> Construção Sintética

<400> 26

Glu Ile Val Leu Thr Gln Ser Pro Gly Thr Leu Ser Leu Ser Pro Gly  
 1                        5                            10                        15

Glu Arg Ala Thr Leu Ser Cys Ser Val Ser Ser Ser Ile Ser Ser Thr  
 20                        25                        30

Asn Leu His Trp Tyr Gln Gln Lys Pro Gly Gln Ala Pro Arg Leu Leu  
 35 40 45

Ile Tyr Gly Thr Ser Tyr Leu Ala Ser Gly Ile Pro Asp Arg Phe Ser  
 50 55 60

Gly Ser Gly Ser Gly Thr Asp Phe Thr Leu Thr Ile Ser Arg Leu Glu  
 65 70 75 80

Pro Glu Asp Phe Ala Val Tyr Tyr Cys Gln Gln Thr Ser Ser Tyr Pro  
 85 90 95

Tyr Ser Phe Gly Gln Gly Thr Lys Leu Glu Ile Lys Arg Thr Val Ala  
 100 105 110

Ala Pro Ser Val Phe Ile Phe Pro Pro Ser Asp Glu Gln Leu Lys Ser  
 115 120 125

Gly Thr Ala Ser Val Val Cys Leu Leu Asn Asn Phe Tyr Pro Arg Glu  
 130 135 140

Ala Lys Val Gln Trp Lys Val Asp Asn Ala Leu Gln Ser Gly Asn Ser  
 145 150 155 160

Gln Glu Ser Val Thr Glu Gln Asp Ser Lys Asp Ser Thr Tyr Ser Leu  
 165 170 175

Ser Ser Thr Leu Thr Leu Ser Lys Ala Asp Tyr Glu Lys His Lys Val  
 180 185 190

Tyr Ala Cys Glu Val Thr His Gln Gly Leu Ser Ser Pro Val Thr Lys  
 195 200 205

Ser Phe Asn Arg Gly Glu Cys  
 210 215

<210> 27

<211> 215

<212> PRT

<213> Sequência Artificial

<220>

<223> Construção Sintética

<400> 27

Glu Ile Val Leu Thr Gln Ser Pro Gly Thr Leu Ser Leu Ser Pro Gly  
 1 5 10 15

Glu Arg Ala Thr Leu Ser Cys Ser Val Ser Ser Ser Ile Ser Ser Thr  
 20 25 30

Asn Leu His Trp Tyr Gin Gin Lys Pro Gly Glu Ala Pro Arg Leu Leu  
35 40 45

Ile Tyr Gly Thr Ser Arg Leu Arg Ser Gly Ile Pro Asp Arg Phe Ser  
50 55 60

Gly Ser Gly Ser Gly Thr Asp Phe Thr Leu Thr Ile Ser Arg Leu Glu  
65 70 75 80

Pro Glu Asp Phe Ala Val Tyr Tyr Cys Gln Gln Trp Ser Ser Tyr Pro  
85 90 95

Tyr Ser Phe Gly Gln Gly Thr Iys Leu Glu Ile Lys Arg Thr Val Ala  
100 105 110

Ala Pro Ser Val Phe Ile Phe Pro Pro Ser Asp Glu Gln Leu Lys Ser  
115 120 125

Gly Thr Ala Ser Val Val Cys Leu Leu Asn Asn Phe Tyr Pro Arg Glu  
130 135 140

Ala Lys Val Gln Trp Lys Val Asp Asn Ala Leu Gln Ser Gly Asn Ser  
145 150 155 160

Gln Glu Ser Val Thr Glu Gln Asp Ser Lys Asp Ser Thr Tyr Ser Leu  
165 170 175

Ser Ser Thr Leu Thr Leu Ser Lys Ala Asp Tyr Glu Lys His Lys Val  
180 185 190

Tyr Ala Cys Glu Val Thr His Gin Gly Leu Ser Ser Pro Val Thr Lys  
195 200 205

Ser Phe Asn Arg Gly Glu Cys  
210 215

<210> 28

<211> 215

<212> PRT

<213> Sequência Artificial

<220>

<223> Construção Sintética

<400> 28

Asp Ile Gln Met Thr Gln Ser Pro Ser Ser Leu Ser Ala Ser Val Gly  
1 5 10 15

Asp Arg Val Thr Ile Thr Cys Ser Val Ser Ser Ser Val Ser Ser Ile

20

25

30

Tyr Leu His Trp Tyr Gln Gln Lys Pro Gly Lys Ala Pro Lys Leu Leu  
35 40 45

Ile Tyr Ser Thr Ser Asn Leu Ala Ser Gly Val Pro Ser Arg Phe Ser  
50 55 60

Gly Ser Gly Ser Gly Thr Asp Phe Thr Leu Thr Ile Ser Ser Leu Gln  
65 70 75 80

Pro Glu Asp Phe Ala Thr Tyr Tyr Cys Ile Gln Tyr Ser Gly Tyr Pro  
85 90 95

Leu Thr Phe Gly Gly Thr Lys Val Gln Ile Lys Arg Thr Val Ala  
100 105 110

Ala Pro Ser Val Phe Ile Phe Pro Pro Ser Asp Glu Gln Leu Lys Ser  
115 120 125

Gly Thr Ala Ser Val Val Cys Leu Leu Asn Asn Phe Tyr Pro Arg Glu  
130 135 140

Ala Lys Val Gln Trp Lys Val Asp Asn Ala Leu Gln Ser Gly Asn Ser  
145 150 155 160

Gln Glu Ser Val Thr Glu Gln Asp Ser Lys Asp Ser Thr Tyr Ser Leu  
165 170 175

Ser Ser Thr Leu Thr Leu Ser Lys Ala Asp Tyr Glu Lys His Lys Val  
180 185 190

Tyr Ala Cys Glu Val Thr His Gln Gly Leu Ser Ser Pro Val Thr Lys  
195 200 205

Ser Phe Asn Arg Gly Glu Cys  
210 215

<210> 29

<211> 215

<212> PRT

<213> Sequência Artificial

<220>

<223> Construção Sintética

<400> 29

Asp Ile Gln Met Thr Gln Ser Pro Ser Ser Leu Ser Ala Ser Val Gly  
1 5 10 15

Asp Arg Val Thr Ile Thr Cys Ser Val Ser Ser Ser Val Ser Ser Ile  
 20 25 30

Tyr Leu His Trp Tyr Gln Gln Lys Pro Gly Lys Ala Pro Lys Leu Leu  
 35 40 45

Ile Tyr Ser Thr Ser Asn Leu Ala Ser Gly Val Pro Ser Arg Phe Ser  
 50 55 60

Gly Ser Gly Ser Gly Thr Asp Phe Thr Leu Thr Ile Ser Ser Leu Gln  
 65 70 75 80

Pro Glu Asp Phe Ala Thr Tyr Tyr Cys Gln Val Tyr Ser Gly Tyr Pro  
 85 90 95

Leu Thr Phe Gly Gly Thr Lys Val Glu Ile Lys Arg Thr Val Ala  
 100 105 110

Ala Pro Ser Val Phe Ile Phe Pro Pro Ser Asp Glu Gln Leu Lys Ser  
 115 120 125

Gly Thr Ala Ser Val Val Cys Leu Leu Asn Asn Phe Tyr Pro Arg Glu  
 130 135 140

Ala Lys Val Gln Trp Lys Val Asp Asn Ala Leu Gln Ser Gly Asn Ser  
 145 150 155 160

Gln Glu Ser Val Thr Glu Gln Asp Ser Lys Asp Ser Thr Tyr Ser Leu  
 165 170 175

Ser Ser Thr Leu Thr Leu Ser Lys Ala Asp Tyr Glu Lys His Lys Val  
 180 185 190

Tyr Ala Cys Glu Val Thr His Gln Gly Leu Ser Ser Pro Val Thr Lys  
 195 200 205

Ser Phe Asn Arg Gly Glu Cys  
 210 215

<210> 30  
 <211> 215  
 <212> PRT  
 <213> Sequência Artificial

<220>  
 <223> Construção Sintética

<400> 30  
 Asp Ile Gln Met Thr Gln Ser Pro Ser Ser Leu Ser Ala Ser Val Gly  
 1 5 10 15

Asp Arg Val Thr Ile Thr Cys Ser Val Ser Ser Ser Val Arg Ser Ile  
 20 25 30

Tyr Leu His Trp Tyr Gln Gln Lys Pro Gly Lys Ala Pro Lys Leu Leu  
 35 40 45

Ile Tyr Ser Thr Ser Asn Leu Ala Ser Gly Val Pro Ser Arg Phe Ser  
 50 55 60

Gly Ser Gly Ser Gly Thr Asp Phe Thr Leu Thr Ile Ser Ser Leu Gln  
 65 70 75 80

Pro Glu Asp Phe Ala Thr Tyr Tyr Cys Gln Val Tyr Arg Gly Tyr Pro  
 85 90 95

Leu Thr Phe Gly Gly Thr Lys Val Glu Ile Lys Arg Thr Val Ala  
 100 105 110

Ala Pro Ser Val Phe Ile Phe Pro Pro Ser Asp Glu Gln Leu Lys Ser  
 115 120 125

Gly Thr Ala Ser Val Val Cys Leu Leu Asn Asn Phe Tyr Pro Arg Glu  
 130 135 140

Ala Lys Val Gln Trp Lys Val Asp Asn Ala Leu Gln Ser Gly Asn Ser  
 145 150 155 160

Gln Glu Ser Val Thr Glu Gln Asp Ser Lys Asp Ser Thr Tyr Ser Leu  
 165 170 175

Ser Ser Thr Leu Thr Leu Ser Lys Ala Asp Tyr Glu Lys His Lys Val  
 180 185 190

Tyr Ala Cys Glu Val Thr His Gln Gly Leu Ser Ser Pro Val Thr Lys  
 195 200 205

Ser Phe Arg Arg Gly Glu Cys  
 210 215

<210> 31

<211> 645

<212> ADN

<213> Sequência Artificial

<220>

<223> Construção Sintética

<400> 31

gaaatttgtt tgacgcagtc tccaggcacc ctgttttgat ctcgggggaa aagggccacc 60

ctcttcgtca gtgtcagtc aagtataagt tccaccaact tacactggta ccggcgacaa 120

cctggccagg ctccccaggt cctcatctat ggcacatctt acatggcttc tggcatccca 180  
 gacaggttca gtggcagtgg gtctgggaca gacttcactc tcaccatcaag cagactggag 240  
 cctgaagatt ttgcagtgtt ttactgtcaa cagtggagta gttacccgta cagtttggc 300  
 caagggacca agttggagat caaacgaaact gtggctgcac catctgtctt catcttcccg 360  
 ccatctgtat aqcatgttgaat atctgaaact gcctctgttg tgtgcctgtt gaataacttc 420  
 tatccccagag aggccaaagt acagtggaaag gtggataacg ccctccaaatc gggtaactcc 480  
 caggagagtg tcacagagca ggacagcaag gacagcacct acagcctcaag cagcacccctg 540  
 acgctgagca aagcagacta cgagaaacac aaagtctacg cctgcgaagt cacccatca 600  
 ggcctgagct cgcggcgtcac aaagagcttc aacaggggag agtgc 645

&lt;210&gt; 32

&lt;211&gt; 645

&lt;212&gt; ADN

&lt;213&gt; Sequência Artificial

&lt;220&gt;

&lt;223&gt; Construção Sintética

<400> 32  
 gaaaatttgtt tgacgcagtc tccaggcacc ctgtctttgt ctccagggga aagagccacc 60  
 ctatctgtca gtgtcaagtc aagtataagt tccaccaact tacactggta ccagcagaaa 120  
 cctggccagg ctccccaggt cctcatctat ggcacatctt acatggcttc tggcatccca 180  
 gacaggttca gtggcagtgg gtctgggaca gacttcactc tcaccatcaag cagactggag 240  
 cctgaagatt ttgcagtgtt ttactgtcaa cagtggagta gttacccgta cagtttggc 300  
 caagggacca agttggagat caaacgaaact gtggatgcac catctgtctt catcttcccg 360  
 ccatctgtat aqcatgttgaat atctgaaact gcctctgttg tgtgcctgtt gaataacttc 420  
 tatccccagag aggccaaagt acagtggaaag gtggataacg ccctccaaatc gggtaactcc 480  
 caggagagtg tcacagagca ggacagcaag gacagcacct acagcctcaag cagcacccctg 540  
 acgctgagca aagcagacta cgagaaacac aaagtctacg cctgcgaagt cacccatca 600  
 ggcctgagct cgcggcgtcac aaagagcttc aacaggggag agtgc 645

&lt;210&gt; 33

&lt;211&gt; 645

&lt;212&gt; ADN

&lt;213&gt; Sequência Artificial

&lt;220&gt;

&lt;223&gt; Construção Sintética

<400> 33  
 gaaaatttgtt tgacgcagtc tccaggcacc ctgtctttgt ctccagggga aagagccacc 60  
 ctatctgtca gtgtcaagtc aagtataagt tccaccaact tacactggta ccagcagaaa 120

cctggccagg ctccccaggt cctcatctat ggcacatcca qactgagatc tggcatccca	180
gacaggttca gtggcagtgg gtctgggaca gacttcactc tcaccatca g cagatggag	240
actgaagatt ttgcagtgtt ttactgtcaa cagtggagta gttaccggta cagtttccgc	300
caagggacca agttggagat caaacgaaact gtggctgcac actctgttatt catcttcccg	360
ccatctgtat agcagttgaa atctggaaact gcctctgtt g tttttttttt gatataacttc	420
tatcccagag aggccaaagt acagtggaaag gtggataacg cccttcaatc gggtaactcc	480
caggagatg tcacagagca ggacagcaag gacagcacct acagccctca g cagcacccctg	540
acgttgagca aagcagacta cgagaaacac aaagtctacg cctggaaagt cacccatca g	600
ggcctgagct cgcggcgtcac aaagagcttc aacagggggag agtgc	645

&lt;210&gt; 34

&lt;211&gt; 645

&lt;212&gt; ADN

&lt;213&gt; Sequência Artificial

&lt;220&gt;

&lt;223&gt; Construção Sintética

<400> 34 gacatccaga tgacccagtc tccatcttcc ctgtctgtat ctgttaggaga cagagtccac	60
atcaatttca gtgtcaagtc aagtgttaat tccatattact tgcactggta tcaagcagaaa	120
ccagggaaag cccttaaget cctgatctat agcacatcca acttgggttc tggagtcaca	180
tcaaggttca gtggcagtgg atctgggaca gatttcactc tcaaccatca g cagtttgcac	240
cctgaagatt ttgcacacttta ctactgtatt cagtacatg gttacccgtt cttttttttt gatataacttc	300
ggagggacca aggtggagat caaacgaaact gtggctgcac actctgttatt catcttcccg	360
ccatctgtat agcagttgaa atctggaaact gcctctgtt g tttttttttt gatataacttc	420
tatcccagag aggccaaagt acagtggaaag gtggataacg cccttcaatc gggtaactcc	480
caggagatg tcacagagca ggacagcaag gacagcacct acagccctca g cagcacccctg	540
acgttgagca aagcagacta cgagaaacac aaagtctacg cctggaaagt cacccatca g	600
ggcctgagct cgcggcgtcac aaagagcttc aacagggggag agtgc	645

&lt;210&gt; 35

&lt;211&gt; 645

&lt;212&gt; ADN

&lt;213&gt; Sequência Artificial

&lt;220&gt;

&lt;223&gt; Construção Sintética

<400> 35 gacatccaga tgacccagtc tccatcttcc ctgtctgtat ctgttaggaga cagagtccac	60
atcaatttca gtgtcaagtc aagtgttata tccatattact tgcactggta tcaagcagaaa	120
ccagggaaag cccttaaget cctgatctat agcacatcca acttgggttc tggagtcaca	180

tcagggttca gtggcagtgg atctggaca gatttactc tcaccatcag cagtcggaa	240
cctggagatt ttgcaactta ctactgtcaa gtctacagtg gttacccgtc ctcgttggc	300
ggaggggacca aggtggagat caaacqaact gtggctgcac catctgttctt catcttccc	360
ccatctgtatg agcagtttca atctggact gcctctgttg tttgtgtgttgc gataaacttc	420
tatccccagag aqgccaagaat acagtggaaag gtggataacg ccctccaaatc gggtaactcc	480
caggagagtg tcacagagca ggacagcaag gacagcacct acagcctcag cagcacccctg	540
acgtgtggca aagcagacta cgagaaacac aaagtctacg cctgtggaaatg caccdatcag	600
ggctgtggatc cccccgtcactt aacagagtttca aacaggggag agtgc	645

&lt;210&gt; 36

&lt;211&gt; 645

&lt;212&gt; ADN

&lt;213&gt; Sequência Artificial

&lt;220&gt;

&lt;223&gt; Construção Sintética

&lt;400&gt; 36

gacatccaga tgacccagtc tccatcttcc ctgttgtcat ctgttggaga cagagtccacc	60
atcacttgcgtt gttgtcgatc aatgtgtatgttccatattact tgcactggta tcagcggaaa	120
ccagggaaag cccttaaagtc ctgtatctat agcatacataa acttgggttc tggatgtccca	180
tcagggttca gtggcagtgg atctggaca gatttactc tcaccatcag cagtcggaa	240
cctggagatt ttgcaactta ctactgttca gtgtacaggg gttacccgtc ctcgttggc	300
ggaggggacca aggtggagat caaacqaact gtggctgcac catctgttctt catcttccc	360
ccatctgtatg agcagtttca atctggact gcctctgttg tttgtgtgttgc gataaacttc	420
tatccccagag aqgccaagaat acagtggaaag gtggataacg ccctccaaatc gggtaactcc	480
caggagagtg tcacagagca ggacagcaag gacagcacct acagcctcag cagcacccctg	540
acgtgtggca aagcagacta cgagaaacac aaagtctacg cctgtggaaatg caccdatcag	600
ggctgtggatc cccccgtcactt aacagagtttca aacaggggag agtgc	645

&lt;210&gt; 37

&lt;211&gt; 441

&lt;212&gt; PRT

&lt;213&gt; Sequência Artificial

&lt;220&gt;

&lt;223&gt; Construção Sintética

&lt;400&gt; 37

Gln Val Gln Leu Val Gln Ser Gly Ala Glu Val Lys Lys Pro Gly Ser			
1	5	10	15

Ser Val Lys Val Ser Cys Lys Ala Ser Gly Tyr Thr Phe Thr Ser Arg

20

25

30

Tyr Ile His Trp Val Arg Gln Ala Pro Gly Gln Gly Leu Glu Trp Met  
 35                          40                          45

Gly Trp Ile Tyr Pro Val Thr Gly Asp Thr Tyr Tyr Asn Glu Lys Phe  
 50                          55                          60

Lys Gly Arg Val Thr Ile Thr Ala Asp Lys Ser Thr Ser Thr Ala Tyr  
 65                          70                          75                          80

Met Glu Leu Ser Ser Leu Arg Ser Glu Asp Thr Ala Val Tyr Tyr Cys  
 85                          90                          95

Ala Arg Gly Tyr Gly Ala Phe Tyr Tyr Top Gly Gln Gly Thr Leu Val  
 100                        105                        110

Thr Val Ser Ser Ala Ser Thr Lys Gly Pro Ser Val Phe Pro Leu Ala  
 115                        120                        125

Pro Cys Ser Arg Ser Thr Ser Glu Ser Thr Ala Ala Leu Gly Cys Leu  
 130                        135                        140

Val Lys Asp Tyr Phe Pro Glu Pro Val Thr Val Ser Trp Asn Ser Gly  
 145                        150                        155                        160

Ala Leu Thr Ser Gly Val His Thr Phe Pro Ala Val Leu Gln Ser Ser  
 165                        170                        175

Gly Leu Tyr Ser Leu Ser Ser Val Val Thr Val Pro Ser Ser Asn Phe  
 180                        185                        190

Gly Thr Gln Thr Tyr Thr Cys Asn Val Asp His Lys Pro Ser Asn Thr  
 195                        200                        205

Lys Val Asp Lys Thr Val Gln Arg Lys Cys Cys Val Gln Cys Pro Pro  
 210                        215                        220

Cys Pro Ala Pro Pro Val Ala Gly Pro Ser Val Phe Leu Phe Pro Pro  
 225                        230                        235                        240

Lys Pro Lys Asp Thr Leu Met Ile Ser Arg Thr Pro Glu Val Thr Cys  
 245                        250                        255

Val Val Val Asp Val Ser His Glu Asp Pro Glu Val Gln Phe Asn Trp  
 260                        265                        270

Tyr Val Asp Gly Met Glu Val His Asn Ala Lys Thr Lys Pro Arg Glu  
 275                        280                        285

Glu Gln Phe Asn Ser Thr Phe Arg Val Val Ser Val Leu Thr Val Val  
 290                            295                            300

His Gln Asp Trp Leu Asn Gly Lys Glu Tyr Lys Cys Lys Val Ser Asn  
 305                            310                            315                            320

Lys Gly Leu Pro Ala Pro Ile Glu Lys Thr Ile Ser Lys Thr Lys Gly  
 325                            330                            335

Gln Pro Arg Glu Pro Gln Val Tyr Thr Leu Pro Pro Ser Arg Glu Glu  
 340                            345                            350

Met Thr Iys Asn Gln Val Ser Leu Thr Cys Leu Val Lys Gly Phe Tyr  
 355                            360                            365

Pro Ser Asp Ile Ala Val Glu Trp Glu Ser Asn Gln Pro Glu Asn  
 370                            375                            380

Asn Tyr Lys Thr Thr Pro Pro Met Leu Asp Ser Asp Gly Ser Phe Phe  
 385                            390                            395                            400

Leu Tyr Ser Lys Leu Thr Val Asp Lys Ser Arg Trp Gln Gln Gly Asn  
 405                            410                            415

Val Phe Ser Cys Ser Val Met His Glu Ala Leu His Asn His Tyr Thr  
 420                            425                            430

Gln Lys Ser Leu Ser Leu Ser Pro Gly  
 435                            440

<210> 38

<211> 441

<212> PRT

<213> Sequência Artificial

<220>

<223> Construção Sintética

<400> 38

Gln Val Gln Leu Val Gln Ser Gly Ala Glu Val Lys Lys Pro Gly Ser  
 1                            5                            10                            15

Ser Val Lys Val Ser Cys Lys Ala Ser Gly Tyr Thr Phe Thr Ser Arg  
 20                            25                            30

Tyr Ile His Trp Val Arg Gln Ala Pro Gly Gln Gly Leu Glu Trp Met  
 35                            40                            45

Gly Trp Ile Tyr Pro Val Thr Gly Asp Thr Tyr Tyr Ile Glu Lys Phe

50	55	60													
Lys	Gly	Arg	Val	Thr	Ile	Thr	Ala	Asp	Lys	Ser	Thr	Ser	Thr	Ala	Tyr
65					70				75					80	
Met	Glu	Leu	Ser	Ser	Leu	Arg	Ser	Glu	Asp	Thr	Ala	Val	Tyr	Tyr	Cys
	85					90							95		
Ala	Arg	Gly	Tyr	Gly	Ala	Phe	Phe	Tyr	Trp	Gly	Gln	Gly	Thr	Leu	Val
	100					105							110		
Thr	Val	Ser	Ser	Ala	Ser	Thr	Lys	Gly	Pro	Ser	Val	Phe	Pro	Leu	Ala
	115					120							125		
Pro	Cys	Ser	Arg	Ser	Thr	Ser	Glu	Ser	Thr	Ala	Ala	Leu	Gly	Cys	Leu
	130					135							140		
Val	Lys	Asp	Tyr	Phe	Pro	Glu	Pro	Val	Thr	Val	Ser	Trp	Asn	Ser	Gly
	145					150			155				160		
Ala	Leu	Thr	Ser	Gly	Val	His	Thr	Phe	Pro	Ala	Val	Leu	Gln	Ser	Ser
	165					170							175		
Gly	Leu	Tyr	Ser	Leu	Ser	Ser	Val	Val	Thr	Val	Pro	Ser	Ser	Asn	Phe
	180					185							190		
Gly	Thr	Gln	Thr	Tyr	Thr	Cys	Asn	Val	Asp	His	Lys	Pro	Ser	Asn	Thr
	195					200							205		
Lys	Val	Asp	Lys	Thr	Val	Glu	Arg	Lys	Cys	Cys	Val	Glu	Cys	Pro	Pro
	210					215							220		
Cys	Pro	Ala	Pro	Pro	Val	Ala	Gly	Pro	Ser	Val	Phe	Leu	Phe	Pro	Pro
	225					230							235		240
Lys	Pro	Lys	Asp	Thr	Leu	Met	Ile	Ser	Arg	Thr	Pro	Glu	Val	Thr	Cys
	245					250							255		
Val	Val	Val	Asp	Val	Ser	His	Glu	Asp	Pro	Glu	Val	Gln	Phe	Asn	Trp
	260					265							270		
Tyr	Val	Asp	Gly	Met	Glu	Val	His	Asn	Ala	Lys	Thr	Lys	Pro	Arg	Glu
	275					280							285		
Glu	Gln	Phe	Asn	Ser	Thr	Phe	Arg	Val	Val	Ser	Val	Leu	Thr	Val	Val
	290					295							300		
His	Gln	Asp	Trp	Leu	Asn	Gly	Lys	Glu	Tyr	Lys	Cys	Lys	Val	Ser	Asn
	305					310							315		320

Lys Gly Leu Pro Ala Pro Ile Glu Lys Thr Ile Ser Lys Thr Lys Gly  
 325   330   335

Gln Pro Arg Glu Pro Gln Val Tyr Thr Leu Pro Pro Ser Arg Glu Glu  
 340   345   350

Met Thr Lys Asn Gln Val Ser Leu Thr Cys Leu Val Lys Gly Phe Tyr  
 355   360   365

Pro Ser Asp Ile Ala Val Glu Trp Glu Ser Asn Gly Gln Pro Glu Asn  
 370   375   380

Asn Tyr Lys Thr Thr Pro Pro Met Leu Asp Ser Asp Gly Ser Phe Phe  
 395   400

Leu Tyr Ser Lys Leu Thr Val Asp Lys Ser Arg Trp Gln Gln Gly Asn  
 405   410   415

Val Phe Ser Cys Ser Val Met His Glu Ala Leu His Asn His Tyr Thr  
 420   425   430

Gln Lys Ser Leu Ser Leu Ser Pro Gly  
 435   440

<210> 39

<211> 441

<212> PRT

<213> Sequência Artificial

<220>

<223> Construção Sintética

<400> 39

Gln Val Gln Leu Val Gln Ser Gly Ala Glu Val Lys Lys Pro Gly Ser  
 1   5   10   15

Ser Val Lys Val Ser Cys Lys Ala Ser Gly Tyr Thr Phe Thr Ser Arg  
 20   25   30

Tyr Ile His Trp Val Arg Gln Ala Pro Gly Gln Gly Leu Glu Trp Met  
 35   40   45

Gly Trp Ile Tyr Pro Val Thr Gly Asp Thr Tyr Tyr Arg Glu Pro Phe  
 50   55   60

Lys Gly Arg Val Thr Ile Thr Ala Asp Lys Ser Thr Ser Thr Ala Tyr  
 65   70   75   80

Met Glu Leu Ser Ser Leu Arg Ser Glu Asp Thr Ala Val Tyr Tyr Cys

350  
 345  
 340  
 335  
 330  
 325  
 320  
 315  
 310  
 305  
 300  
 295  
 290  
 285  
 280  
 275  
 270  
 265  
 260  
 255  
 250  
 245  
 240  
 235  
 230  
 225  
 220  
 215  
 210  
 205  
 200  
 195  
 190  
 185  
 180  
 175  
 170  
 165  
 160  
 155  
 150  
 145  
 140  
 135  
 130  
 125  
 120  
 115  
 110  
 105  
 100  
 95  
 90  
 85

350  
 345  
 340  
 335  
 330  
 325  
 320  
 315  
 310  
 305  
 300  
 295  
 290  
 285  
 280  
 275  
 270  
 265  
 260  
 255  
 250  
 245  
 240  
 235  
 230  
 225  
 220  
 215  
 210  
 205  
 200  
 195  
 190  
 185  
 180  
 175  
 170  
 165  
 160  
 155  
 150  
 145  
 140  
 135  
 130  
 125  
 120  
 115  
 110  
 105  
 100  
 95  
 90  
 85

Met Thr Lys Asn Gln Val Ser Leu Thr Cys Leu Val Lys Gly Phe Tyr  
355 360 365

Pro Ser Asp Ile Ala Val Glu Trp Glu Ser Asn Gly Gln Pro Glu Asn  
370 375 380

Asn Tyr Lys Thr Thr Pro Pro Met Leu Asp Ser Asp Gly Ser Phe Phe  
385 390 395 400

Leu Tyr Ser Lys Leu Thr Val Asp Lys Ser Arg Trp Gln Gln Gly Asn  
405 410 415

Val Phe Ser Cys Ser Val Met His Glu Ala Leu His Asn His Tyr Thr  
420 425 430

Gln Lys Ser Leu Ser Leu Ser Pro Gly  
435 440

<210> 40

<211> 440

<212> PRT

<213> Sequência Artificial

<220>

<223> Construção Sintética

<400> 40

Gln Val Gln Leu Val Gln Ser Gly Ala Glu Val Lys Lys Pro Gly Ala  
1 5 10 15

Ser Val Lys Val Ser Cys Lys Ala Ser Gly Tyr Thr Phe Thr Asp Tyr  
20 25 30

Tyr Met His Trp Val Arg Gln Ala Pro Gly Gln Gly Leu Glu Trp Met  
35 40 45

Gly Arg Val Asn Pro Asn Arg Gly Gly Thr Thr Tyr Asn Gln Lys Phe  
50 55 60

Glu Gly Arg Val Thr Met Thr Thr Asp Thr Ser Thr Ser Thr Ala Tyr  
65 70 75 80

Met Glu Leu Arg Ser Leu Arg Ser Asp Asp Thr Ala Val Tyr Tyr Cys  
85 90 95

Ala Arg Thr Asn Trp Leu Asp Tyr Trp Gly Gln Gly Thr Thr Val Thr  
100 105 110

Val Ser Ser Ala Ser Thr Lys Gly Pro Ser Val Phe Pro Leu Ala Pro

115	120	125
Cys Ser Arg Ser Thr Ser Glu Ser Thr Ala Ala Leu Gly Cys Leu Val		
130	135	140
Leu Asp Tyr Phe Pro Glu Pro Val Thr Val Ser Trp Asn Ser Gly Ala		
145	150	155
Leu Thr Ser Gly Val His Thr Phe Pro Ala Val Leu Gln Ser Ser Gly		
165	170	175
Leu Tyr Ser Leu Ser Ser Val Val Thr Val Pro Ser Ser Asn Phe Gly		
180	185	190
Thr Gln Thr Tyr Thr Cys Asn Val Asp His Lys Pro Ser Asn Thr Lys		
195	200	205
Val Asp Lys Thr Val Glu Arg Lys Cys Cys Val Glu Cys Pro Pro Cys		
210	215	220
Pro Ala Pro Pro Val Ala Gly Pro Ser Val Phe Leu Phe Pro Pro Lys		
225	230	235
Pro Lys Asp Thr Leu Met Ile Ser Arg Thr Pro Glu Val Thr Cys Val		
245	250	255
Val Val Asp Val Ser His Glu Asp Pro Glu Val Gln Phe Asn Trp Tyr		
260	265	270
Val Asp Gly Met Glu Val His Asn Ala Lys Thr Lys Pro Arg Glu Glu		
275	280	285
Gln Phe Asn Ser Thr Phe Arg Val Val Ser Val Leu Thr Val Val His		
290	295	300
Gln Asp Trp Leu Asn Gly Lys Glu Tyr Lys Cys Lys Val Ser Asn Lys		
305	310	315
Gly Leu Pro Ala Pro Ile Glu Lys Thr Ile Ser Lys Thr Lys Gly Gln		
325	330	335
Pro Arg Glu Pro Gln Val Tyr Thr Leu Pro Pro Ser Arg Glu Glu Met		
340	345	350
Thr Lys Asn Gln Val Ser Leu Thr Cys Leu Val Lys Gly Phe Tyr Pro		
355	360	365
Ser Asp Ile Ala Val Glu Trp Glu Ser Asn Gly Gln Pro Glu Asn Asn		
370	375	380

Tyr Lys Thr Thr Pro Pro Met Leu Asp Ser Asp Gly Ser Phe Phe Leu  
 385    390    395    400

Tyr Ser Lys Leu Thr Val Asp Lys Ser Arg Trp Gln Gln Gly Asn Val  
 405    410    415

Phe Ser Cys Ser Val Met His Glu Ala Leu His Asn His Tyr Thr Gln  
 420    425    430

Lys Ser Leu Ser Leu Ser Pro Gly  
 435    440

<210> 41

<211> 440

<212> PRT

<213> Sequência Artificial

<220>

<223> Construção Sintética

<400> 41

Gln Val Gln Leu Val Gln Ser Gly Ala Glu Val Lys Lys Pro Gly Ala  
 1    5    10    15

Ser Val Lys Val Ser Cys Iys Ala Ser Gly Tyr Thr Phe Thr Asp Tyr  
 20    25    30

Tyr Met His Trp Val Arg Gln Ala Pro Gly Gln Gly Leu Glu Trp Met  
 35    40    45

Gly Arg Val Asn Pro Asn Arg Arg Gly Thr Thr Tyr Asn Gln Lys Phe  
 50    55    60

Glu Gly Arg Val Thr Met Thr Thr Asp Thr Ser Thr Ser Thr Ala Tyr  
 65    70    75    80

Met Glu Leu Arg Ser Leu Arg Ser Asp Asp Thr Ala Val Tyr Tyr Cys  
 85    90    95

Ala Arg Ala Asn Trp Leu Asp Tyr Trp Gly Gln Gly Thr Thr Val Thr  
 100    105    110

Val Ser Ser Ala Ser Thr Lys Gly Pro Ser Val Phe Pro Leu Ala Pro  
 115    120    125

Cys Ser Arg Ser Thr Ser Glu Ser Thr Ala Ala Leu Gly Cys Leu Val  
 130    135    140

Lys Asp Tyr Phe Pro Glu Pro Val Thr Val Ser Trp Asn Ser Gly Ala

145	150	155	160
Leu Thr Ser Gly Val His Thr Phe Pro Ala Val Leu Gln Ser Ser Gly			
165		170	175
Leu Tyr Ser Leu Ser Ser Val Val Thr Val Pro Ser Ser Asn Phe Gly			
180		185	190
Thr Gln Thr Tyr Thr Cys Asn Val Asp His Lys Pro Ser Asn Thr Lys			
195		200	205
Val Asp Lys Thr Val Glu Arg Lys Cys Cys Val Glu Cys Pro Pro Cys			
210		215	220
Pro Ala Pro Pro Val Ala Gly Pro Ser Val Phe Leu Phe Pro Pro Lys			
225		230	235
Phe Lys Asp Thr Leu Met Ile Ser Arg Thr Pro Glu Val Thr Cys Val			
245		250	255
Val Val Asp Val Ser His Glu Asp Pro Glu Val Gln Phe Asn Trp Tyr			
260		265	270
Val Asp Gly Met Glu Val His Asn Ala Lys Thr Lys Pro Arg Glu Glu			
275		280	285
Gln Phe Asn Ser Thr Phe Arg Val Val Ser Val Leu Thr Val Val His			
290		295	300
Gln Asp Trp Leu Asn Gly Lys Glu Tyr Lys Cys Lys Val Ser Asn Lys			
305		310	315
Gly Leu Pro Ala Pro Ile Glu Lys Thr Ile Ser Lys Thr Lys Gly Gln			
325		330	335
Pro Arg Glu Pro Gln Val Tyr Thr Leu Pro Pro Ser Arg Glu Glu Met			
340		345	350
Thr Lys Asn Gln Val Ser Leu Thr Cys Leu Val Lys Gly Phe Tyr Pro			
355		360	365
Ser Asp Ile Ala Val Glu Trp Glu Ser Asn Gly Gln Pro Glu Asn Asn			
370		375	380
Tyr Lys Thr Thr Pro Pro Met Leu Asp Ser Asp Gly Ser Phe Phe Leu			
385		390	395
Tyr Ser Lys Leu Thr Val Asp Lys Ser Arg Trp Gln Gln Gly Asn Val			
405		410	415

Phe Ser Cys Ser Val Met His Glu Ala Leu His Asn His Tyr Thr Gln  
420 425 430

Lys Ser Leu Ser Leu Ser Pro Gly  
435 440

<210> 42

<211> 440

<212> PRT

<213> Sequência Artificial

<220>

<223> Construção Sintética

<400> 42

Gln Val Gln Leu Val Gln Ser Gly Ala Glu Val Lys Lys Pro Gly Ala  
1 5 10 15

Ser Val Lys Val Ser Cys Lys Ala Ser Gly Tyr Thr Phe Thr Asp Tyr  
20 25 30

Tyr Met His Trp Val Arg Gln Ala Pro Gly Gln Gly Leu Glu Trp Met  
35 40 45

Gly Arg Val Asn Pro Tyr Arg Gly Ser Thr Thr Tyr Asn Gln Lys Phe  
50 55 60

Glu Gly Arg Val Thr Met Thr Thr Asp Thr Ser Thr Ser Thr Ala Tyr  
65 70 75 80

Met Glu Leu Arg Ser Leu Arg Ser Asp Asp Thr Ala Val Tyr Tyr Cys  
85 90 95

Ala Arg Ala Asn Ile Leu Asp Tyr Trp Gly Gln Gly Thr Thr Val Thr  
100 105 110

Val Ser Ser Ala Ser Thr Lys Gly Pro Ser Val Phe Pro Leu Ala Pro  
115 120 125

Cys Ser Arg Ser Thr Ser Glu Ser Thr Ala Ala Leu Gly Cys Leu Val  
130 135 140

Lys Asp Tyr Phe Pro Glu Pro Val Thr Val Ser Trp Asn Ser Gly Ala  
145 150 155 160

Leu Thr Ser Gly Val His Thr Phe Pro Ala Val Leu Gln Ser Ser Gly  
165 170 175

Ieu Tyr Ser Leu Ser Ser Val Val Thr Val Pro Ser Ser Asn Phe Gly

180	185	190
Thr Glu Thr Tyr Thr Cys Asn Val Asp His Lys Pro Ser Asn Thr Lys		
195	200	205
Val Asp Lys Thr Val Glu Arg Lys Cys Cys Val Glu Cys Pro Pro Cys		
210	215	220
Pro Ala Pro Pro Val Ala Gly Pro Ser Val Phe Leu Phe Pro Pro Lys		
225	230	235
Pro Lys Asp Thr Leu Met Ile Ser Arg Thr Pro Glu Val Thr Cys Val		
245	250	255
Val Val Asp Val Ser His Glu Asp Pro Glu Val Gln Phe Asn Trp Tyr		
260	265	270
Val Asp Gly Met Glu Val His Asn Ala Lys Thr Lys Pro Arg Glu Glu		
275	280	285
Gln Phe Asn Ser Thr Phe Arg Val Val Ser Val Leu Thr Val Val His		
290	295	300
Gln Asp Trp Leu Asn Gly Lys Glu Tyr Lys Cys Lys Val Ser Asn Lys		
305	310	315
Gly Leu Pro Ala Pro Ile Glu Lys Thr Ile Ser Lys Thr Lys Gly Gln		
325	330	335
Pro Arg Glu Pro Gln Val Tyr Thr Leu Pro Pro Ser Arg Glu Glu Met		
340	345	350
Thr Lys Asn Gln Val Ser Leu Thr Cys Leu Val Lys Gly Phe Tyr Pro		
355	360	365
Ser Asp Ile Ala Val Glu Trp Glu Ser Asn Gly Gln Pro Glu Asn Asn		
370	375	380
Tyr Lys Thr Thr Pro Pro Met Leu Asp Ser Asp Gly Ser Phe Phe Leu		
385	390	395
Tyr Ser Lys Leu Thr Val Asp Lys Ser Arg Trp Gln Gln Gly Asn Val		
405	410	415
Phe Ser Cys Ser Val Met His Glu Ala Leu His Asn His Tyr Thr Gln		
420	425	430
Lys Ser Leu Ser Leu Ser Pro Gly		
435	440	

```
<210> 43  
<211> 1323  
<212> ADN  
<213> Sequência Artificial
```

<220>  
<223> Construção Sintética

<400> 43	cagggtgcagtc tgggtgcagtc tggggctqag gtgaagaaggc ctgggttcata ggtqaaggc tccatgtcaagg ctttcggata cacatttcacg agtaggtata tacactgggt gogacacggcc ccctggacaaag ggcttbqagtq gacgggtatq atttatccatq taactgggtqa tacttactac aacggagaagt tcaaggggcag agtcaacgatt accggggacc aatccacgag cacagoctac atggagatgtg caagecctgag atctggggcc acggccgtgt attactgtgc gqgaggtat ggggatttttt actactgggg ccacgggcacc ctggtcaccc ttcactccgc ctccaccaag ggcccatcgq tcttcccgat agcggccatgc tccaggagca ctccggagag cacagccggc cteggtctgca tggtcasagga ctatccatccca gaacogggtga cggtgtctgtg gaactcaggc gccctgacca ggggggtgca cacatcccg atgttcctac atgttcctagg atcttactcc ctcaggcagcg tgggtgaccgt gcccctccgc aacttcggca cccagaccta cacctggcaac gtagatcaca agccccagaa caccaagggtg gacaagacag ttgagcgcac atgttgtgtc gagtgccccac cgtgcacccgc accacccgtg gcaaggaccgt cagttttttt ctccccc aaaccccaagg acaccctcat gatctccgg accccctgagg tcaacgtgtgtt ggtgggtggac gtgagccacg aagaccccgaa ggttcccgatc aacttggtaaq tggacggcat ggaggtgcac atgtccatcga casagcccaag qgagggagcag ttcacccagca cgttcccgatc ggtcagccgtc ctccacccgtcg tggcccccggc ctgggtgtcac gycacaggatg tcaacgtgcac ggttcctccaaac aaaggccctcc cggccccat cggaaaazacc atctccatcaa ccaaaaggccca gccccccggaa ccacagggtgt acaccctgtcc cccatcccg gaggagatgc ccaagccca ggtcaacccgt acccgtccgg tcaaaagggtt ctaccatccgc gacatccggc tggaggtgggg gggccatgggg caggccggaga acaacttacaa gaccacccatc cccatccgtgg acctccggccggc ctccatcc ctccatccgc aqgtccacccgtt gggacacggc aggtggccagc agggggaaagt ctatccatgc tccgtgtatgc atgaggtctt gcaacaaccac tacacacacaga agagcccttc cctgttcccg ggc	50
	120	
	180	
	240	
	300	
	360	
	420	
	480	
	540	
	600	
	660	
	720	
	780	
	840	
	900	
	960	
	1020	
	1080	
	1140	
	1200	
	1260	
	1320	
	1380	

```
<210> 44  
<211> 1323  
<212> ADN  
<213> Sequência Artificial
```

<220>  
<223> Construção Sintética

<400> 44  
 caggtgcagc tggtgacgtc tggggatgag gtgaagaagc ctgggttctc ggtgtggc  
 60  
 ttcgtcaagg cttctggata cacccatcaca agtaggtata tacactgggt ggcacaggcc  
 120  
 ctggacaag ggcttgatgt gatggatgg atttatctg taactggta tacttactac  
 180  
 atcgagaagt tcaagggcag agtcaacgatt accggggaca aatccacgag cacagccctac  
 240  
 atggagctgtc gcacgcctgag atctgaggac acggccgtgt ttatctgtgc gggggctat  
 300  
 ggtgtttttt tttttttttt ccaggccacc ctgttcacccg tttttttttt ctccaccaag  
 360  
 ggccatcgg tttttttttt tttttttttt tttttttttt tttttttttt tttttttttt  
 420  
 ctgggttgtc tgggtcaagga ttatccccc gaaacgggtga cgggtgtgtg gaaatcaggc  
 480  
 gcccgtacca gggccgtgtc cacccatcgg gttttttttt tttttttttt tttttttttt  
 540  
 ctcaatcgg tggtgaccgt gcccgtccgc aatccggca cccagaccta cacctgcac  
 600  
 gtagatcaca agccccagcaa caccaagggtg gacaagacag ttgagggcaaa atgttgtgtc  
 660  
 gagttttttt tttttttttt tttttttttt tttttttttt tttttttttt tttttttttt  
 720  
 aaacccaaagg acacccatcat gatctccgg accccatgggg ttacgtgtgtt ggtgggtggac  
 780  
 gtggggccatcgg aagacccatgggg ggtccggatcc aatgggttacg tggacggcat ggaggtgtcat  
 840  
 aatggccatcgg aatggccatcgg ggaggaggcat tttttttttt tttttttttt tttttttttt  
 900  
 ctccatcgg tttttttttt tttttttttt tttttttttt tttttttttt tttttttttt  
 960  
 aaaggccatcgg aatggccatcgg aatggccatcgg aatggccatcgg aatggccatcgg  
 1020  
 ccacatcgg tttttttttt tttttttttt tttttttttt tttttttttt tttttttttt  
 1080  
 acatcgg tttttttttt tttttttttt tttttttttt tttttttttt tttttttttt  
 1140  
 cttttttttt tttttttttt tttttttttt tttttttttt tttttttttt tttttttttt  
 1200  
 ctatcgg tttttttttt tttttttttt tttttttttt tttttttttt tttttttttt  
 1260  
 tttttttttt tttttttttt tttttttttt tttttttttt tttttttttt tttttttttt  
 1320  
 ggt  
 1323

&lt;210&gt; 45

&lt;211&gt; 1323

&lt;212&gt; ADN

&lt;213&gt; Sequência Artificial

&lt;220&gt;

&lt;223&gt; Construção Sintética

<400> 45  
 caggtgcagc tggtgacgtc tggggatgag gtgaagaagc ctgggttctc ggtgtggc  
 60  
 ttcgtcaagg cttctggata cacccatcaca agtaggtata tacactgggt ggcacaggcc  
 120  
 ctggacaag ggcttgatgt gatggatgg atttatctg taactggta tacttactac  
 180  
 agagagccatcgg aatggccatcgg aatggccatcgg aatggccatcgg aatggccatcgg  
 240

atggagctgtgc acggccgtgt attactgtgc gagaggctac 300  
 ggacctttt actactgggg ccaggcacc ctggtcacccg ttccttgcg ctcaccaag 360  
 ggccatcggt ttcccccgt agcgccctgc tccaggagca ccicccgagag cacagccggc 420  
 ctgggtgtcc tggtcaggaa ctacttcccc gaaacggtga cggtgtatgtg gaacttaggc 480  
 gcccgtacca ggggggtgtca caccctccccg gctgttcctac agtccctcagg acttatactac 540  
 ctcaacggcg tggtgaccgt gcccctccgc accctcgca cccagaccta caccgtccac 600  
 gtatgttcaca acggccagca ccccaagggtg gacaagacag ttggatggca atgttggtc 660  
 gagttggccac cgtggccaggc accacctgtg gcaaggccgt cagtcttact cttcccccac 720  
 aaacccaagg acacccctcat gatctccgg accccctgagg tcaatgtgggt ggtgggtggac 780  
 gtggggccacg aqgaccccg aqgtccatgtc accctggtacg tggacggcat ggaggtgcac 840  
 aatggcccaaga caaagccacg ggaggaggcag ttcaacagca cgttccgtgt ggtcaacgtc 900  
 ctcacccgtcg tgcacccaggaa ctgggtgttgc ggcaaggagt accaatgtcaas ggtctccaaac 960  
 aaaggccctcc cagccccat cgagaaaaacc atctccaaaa ccaaaaggca gccccggagaa 1020  
 ccacagggtt accaccctgcg cccatccgg gaggagatga ccaagaacca ggtcaaggctg 1080  
 accctggctgg tcaaaaggctt ctacccctcgcg gacatcgcgg tggagtggga gagcaatggg 1140  
 cagccggaga accaaatcaa gaccacaccc accatgtctgg accccggacgg ctccttcttc 1200  
 ctatcacgca agtcaacccgt ggacaagagc aggtggcagc agggggacgt ttatcatgc 1260  
 tcgtgtatgc atgagggtctt gcaacaaccac tacacacacaga agaggctctc cctgttcgg  
 ggt  
 1323

&lt;210&gt; 46

&lt;211&gt; 1323

&lt;212&gt; ADN

&lt;213&gt; Sequência Artificial

&lt;220&gt;

&lt;223&gt; Construção Sintética

&lt;400&gt; 46

caggttcage tggtgccatgc tggtgctgtgg gttggaaaggc ctgggtgcctc agtgaaggcc 60  
 ttctgcagg cttctgggtta cacccttacc gactactaca tgcactgggt ggttcaggcc 120  
 ctgggtcaag gtcttggatgt gatgggtcggt gttaatccca accgggggtgg tactacccac 180  
 aaccagaaat tggaggggccg tggtaaccatcg accacacgaca catccacgag cacagccatc 240  
 atggagctgc gtatgttcgcg ttctgtggac accggccgtgt attactgtgc ggttacggac 300  
 tggcttgact actggggccca gggcaccacc gtcacacgtctt ctcttgcctc caccacggcc 360  
 ccacccgttat tccctgttcgc gccctgttcgc aggacccatcg ccgtggccac agccggccctg 420  
 ggctgttcgtgg tcaaggacta ctccccggaa ccgggtgtacgg tggatggaa ctcaggccgc 480

ctgaccaggcg	gcgtgcacac	cttccccgtt	gtccctacagt	cctcaggact	ctactccctc	540
agcagegtgg	tgaccgtgcc	ctccagcage	ttggggcacga	agacatcacac	ctgcacacgtt	600
gatcacaaggc	ccagcaacac	caagggtggac	aaggaggttg	agtccaaata	tggtccccca	660
tgcccacccat	gccccagcacc	tgaggcdgac	gggggacdat	cagtcttcct	gttcccccca	720
aaacccaaagg	acactctcat	gatctccccgg	acccctgagg	tcacgtgcgt	ggtgtgggac	780
gtgagccagg	aagaccccgta	ggtccagttt	aactggtaac	tggatggcgt	gggggtqcat	840
aatgccaaga	caaagccgcg	ggaggagcag	ttcaacacga	cgtacccgtt	ggtcagcgta	900
ctcacccgtcc	tgcacccaggta	ctggctgaac	ggcaaggagt	acaaatgtca	ggtctccaaac	960
aaaggccctcc	cgatctccat	cgagaaaaacc	atctccaaag	ccaaaggggca	gccccgagag	1020
ccacagggtt	acacccctgcc	ccatccccag	gaggagatga	ccaaagaaacca	ggtcagccctg	1080
acdtgcetgg	tcaaaggcatt	ctaccccdgc	gacatcgccg	tggagtggga	aagdaatggg	1140
cagccggaga	acaaatcacaa	gaccacgeet	ccctgtgtgg	atccggangg	ctcttttttc	1200
ctctacacgc	ggctaaccgt	ggacaagagc	agggtggcagg	aggggaatgt	tttataatgc	1260
tcctgtatgc	atgaggctct	gcacaacccac	tacacacaga	agagcccttc	ctgttatctg	1320
ggt						1323

&lt;210&gt; 47

&lt;211&gt; 1323

&lt;212&gt; ADN

&lt;213&gt; Sequência Artificial

&lt;220&gt;

&lt;223&gt; Construção Sintética

&lt;400&gt; 47

cagggttcaggc	tgggtgcagtc	tgggtgtcgag	gtgtaaaggcgc	ctgggtgcctc	agtgtaaaggta	60
tcctgtcaagg	cttctgggtta	cacatccat	gactactaca	tgcactgggt	gggtcaaggcc	120
cctggtcagg	gttttgatgt	gttgggtcggt	gttaatccctt	acgggggggg	tactacccat	180
acccagaaat	tccggggccg	tgtcaccatg	accacacgaca	catccacgag	caacgcctac	240
atggagctgc	gtatgcctgc	ttctgtacgac	acggccgtgt	attactgtgc	gggtgcggac	300
tggcttgact	atgggggcca	gggcaccacc	gtcacccgtct	cttcggccctc	caccaaggcc	360
ccatcggtct	tcodgtctgt	gcctgtgttc	aggagccatct	ccggagggcc	ggccggccctg	420
ggctgtctgg	tcaaggacta	tttccccggaa	ccgggtgacgg	tgtgtgtggaa	ctcaggccgc	480
ctgaccaggcg	gcgtgcacac	cttccccgtt	gttcacatgt	cctcaggact	ctactccatc	540
agcagccgtgg	tgaccgtgcc	ctccagcage	ttggggcacga	agacatcacac	ctgcacacgtt	600
gatcacaaggc	ccagcaacac	caagggtggac	aaggaggttg	agtccaaata	tggtccccca	660
tgcccacccat	gccccagcacc	gggggacdat	cagtcttcct	gttcccccca	aaacccaaagg	720
aaacccaaagg	acactctcat	gatctccccgg	acccctqagg	tcacgtgcgt	ggtgtgggac	780

gtgagccagg aagaccccga ggtccaggta aactggtacg tggatggcgt ggaggtgcac	840
aatgcacaaga caaagcccgcg ggaggaggcag ttcaacacgcg cgtaccgtgt ggtcagcgat	900
ctcacccgtcc tgcaccaggaa ctggctgaac ggcaaggagt acaagtgcac ggttccaaac	960
aaaggccatcc cgttccatccat cgagaaaaacc atctccasag cc当地ggcag gccccggagag	1020
ccacagggtgt acaccctgcc cccatccccag gaggagatga ccaagaacca ggtcagccgt	1080
acatgtttgg tcaaaaggatt ctaccccgac gacatcgccg tggatgggaa aagcaatggg	1140
cagccggaga acaactacaa gaccacgcct cccgtgttgttcc acatcccgacgg ctcttttttc	1200
cttacacgcg cgttccatccat ggacaaaggac aggtggcagg agyggaaatgt ttcttcatgc	1260
tccgttatgc atgaggatct gcacaacccac tacacacaga agagcccttc acatgttttg	1320
<b>ggt</b>	<b>1323</b>

&lt;210&gt; 48

&lt;211&gt; 1323

&lt;212&gt; ADN

&lt;213&gt; Sequência Artificial

&lt;220&gt;

&lt;223&gt; Construção Sintética

&lt;400&gt; 48

caggttcagg tggtgccgtc tggtgccgtg gtgaagaaggc ctggtgccgtc agtgaaggta	60
tccatgcagg ctatgtgttca cacatccatc gactactaca tgcactgggt ggttccggcc	120
cctggtcaag gtcttgatgt gatgggtgtt gttatccatc atgggggttag tactactac	180
saccagaaat tccggggccg tgcaccatc accacagaca catccadgag cacagccatc	240
atggagctgc gtatccgtcg ttatgtccac aegggcggtt attatgtgc ggttccggaa	300
attatgtact actggggccca gggccaccac gtcacccgtct cttccggccatc caccatggc	360
ccatccggat tcccgatgc gccctgtcc aggacccatc ccgtggccatc agccggccatc	420
ggctgttgttcc tcaaggacta ttccccccaa ccggtgacgg tgatgtggaa ctccggccac	480
ctgaccacgc gctgtccatccat cttccggat gtcctacatc ctcaggact ctatccatc	540
agcagccgtgg tgaccgtcc ctccggccatc ttggggccatc agtccatccatc ctgtccatc	600
gtatccatccatc ccggccatc ccggccatc aagatgttccatccatc tggatccatccatc	660
tggccatccatccatc gggccatc tgatccatccatc gggccatc tggatccatccatc	720
aaacccaaagg acactctcat gatctccatccatc aacccatccatc tcaatgtccatccatc	780
gtggccatccatccatc aagatgttccatccatc ggtccatccatccatc tggatggccatccatccatc	840
aatgcacaaga caaagcccgcg ggaggaggcag ttcaacacgcg cgtaccgtgt ggtcagccgt	900
ctcacccgtcc tgcaccaggaa ctggctgaac ggcaaggagt acaagtgcac ggttccaaac	960
aaaggccatcc cgttccatccatc cgagaaaaacc atctccaaag cc当地ggcag gccccggagag	1020

ccacaggtgt acaccctgcc cccatccccag gaggagatga ccsaqaaacca ggtcagcctg	1080
acctgcctgg tcaaaggcctt ctaccccagc gacatcgccg tggagtggga aagcaatggg	1140
cagccggaga acaactacaa gaccaacgtt ccgtgttgttgg actccggacgg ctcctttttc	1200
ctctacagca ggctaacatgtt ggacaagagc aggtggcagg aggggaatgtt ttctcatgc	1260
tccgtgtatgc atgaggctctt gaccaaccac taccacacaga agagacttcc catgtatctq	1320
<b>ggt</b>	<b>1323</b>

&lt;210&gt; 49

&lt;211&gt; 12

&lt;212&gt; PRT

&lt;213&gt; Sequência Artificial

&lt;220&gt;

&lt;223&gt; Construção Sintética

&lt;400&gt; 49

<b>Ser Val Ser Ser Ser Ser Ile Ser Ser Thr Asn Leu His</b>		
1	5	10

&lt;210&gt; 50

&lt;211&gt; 7

&lt;212&gt; PRT

&lt;213&gt; Sequência Artificial

&lt;220&gt;

&lt;223&gt; Construção Sintética

&lt;400&gt; 50

<b>Gly Thr Ser Tyr Leu Ala Ser</b>	
1	5

&lt;210&gt; 51

&lt;211&gt; 9

&lt;212&gt; PRT

&lt;213&gt; Sequência Artificial

&lt;220&gt;

&lt;223&gt; Construção Sintética

&lt;400&gt; 51

<b>Gln Gln Trp Ser Ser Tyr Pro Tyr Ser</b>	
1	5

&lt;210&gt; 52

&lt;211&gt; 7

&lt;212&gt; PRT

&lt;213&gt; Sequência Artificial

&lt;220&gt;

&lt;223&gt; Construção Sintética

&lt;400&gt; 52

**Gly Thr Ser Arg Leu Arg Ser**  
1                   5

<210> 53  
<211> 12  
<212> PRT  
<213> Sequência Artificial

<220>  
<223> Construção Sintética

<400> 53  
**Ser Val Ser Ser Ser Val Ser Ser Ile Tyr Leu His**  
1                   5                   10

<210> 54  
<211> 7  
<212> PRT  
<213> Sequência Artificial

<220>  
<223> Construção Sintética

<400> 54  
**Ser Thr Ser Asn Leu Ala Ser**  
1                   5

<210> 55  
<211> 9  
<212> PRT  
<213> Sequência Artificial

<220>  
<223> Construção Sintética

<400> 55  
**Ile Gln Tyr Ser Gly Tyr Pro Leu Thr**  
1                   5

<210> 56  
<211> 9  
<212> PRT  
<213> Sequência Artificial

<220>  
<223> Construção Sintética

<400> 56  
**Gln Val Tyr Ser Gly Tyr Pro Leu Thr**  
1                   5

<210> 57  
<211> 12  
<212> PRT  
<213> Sequência Artificial

&lt;220&gt;

&lt;223&gt; Construção Sintética

&lt;400&gt; 57

**Ser Val Ser Ser Ser Val Arg Ser Ile Tyr Leu His**  
1                   5                   10

&lt;210&gt; 58

&lt;211&gt; 9

&lt;212&gt; PRT

&lt;213&gt; Sequência Artificial

&lt;220&gt;

&lt;223&gt; Construção Sintética

&lt;400&gt; 58

**Gln Val Tyr Arg Gly Tyr Pro Leu Thr**  
1                   5

&lt;210&gt; 59

&lt;211&gt; 10

&lt;212&gt; PRT

&lt;213&gt; Sequência Artificial

&lt;220&gt;

&lt;223&gt; Construção Sintética

&lt;400&gt; 59

**Gly Tyr Thr Phe Thr Ser Arg Tyr Ile His**  
1                   5                   10

&lt;210&gt; 60

&lt;211&gt; 17

&lt;212&gt; PRT

&lt;213&gt; Sequência Artificial

&lt;220&gt;

&lt;223&gt; Construção Sintética

&lt;400&gt; 60

**Trp Ile Tyr Pro Val Thr Gly Asp Thr Tyr Tyr Asn Glu Lys Phe Lys**  
1                   5                   10                   15**Gly**

&lt;210&gt; 61

&lt;211&gt; 7

&lt;212&gt; PRT

&lt;213&gt; Sequência Artificial

&lt;220&gt;

&lt;223&gt; Construção Sintética

&lt;400&gt; 61

**Gly Tyr Gly Ala Phe Tyr Tyr**  
1           5

<210> 62  
<211> 17  
<212> PRT  
<213> Sequência Artificial

<220>  
<223> Construção Sintética

<400> 62  
**Trp Ile Tyr Pro Val Thr Gly Asp Thr Tyr Tyr Ile Glu Lys Phe Lys**  
1           5                   10                   15

**Gly**

<210> 63  
<211> 7  
<212> PRT  
<213> Sequência Artificial

<220>  
<223> Construção Sintética

<400> 63  
**Gly Tyr Gly Ala Phe Phe Tyr**  
1           5

<210> 64  
<211> 17  
<212> PRT  
<213> Sequência Artificial

<220>  
<223> Construção Sintética

<400> 64  
**Trp Ile Tyr Pro Val Thr Gly Asp Thr Tyr Tyr Arg Glu Pro Phe Lys**  
1           5                   10                   15

**Gly**

<210> 65  
<211> 10  
<212> PRT  
<213> Sequência Artificial

<220>  
<223> Construção Sintética

<400> 65

**Gly Tyr Thr Phe Thr Asp Tyr Tyr Met His**

1                    5                    10

<210> 66  
<211> 17  
<212> PRT  
<213> Sequência Artificial

<220>  
<223> Construção Sintética

<400> 66  
**Arg Val Asn Pro Asn Arg Gly Gly Thr Thr Tyr Asn Gln Lys Phe Glu**  
1                    5                    10                    15

**Gly**

<210> 67  
<211> 6  
<212> PRT  
<213> Sequência Artificial

<220>  
<223> Construção Sintética

<400> 67  
**Thr Asn Trp Leu Asp Tyr**  
1                    5

<210> 68  
<211> 17  
<212> PRT  
<213> Sequência Artificial

<220>  
<223> Construção Sintética

<400> 68  
**Arg Val Asn Pro Asn Arg Arg Gly Thr Thr Tyr Asn Gln Lys Phe Glu**  
1                    5                    10                    15

**Gly**

<210> 69  
<211> 6  
<212> PRT  
<213> Sequência Artificial

<220>  
<223> Construção Sintética

<400> 69  
**Ala Asn Trp Leu Asp Tyr**  
1                    5

<210> 70  
<211> 17  
<212> PRT  
<213> Sequência Artificial

<220>  
<223> Construção Sintética

<400> 70  
**Arg Val Asn Pro Tyr Arg Gly Ser Thr Thr Tyr Asn Gln Lys Phe Glu**  
1                   5                   10                   15

**Gly**

<210> 71  
<211> 6  
<212> PRT  
<213> Sequência Artificial

<220>  
<223> Construção Sintética

<400> 71  
**Ala Asn Ile Leu Asp Tyr**  
1                   5

<210> 72  
<211> 1192  
<212> PRT  
<213> *Homo sapiens*

<400> 72  
**Met Lys Ala Pro Ala Val Leu Ala Pro Gly Ile Leu Val Leu Leu Phe**  
1                   5                   10                   15

**Thr Leu Val Gln Arg Ser Asn Gly Glu Cys Lys Glu Ala Leu Ala Lys**  
20                   25                   30

**Ser Glu Met Asn Val Asn Met Lys Tyr Gln Leu Pro Asn Phe Thr Ala**  
35                   40                   45

**Glu Thr Pro Ile Gln Asn Val Ile Leu His Glu His His Ile Phe Leu**  
50                   55                   60

**Gly Ala Thr Asn Tyr Ile Tyr Val Leu Asn Glu Glu Asp Leu Gln Lys**  
65                   70                   75                   80

**Val Ala Glu Tyr Lys Thr Gly Pro Val Leu Glu His Pro Asp Cys Phe**  
85                   90                   95

Pro Cys Gln Asp Cys Ser Ser Lys Ala Asn Leu Ser Gly Gly Val Ile  
 100 105 110  
  
 Lys Asp Asn Ile Asn Met Ala Leu Val Val Asp Thr Tyr Tyr Asp Asp  
 115 120 125  
  
 Gln Leu Ile Ser Cys Gly Ser Val Asn Arg Gly Thr Cys Gln Arg His  
 130 135 140  
  
 Val Phe Pro His Asn His Thr Ala Asp Ile Gln Ser Glu Val His Cys  
 145 150 155 160  
  
 Ile Phe Ser Pro Gln Ile Glu Glu Pro Ser Gln Cys Pro Asp Cys Val  
 165 170 175  
  
 Val Ser Ala Leu Gly Ala Lys Val Leu Ser Ser Val Lys Asp Arg Phe  
 180 185 190  
  
 Ile Asn Phe Phe Val Gly Asn Thr Ile Asn Ser Ser Tyr Phe Pro Asp  
 195 200 205  
  
 His Pro Leu His Ser Ile Ser Val Arg Arg Leu Lys Glu Thr Lys Asp  
 210 215 220  
  
 Gly Phe Met Phe Leu Thr Asp Gln Ser Tyr Ile Asp Val Leu Pro Glu  
 225 230 235 240  
  
 Phe Arg Asp Ser Tyr Pro Ile Lys Tyr Val His Ala Phe Glu Ser Asn  
 245 250 255  
  
 Asn Phe Ile Tyr Phe Leu Thr Val Gln Arg Glu Thr Leu Asp Ala Gln  
 260 265 270  
  
 Thr Phe His Thr Arg Ile Ile Arg Phe Cys Ser Ile Asn Ser Gly Ile  
 275 280 285  
  
 His Ser Tyr Met Glu Met Pro Leu Glu Cys Ile Leu Thr Glu Lys Arg  
 290 295 300  
  
 Lys Lys Arg Ser Thr Ile Lys Glu Val Phe Asn Ile Leu Gln Ala Ala  
 305 310 315 320  
  
 Tyr Val Ser Ile Pro Gly Ala Gln Leu Ala Arg Gln Ile Gly Ala Ser  
 325 330 335  
  
 Leu Asn Asp Asp Ile Leu Phe Gly Val Phe Ala Gln Ser Lys Pro Asp  
 340 345 350  
  
 Ser Ala Glu Pro Met Asp Arg Ser Ala Met Cys Ala Phe Pro Ile Lys

355	360	365	
Tyr Val Asn Asp Phe Phe Asp Lys Ile Val Asn Asn Asn Val Arg 370	375	380	
Cys Leu Gln His Phe Tyr Gly Pro Asn His Glu His Cys Phe Asn Arg 395	390	395	400
Thr Leu Leu Arg Asn Ser Ser Gly Cys Glu Ala Arg Arg Asp Glu Tyr 405	410	415	
Arg Thr Glu Phe Thr Thr Ala Leu Gln Arg Val Asp Leu Phe Met Gly 420	425	430	
Gln Phe Ser Glu Val Leu Leu Thr Ser Ile Ser Thr Phe Ile Lys Gly 435	440	445	
Asp Leu Thr Ile Ala Asn Leu Gly Thr Ser Glu Gly Arg Phe Met Gln 450	455	460	
Val Val Val Ser Arg Ser Gly Pro Ser Thr Pro His Val Asn Phe Leu 465	470	475	480
Leu Asp Ser His Pro Val Ser Pro Glu Val Ile Val Glu His Thr Leu 485	490	495	
Asn Gln Asn Gly Tyr Thr Leu Val Ile Thr Gly Lys Lys Ile Thr Lys 500	505	510	
Ile Pro Leu Asn Gly Leu Gly Cys Arg His Phe Gln Ser Cys Ser Gln 515	520	525	
Cys Leu Ser Ala Pro Pro Phe Val Gln Cys Gly Trp Cys His Asp Lys 530	535	540	
Cys Val Arg Ser Glu Glu Cys Leu Ser Gly Thr Trp Thr Gln Gln Ile 545	550	555	560
Cys Leu Pro Ala Ile Tyr Lys Val Phe Pro Asn Ser Ala Pro Leu Glu 565	570	575	
Gly Gly Thr Arg Leu Thr Ile Cys Gly Trp Asp Phe Gly Phe Arg Arg 580	585	590	
Asn Asn Lys Phe Asp Leu Lys Lys Thr Arg Val Leu Leu Gly Asn Glu 595	600	605	
Ser Cys Thr Leu Thr Leu Ser Glu Ser Thr Met Asn Thr Leu Lys Cys 610	615	620	

The Val Gly Pro Ala Met Asn Lys His Phe Asn Met Ser Ile Ile Ile  
 625                    630                    635                    640

Ser Asn Gly His Gly Thr Thr Gln Tyr Ser Thr Phe Ser Tyr Val Arg  
 645                    650                    655

Pro Val Ile Thr Ser Ile Ser Pro Lys Tyr Gly Pro Met Ala Gly Gly  
 660                    665                    670

Thr Leu Leu Thr Leu Thr Gly Asn Tyr Leu Asn Ser Gly Asn Ser Arg  
 675                    680                    685

His Ile Ser Ile Gly Gly Lys Thr Cys Thr Leu Lys Ser Val Ser Asn  
 690                    695                    700

Ser Ile Leu Glu Cys Tyr Thr Pro Ala Gln Thr Ile Ser Thr Glu Phe  
 705                    710                    715                    720

Ala Val Lys Leu Lys Ile Asp Leu Ala Asn Arg Glu Thr Ser Ile Phe  
 725                    730                    735

Ser Tyr Arg Glu Asp Pro Ile Val Tyr Glu Ile His Pro Thr Lys Ser  
 740                    745                    750

Phe Ile Ser Gly Gly Ser Thr Ile Thr Gly Val Gly Lys Asn Leu Asn  
 755                    760                    765

Ser Val Ser Val Pro Arg Met Val Ile Asn Val His Glu Ala Gly Arg  
 770                    775                    780

Asn Phe Thr Val Ala Cys Gln His Arg Ser Asn Ser Glu Ile Ile Cys  
 785                    790                    795                    800

Cys Thr Thr Pro Ser Leu Gln Gln Leu Asn Leu Gln Leu Pro Leu Lys  
 805                    810                    815

Thr Lys Ala Phe Phe Met Leu Asp Gly Ile Leu Ser Lys Tyr Phe Asp  
 820                    825                    830

Leu Ile Tyr Val His Asn Pro Val Phe Lys Pro Phe Glu Lys Pro Val  
 835                    840                    845

Met Ile Ser Met Gly Asn Glu Asn Val Leu Glu Ile Lys Gly Asn Asp  
 850                    855                    860

Ile Asp Pro Glu Ala Val Lys Gly Glu Val Leu Lys Val Gly Asn Lys  
 865                    870                    875                    880

Ser Cys Glu Asn Ile His Leu His Ser Glu Ala Val Leu Cys Thr Val  
885 890 895

Pro Asn Asp Leu Leu Lys Leu Asn Ser Glu Leu Asn Ile Glu Trp Lys  
900 905 910

Gln Ala Ile Ser Ser Thr Val Leu Gly Lys Val Ile Val Gln Pro Asp  
915 920 925

Gln Asn Phe Thr Lys Glu Val Ileu Phe Gln Gly Pro Asp Ile Glu Pro  
930 935 940

Lys Ser Cys Asp Lys Thr His Thr Cys Pro Pro Cys Pro Ala Pro Glu  
 945 950 955 960

Leu Leu Gly Gly Pro Ser Val Phe Leu Phe Pro Pro Lys Pro Lys Asp  
965 970 975

Thr Leu Met Ile Ser Arg Thr Pro Glu Val Thr Cys Val Val Val Asp  
980 985 990

Val Ser His Glu Asp Pro Glu Val Lys Phe Asn Thr Tyr Val Asp Gly  
995 1000 1005

Val Glu Val His Asn Ala Lys Thr Lys Pro Arg Glu Glu Gln Tyr  
1C10 1015 1020

Asn Ser Thr Tyr Arg Val Val Ser Val Ileu Thr Val Leu His Gin  
1025 1030 1035

Asp Thr Leu Asn Gly Lys Glu Tyr Lys Cys Lys Val Ser Asn Lys  
1040 1045 1050

Ala Leu Pro Ala Pro Ile Glu Lys Thr Ile Ser Lys Ala Lys Gly  
1055 1060 1065

Gln Pro Arg Gln Pro Gln Gln Tyr Thr Leu Pro Pro Ser Arg Glu  
 1070 1075 1080

Glu Met Thr Lys Asn Gln Val Ser Leu Thr Cys Leu Val Lys Gly  
1085 1090 1095

Phe Tyr Pro Ser Asp Ile Ala Val Glu Trp Glu Ser Asn Gly Gln  
 1120 1125 1130

Pro Glu Asn Asn Tyr Lys Thr Thr Pro Pro Val Leu Asp Ser Asp  
1115 1120 1125

Gly Ser Phe Phe Leu Tyr Ser Lys Leu Thr Val Asp Lys Ser Arg  
 1130 1135 1140

Trp Gln Gln Gly Asn Val Phe Ser Cys Ser Val Met His Glu Ala  
 1145 1150 1155

Leu His Asn His Tyr Thr Gln Lys Ser Leu Ser Leu Ser Pro Gly  
 1160 1165 1170

Lys Arg Ile Asp Tyr Lys Asp Asp Asp Lys His Val His His  
 1175 1180 1185

His His His His  
 1190

<210> 73

<211> 1192

<212> PRT

<213> *Macaca mulatta*

<400> 73

Met Lys Ala Pro Ala Val Leu Val Pro Gly Ile Leu Val Leu Leu Phe  
 1 5 10 15

The Leu Val Gln Arg Ser Asn Gly Glu Cys Lys Glu Ala Leu Ala Lys  
 20 25 30

Ser Glu Met Asn Val Asn Met Lys Tyr Gln Leu Pro Asn Phe Thr Ala  
 35 40 45

Glu Thr Ala Ile Gln Asn Val Ile Leu His Glu His His Ile Phe Leu  
 50 55 60

Gly Ala Thr Asn Tyr Ile Tyr Val Leu Asn Glu Glu Asp Leu Gin Lys  
 65 70 75 80

Val Ala Glu Tyr Lys Thr Gly Pro Val Leu Glu His Pro Asp Cys Phe  
 85 90 95

Pro Cys Gln Asp Cys Ser Ser Lys Ala Asn Leu Ser Gly Gly Val Trp  
 100 105 110

Lys Asp Asn Ile Asn Met Ala Leu Val Val Asp Thr Tyr Tyr Asp Asp  
 115 120 125

Gln Leu Ile Ser Cys Gly Ser Val Asn Arg Gly Thr Cys Gln Arg His  
 130 135 140

Val Phe Pro His Asn His Thr Ala Asp Ile Gln Ser Glu Val His Cys  
 145 150 155 160

Ile	Phe	Ser	Pro	Gln	Ile	Glu	Glu	Pro	Asn	Gln	Cys	Pro	Asp	Cys	Val
165															175
Val	Ser	Ala	Leu	Gly	Ala	Lys	Val	Leu	Ser	Ser	Val	Lys	Asp	Arg	Phe
180								185						190	
Ile	Asn	Phe	Phe	Val	Gly	Asn	Thr	Ile	Asn	Ser	Ser	Tyr	Phe	Pro	His
195								200						205	
His	Pro	Leu	His	Ser	Ile	Ser	Val	Arg	Arg	Leu	Lys	Glu	Thr	Lys	Asp
210							215					220			
Gly	Phe	Met	Phe	Leu	Thr	Asp	Gln	Ser	Tyr	Ile	Asp	Val	Leu	Pro	Gln
225							230					235			240
Phe	Arg	Asp	Ser	Tyr	Pro	Ile	Lys	Tyr	Ile	His	Ala	Phe	Glu	Ser	Asn
245								250						255	
Asn	Phe	Ile	Tyr	Phe	Leu	Thr	Val	Gln	Arg	Glu	Thr	Leu	Asn	Ala	Gln
260								265						270	
Thr	Phe	His	Thr	Arg	Ile	Ile	Arg	Phe	Cys	Ser	Leu	Asn	Ser	Gly	Leu
275								280						285	
His	Ser	Tyr	Met	Glu	Met	Pro	Leu	Glu	Cys	Ile	Leu	Thr	Glu	Lys	Arg
290							295						300		
Lys	Lys	Arg	Ser	Thr	Lys	Lys	Glu	Val	Phe	Arg	Ile	Leu	Gln	Ala	Ala
305							310					315			320
Tyr	Val	Ser	Lys	Pro	Gly	Ala	Gln	Leu	Ala	Arg	Gln	Ile	Gly	Ala	Ser
325								330						335	
Leu	Asn	Asp	Asp	Ile	Leu	Phe	Gly	Val	Phe	Ala	Gln	Ser	Lys	Pro	Asp
340								345						350	
Ser	Ala	Glu	Pro	Met	Asp	Arg	Ser	Ala	Met	Cys	Ala	Phe	Pro	Ile	Lys
355								360						365	
Tyr	Val	Asn	Asp	Phe	Phe	Asn	Lys	Ile	Val	Asn	Lys	Asn	Asn	Val	Arg
370								375						380	
Cys	Leu	Gln	His	Phe	Tyr	Gly	Pro	Asn	His	Glu	His	Cys	Phe	Asn	Arg
385								390						395	
Thr	Leu	Ieu	Arg	Asn	Ser	Ser	Gly	Cys	Glu	Ala	Arg	Arg	Asp	Glu	Tyr
405									410					415	

Arg Ala Glu Phe Thr Thr Ala Leu Gln Arg Val Asp Leu Phe Met Gly  
 420                    425                    430

Gln Phe Ser Glu Val Leu Leu Thr Ser Ile Ser Thr Phe Val Lys Gly  
 435                    440                    445

Asp Leu Thr Ile Ala Asn Leu Gly Thr Ser Glu Gly Arg Phe Met Gln  
 450                    455                    460

Val Val Val Ser Arg Ser Gly Pro Ser Thr Pro His Val Asn Phe Leu  
 465                    470                    475                    480

Leu Asp Ser His Pro Val Ser Pro Glu Val Ile Val Glu His Pro Leu  
 485                    490                    495

Asn Gln Asn Gly Tyr Thr Leu Val Val Thr Gly Lys Lys Ile Thr Lys  
 500                    505                    510

Ile Pro Leu Asn Gly Leu Gly Cys Arg His Phe Gln Ser Cys Ser Gln  
 515                    520                    525

Cys Leu Ser Ala Pro Pro Phe Val Gln Cys Gly Trp Cys His Asp Lys  
 530                    535                    540

Cys Val Arg Ser Glu Glu Cys Pro Ser Gly Thr Trp Thr Gln Gln Ile  
 545                    550                    555                    560

Cys Leu Pro Ala Ile Tyr Lys Val Phe Pro Thr Ser Ala Pro Leu Glu  
 565                    570                    575

Gly Gly Thr Arg Leu Thr Ile Cys Gly Trp Asp Phe Gly Phe Arg Arg  
 580                    585                    590

Asn Asn Lys Phe Asp Leu Lys Lys Thr Arg Val Leu Leu Gly Asn Glu  
 595                    600                    605

Ser Cys Thr Leu Thr Leu Ser Glu Ser Thr Met Asn Thr Leu Lys Cys  
 610                    615                    620

Thr Val Gly Phe Ala Met Asn Lys His Phe Asn Met Ser Ile Ile Ile  
 625                    630                    635                    640

Ser Asn Gly His Gly Thr Thr Gln Tyr Ser Thr Phe Ser Tyr Val Asp  
 645                    650                    655

Pro Ile Ile Thr Ser Ile Ser Pro Lys Tyr Gly Pro Met Ala Gly Gly  
 660                    665                    670

Thr Leu Leu Thr Leu Thr Gly Asn Tyr Leu Asn Ser Gly Asn Ser Arg  
675 680 685

His Ile Ser Ile Gly Gly Lys Thr Cys Thr Leu Lys Ser Val Ser Asn  
690 695 700

Ser Ile Leu Glu Cys Tyr Thr Pro Ala Gln Thr Ile Ser Thr Glu Phe  
705 710 715 720

Ala Val Lys Leu Lys Ile Asp Leu Ala Asn Arg Glu Thr Ser Ile Phe  
725 730 735

Ser Tyr Arg Gln Asp Pro Ile Val Tyr Glu Ile His Pro Thr Lys Ser  
740 745 750

Phe Ile Ser Gly Gly Ser Thr Ile Thr Gly Val Gly Lys Asn Leu His  
755 760 765

Ser Val Ser Val Pro Arg Met Val Ile Asn Val His Glu Ala Gly Arg  
770 775 780

Asn Phe Thr Val Ala Cys Gln His Arg Ser Asn Ser Glu Ile Ile Cys  
785 790 795 800

Cys Thr Thr Pro Ser Leu Gln Gln Leu Asn Leu Gln Leu Pro Leu Lys  
805 810 815

Thr Lys Ala Phe Phe Met Leu Asp Gly Ile Leu Ser Lys Tyr Phe Asp  
820 825 830

Leu Ile Tyr Val His Asn Pro Val Phe Lys Pro Phe Glu Lys Pro Val  
835 840 845

Met Ile Ser Met Gly Asn Glu Asn Val Leu Glu Ile Lys Gly Asn Asp  
850 855 860

Ile Asp Pro Glu Ala Val Lys Gly Glu Val Leu Lys Val Gly Asn Lys  
865 870 875 880

Ser Cys Gln Asn Ile His Leu His Ser Glu Ala Val Leu Cys Thr Val  
885 890 895

Pro Asn Asp Leu Leu Lys Leu Asn Ser Glu Leu Asn Ile Glu Trp Lys  
900 905 910

Gln Ala Ile Ser Ser Thr Val Leu Gly Lys Val Ile Val Gln Pro Asp  
915 920 925

Gln Asn Phe Thr Leu Gln Val Leu Phe Gln Gly Pro Asp Ile Glu Pro

930	935	940
Lys Ser Cys Asp Lys Thr His Thr Cys Pro Pro Cys Pro Ala Pro Glu		
945	950	955
Leu Leu Gly Gly Pro Ser Val Phe Leu Phe Pro Pro Lys Pro Lys Asp		
965	970	975
Thr Leu Met Ile Ser Arg Thr Pro Glu Val Thr Cys Val Val Val Asp		
980	985	990
Val Ser His Glu Asp Pro Glu Val Lys Phe Asn Trp Tyr Val Asp Gly		
995	1000	1005
Val Glu Val His Asn Ala Lys Thr Lys Pro Arg Glu Glu Gln Tyr		
1010	1015	1020
Asn Ser Thr Tyr Arg Val Val Ser Val Leu Thr Val Leu His Gln		
1025	1030	1035
Asp Trp Leu Asn Gly Lys Glu Tyr Lys Cys Lys Val Ser Asn Lys		
1040	1045	1050
Ala Leu Pro Ala Pro Ile Glu Lys Thr Ile Ser Lys Ala Lys Gly		
1055	1060	1065
Gln Pro Arg Glu Pro Gln Glu Tyr Thr Leu Pro Pro Ser Arg Glu		
1070	1075	1080
Glu Met Thr Lys Asn Gln Val Ser Leu Thr Cys Leu Val Lys Glu		
1085	1090	1095
Phe Tyr Pro Ser Asp Ile Ala Val Glu Ile Glu Ser Asn Gly Glu		
1100	1105	1110
Pro Glu Asn Asn Tyr Lys Thr Thr Pro Pro Val Leu Asp Ser Asp		
1115	1120	1125
Gly Ser Phe Phe Leu Tyr Ser Lys Leu Thr Val Asp Lys Ser Arg		
1130	1135	1140
Trp Gln Gln Gly Asn Val Phe Ser Cys Ser Val Met His Glu Ala		
1145	1150	1155
Leu His Asn His Tyr Thr Gln Lys Ser Leu Ser Leu Ser Pro Gly		
1160	1165	1170
Lys Arg Ile Asp Tyr Lys Asp Asp Asp Asp Lys His Val His His		
1175	1180	1185

His His His His  
1190

<210> 74  
<211> 1194  
<212> PRT  
<213> *Rattus rattus*

<400> 74  
Met Lys Ala Pro Thr Ala Leu Ala Pro Gly Ile Leu Leu Leu Leu  
1 5 10 15

Thr Leu Ala Gln Arg Ser His Gly Glu Cys Lys Glu Ala Leu Val Lys  
20 25 30

Ser Glu Met Asn Val Asn Met Lys Tyr Gln Leu Pro Asn Phe Thr Ala  
35 40 45

Glu Thr Pro Ile His Asn Val Val Leu His Gly His His Ile Tyr Leu  
50 55 60

Gly Ala Thr Asn Tyr Ile Tyr Val Leu Asn Asp Lys Asp Leu Gln Lys  
65 70 75 80

Val Ser Glu Phe Lys Thr Gly Pro Val Val Glu His Pro Asp Cys Phe  
85 90 95

Pro Cys Gln Asp Cys Ser Ser Lys Ala Asn Val Ser Gly Gly Val Trp  
100 105 110

Lys Asp Asn Val Asn Met Ala Leu Leu Val Asp Thr Tyr Tyr Asp Asp  
115 120 125

Gln Leu Ile Ser Cys Gly Ser Val Asn Arg Gly Thr Cys Gln Arg His  
130 135 140

Val Leu Pro Pro Asp Asn Ala Ala Asp Ile Gln Ser Glu Val His Cys  
145 150 155 160

Met Phe Ser Pro Leu Ala Glu Glu Ser Gly Gln Cys Pro Asp Cys  
165 170 175

Val Val Ser Ala Leu Gly Ala Lys Val Leu Leu Ser Glu Lys Asp Arg  
180 185 190

Phe Ile Asn Phe Phe Val Gly Asn Thr Ile Asn Ser Ser Tyr Pro Pro  
195 200 205

Asp Tyr Ser Leu His Ser Ile Ser Val Arg Arg Arg Leu Lys Glu Thr Gln  
 210                            215                            220

Asp Gly Phe Lys Phe Leu Thr Asp Gin Ser Tyr Ile Asp Val Leu Pro  
 225                            230                            235                            240

Glu Phe Arg Asp Ser Tyr Pro Ile Lys Tyr Ile His Ala Phe Glu Ser  
 245                            250                            255

Arg His Phe Ile Tyr Phe Leu Thr Val Gln Lys Glu Thr Leu Asp Ala  
 260                            265                            270

Gln Thr Phe His Thr Arg Ile Ile Arg Phe Cys Ser Val Asp Ser Gly  
 275                            280                            285

Leu His Ser Tyr Met Glu Met Pro Leu Glu Cys Ile Leu Thr Glu Lys  
 290                            295                            300

Arg Arg Lys Arg Ser Thr Arg Glu Glu Val Phe Arg Ile Leu Gln Ala  
 305                            310                            315                            320

Ala Tyr Val Ser Lys Pro Gly Ala Asn Leu Ala Lys Gln Ile Gly Ala  
 325                            330                            335

Ser Pro Tyr Asp Asp Ile Leu Tyr Gly Val Phe Ala Gln Ser Lys Pro  
 340                            345                            350

Asp Ser Ala Glu Pro Met Asn Arg Ser Ala Val Cys Ala Phe Pro Ile  
 355                            360                            365

Lys Tyr Val Asn Asp Phe Phe Asn Lys Ile Val Asn Lys Asn Asn Val  
 370                            375                            380

Arg Cys Leu Gln His Phe Tyr Gly Pro Asn His Glu His Cys Phe Asn  
 385                            390                            395                            400

Arg Thr Leu Leu Arg Asn Ser Ser Gly Cys Glu Val Arg Ser Asp Glu  
 405                            410                            415

Tyr Arg Thr Glu Phe Thr Thr Ala Leu Gln Arg Val Asp Leu Phe Met  
 420                            425                            430

Gly Arg Leu Asn His Val Leu Leu Thr Ser Ile Ser Thr Phe Ile Lys  
 435                            440                            445

Gly Asp Leu Thr Ile Ala Asn Leu Gly Thr Ser Glu Gly Arg Phe Met  
 450                            455                            460

Gln Val Val Leu Ser Arg Thr Ala His Phe Thr Pro His Val Asn Phe

465	470	475	480
Leu Leu Asp Ser Tyr Pro Val Ser Pro Glu Val Ile Val Glu His Pro			
485		490	495
Ser Asn Gln Asn Gly Tyr Thr Leu Val Val Thr Gly Lys Lys Ile Thr			
500		505	510
Lys Ile Pro Leu Asn Gly Leu Gly Cys Gly His Phe Gln Ser Cys Ser			
515		520	525
Gln Cys Leu Ser Ala Pro Tyr Phe Ile Gln Cys Gly Trp Cys His Asn			
530		535	540
Arg Cys Val His Ser Asn Glu Cys Pro Ser Gly Thr Trp Thr Gln Glu			
545		550	555
Ile Cys Leu Pro Ala Val Tyr Lys Val Phe Pro Thr Ser Ala Pro Leu			
565		570	575
Glu Gly Gly Thr Met Leu Thr Ile Cys Gly Trp Asp Phe Gly Phe Lys			
580		585	590
Lys Asn Asn Lys Phe Asp Leu Arg Lys Thr Iys Val Leu Leu Gly Asn			
595		600	605
Glu Ser Cys Thr Leu Thr Leu Ser Glu Ser Thr Thr Asn Thr Leu Lys			
610		615	620
Cys Thr Val Gly Pro Ala Met Ser Glu His Phe Asn Val Ser Val Ile			
625		630	635
Val Ser Asn Ser Arg Glu Thr Thr Gln Tyr Ser Ala Phe Ser Tyr Val			
645		650	655
Asp Pro Val Ile Thr Ser Ile Ser Pro Arg Tyr Gly Pro His Ala Gly			
660		665	670
Gly Thr Leu Leu Thr Leu Thr Gly Lys Tyr Leu Asn Ser Gly Asn Ser			
675		680	685
Arg His Ile Ser Ile Gly Gly Lys Thr Cys Thr Leu Lys Ser Val Ser			
690		695	700
Asp Ser Ile Leu Glu Cys Tyr Thr Pro Gly His Thr Val Ser Ala Glu			
705		710	715
Phe Pro Val Lys Leu Lys Ile Asp Leu Ala Asp Arg Val Thr Ser Ser			
725		730	735

Phe Ser Tyr Arg Glu Asp Pro Val Val Ser Glu Ile His Pro Thr Lys  
 740 745 750

Ser Phe Ile Ser Gly Gly Ser Thr Ile Thr Gly Ile Gly Lys Asn Leu  
 755 760 765

Asn Ser Val Ser Thr Pro Lys Leu Val Ile Glu Val His Asp Val Gly  
 770 775 780

Val Asn Tyr Thr Val Ala Cys Gln His Arg Ser Ser Ser Glu Ile Ile  
 785 790 795 800

Cys Cys Thr Thr Pro Ser Leu Gln Gln Leu Asp Leu Gln Leu Pro Leu  
 805 810 815

Lys Thr Lys Ala Phe Phe Leu Leu Asp Gly Ile Leu Ser Lys His Phe  
 820 825 830

Asp Leu Thr Tyr Val His Asp Pro Met Phe Lys Pro Phe Glu Lys Pro  
 835 840 845

Val Met Ile Ser Met Gly Asn Glu Asn Val Val Glu Ile Lys Gly Asp  
 850 855 860

Asp Ile Asp Pro Glu Ala Val Lys Gly Glu Val Leu Lys Val Gly Asn  
 865 870 875 880

Lys Ser Cys Glu Asn Leu His Trp His Ser Glu Ala Leu Leu Cys Thr  
 885 890 895

Val Pro Ser Asp Leu Leu Lys Leu Asn Gly Gly Glu Leu Asn Ile Glu  
 900 905 910

Trp Lys Gln Ala Val Ser Ser Thr Val Leu Gly Lys Val Ile Val Gln  
 915 920 925

Pro Asp Gln Asn Phe Ala Leu Glu Val Leu Phe Gln Gly Pro Asp Ile  
 930 935 940

Glu Pro Lys Ser Cys Asp Lys Thr His Thr Cys Pro Pro Cys Pro Ala  
 945 950 955 960

Pro Glu Leu Leu Gly Gly Pro Ser Val Phe Leu Phe Pro Pro Lys Pro  
 965 970 975

Lys Asp Thr Leu Met Ile Ser Arg Thr Pro Glu Val Thr Cys Val Val  
 980 985 990

Val Asp Val Ser His Glu Asp Pro Glu Val Lys Phe Asn Trp Tyr Val  
 995 1000 1005

Asp Gly Val Glu Val His Asn Ala Lys Thr Lys Pro Arg Glu Glu  
 1010 1015 1020

Gln Tyr Asn Ser Thr Tyr Arg Val Val Ser Val Leu Thr Val Leu  
 1025 1030 1035

Mis Gln Asp Trp Leu Asn Gly Lys Glu Tyr Lys Cys Lys Val Ser  
 1040 1045 1050

Asn Lys Ala Leu Pro Ala Pro Ile Glu Lys Thr Ile Ser Lys Ala  
 1055 1060 1065

Lys Gly Gln Pro Arg Glu Pro Gln Glu Tyr Thr Leu Pro Pro Ser  
 1070 1075 1080

Arg Glu Glu Met Thr Lys Asn Gln Val Ser Leu Thr Cys Leu Val  
 1085 1090 1095

Lys Gly Phe Tyr Pro Ser Asp Ile Ala Val Glu Trp Glu Ser Asn  
 1100 1105 1110

Gly Gln Pro Glu Asn Asn Tyr Lys Thr Thr Pro Pro Val Leu Asp  
 1115 1120 1125

Ser Asp Gly Ser Phe Phe Leu Tyr Ser Lys Leu Thr Val Asp Lys  
 1130 1135 1140

Ser Arg Trp Gln Gln Gly Asn Val Phe Ser Cys Ser Val Met His  
 1145 1150 1155

Glu Ala Leu His Asn His Tyr Thr Gln Lys Ser Leu Ser Leu Ser  
 1160 1165 1170

Pro Gly Lys Arg Ile Asp Tyr Lys Asp Asp Asp Asp Lys His Val  
 1175 1180 1185

His His His His His His  
 1190

<210> 75

<211> 932

<212> PRT

<213> Homo sapiens

<400> 75

Met Lys Ala Pro Ala Val Leu Ala Pro Gly Ile Leu Val Leu Leu Phe

1	5	10	15
Thr Leu Val Gln Arg Ser Asn Gly Glu Cys Lys Glu Ala Leu Ala Lys			
20		25	30
Ser Glu Met Asn Val Asn Met Lys Tyr Gln Leu Pro Asn Phe Thr Ala			
35		40	45
Glu Thr Pro Ile Gln Asn Val Ile Leu His Glu His His Ile Phe Leu			
50		55	60
Gly Ala Thr Asn Tyr Ile Tyr Val Leu Asn Glu Glu Asp Leu Gln Lys			
65		70	80
Val Ala Glu Tyr Lys Thr Gly Pro Val Leu Glu His Pro Asp Cys Phe			
85		90	95
Pro Cys Gln Asp Cys Ser Ser Lys Ala Asn Leu Ser Gly Gly Val Trp			
100		105	110
Lys Asp Asn Ile Asn Met Ala Leu Val Val Asp Thr Tyr Tyr Asp Asp			
115		120	125
Gln Leu Ile Ser Cys Gly Ser Val Asn Arg Gly Thr Cys Gln Arg His			
130		135	140
Val Phe Pro His Asn His Thr Ala Asp Ile Gln Ser Glu Val His Cys			
145		150	155
Ile Phe Ser Pro Gln Ile Glu Glu Pro Ser Gln Cys Pro Asp Cys Val			
165		170	175
Val Ser Ala Leu Gly Ala Lys Val Leu Ser Ser Val Lys Asp Arg Phe			
180		185	190
Ile Asn Phe Phe Val Gly Asn Thr Ile Asn Ser Ser Tyr Phe Pro Asp			
195		200	205
His Pro Leu His Ser Ile Ser Val Arg Arg Leu Lys Glu Thr Lys Asp			
210		215	220
Gly Phe Met Phe Leu Thr Asp Gln Ser Tyr Ile Asp Val Leu Pro Glu			
225		230	235
Phe Arg Asp Ser Tyr Pro Ile Lys Tyr Val His Ala Phe Glu Ser Asn			
245		250	255
Asn Phe Ile Tyr Phe Leu Thr Val Gln Arg Glu Thr Leu Asp Ala Gln			
260		265	270

Thr Phe His Thr Arg Ile Ile Arg Phe Cys Ser Ile Asn Ser Gly Leu  
275 280 285

His Ser Tyr Met Glu Met Pro Leu Glu Cys Ile Leu Thr Glu Lys Arg  
290 295 300

Lys Lys Arg Ser Thr Lys Lys Glu Val Phe Asn Ile Leu Gln Ala Ala  
 305 310 315 320

Tyr Val Ser Lys Pro Gly Ala Gln Leu Ala Arg Gln Ile Gly Ala Ser  
 325 330 335

Leu Asn Asp Asp Ile Leu Phe Gly Val Phe Ala Gln Ser Lys Pro Asp  
340 345 350

Ser Ala Glu Pro Met Asp Arg Ser Ala Met Cys Ala Phe Pro Ile Lys  
           355                   360                   365

Tyr Val Asn Asp Phe Phe Asn Lys Ile Val Asn Lys Asn Asn Val Arg  
370 375 380

Cys Leu Gln His Phe Tyr Gly Pro Asn His Glu His Cys Phe Asn Arg  
 385 390 395 400

Thr Leu Leu Arg Asn Ser Ser Gly Cys Glu Ala Arg Arg Asp Glu Tyr  
 405 410 415

Arg Thr Glu Phe Thr Thr Ala Ileu Gln Arg Val Asp Leu Phe Met Gly  
420 425 430

Gln Phe Ser Glw Val Leu Leu Thr Ser Ile Ser Thr Phe Ile Lys Gly  
435 440 445

Asp Leu Thr Ile Ala Asn Leu Gly Thr Ser Glu Gly Arg Phe Met Gln  
450 455 460

Val Val Val Ser Arg Ser Gly Pro Ser Thr Pro His Val Asn Phe Leu  
465 470 475 480

Lew Asp Ser His Pro Val Ser Pro Glu Val Ile Val Glu His Thr Lew  
485 490 495

Asn Gln Asn Gly Tyr Thr Leu Val Ile Thr Gly Lys Lys Ile Thr Lys  
500 505 510

Ile Pro Leu Arg Gly Leu Gly Cys Arg His Phe Gln Ser Cys Ser Gln  
 515 520 525

Cys Leu Ser Ala Pro Pro Phe Val Gln Cys Gly Trp Cys His Asp Lys  
 530 535 540  
 Cys Val Arg Ser Glu Glu Cys Leu Ser Gly Thr Trp Thr Gln Gln Ile  
 545 550 555 560  
 Cys Leu Pro Ala Ile Tyr Lys Val Phe Pro Asn Ser Ala Pro Leu Glu  
 565 570 575  
 Gly Gly Thr Arg Leu Thr Ile Cys Gly Trp Asp Phe Gly Ile Arg Arg  
 580 585 590  
 Asn Asn Lys Phe Asp Leu Lys Ile Thr Arg Val Leu Leu Gly Asn Glu  
 595 600 605  
 Ser Cys Thr Leu Thr Leu Ser Glu Ser Thr Met Asn Thr Leu Lys Cys  
 610 615 620  
 Thr Val Gly Pro Ala Met Asn Lys His Phe Asn Met Ser Ile Ile Ile  
 625 630 635 640  
 Ser Asn Gly His Gly Thr Thr Gln Tyr Ser Thr Phe Ser Tyr Val Asp  
 645 650 655  
 Pro Val Ile Thr Ser Ile Ser Pro Lys Tyr Gly Pro Met Ala Gly Gly  
 660 665 670  
 Thr Leu Leu Thr Leu Thr Gly Asn Tyr Leu Asn Ser Gly Asn Ser Arg  
 675 680 685  
 His Ile Ser Ile Gly Gly Lys Thr Cys Thr Leu Lys Ser Val Ser Asn  
 690 695 700  
 Ser Ile Leu Glu Cys Tyr Thr Pro Ala Gln Thr Ile Ser Thr Glu Phe  
 705 710 715 720  
 Ala Val Lys Leu Lys Ile Asp Leu Ala Asn Arg Glu Thr Ser Ile Phe  
 725 730 735  
 Ser Tyr Arg Glu Asp Pro Ile Val Tyr Glu Ile His Pro Thr Tyr Ser  
 740 745 750  
 Phe Ile Ser Gly Gly Ser Thr Ile Thr Gly Val Gly Lys Asn Leu Asn  
 755 760 765  
 Ser Val Ser Val Pro Arg Met Val Ile Asn Val His Glu Ala Gly Arg  
 770 775 780

Asn Phe Thr Val Ala Cys Gln His Arg Ser Asn Ser Glu Ile Ile Cys  
 785                      790                      795                      800

Cys Thr Thr Pro Ser Leu Gln Gln Leu Asn Leu Gln Leu Pro Leu Lys  
 805                      810                      815

Thr Lys Ala Phe Phe Met Leu Asp Gly Ile Leu Ser Lys Tyr Phe Asp  
 820                      825                      830

Leu Ile Tyr Val His Asn Pro Val Phe Lys Pro Phe Glu Lys Pro Val  
 835                      840                      845

Met Ile Ser Met Gly Asn Glu Asn Val Leu Glu Ile Lys Gly Asn Asp  
 850                      855                      860

Ile Asp Pro Glu Ala Val Lys Gly Glu Val Leu Lys Val Gly Asn Lys  
 865                      870                      875                      880

Ser Cys Glu Asn Ile His Leu His Ser Glu Ala Val Leu Cys Thr Val  
 885                      890                      895

Pro Asn Asp Leu Leu Lys Leu Asn Ser Glu Leu Asn Ile Glu Trp Lys  
 900                      905                      910

Gln Ala Ile Ser Ser Thr Val Leu Gly Lys Val Ile Val Gln Pro Asp  
 915                      920                      925

Gln Asn Phe Thr  
 930

<210> 76  
 <211> 578  
 <212> PRT  
 <213> Homo sapiens

<400> 76  
 Met Lys Ala Pro Ala Val Leu Ala Pro Gly Ile Leu Val Leu Leu Phe  
 1                      5                              10                      15

Thr Leu Val Gln Arg Ser Asn Gly Glu Cys Lys Glu Ala Leu Ala Lys  
 20                      25                              30

Ser Glu Met Asn Val Asn Met Lys Tyr Gln Leu Pro Asn Phe Thr Ala  
 35                      40                              45

Glu Thr Pro Ile Gln Asn Val Ile Leu His Glu His His Ile Phe Leu  
 50                      55                              60

Gly Ala Thr Asn Tyr Ile Tyr Val Leu Asn Glu Glu Asp Leu Gln Lys  
 65                      70                              75                      80

Val Ala Glu Tyr Lys Thr Gly Pro Val Leu Glu His Pro Asp Cys Phe  
 85 90 95

Pro Cys Gln Asp Cys Ser Ser Lys Ala Asn Leu Ser Gly Gly Val Trp  
 100 105 110

Lys Asp Asn Ile Asn Met Ala Leu Val Val Asp Thr Tyr Tyr Asp Asp  
 115 120 125

Gln Leu Ile Ser Cys Gly Ser Val Asn Arg Gly Thr Cys Gln Arg His  
 130 135 140

Val Phe Pro His Asn His Thr Ala Asp Ile Gln Ser Glu Val His Cys  
 145 150 155 160

Ile Phe Ser Pro Gln Ile Glu Glu Pro Ser Gln Cys Pro Asp Cys Val  
 165 170 175

Val Ser Ala Leu Gly Ala Lys Val Leu Ser Ser Val Lys Asp Arg Phe  
 180 185 190

Ile Asn Phe Phe Val Gly Asn Thr Ile Asn Ser Ser Tyr Phe Pro Asp  
 195 200 205

His Pro Leu His Ser Ile Ser Val Arg Arg Leu Lys Glu Thr Lys Asp  
 210 215 220

Gly Phe Met Phe Leu Thr Asp Gln Ser Tyr Ile Asp Val Leu Pro Glu  
 225 230 235 240

Phe Arg Asp Ser Tyr Pro Ile Lys Tyr Val His Ala Phe Glu Ser Asn  
 245 250 255

Asn Phe Ile Tyr Phe Leu Thr Val Gln Arg Glu Thr Leu Asp Ala Gln  
 260 265 270

Thr Phe His Thr Arg Ile Ile Arg Phe Cys Ser Ile Asn Ser Gly Leu  
 275 280 285

His Ser Tyr Met Glu Met Pro Leu Glu Cys Ile Leu Thr Glu Lys Arg  
 290 295 300

Lys Lys Arg Ser Thr Lys Lys Glu Val Phe Asn Ile Leu Gln Ala Ala  
 305 310 315 320

Tyr Val Ser Lys Pro Gly Ala Gln Leu Ala Arg Gln Ile Gly Ala Ser  
 325 330 335

Leu Asn Asp Asp Ile Leu Phe Gly Val Phe Ala Gln Ser Lys Pro Asp  
340                           345                           350

Ser Ala Glu Pro Met Asp Arg Ser Ala Met Cys Ala Phe Pro Ile Lys  
355                           360                           365

Tyr Val Asn Asp Phe Phe Asn Lys Ile Val Asn Lys Asn Asn Val Arg  
370                           375                           380

Cys Leu Gln His Phe Tyr Gly Pro Asn His Glu His Cys Phe Asn Arg  
385                           390                           395                           400

Thr Leu Leu Arg Asn Ser Ser Gly Cys Glu Ala Arg Arg Asp Glu Tyr  
405                           410                           415

Arg Thr Glu Phe Thr Thr Ala Leu Gln Arg Val Asp Leu Phe Met Gly  
420                           425                           430

Gln Phe Ser Glu Val Leu Leu Thr Ser Ile Ser Thr Phe Ile Lys Gly  
435                           440                           445

Asp Leu Thr Ile Ala Asn Leu Gly Thr Ser Glu Gly Arg Phe Met Gln  
450                           455                           460

Val Val Val Ser Arg Ser Gly Pro Ser Thr Pro His Val Asn Phe Leu  
465                           470                           475                           480

Leu Asp Ser His Pro Val Ser Pro Glu Val Ile Val Glu His Thr Leu  
485                           490                           495

Asn Gln Asn Gly Tyr Thr Leu Val Ile Thr Gly Lys Lys Ile Thr Lys  
500                           505                           510

Ile Pro Leu Asn Gly Leu Gly Cys Arg His Phe Gln Ser Cys Ser Gln  
515                           520                           525

Cys Leu Ser Ala Pro Pro Phe Val Gln Cys Gly Trp Cys His Asp Lys  
530                           535                           540

Cys Val Arg Ser Glu Glu Cys Leu Ser Gly Thr Trp Thr Gln Gln Ile  
545                           550                           555                           560

Cys Leu Asp Tyr Lys Asp Asp Asp Lys His Val His His His His  
565                           570                           575

His His

<210> 77  
<211> 10  
<212> PRT  
<213> *Homo sapiens*

<400> 77  
**Val Val Asp Thr Tyr Tyr Asp Asp Gln Leu**  
1                   5                   10

<210> 78  
<211> 25  
<212> PRT  
<213> *Homo sapiens*

<400> 78  
**Ile Ser Cys Gly Ser Val Asn Arg Gly Thr Cys Gln Arg His Val Phe**  
1                   5                   10                   15

**Pro His Asn His Thr Ala Asp Ile Gln**  
20                   25

<210> 79  
<211> 18  
<212> PRT  
<213> *Homo sapiens*

<400> 79  
**Ala Leu Gly Ala Lys Val Leu Ser Ser Val Lys Asp Arg Phe Ile Asn**  
1                   5                   10                   15

**Phe Phe**

<210> 80  
<211> 12  
<212> PRT  
<213> *Homo sapiens*

<400> 80  
**Val Arg Arg Leu Lys Glu Thr Lys Asp Gly Phe Met**  
1                   5                   10

<210> 81  
<211> 6  
<212> PRT  
<213> *Homo sapiens*

<400> 81  
**Asp Thr Tyr Tyr Asp Asp**  
1                   5

<210> 82  
<211> 13

&lt;212&gt; PRT

<213> *Homo sapiens*

&lt;400&gt; 82

**His Val Phe Pro His Asn His Thr Ala Asp Ile Gln Ser**  
1                   5                           10

&lt;210&gt; 83

&lt;211&gt; 4

&lt;212&gt; PRT

<213> *Homo sapiens*

&lt;400&gt; 83

**Phe Ile Asn Phe**

1

&lt;210&gt; 84

&lt;211&gt; 8

&lt;212&gt; PRT

<213> *Homo sapiens*

&lt;400&gt; 84

**Lys Glu Thr Lys Asp Gly Phe Met**  
1                   5

&lt;210&gt; 85

&lt;211&gt; 24

&lt;212&gt; PRT

<213> *Homo sapiens*

&lt;400&gt; 85

**Tyr Lys Thr Gly Pro Val Leu Glu His Pro Asp Cys Phe Pro Cys Gln**  
1                   5                           10                           15**Asp Cys Ser Ser Lys Ala Asn Leu**  
20

&lt;210&gt; 86

&lt;211&gt; 11

&lt;212&gt; PRT

<213> *Homo sapiens*

&lt;400&gt; 86

**Cys Phe Pro Cys Gln Asp Cys Ser Ser Lys Ala**  
1                   5                           10

&lt;210&gt; 87

&lt;211&gt; 7

&lt;212&gt; PRT

&lt;213&gt; Sequência Artificial

&lt;220&gt;

&lt;223&gt; Construção Sintética

<220>  
<221> misc\_feature  
<222> (4)...(4)  
<223> Xaa pode ser qualquer aminoácido de ocorrência natural

<220>  
<221> misc\_feature  
<222> (6)...(6)  
<223> Xaa pode ser qualquer aminoácido de ocorrência natural

<400> 87  
**Gly Thr Ser Xaa Leu Xaa Ser**  
1           5

<210> 88  
<211> 12  
<212> PRT  
<213> Sequência Artificial

<220>  
<223> Construção Sintética

<220>  
<221> misc\_feature  
<222> (7)...(7)  
<223> Xaa pode ser qualquer aminoácido de ocorrência natural

<400> 88  
**Ser Val Ser Ser Ser Val Xaa Ser Ile Tyr Leu His**  
1           5                   10

<210> 89  
<211> 9  
<212> PRT  
<213> Sequência Artificial

<220>  
<223> Construção Sintética

<220>  
<221> misc\_feature  
<222> (1)...(2)  
<223> Xaa pode ser qualquer aminoácido de ocorrência natural

<220>  
<221> misc\_feature  
<222> (4)...(4)  
<223> Xaa pode ser qualquer aminoácido de ocorrência natural

<400> 89  
**Xaa Xaa Tyr Xaa Gly Tyr Pro Leu Thr**  
1           5

<210> 90  
<211> 17  
<212> PRT

<213> Sequência Artificial

<220>

<223> Construção Sintética

<220>

<221> misc\_feature

<222> (12)..(12)

<223> Xaa pode ser qualquer aminoácido de ocorrência natural

<220>

<221> misc\_feature

<222> (14)..(14)

<223> Xaa pode ser qualquer aminoácido de ocorrência natural

<400> 90

**Trp Ile Tyr Pro Val Thr Gly Asp Thr Tyr Tyr Xaa Glu Xaa Phe Lys**  
1                   5                   10                   15

### **Gly**

<210> 91

<211> 7

<212> PRT

<213> Sequência Artificial

<220>

<223> Construção Sintética

<220>

<221> misc\_feature

<222> (6)..(6)

<223> Xaa pode ser qualquer aminoácido de ocorrência natural

<400> 91

**Gly Tyr Gly Ala Phe Xaa Tyr**  
1                   5

<210> 92

<211> 17

<212> PRT

<213> Sequência Artificial

<220>

<223> Construção Sintética

<220>

<221> misc\_feature

<222> (5)..(5)

<223> Xaa pode ser qualquer aminoácido de ocorrência natural

<220>

<221> misc\_feature

<222> (7)..(8)

<223> Xaa pode ser qualquer aminoácido de ocorrência natural

&lt;400&gt; 92

**Arg Val Asn Pro Xaa Arg Xaa Xaa Thr Thr Tyr Asn Gln Lys Phe Glu**  
1 5 10 15**Gly**

&lt;210&gt; 93

&lt;211&gt; 6

&lt;212&gt; PRT

&lt;213&gt; Sequência Artificial

&lt;220&gt;

&lt;223&gt; Construção Sintética

&lt;220&gt;

&lt;221&gt; misc\_feature

&lt;222&gt; (1)..(1)

&lt;223&gt; Xaa pode ser qualquer aminoácido de ocorrência natural

&lt;220&gt;

&lt;221&gt; misc\_feature

&lt;222&gt; (3)..(3)

&lt;223&gt; Xaa pode ser qualquer aminoácido de ocorrência natural

&lt;400&gt; 93

**Xaa Asn Xaa Leu Asp Tyr**  
1 5

&lt;210&gt; 94

&lt;211&gt; 108

&lt;212&gt; PRT

&lt;213&gt; Sequência Artificial

&lt;220&gt;

&lt;223&gt; Construção Sintética

&lt;220&gt;

&lt;221&gt; misc\_feature

&lt;222&gt; (54)..(54)

&lt;223&gt; Xaa pode ser qualquer aminoácido de ocorrência natural

&lt;220&gt;

&lt;221&gt; misc\_feature

&lt;222&gt; (56)..(56)

&lt;223&gt; Xaa pode ser qualquer aminoácido de ocorrência natural

&lt;400&gt; 94

**Glu Ile Val Leu Thr Gln Ser Pro Gly Thr Leu Ser Leu Ser Pro Gly**  
1 5 10 15**Glu Arg Ala Thr Leu Ser Cys Ser Val Ser Ser Ser Ile Ser Ser Thr**  
20 25 30**Asn Leu His Trp Tyr Gln Gln Lys Pro Gly Gln Ala Pro Arg Leu Leu**

35                    40                    45

Ile Tyr Gly Thr Ser Xaa Leu Xaa Ser Gly Ile Pro Asp Arg Phe Ser  
 50    55                                60

Gly Ser Gly Ser Gly Thr Asp Phe Thr Leu Thr Ile Ser Arg Leu Glu  
 65    70                                75                                80

Pro Glu Asp Phe Ala Val Tyr Tyr Cys Gln Gln Trp Ser Ser Tyr Pro  
 85    90                                95

Tyr Ser Phe Gly Gln Gly Thr Lys Leu Glu Ile Lys  
 100    105

<210> 95

<211> 108

<212> PRT

<213> Sequência Artificial

<220>

<223> Construção Sintética

<220>

<221> misc\_feature

<222> (30)..(30)

<223> Xaa pode ser qualquer aminoácido de ocorrência natural

<220>

<221> misc\_feature

<222> (90)..(91)

<223> Xaa pode ser qualquer aminoácido de ocorrência natural

<220>

<221> misc\_feature

<222> (93)..(93)

<223> Xaa pode ser qualquer aminoácido de ocorrência natural

<400> 95

Asp Ile Gln Met Thr Gln Ser Pro Ser Ser Leu Ser Ala Ser Val Gly  
 1    5                                        10                                        15

Asp Arg Val Thr Ile Thr Cys Ser Val Ser Ser Ser Val Xaa Ser Ile  
 20    25                                        30

Tyr Leu His Trp Tyr Gln Gln Lys Pro Gly Lys Ala Pro Lys Leu Leu  
 35    40                                        45

Ile Tyr Ser Thr Ser Asn Leu Ala Ser Gly Val Pro Ser Arg Phe Ser  
 50    55                                        60

Gly Ser Gly Ser Gly Thr Asp Phe Thr Leu Thr Ile Ser Ser Leu Gln  
 65    70                                        75                                        80

**Pro Glu Asp Phe Ala Thr Tyr Tyr Cys Xaa Xaa Tyr Xaa Gly Tyr Pro**  
 85   90   95

**Leu Thr Phe Gly Gly Thr Lys Val Glu Ile Lys**  
 100   105

<210> 96

<211> 115

<212> PRT

<213> Sequência Artificial

<220>

<223> Construção Sintética

<220>

<221> misc\_feature

<222> (61)..(61)

<223> Xaa pode ser qualquer aminoácido de ocorrência natural

<220>

<221> misc\_feature

<222> (63)..(63)

<223> Xaa pode ser qualquer aminoácido de ocorrência natural

<220>

<221> misc\_feature

<222> (104)..(104)

<223> Xaa pode ser qualquer aminoácido de ocorrência natural

<400> 96

**Gln Val Gln Leu Val Gln Ser Gly Ala Glu Val Lys Lys Pro Gly Ser**  
 1   5   10   15

**Ser Val Lys Val Ser Cys Lys Ala Ser Gly Tyr Thr Phe Thr Ser Arg**  
 20   25   30

**Tyr Ile His Trp Val Arg Gln Ala Pro Gly Gln Gly Leu Glu Trp Met**  
 35   40   45

**Gly Trp Ile Tyr Pro Val Thr Gly Asp Thr Tyr Tyr Xaa Glu Xaa Phe**  
 50   55   60

**Lys Gly Arg Val Thr Ile Thr Ala Asp Lys Ser Thr Ser Thr Ala Tyr**  
 65   70   75   80

**Met Glu Leu Ser Ser Leu Arg Ser Glu Asp Thr Ala Val Tyr Tyr Cys**  
 85   90   95

**Ala Arg Gly Tyr Gly Ala Phe Xaa Tyr Trp Gly Gln Gly Thr Leu Val**  
 100   105   110

**Thr Val Ser**  
 115

<210> 97

<211> 114

&lt;212&gt; PRT

&lt;213&gt; Sequência Artificial

&lt;220&gt;

&lt;223&gt; Construção Sintética

&lt;220&gt;

&lt;221&gt; misc\_feature

&lt;222&gt; (54)..(54)

&lt;223&gt; Xaa pode ser qualquer aminoácido de ocorrência natural

&lt;220&gt;

&lt;221&gt; misc\_feature

&lt;222&gt; (56)..(57)

&lt;223&gt; Xaa pode ser qualquer aminoácido de ocorrência natural

&lt;220&gt;

&lt;221&gt; misc\_feature

&lt;222&gt; (99)..(99)

&lt;223&gt; Xaa pode ser qualquer aminoácido de ocorrência natural

&lt;220&gt;

&lt;221&gt; misc\_feature

&lt;222&gt; (101)..(101)

&lt;223&gt; Xaa pode ser qualquer aminoácido de ocorrência natural

&lt;400&gt; 97

Gln	Val	Gln	Leu	Val	Gln	Ser	Gly	Ala	Glu	Val	Lys	Lys	Pro	Gly	Ala	
1																15

Ser	Val	Lys	Val	Ser	Cys	Lys	Ala	Ser	Gly	Tyr	Thr	Phe	Thr	Asp	Tyr	
20																30

Tyr	Met	His	Trp	Val	Arg	Gln	Ala	Pro	Gly	Gln	Gly	Leu	Glu	Trp	Met	
35																45

Gly	Arg	Val	Asn	Pro	Xaa	Arg	Xaa	Xaa	Thr	Thr	Tyr	Asn	Gln	Lys	Phe	
50																60

Glu	Gly	Arg	Val	Thr	Met	Thr	Asp	Thr	Ser	Thr	Ser	Thr	Ala	Tyr	
65															80

Met	Glu	Leu	Arg	Ser	Leu	Arg	Ser	Asp	Asp	Thr	Ala	Val	Tyr	Tyr	Cys	
85																95

Ala	Arg	Xaa	Asn	Xaa	Leu	Asp	Tyr	Trp	Gly	Gln	Gly	Thr	Thr	Val	Thr	
100																110

Val Ser

**REIVINDICAÇÕES**

1. Anticorpo monoclonal de c-Met, ou fragmento de ligação ao抗原 deste, compreendendo três regiões determinantes de complementaridade de cadeia leve (LCDR) e três regiões determinantes de complementaridade de cadeia pesada (HCDR), em que LCDR1 compreende a sequência de aminoácidos SVSSSVSSIYLH (SEQ ID NO: 53), LCDR2 compreende a sequência de aminoácidos STSNLAS (SEQ ID NO: 54), LCDR3 compreende a sequência de aminoácidos QVYSGYPLT (SEQ ID NO: 56), HCDR1 compreende a sequência de aminoácidos GYTFTDYYMH (SEQ ID NO: 65), HCDR2 compreende a sequência de aminoácidos RVNPNRGTTYNQKFEG (SEQ ID NO: 68), e HCDR3 compreende a sequência de aminoácidos ANWLDY (SEQ ID NO: 69).

2. Anticorpo monoclonal, ou fragmento de ligação ao抗原 deste, de acordo com a reivindicação 1 que se liga a um epitopo dentro da cadeia α de c-Met humano e induz a internalização de c-Met humano da superfície celular.

3. Anticorpo monoclonal, ou fragmento de ligação ao抗原 deste, de acordo com a reivindicação 1 ou reivindicação 2 que induz a internalização de c-Met humano da superfície celular independente do fator de crescimento de hepatócitos (HGF).

4. Anticorpo monoclonal, ou fragmento de ligação

ção ao抗原 deste, de acordo com qualquer uma das reivindicações 1 a 3, em que o anticorpo monoclonal, ou fragmento de ligação ao抗原 deste, se liga dentro de uma sequência de aminoácidos selecionada a partir de:

- a)  $_{121}VVDTYYDDQL_{130}$  (SEQ ID NO: 77),
- b)  $_{131}ISCGSVNRGTCQRHVFPHNHTADIQS_{156}$  (SEQ ID NO: 78),
- c)  $_{179}ALGAKVLSSVKDRFINF_{195}$  (SEQ ID NO: 79), e
- d)  $_{216}VRRLKETKDGFM_{227}$  (SEQ ID NO: 80).

5. Anticorpo monoclonal, ou fragmento de ligação ao抗原 deste, de acordo com qualquer uma das reivindicações 1 a 4, em que o anticorpo, ou fragmento de ligação ao抗原 deste, se liga dentro de uma sequência de aminoácidos selecionada a partir de:

- a.  $_{123}DTYYDD_{128}$  (SEQ ID NO: 81),
- b.  $_{144}HVFPNHTADIQS_{156}$  (SEQ ID NO: 82),
- c.  $_{192}FINF_{195}$  (SEQ ID NO: 83), e
- d.  $_{220}KETKDGFM_{227}$  (SEQ ID NO: 84).

6. Anticorpo monoclonal, ou fragmento de ligação ao抗原 deste, de acordo com qualquer uma das reivindicações 1 a 5, em que o anticorpo monoclonal, ou fragmento de ligação ao抗原 deste, se liga a uma sequência de aminoácidos dentro do epitopo conformacional **caracterizado por**  $_{123}DTYYDD_{128}$  (SEQ ID NO: 81),  $_{144}HVFPNHTADIQS_{156}$  (SEQ ID NO: 82),  $_{192}FINF_{195}$  (SEQ ID NO: 83), e  $_{220}KETKDGFM_{227}$  (SEQ ID NO: 84) inclusive.

7. Anticorpo monoclonal, ou fragmento de ligação ao抗原 deste, de acordo com qualquer uma das reivindicações anteriores que compreende uma região variável de cadeia leve (LCVR) e uma região variável de cadeia pesada (HCVR), em que a LCVR compreende a sequência de aminoácidos de SEQ ID NO: 5 e a HCVR compreende a sequência de aminoácidos de SEQ ID NO: 17.

8. Anticorpo monoclonal, ou fragmento de ligação ao抗原 deste, de acordo com qualquer uma das reivindicações 1 a 7 compreendendo uma cadeia leve possuindo uma região constante capa e uma cadeia pesada possuindo uma região constante de cadeia pesada de IgG4.

9. Anticorpo monoclonal, ou fragmento de ligação ao抗原 deste, de acordo com qualquer uma das reivindicações 1 a 8 compreendendo uma cadeia leve codificada pela sequência polinucleotídica de SEQ ID NO: 35, e uma cadeia pesada codificada pela sequência polinucleotídica de SEQ ID NO: 47.

10. Anticorpo monoclonal de acordo com qualquer uma das reivindicações 1 a 9 compreendendo duas cadeias leves codificadas pela sequência polinucleotídica de SEQ ID NO: 35 e duas cadeias pesadas codificadas pela sequência polinucleotídica de SEQ ID NO: 47.

11. Anticorpo monoclonal, ou fragmento de ligação ao抗原 deste, de acordo com qualquer uma das

reivindicações 1 a 8, em que a sequência de aminoácidos da referida cadeia leve é idêntica à sequência de aminoácidos codificada pela sequência polinucleotídica de SEQ ID NO: 35; e a sequência de aminoácidos da referida cadeia pesada é idêntica à sequência de aminoácidos codificada pela sequência polinucleotídica de SEQ ID NO: 47.

12. Anticorpo monoclonal, ou fragmento de ligação ao抗原 deste, de acordo com qualquer uma das reivindicações 1 a 8 e 10, compreendendo duas cadeias leves em que a sequência de aminoácidos da cadeia leve é idêntica à sequência de aminoácidos codificada pela sequência polinucleotídica de SEQ ID NO: 35; e duas cadeias pesadas em que a sequência de aminoácidos da cadeia pesada é idêntica à sequência de aminoácidos codificada pela sequência polinucleotídica de SEQ ID NO: 47.

13. Anticorpo monoclonal, ou fragmento de ligação ao抗原 deste, de acordo com qualquer uma das reivindicações 1 a 8, compreendendo uma cadeia leve possuindo a sequência de aminoácidos de SEQ ID NO: 29 e uma cadeia pesada possuindo uma região constante de cadeia pesada de IgG4.

14. Anticorpo monoclonal de acordo com qualquer uma das reivindicações 1 a 8 e 13 compreendendo duas cadeias leves possuindo a sequência de aminoácidos de SEQ ID NO: 29 e duas cadeias pesadas possuindo uma região constante de cadeia pesada de IgG4.

15. Composição farmacêutica, compreendendo o anticorpo monoclonal, ou fragmento de ligação ao抗原 deste, de qualquer uma das reivindicações anteriores, e um veículo, diluente ou excipiente farmaceuticamente aceitável.

16. Anticorpo monoclonal, ou fragmento de ligação ao抗原 deste, de qualquer uma das reivindicações 1 a 14 para utilização em terapia.

17. Anticorpo monoclonal, ou fragmento de ligação ao抗原 deste, de qualquer uma das reivindicações 1 a 14 para utilização no tratamento de cancro num humano.

18. Anticorpo monoclonal, ou fragmento de ligação ao抗原 deste, de acordo com a reivindicação 17, em que o referido cancro é cancro gástrico, do rim, do cólon, colorretal, da cabeça e do pescoço, da próstata, melanoma ou do pulmão.

Lisboa, 26 de outubro de 2015

**REFERÊNCIAS CITADAS NA DESCRIÇÃO**

Esta lista de referências citadas pelo requerente é apenas para conveniência do leitor. A mesma não faz parte do documento da patente europeia. Ainda que tenha sido tomado o devido cuidado ao compilar as referências, podem não estar excluídos erros ou omissões e o IEP declina quaisquer responsabilidades a esse respeito.

**Documentos de patentes citadas na Descrição**

- \* WO 09037427 A
- \* WO 06016382 A
- \* US 4816397 A
- \* US 5325539 A
- \* US 5603761 A
- \* WO 0664946 A
- \* US 6686292 A
- \* WO 01118825 A
- \* WO 01219933 A

**Literatura que não é de patentes citada na Descrição**

- \* HARLOW ; LANE. Antibodies. A Laboratory Manual. Cold Spring Harbor Laboratory Press, 1988
- \* MARIE-PAULE LEFRANC ; GERARD LEFRANC. Immunoglobulin FactsBook. Academic Press, 2001
- \* LEVITT, J. Mol Biol., 1983, vol. 168, 595-620
- \* JONES et al. Nature, 1998, vol. 321, 522-525
- \* RIECHMANN et al. Nature, 1998, vol. 332, 323-327
- \* VERHOEYEN et al. Science, 1993, vol. 239, 1534-1536
- \* WU et al. J. Mol. Biol., 1999, vol. 294, 161-162
- \* HARLOW ; LANE. Antibodies. A Laboratory Manual. Cold Spring Harbor Laboratory Press, 1988, 567-569
- \* Remington: The Science and Practice of Pharmacy. Mack Publishing Co, 1995
- \* LIU et al. Expert Opin. Investig. Drugs, 2008, vol. 17 (7), 997-1011
- \* YAMADA et al. Rapid Commun. Mass Spectrom., 2002, vol. 16 (4), 293-299
- \* MENDOZA et al. Anal. Chem., 2003, vol. 80 (9), 2895-2904
- \* DHUNGANA et al. Methods Mol. Biol., 2003, vol. 524, 87-101